

**MINISTERUL EDUCAȚIEI SI ÎNVÂTAMÂNTULUI**  
**INSTITUTUL POLITEHNIC "TRAIAN VUIA" TIMIȘOARA**  
**Facultatea de electrotehnica**

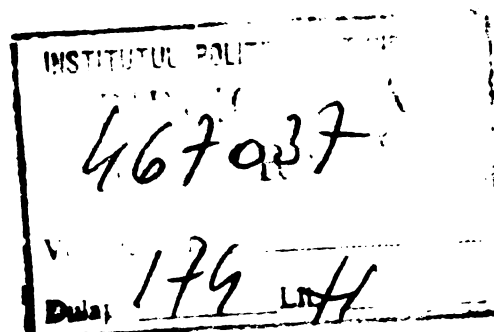
**Ing. Andea Petru**

**DISPOZITIVE ELECTROMAGNETICE  
PENTRU ACTIONARI LINIARE PAS CU PAS**

**TEZA DE DOCTORAT**

**BIBLIOTECĂ CENTRALĂ  
UNIVERSITATEA "POLITEHNICA"  
TIMIȘOARA**

**Conducător științific,  
Prof.dr.ing. TOMA DORDEA**



## C U P R I N S

	Pag.
<b>Cap.I. INTRODUCERE . . . . .</b>	<b>1</b>
<b>1.1. Acționări electrice liniare continue . . . . .</b>	<b>1</b>
<b>1.2. Acționări electrice liniare discrete (incrementale). . . . .</b>	<b>1</b>
<b>1.3. Conținutul tezei; contribuții aduse în lucrare . de către autor . . . . .</b>	<b>2</b>
<b>Cap.II. INCLERILE MECANICALE SI CONSTRUCTIVE ALĂ DISPOZITI- TIVELOR ELECTROMAGNETICE PENTRU ACTIONARI LINIARE</b>	
<b>PAS CU PAS . . . . .</b>	<b>5</b>
<b>2.1. Principiul de funcționare . . . . .</b>	<b>5</b>
<b>2.2. Dispozitive electromagnetice cu mișcare liniară pas cu pas unidirectionale. . . . .</b>	<b>7</b>
<b>2.3. Dispozitive de însumare a oscilațiilor armătu- rui mobile. . . . .</b>	<b>7</b>
<b>2.4. Dispozitive electromagnetice cu mișcare liniară pas cu pas bidirectionale . . . . .</b>	<b>11</b>
<b>Cap.III STUDIUL REGIMULUI DINAMIC DE FUNCTIONARE A DISPOZITI- TIVELOR ELECTROMAGNETICE PENTRU ACTIONARI LINIARE PAS</b>	
<b>CU PAS. . . . .</b>	<b>12</b>
<b>3.1. Introducere . . . . .</b>	<b>12</b>
<b>3.2. Considerente energetice . . . . .</b>	<b>12</b>
<b>3.3. Caracteristicile regimului dinamic de funcțio- nare a electromagneteilor de acționare a DPP . . . . .</b>	<b>14</b>
<b>3.3.1. Caracteristica <math>i = f(t)</math>. . . . .</b>	<b>15</b>
<b>3.3.2. Caracteristicile <math>\Psi = f(t)</math> și <math>\Psi = f(i)</math>. . . . .</b>	<b>19</b>
<b>3.3.3. Caracteristicile <math>a = f(t)</math>, <math>v = f(t)</math> și <math>\int v(t) dt</math> . . . . .</b>	<b>20</b>
<b>3.3.4. Caracteristicile <math>F = f(t)</math> și <math>F = f(\delta)</math>. . . . .</b>	<b>21</b>
<b>3.4. Ecuatiile regimului dinamic . . . . .</b>	<b>24</b>
<b>3.5. Calculul regimului dinamic. . . . .</b>	<b>25</b>
<b>3.5.1. Extinderea teoremeelor forțelor generalizate . . . . .</b>	<b>25</b>
<b>3.5.2. Calculul forței desvoltată de un electromagnet utilizându-se cea de-a treia teoremă a forțelor ge- neralizate. . . . .</b>	<b>29</b>
<b>3.5.3. Inductivitatea "de mișcare" . . . . .</b>	<b>30</b>
<b>3.5.4. Influența fluxului de dispersie asupra forței desvoltate de electromagnet . . . . .</b>	<b>37</b>
<b>3.5.5. Orțimul transitoriu electric. . . . .</b>	<b>37</b>
<b>3.5.6. Calculul mișcării . . . . .</b>	<b>38</b>

<b>3.5.7. Soluționarea aproximativă grafică a ecuațiilor regimului dinamic. . . . .</b>	<b>42</b>
<b>3.5.8. Soluționarea ecuațiilor regimului dinamic prin metode grafo-analitice . . . . .</b>	<b>42</b>
<b>3.5.8.1. Diagrama caracteristicilor regimului dinamic .</b>	<b>42</b>
<b>3.5.8.2. Regimul dinamic la <math>i=ct</math> . . . . .</b>	<b>45</b>
<b>3.5.8.3. Regimul dinamic la <math>\psi=ct</math> . . . . .</b>	<b>47</b>
<b>3.5.8.4. Regimul dinamic la <math>\psi \cdot i = ct</math> . . . . .</b>	<b>51</b>
<b>3.5.8.5. Regimul dinamic oarecare . . . . .</b>	<b>52</b>
<b>3.5.8.6. Metoda grafo-analitică de rezolvare a ecuațiilor regimului dinamic oarecare . . . . .</b>	<b>52</b>
<b>3.5.8.7. Metodă experimentală grafo-analitică de determinare a regimului dinamic oarecare. . . . .</b>	<b>60</b>
<b>3.5.8.8. Metodă experimentală de determinare a caracteristicii de magnetizare <math>\psi=f(i)</math> a unui electro-magnet. . . . .</b>	<b>65</b>
<b>3.5.9. Soluționarea ecuațiilor regimului dinamic prin metode numerice. Metodă îmbunătățită. . . . .</b>	<b>66</b>
<b>3.5.10 Calculul inductivităților și fluxurilor pentru electromagnetii "în manta" . . . . .</b>	<b>77</b>
<b>Cap.IV. PROIECTAREA ELECTROMAGNETILOR DE CURENT CONTINUU PENTRU FUNCȚIILE LUI ÎN REGIM DINAMIC. . . . .</b>	<b>88</b>
<b>4.1. Întroducere. . . . .</b>	<b>88</b>
<b>4.2. Soluții noile tehnice de proiectare a electromagnetilor de curent continuu pentru funcționarea în regim dinamic. . . . .</b>	<b>89</b>
<b>4.3. Lectare a electromagnetilor de curent continuu pentru funcționarea în regim dinamic. . . . .</b>	<b>93</b>
<b>Cap.V. SCHEME ELECTRONICE DE ALIMENTARE SE COMANDĂ DIS- TANȚA PENTRU TONARE LI- ALINIERE. . . . .</b>	<b>100</b>
<b>5.1. Schemă electronică cu reglaj în buclă închisă pentru alimentarea DPP . . . . .</b>	<b>100</b>
<b>5.2. Schemă electronică cu reglaj în buclă deschisă pentru alimentarea DPP . . . . .</b>	<b>101</b>
<b>5.3. Schemă electronică cu reglaj în buclă deschisă pentru alimentarea DPP . . . . .</b>	<b>102</b>
<b>5.4. Sisteme electronice de comandă a alimentării</b>	<b>107</b>

	Pag.
<b>Cap.VI. REALIZARI SI INCERCARI EXPERIMENTALE . . . . .</b>	<b>110</b>
6.1. Proiectarea, construcția și încercarea unui DPP unidirecțional. . . . .	110
6.1.1. Proiectarea și construcția electromagnetului de acționare a DPP. . . . .	110
6.1.2. Calculul parametrilor regimului dinamic de funcționare a electromagnetului . . . . .	118
6.1.3. Încercarea electromagnetului de acționare a DPP unidirecțional. . . . .	119
6.1.3.1. Încercări la mers în gol. . . . .	119
6.1.3.2. Încercări la mers în sarcină. . . . .	127
6.1.3.3. Încercări statice. Metode de determinare a forței dezvoltate de electromagneti în regim static de funcționare. . . . .	129
6.1.3.4. Măsurarea inductivității. . . . .	134
6.1.4. Construcția, performanțele și aplicații ale unui DPP unidirecțional. . . . .	136
6.2. Proiectarea, construcția și încercarea unui DPP bidirectional. . . . .	138
6.2.1. Proiectarea și construcția electromagnetilor de acționare a DPP bidirectional. . . . .	138
6.2.2. Încercarea electromagnetilor de acționare a DPP bidirectional. . . . .	140
6.2.3. Construcția și performanțele unor DPP bidirectionale. . . . .	142
6.3. Dispozitive mecanice și electronice pentru alimentarea și comanda DPF. . . . .	146
6.3.1. Dispozitive mecanice și electronice pentru alimentarea și comanda DPF unidirecțional . . . .	146
6.3.2. Dispozitive electronice pentru alimentarea și comanda DPF bidirectionale. . . . .	148
6.4. Acționarea cu DPF bidirectionale a separatorului electric de 110 kV. . . . .	153
6.4.1. Soluțiile actuale de acționare a separatoarelor electrice de înaltă tensiune. . . . .	153
6.4.2. Acționarea separatoarelor electrice de înaltă tensiune cu motoare electrice liniare . . . . .	153
6.4.3. Acționarea separatoarelor electrice de înaltă tensiune cu DPF bidirectionale. . . . .	156

<b>6.4.4. Studiul tehnico-economic privind utilizarea DPP în acționările electrice. . . . .</b>	<b>158</b>
<b>6.5. Alte aplicații ale oscilomotoarelor liniare . .</b>	<b>159</b>
<b>    6.5.1. Ciocane cu acționare electromagnetică . . . . .</b>	<b>159</b>
<b>        6.5.1.1. Considerații tehnice și energetice. . . . .</b>	<b>159</b>
<b>        6.5.1.2. Variante constructive de ciocane electromagnetice experimentale. . . . . . . . . . .</b>	<b>160</b>
<b>        6.5.1.3. Performanțele moilelor experimentale de ciocane electromagnetice. . . . . . . . .</b>	<b>165</b>
<b>        6.5.1.4. Studiul tehnico-economic privind utilizarea ciocanelor electromagnetice. . . . . . . .</b>	<b>168</b>
<b>    6.5.2. Minicompresor acționat electromagnetic . . . .</b>	<b>170</b>
<b>    6.5.3. Utilizarea oscilomotoarelor la acționarea intruptoarelor electrice. . . . . . . . .</b>	<b>170</b>
<b>Cap.VII. CONCLUZII. . . . . . . . . . . . . . . . . .</b>	<b>174</b>
<b>Cap.VIII ANEXE. . . . . . . . . . . . . . . . . . .</b>	<b>179</b>
<b>    Anexa 1. Ecuatiile de tip Lagrange referitoare la regimul dinamic al electromagnetilor. . . .</b>	<b>179</b>
<b>    Anexa 2. Teoremele clasice ale forțelor generalizate (lagrangiene). . . . . . . . . . .</b>	<b>180</b>
<b>    Anexa 3. Instrumente și aparate folosite pentru măsurători și înregistrări. . . . . . . .</b>	<b>184</b>
<b>    Anexa 4. Funcționarea schemei electrice a dispozitivului electronic II . . . . . . . . .</b>	<b>186</b>
<b>    Anexa 5. Calculul economic privind construcția modelului de DPP bidirectional. . . . . . . .</b>	<b>188</b>
<b>Cap. IX DOCUMENTO . . . . . . . . . . . . . . . . . .</b>	<b>193</b>

## I. ACTIONĂRI.

### 1.1. Actionări electrice liniare continue.

Deplasările liniare continue necesare în domeniul acționărilor electrice se obțin actualmente prin următoarele procedee /7/, /47/, /53/, /76/, /81/, /85/:

- a) Convertirea mișcării de rotație a unui motor electric într-o mișcare de translație, prin intermediul unor dispozitive mecanice adecvate;
- b) Utilizarea motoarelor electrice liniare;
- c) Utilizarea electromagnetilor.

Piecare dintre aceste procedee prezintă o serie de avantaje (randament energetic ridicat la magini electrice rotative, realizarea directă a mișcării de translație de către motoarele electrice liniare și electromagneti etc.) care au favorizat aplicarea lor largă în tehnici. În același timp sunt cunoscute dezavantajele unei astfel de acționări, dintre care enumerăm:

- complicarea constructivă a acționărilor liniare realizate cu motoare electrice rotative, datorită necesității introducerii unor construcții mecanice suplimentare, care să transforme mișcarea rotativă în mișcare liniară;
- randamentul energetic scăzut al motoarelor electrice liniare;
- cureă relativ scurtă a electromagnetilor și variația forței de acționare pe lungime cursui etc.

### 1.2. Acționări electrice liniare discrete (incrementale).

Acționările liniare discrete (incrementale, sau pas cu pas) pot fi realizate prin intermediul motoarelor electrice rotative și liniare pas cu pas, utilizate în numeroase domenii ale tehnicii, cum ar fi: mașinile ușoare cu comandă numerică, echipamentele periferice de calcul, tehnica cinematografică și de televiziune, roboți industriali, tehnica militară, telecomunicații etc. /50/.

Acționările cu motoare electrice pas cu pas prezintă o serie de avantaje, îndeosebi în aplicațiile în care se cere realizarea unei mișcări incrementale folosind sisteme de comandă numerică. Dintre aceste avantaje cele mai importante sunt:

- asigură unicitatea conversiei impuls-deplasare și pot fi utilizate în circuit deschis;
- gamă largă de frecvență de comandă;

- permit permisi, opriri, revoluții fără pierderi de pas;
- numeroasă poziție;

De avantajele utilizării motoarelor electrice pas cu pas sunt:

- increment de viteza de lucru și putere un motor dat;
- rendament scăzut;
- capacitate limitată în ceea ce privește acționarea unei sarcini cu inerție mare;
- viteza relativ scăzută;
- necesitatea de schema adaptată la tipul constructiv și relativ complexă.

### 1.3. Continutul tezei: contribuțiile aduse în lucrare de către autor.

Teza propune noi tipuri de dispozitive electromagnetice, capabile să realizeze acționări liniare pas cu pas, cu un rendament energetic avantajos pentru o serie de aplicații practice, într-o construcție economică, fiabilă.

În capitolul II al tezei se prezintă principiul constructiv și funcțional al unei asemenea originale dispozitive electromagnetice, denumite prescurtat în cuprinsul tezei D P P, unidirectionale și bidirectionale, detaliindu-se construcția și funcționarea elementului cheie al dispozitivelor: „Sumatorul de oscilații”. Asemănător pînă la un anumit punct cu oscilometrul liniar /76/ și cu motorul rotativ pas cu pas de tip solenoidal /54/, reprezentând în fapt o combinație a acestor două tipuri de motoare, cu o serie de diferențe specifice, D P P are următoarele caracteristici: - forță mare de acționare, viteza relativ scăzută, reglabilă în frecvență, realizează forță de fixare fără să fie necesară alimentarea înfășurărilor.

În capitolul III se realizează un studiu amănunțit și riguros al comportării în regim dinamic a electromagnetilor care constituie organul motor al D P P. Pe baza analizei caracteristicilor regimului dinamic se rețin importante concluzii privind modul de alimentare și comandă a D P P în vederea unei funcționări optime. Capitolul cuprinde o extindere originală a teoremei forțelor generalizate, demonstrându-se „a treia teoremă a forțelor generalizate”, prin care aceasta se exprimă în funcție de variația energiei electrice absorbite de la rețea. Cu această nouă teoremă se calculează forța dezvoltată de un electromagnet, rezultând aceeași expresie ca și în calculul efectuat pe baza celor două teoreme clasice, ceea ce confirmă corectitudinea teoremei. De asemenea, se deduce o exprimare mai generală a lucrului mecanic și forței dezvoltate de electromagnet în regim dina-

nic de funcționare și se formulează concluzii privind modul în care energia electromagnetică immagazinată în cîmpul magnetic principal, precum și în cel de dispersie contribuie la crearea lucrului mecanic dezvoltat de electromagnet.

Prezentind critic soluțiile actuale de studiere a regimului dinamic, în același capitol se realizează un studiu al regimului dinamic al electromagnetilor pentru situația reală în care regimul tranzitoriu electric se suprapune peste mișcarea armăturii mobile, necesitând integrarea simultană a ecuațiilor regimului tranzitoriu electric și a ecuației de mișcare. Considerind că într-un astfel de regim forța dezvoltată de electromagnet se poate scrie numai pe baza bilanțului energetic general al electromagnetului, în lucrare se propune o metodă originală de determinare a forțelor dezvoltate de electromagneti în regim dinamic de funcționare, rezultând un procedeu numeric și respectiv grafo-analitic de determinare a variației în timp a principalelor mărimi (current, flux, forță, accelerație, viteză, întrefier și.a.) ce caracterizează regimul dinamic. Se propune totodată o metodă experimentală originală de determinare a caracteristicii de magnetizare  $\Psi = f(i)$  a unui electromagnet, în regim electric tranzitoriu și respectiv în regim electric tranzitoriu suprapus peste regimul dinamic de mișcare a armăturii mobile. În continuare se realizează un studiu amănuntit privind calculul fluxurilor total, principal și de dispersie, precum și al inductivităților totală, principală și de dispersie la electromagnetii „în manta”, utilizati în construcția DPP. Se stabilește expresia analitică a derivatei inductivității funcție de întrefier, derivată ce intervine în calculul forței dezvoltate de electromagnet. Pentru regimul dinamic de funcționare a unui electromagnet se realizează generalizarea noțiunii de inductivitate dinamică, precizindu-se influența acesteia asupra variației forței în regimul dinamic, precum și modul în care această inductivitate „de mișcare” intervine în scrierea ecuațiilor acestui regim. Se evidențiază faptul că inductivitățile de tip clasic sunt cazuri particulare ale inductivității „de mișcare” regăsindu-se din aceasta pentru regimuri dinamice particulare. Pe baza inductivității „de mișcare” se indică o metodă aproximativă pentru aprecierea comportării electromagnetilor în regim dinamic.

În capitolul IV, pe baza procedeului numeric stabilit pentru calculul regimului dinamic se prezintă o metodă îmbunătățită de proiectare a electromagnetilor de acționare a DPP, evidențindu-se avantajele acestaia față de proiectarea clasică a electromagnetilor destinați să funcționeze în regim dinamic.

In capitolul V se prezintă și analizează scheme de comandă și alimentare D P P, asemănătoare celelor utilizate în comandă și alimentarea motoarelor electrice pas cu pas.

In capitolul VI sunt prezentate modelale de D P P executate, precum și performanțele obținute de către acestea în funcționare. Cu ajutorul unei aparaturi complexe au fost efectuate pe aceste modele măsurători de cimp, forță, acceleratie și.a., prin intermediul căroras-au obținut date prin care au fost verificate experimental metodele de studiere a regimului dinamic și de proiectare a electromagnetilor prezentate în capitoalele III și IV. A rezultat o bună concordanță a rezultatelor teoretice și experimentale. Se prezintă totodată o serie de măsurători care verifică experimental două metode originale propuse de autor pentru determinarea forțelor dezvoltate de electromagnet în regim static de funcționare. In acest capitol este prezentată de asemenea o aplicație concretă a unui D P P la acționarea unui separător electric de înaltă tensiune, studiul tehnico-economic realizat evidențiind avantajele unei astfel de acționări față de acționările clasice. Se prezintă și alte aplicații ale dispozitivului oscilant care stă la baza funcționării D P P, detaliindu-se dintre acestea cicloul electromagnetic.

In capitolul VII sunt reunite principalele concluzii rezultate din studiul teoretic și experimental abordat în teză.

Autorul adresează mulțumiri călduroase conducerii Institutului politehnic "Traian Vuia", Decanatului Facultății de electrotehnică din Timișoara, conducerii Catedrei de electroenergetică, conducătorului științific și colegilor din facultate pentru condițiile create și pentru sprijinul prețios și dezinteresat acordat la elaborarea tezei.

## C a p i t o l u l II

### PRINCIPIILE FUNCȚIONALE SI CONSTRUCTIVE ALE DISPOZITIVELOR ELECTROMAGNETICE PENTRU ACTIONARI LINIARE PAS CU PAS.

#### 2.1. Principiul de funcționare.

Dispozitivele electromagnetice pentru acționări liniare pas cu pas (DPP) își bazează funcționarea pe mișcarea de oscilație executată de armătura mobilă a unui electromagnet, obținută prin acțiunea succesiivă asupra armăturii a două forțe, una activă și celalată antagonistă. Forța activă este de natură electromagnetică, obținută prin alimentarea bobinei electromagnetului de acționare a DPP cu o tensiune alternativă, sau sub formă de impulsuri, sau tren de impulsuri, de o anumită frecvență, dependentă de construcția electromagnetului și de sarcină. Forța antagonistă poate fi creată mecanic, cu ajutorul unui sistem cu resorte, sau electromagnetic, cu ajutorul unui electromagnet auxiliar alimentat electric asemănător electromagnetului de acționare.

In figura 2.1 este prezentată o soluție de principiu referitoare la obținerea mișcării oscilante a armăturii mobile a unui electromagnet, în care forța activă este forță de atracție dezvoltată de electromagnet, iar forța antagonistă este realizată mecanic de un sistem cu resorte.

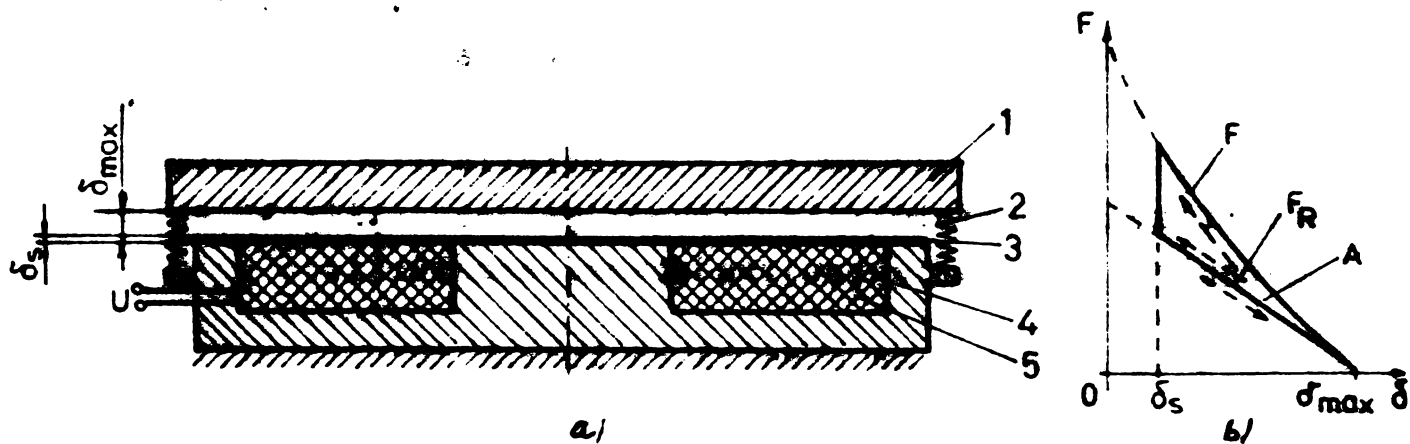


Fig.2.1. a) Electromagnet cu mișcare oscilantă a armăturii mobile;  
b) Diagrama forțelor activă și antagonistă;

1. Armătură mobilă; 2. Resoarte; 3. Rondelă amortizoare; 4. Armătură fixă; 5. Bobinaj; U - tensiune de alimentare sub formă de impulsuri; δ<sub>max</sub> - intrefierul maxim; δ<sub>s</sub> - intrefier de siguranță(minim); F - forță de atracție dezvoltată de resoarte; A - luerul mecanic efectuat de electromagnet într-un ciclu de acționare.

După cum se observă, în figură este prezentată și diagrama forțelor activă și antagonistă funcție de intrefier, pentru un ciclu al acționării (atrageră și respingere a armăturii mobile). Intrefierul de siguranță are rolul de a măsura șocul de la sfârșitul cursei

- - -

de atracție și a evită cizomarea sau lipirea armăturilor.

Lucrul mecanic  $A$  efectuat de armătura mobilă într-un cielu de acțiunare este cu atât mai mare cu cât forța activă  $F$  este mai mare și forța antagonistă  $F_R$  este mai mică.

În figura 2.2 este prezentată soluția de principiu referitoare la obținerea mișcării oscilante a armăturii mobile a unui electromagnet în care atât forță activă cât și cea antagonistă sunt produse pe cale electromagnetică.

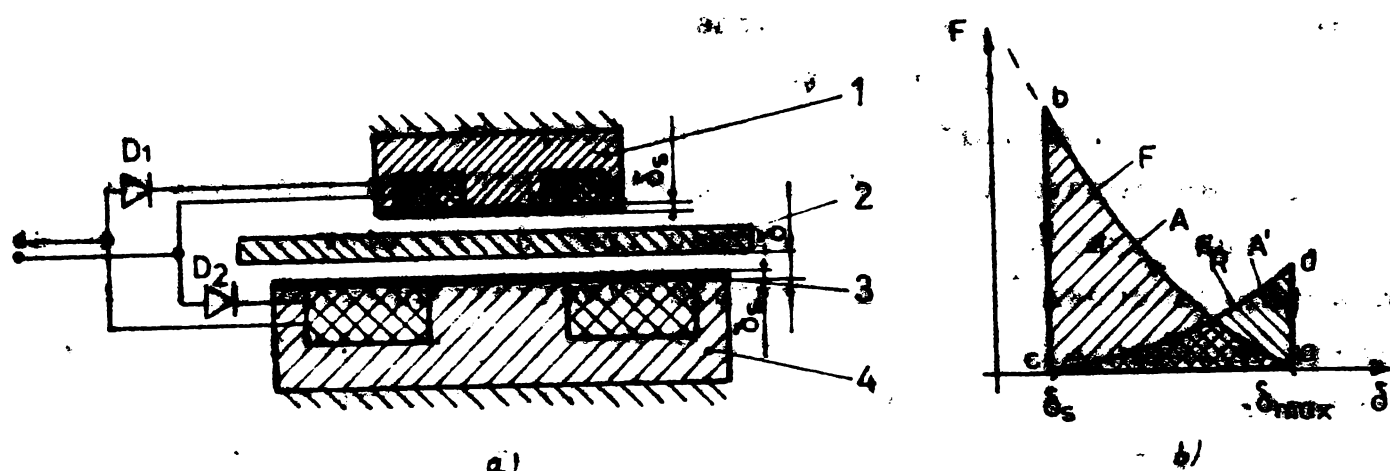


Fig.2.2. a) Dispozitiv electromagnetic cu mișcare oscilantă a armăturii mobile;

b) Diagrama forțelor activă ( $F$ ) și antagonistă ( $F_R$ );  
 1. Electromagnet care crează forță antagonistă; 2. Armătură mobilă; 3. Rondelă amortizoare; 4. Electromagnet care crează forță activă;  $U$  - tensiune de alimentare de frecvență reglabilă;  $D_1, D_2$  - diode redresoare;  $\delta$  - întrefier;  $\delta_s$  - întrefier de siguranță (minim);  $A$  - lucrul mecanic util;  $A'$  - lucru mecanic efectuat pentru reducerea armăturii.

In această situație se observă că lucru mecanic util dat de electromagnetul 4 este proporțional cu aria  $A_{abc}$ , iar lucru mecanic pentru reducerea armăturii este proporțional cu aria  $A_{cda}$ , lucru mecanic total efectuat de dispozitiv pentru un cielu al acționării fiind suma celor două arii.

Principiul de funcționare al unui DPP constă în încumare într-un sens sau altul a oscilațiilor liniare ale armăturii mobile a unui electromagnet, rezultând o mișcare liniară incrementală (pas cu pas), având pasul egal cu amplitudinea oscilației armăturii mobile. DPP reprezintă apăsările redresoare de oscilații mecanice realizate pe cale electromagnetică. Forțele de acțiunare, precum și lucru mecanic efectuate de către DPP pentru un pas al acționării sănt, în principiu, conforme cu cele reprezentate în figurile 2.1.b și 2.2.b.

Funcție de posibilitățile de redresare a oscilațiilor, DPP pot fi unidirectionale sau bidirectionale.

## 2.2. Dispozitive electromagnetice cu mișcare liniară pas cu pas unidirectionale.

In figura 2.3 se prezintă schița de principiu a unei variante de DPP unidirectional, în care forța de acționare se obține prin alimentarea electromagnetului cu tensiune sub formă unui tren de impulsuri, iar forța antagenistă este realizată mecanic de un sistem cu resoarte.

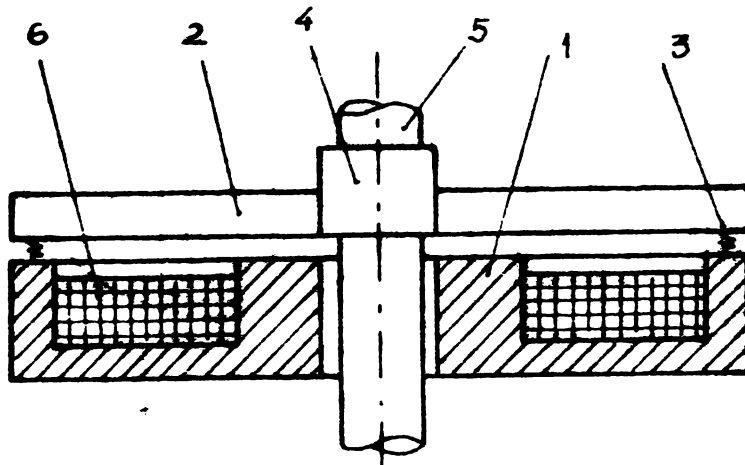


Fig.2.3. D P P unidirectional:

1. Armătură fixă; 2. Armătură mobilă; 3. Resoarte antegonsite; 4. Dispozitiv de însumare a oscilațiilor armăturii mobile; 5. Axul antrenat; 6. Bobinaj.

O altă variantă de dispozitiv electromagnetic cu mișcare liniară pas cu pas unidirectional se obține în situația în care forța antagenistă este realizată cu un electromagnet auxiliar, conform figurii 2.2.a.

Electromagneti de acționare pot fi în formă de R, în manta, de tip planjar etc., în funcție de aplicația concretă căreia îi este destinat dispozitivul.

## 2.3. Dispozitive de însumare a oscilațiilor armăturii mobile

Dispozitivele de însumare a oscilațiilor armăturii mobile a unui electromagnet realizează, pentru un sens al oscilației, cuplarea mecanică a armăturii mobile cu axul acționării. Pentru celălalt sens al oscilației, armătura mobilă se mișcă liber față de axul acționării. Dispozitivele de însumare a oscilațiilor armăturii mobile se pot construi în numeroase variante, în continuare fiind prezentate cîteva dintre acestea.

In figura 2.4 este reprezentată schița unui dispozitiv care realizează însumarea într-un sens a oscilațiilor armăturii mobile a unui electromagnet datorită conicității sistemului de clichetăi ce

intre în eldătuirea dispozitivului. În figure sunt indicate schemele de oscilație a armăturii mobile și sensul deplasării axului actionării.

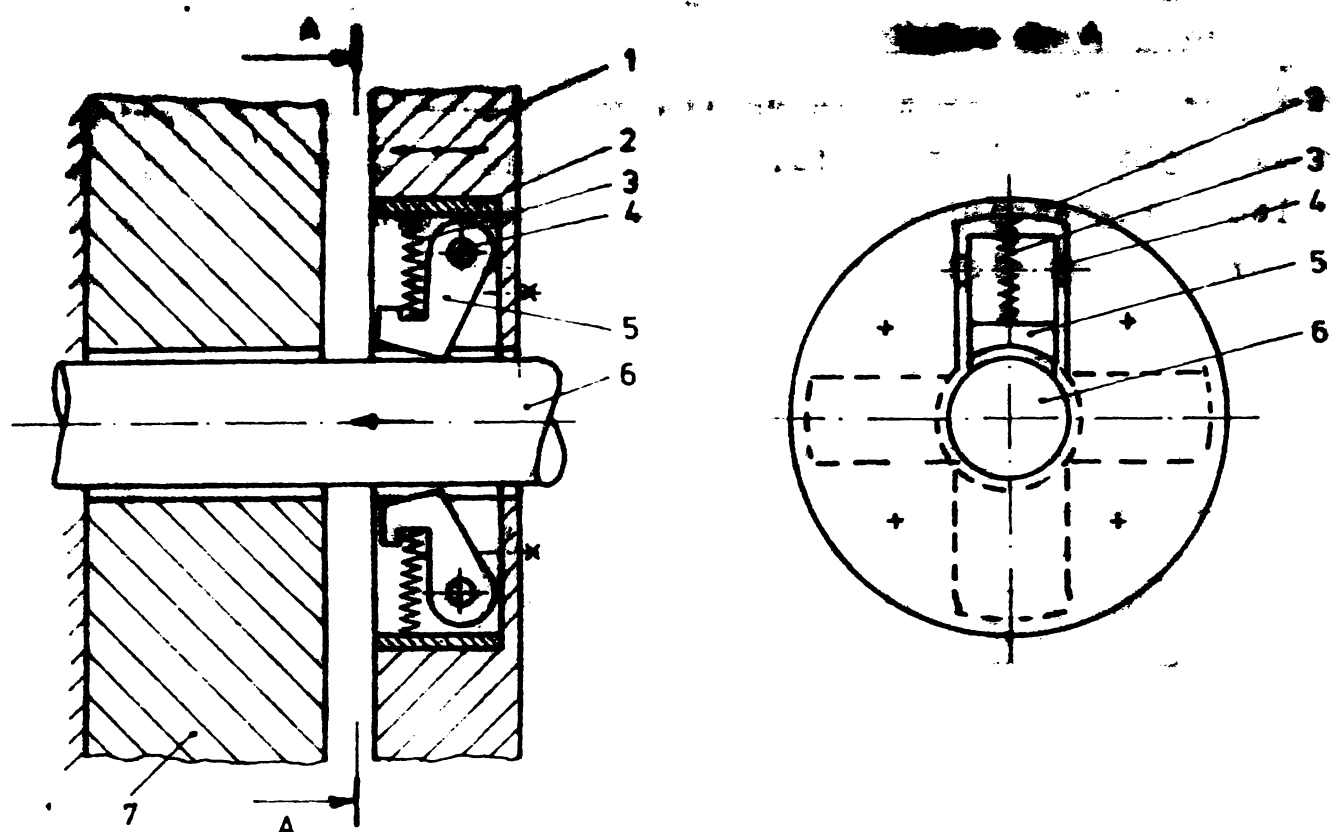


Fig.2.4. Dispozitiv de însumare unidirecțională a oscilațiilor armăturii mobile:

1. Armătură mobilă;
2. Carcasa dispozitivului de însumare;
3. Resort de compresiune;
4. Axul clichețului;
5. Clichet;
6. Axul actionării;
7. Armătura fixă.

Pentru un alt tip de dispozitiv de însumare a oscilațiilor, axul actionării este neted, forța de acționare fiind transmisă prin frecarea clicheților de ax.

În figura 2.5 este reprezentat un alt tip de dispozitiv, care realizează însumarea unidirecțională a oscilațiilor prin intermediul unui sistem cu clicheți ce acționează prin angrenare asupra unui ax a cărui suprafață este crescută. Acest tip de dispozitiv poate transmite forțe de acționare de valori mari, fără pierderi de pasi, cu condiția ca amplitudinea oscilației să fie un multiplu întreg al pasului clicheților executate pe arbore.

Pentru variantele de dispozitive de însumare unidirecțională a oscilațiilor prezentate în figurile 2.4 și 2.5 este avantajos ca sistemul de clicheți și axul actionării să fie executate din materiale nemagnetice, evitând astfel apariția unor fluxuri de dispersie ce s-ar închide pe aceste căi.

Alte variante de dispozitive de însumare a oscilațiilor armăturii mobile pot fi executate din materiale feromagnetic, astfel încât fluxul de dispersie ce se închide prin sistemul de clicheți și axul acționării să creeze forțe de atracție între clicheți și ax,

care să înlocuiască funcțional resursele 3 din figurile 2.4 și 2.5.

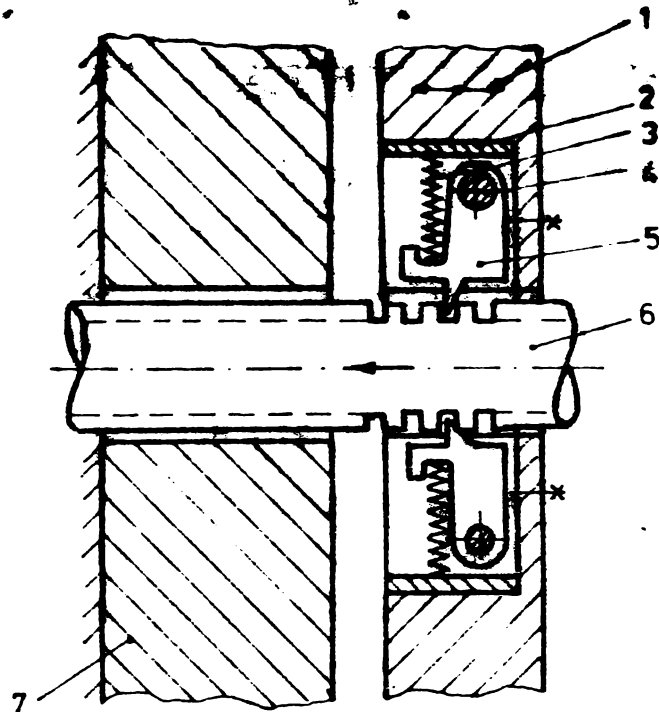


Fig.2.5. Dispozitiv de însumare unidirecțională a oscilațiilor armăturii mobile:

1. Armătură mobilă;
2. Carcasa dispozitivului de însumare;
3. Resort de compresiune;
4. Axul clichetului;
5. Clichet;
6. Axul acționării (cu creștături);
7. Armătură fixă.

Dispozitivele de însumare prezentate sunt aplicabile în situațiile în care sarcina ce apare la axul acționării este o forță cu caracter rezistent. Dacă sarcina este de natură unei forțe antagoniste, este necesar un sistem suplimentar de clichetă, atașată armăturii fixe, care să blocheze tendința de mișcare a axului, sub acțiunea sarcinii, în sensul opus acționării, atunci cind armăatura mobilă execută mișcarea de revenire la poziție inițială. Modul de dispunere a acestui sistem suplimentar de clichetă și rolul lor funcțional rezultă din figura 2.6.

Pot fi realizate de asemenea și alte tipuri de dispozitive de însumare a oscilațiilor, cum este cel prezentat în fig.2.7., care este un sistem mecanic cu bile la care forțele de blocare-deblocare se obțin prin intermediul unor electromagneti auxiliari.

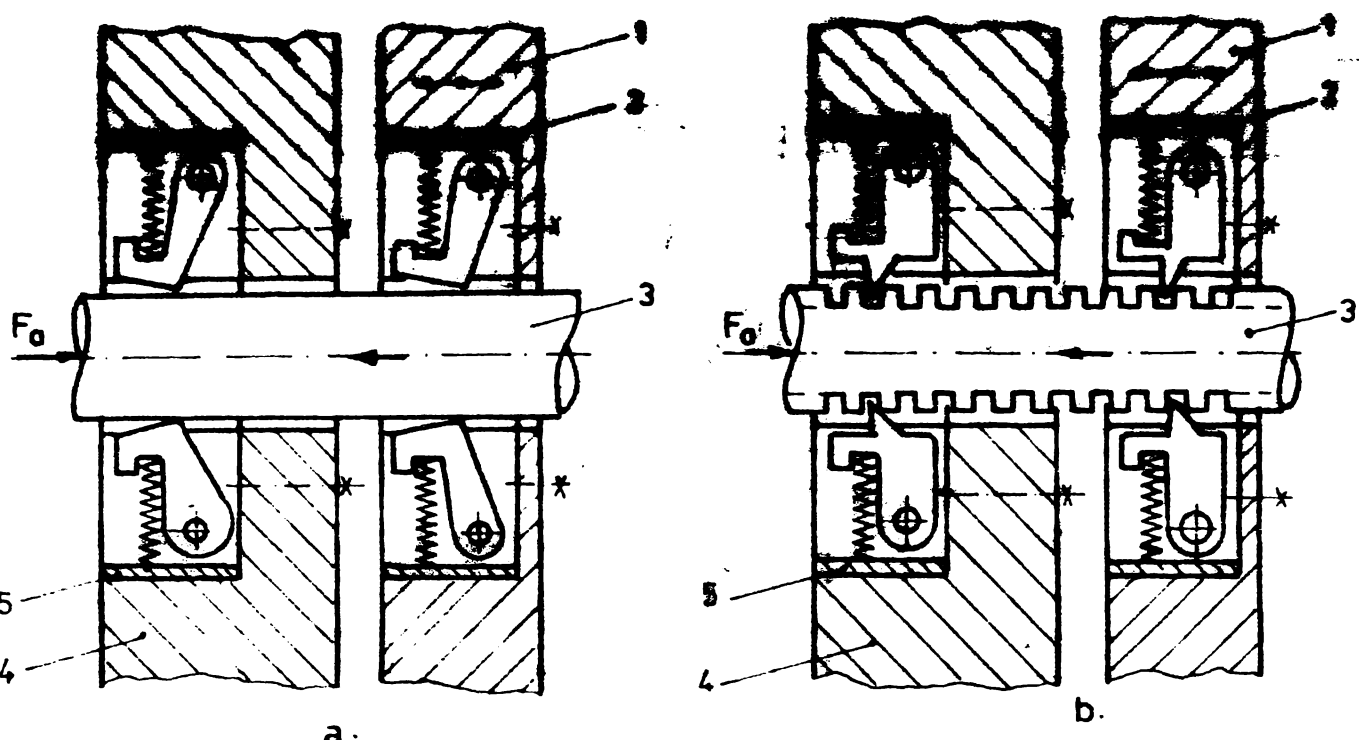


Fig.2.6. Dispozitive de însumare unidirecțională a oscilațiilor armăturii mobile, pentru sarcini cu caracter antagonist.

a) - Dispozitiv de însumare prin frecarea clicheților pe axul acționării; b) Dispozitiv de însumare prin angrenația clicheților cu axul acționării.

1. Armătura mobilă; 2. Sistemul de clicheți de acționare; 3. Axul acționării; 4. Armătură fixă; 5. Sistemul auxiliar de clicheți;  $F_a$  - sarcina de natură antagonistă.

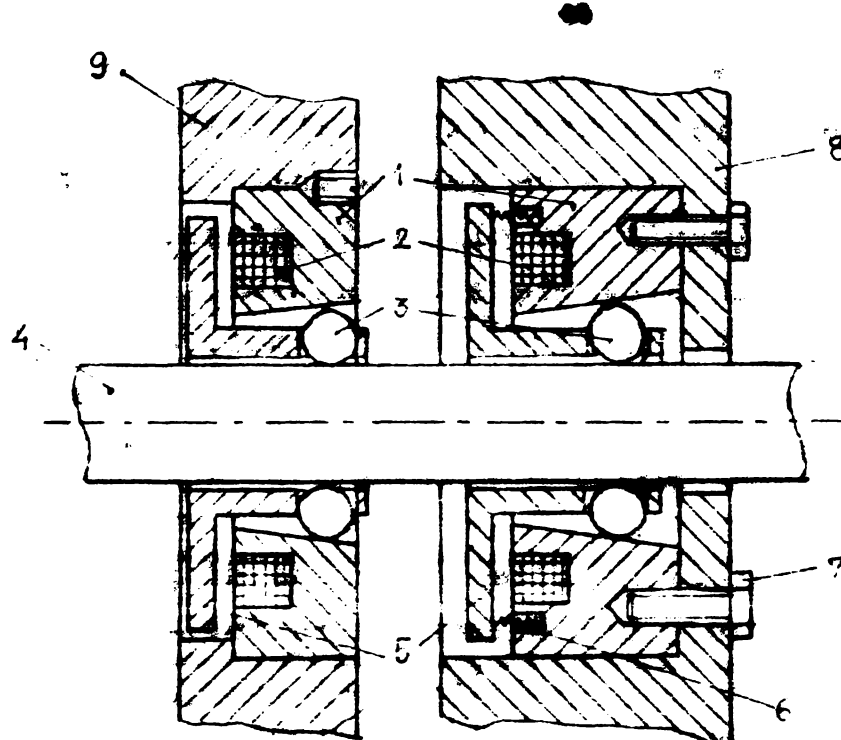


Fig.2.7. Dispozitiv tip "torpedo" de însumare a oscilațiilor armăturii mobile:

1. Casete conice; reprezintă și miezul electromagnetelor auxiliari; 2. Bobinajele electromagnetilor auxiliari; 3. Bile; 4. Axul acționării; 5. Armăturile mobile ale electromagnetilor auxiliari; 6. Resoarte; 7. Suruburi de fixare; 8. Armătura fixă a electromagnetului de acționare a DFF; 9. Armătura mobilă a electromagnetului de acționare a DFF.

#### 2.4. Dispozitive electromagnetice cu miscare liniera pas cu pas bidirectionale.

In mod formal, se poate considera că din punct de vedere functional, un DPP bidirectional constituie o insumare a două DPP unidirectionale. Constructiv însă, funcție de natura sarcinii, apar importante deosebiri între cele două tipuri de dispozitive electromagnetice. In figura 2.8. se prezintă un dispozitiv de insumare bidirectională a oscilațiilor armăturii mobile tip "torpedo", caracterizat prin fiabilitate ridicată și capacitate de a transmite la axul acționării forțe de valori foarte ridicate. Se observă că pentru a se realizea o acționare într-un sens sau celălalt cu un DPP echipat cu un dispozitiv torpedo, este necesară o schemă de comandă și alimentare relativ complicată, care să sincronizeze alimentarea cîte unei perchi electromagnet de acționare - electropagnet auxiliar pentru blocarea-debloarea acționării.

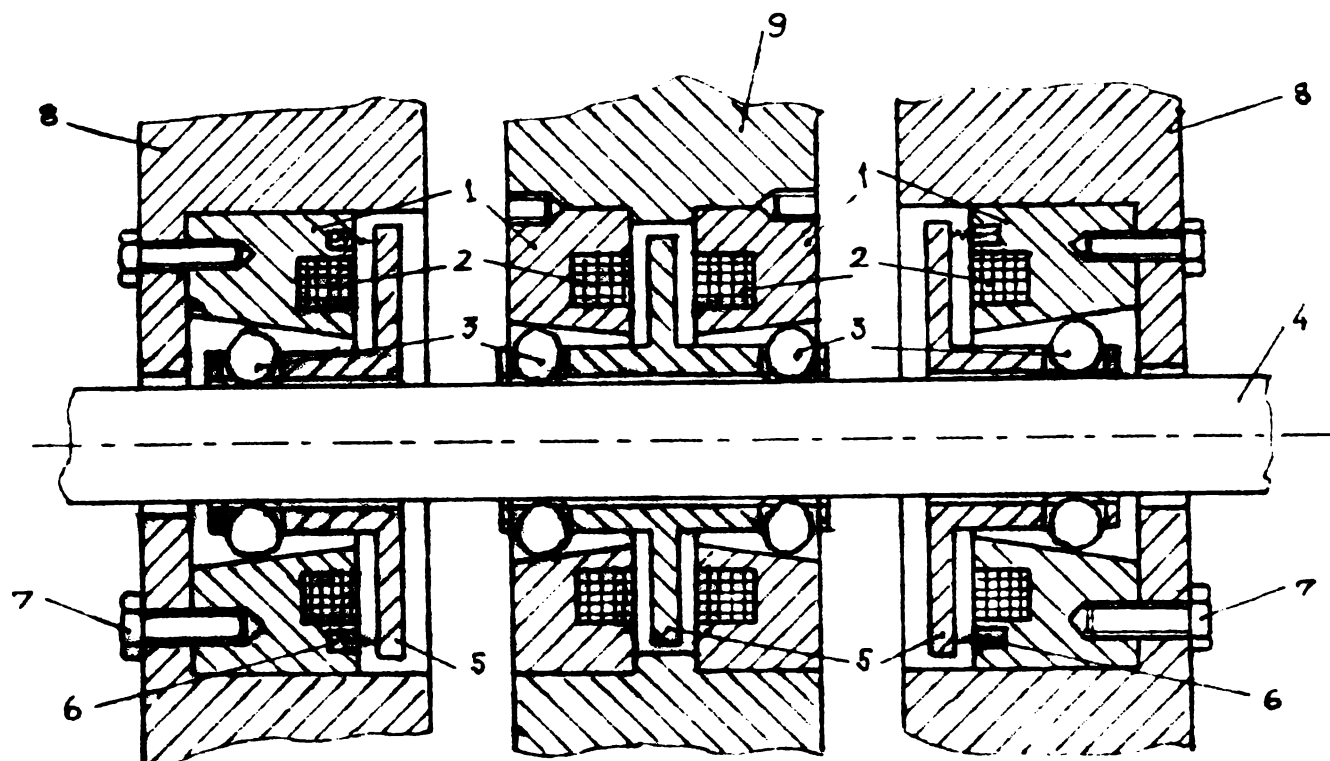


Fig.2.8 . Dispozitiv tip „torpedo” de insumare bidirectională a oscilațiilor armăturii mobile:

1. Casete conice; reprezintă și miezul electromagnetelor auxiliari;
2. Bobinajele electromagnetelor auxiliari;
3. Bile;
4. Axul acționării;
5. Armăturile mobile ale electromagnetelor auxiliari;
6. Resoarte;
7. Suruburi de fixare;
8. Armăturile fixe ale electromagnetelor de acționare;
9. Armătura mobilă a D P P.

La o comandă potrivită, armătura mobilă 9 se deplasează liber față de axul acționării 4 deoar intr-un sens, iar în sensul opus, datorită strângerii exercitată de conicități, antrenează în miscare și axul.

## Capitolul III

### STUDIUL REGIMULUI DINAMIC DE FUNCȚIONARE A DISPOZITIVELOR ELECTROMAGNETICE PEZBRIU AGRIONARI LIMIARE PAS CU PAS.

#### 3.1. Introducere.

Principiul de funcționare a DPP evidențiază faptul că, în timpul acționării, electromagnetul care constituie organul motor se găsește în permanentă într-un regim dinamic de funcționare.

In literatura de specialitate /43/, /45/, /48/, /52/, /54/, se arată că mărurile ce caracterizează funcționarea unui electromagnet în regim dinamic diferă substanțial de aceleasi mărimi din regimul static. Rezultă așadar că în mod necesar calculul și proiectarea unor asemenea dispozitive de acționare trebuie realizată având la bază caracteristicile regimului dinamic de funcționare a unui electromagnet.

#### 3.2. Considerente energetice.

In timpul deplasării armăturăi electromagnetă transformă energia electrică în energie mecanică prin intermediul cîmpului electromagnetic. Cum în timpul procesului de transformare apar acumulări și pierderi de energie, pentru estimarea proprietăților statice și dinamice ale electromagnetelor, se impune analiza sub aspect energetic.

Necind cu  $W_e$  energia electrică absorbită de electromagnet;  $W_m$  energia înmagazinată în cîmpul electromagnetic;  $W_r$  energia pierdută prin efect Joule-Lenz;  $W_c$  energia înmagazinată în capacitate, se poate scrie:

$$W_m = W_e - W_r - W_c \quad (3.1)$$

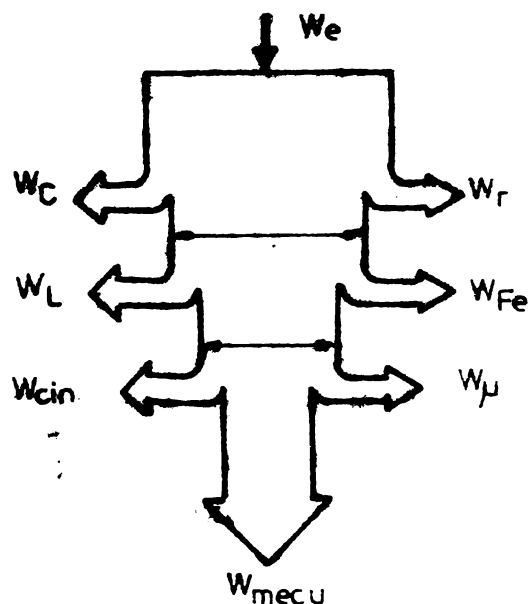
Energia mecanică totală transformată  $W_{mec}$  se obține din energia cîmpului electromagnetic  $W_m$  după ce se scad pierderile în fier  $W_{Fe}$  și energia acumulată în inductivități  $W_L$ :

$$W_{mec} = W_m - W_{Fe} - W_L \quad (3.2)$$

Pentru a obține energia mecanică utilă  $W_{mec u}$ , trebuie luate în considerare și pierderile prin frecare  $W_\mu$ , precum și energia cinetică înmagazinată în masele în mișcare  $W_{cin}$ :

$$W_{mec\ u} = W_{mec} - W_\mu - W_{cin} \quad (3.3)$$

Bilanțul energetic al unui electromagnet, conform relațiilor (3.1), (3.2) și (3.3) este reprezentat grafic în figura 3.1.



**Fig.3.1. Bilanțul energetic al unui electromagnet în regim dinamic de funcționare:**

$W_e$  - energia electrică absorbită de electromagnet;

$W_r$  - energia pierdută prin efect Joule-Lenz;

$W_c$  - energia înmagazinată în capacități;

$W_m$  - energia înmagazinată în cîmpul electromagnetic;

$W_L$  - energia acumulată în inductivități;

$W_{Fe}$  pierderile în fier;  $W_{mec}$  - energia mecanică transformată de electromagnet;

$W_{cin}$  energia cinetică înmagazinată în masele în mișcare;  $W_\mu$  - energia pierdută prin fricare;

$W_{mec\ u}$  - energia mecanică utilă.

Referitor la acest bilanț trebuie făcută observația că pentru aceeași energie  $W_e$  absorbită de la rețea componentele bilanțului pot avea ponderi variabile, funcție de regimul dinamic concret în care se realizează deplasarea armăturii. Energia înmagazinată în capacități și inductivități poate fi recuperată și transformată în lucru mecanic. În toate situațiile însă egalitățile (3.1), (3.2), (3.3) își păstrează valabilitatea.

Regimul static, corespunzând unui cas limită, presupune transformări de energie la o deplasare a armăturii infinit de încetă și la un curent constant, impunind astfel neglijarea termenilor  $U_0$ ,  $U_L$ ,  $U_{\text{sp}}$ ,  $U_{\text{edm}}$ . De aceea, calculale efectuate în acest regim confirmă că forța, energiei și rezistențe ce nu se verifică experimental în ceea ce priveste regimurile dinamice. Numerease lucrări de specialitate abordează, teoretic și experimental studiul regimului dinamic al acționările electromagnetice, propunând, funcție de ipotezele simplificatoare adoptate, diferite metode de rezolvare a acestui regim.

Una dintre ipotezele simplificatoare larg acceptate în acționările electrice /57/ admite că regimul tranzitoriu electric consecutiv conectării înfășurării se înțelege înaintea regimului dinamic de mișcare a elementului motor a acționării, astfel încât regimul tranzitoriu electric se descrie fără a se lua în considerare ecuația mișcării, iar mișcarea se descrie considerindu-se regimul electric permanent. Această ipoteză, utilă pentru simplificarea studiului regimului dinamic, nu poate fi acceptată la acționările cu electromagnete decât în anumite situații (spre exemplu, la electromagnetei lenți). La electromagnetei rapizi regimul tranzitoriu electric se suprapune peste regimul dinamic al deplasării armăturii și ipoteza simplificatoare menționată nu mai poate fi luată în considerare. Alte lucrări de specialitate /39/, /49/ utilizează în studiul regimului dinamic ipoteze simplificatoare prin care se aproximează unele variabile ale acestui regim, cum ar fi spre exemplu accelerata armăturii mobile. Deseori, în analiza regimurilor dinamice ale electromagneteilor se neglijăază fluxurile de dispersie. Toate aceste ipoteze simplificatoare conduc la erori, uneori apreciabile, în rezultatul calculelor de determinarea a parametrilor regimului dinamic al unui electromagnet.

În continuare se prezintă un studiu riguros al caracteristicilor regimului dinamic de funcționare a electromagneteilor utilizati în construcția DPP, propunându-se, comparativ cu metodele clasice, metode originale de soluționare a acestui regim.

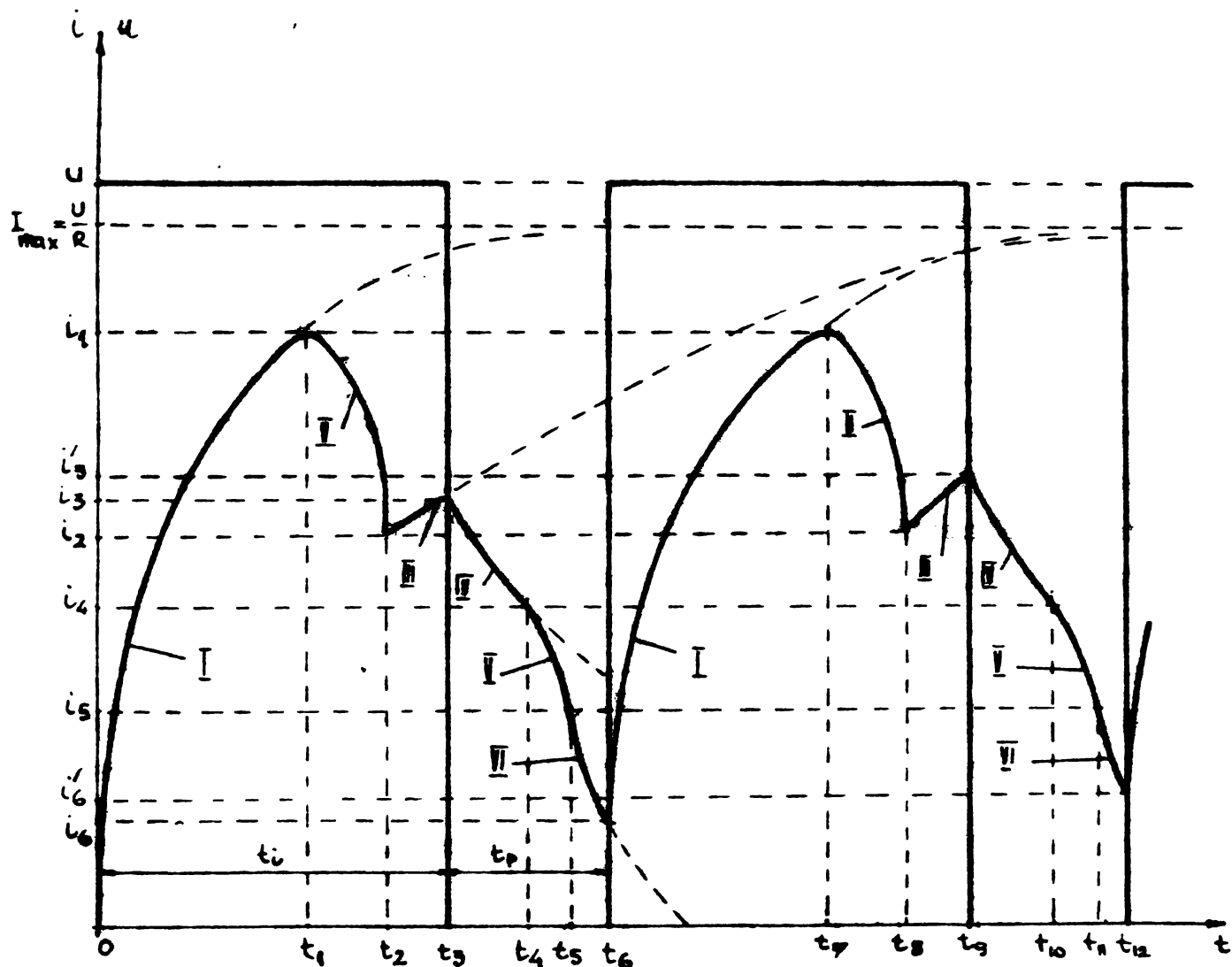
### 3.3. Caracteristicile regimului dinamic de funcționare a electromagneteilor de acționare a DPP.

Înțelegem prin caracteristicile regimului dinamic de funcționare a electromagneteilor de acționare a DPP variația în raport cu timpul a principalelor mărimi ce caracterizează funcționarea unui electromagnet: currentul, fluxul, întrefierul, forța de atracție dezvoltată, accelerata și viteza armăturii mobile. Evidențierea calitativă a acestor caracteristici se poate realiza pe baza unor cons-

tracții grafice, după cum urmează:

### 3.3.1. Características: $i = f(t)$ .

In figura 3.2 se prezintă variația în timp a curentului din înfășurarea unui electromagnet de acționare a unui DPP pe durata primilor doi pași ai acționării, la alimentarea la borne cu tensiune sub formă de impulsuri dreptunghiulare, de amplitudine  $U$  și perioada  $T = t_1 + t_p = t_3 + (t_6 - t_3)$ ,  $t_1$  reprezentând durata impulsului și  $t_p$  durata pauzei. Înădurarea electromagnetului este rezistența  $R$ .



**Fig.3.2.** Diagrama  $i = f(t)$  a electromagnetului de acționare a unui DPP pentru primii doi pași ai acționării.

In diagramă se disting cele șase etape, calitativ diferite între ele ce caracterizează regimul dinamic de funcționare a electromagnetului de funcționare a unui DPP pe durata unui pas.

a) Etapa I, de la momentul 0 la  $t_1$ ; are loc conectarea înăsurării electromagneticului la sursa de tensiune, curentul crescind de la valoarea zero la valoarea  $i_1$ , corespunzător căreia forța dezvoltată de electromagnet devine egală cu forțele care se opun mișcării armăturii mobile; în acest interval de timp armătura mobilă nu se deplasează. Pentru medii liniare (miez nesaturat), inductivitatea este constantă, iar curba I de variație a curentului în acest

interval de timp este dată de ecuația: /9/:

$$i = i_1 e^{-\frac{R}{L_1} t} + \frac{U}{R} (1 - e^{-\frac{R}{L_1} t}) \quad (3.4)$$

unde  $L_1$  este inductivitatea corespunzătoare întrefierului  $\delta_{\max}$  de la care începe mișcarea.

b) Etapa a II-a, de la momentul  $t_1$  la  $t_2$ , interval de timp marcat de începutul, respectiv încheierea deplasării armăturii mobile de la întrefierul  $\delta_{\max}$  la  $\delta_{\min}$ ; datorită modificării inductivității bobinei electromagnetului de la  $L_1$  la  $L_2$ ,  $L_1 < L_2$ , curentul va scădea de la valoarea  $i_1$  la valoarea  $i_2$ , diferind esențial față de variația (figurat punctat în fig.3.2) pe care ar fi avut-o în cazul în care armătura nu s-ar deplasa.

Curba II de variație a curentului în intervalul de timp  $t_1 - t_2$  este o funcție complexă de forma  $i = f(t, \delta)$  nefiind deocamdată posibilă scrierea ei analitică exactă.

c) Etapa a III-a, de la  $t_2$  la  $t_3$ , interval de timp în care curentul crește de la valoarea  $i_2$  la valoarea  $i_3$ , iar armătura mobilă nu se mai deplasează. Curba III de variație a curentului în acest interval de timp este dată de ecuația:

$$i = i_2 e^{-\frac{R}{L_2} (t-t_2)} + \frac{U}{R} (1 - e^{-\frac{R}{L_2} (t-t_2)}) \quad (3.5)$$

d) Etapa a IV-a, de la  $t_3$  la  $t_4$ , interval în care tensiunea la borne este zero, armătura rămânind imobilă la întrefierul  $\delta_{\min}$ . Curentul va scădea de la valoarea  $i_3$  la  $i_4$  conform următoarei legi de variație:

$$i = i_3 e^{-\frac{R}{L_2} (t-t_3)} \quad (3.6)$$

Pentru valoarea  $i_4$  a curentului forța dezvoltată de electro-magnet devine egală cu forțele antagoniste care tind să reducă armătura la poziția caracterizată prin întrefierul  $\delta_{\max}$ .

e) Etapa a V-a de la  $t_4$  la  $t_5$ , interval de timp în care tensiunea la borne este zero, iar armătura se deplasează sub acțiunea forțelor antagoniste de la întrefierul minim la cel maxim, curentul scăzând la valoarea  $i_5$ , iar inductivitatea la valoarea  $L_1$ . Pentru acest interval de timp s-a figurat punctat și legea de variație a curentului conform ecuației (3.6), evidențiuindu-se astfel influența

mișcării de revenire a armăturii asupra variației curentului. Se observă că mișcarea întrefierului contribuie la creșterea vitezei de scădere a curentului. Similar etapei a II-a, curba care descrie variația curentului nu se poate scrie în formă analitică exactă.

f) Etapa a VI-a, de la  $t_5$  la  $t_6$ , interval de timp în care tensiunea la borne este zero, armătura este imobilă la întrefierul  $\delta_{\max}$ , iar curentul scade în continuare de la valoarea  $i_5$  la  $i_6$ , conform următoarei legi de variație:

$$i = i_5 e^{-\frac{R}{L_1}(t-t_5)} \quad (3.7)$$

In cazul considerat în fig.3.2, în care curentul nu scade la zero în pauza de tensiune, pasul al doilea al acționării se reia de la valoarea  $i_6$  a curentului. Cum forța minimă necesară acționării se atinge tot pentru valoarea  $i_1$  a curentului, rezultă că intervalul de timp  $t_7-t_6$  este ceva mai mic decât intervalul de timp  $t_1$ . Deoarece mișcarea armăturii se realizează sub acțiunea același forțe ca și la primul pas, pe aceeași lungime a întrefierului ( $\delta_{\max} - \delta_{\min}$ ), rezultă că intervalul de timp  $t_8-t_7$  este egal cu  $t_2-t_1$ .

Că atare, având în vedere duratele constante ale impulsului și pauzei tensiunii de alimentare, intervalul de timp  $t_9-t_8$  este mai mare decât  $t_3-t_2$  și curentul în etapa a III-a pentru cel de-al doilea pas al acționării va crește la valoarea  $i'_3 > i_3$ . Răționind asemănător se deduce în continuare că  $t_{10}-t_9 > t_4-t_3$ ,  $t_{11}-t_{10} = t_5-t_4$  și  $t_{12}-t_{11} < t_6-t_5$ .

Deoarece pasul al treilea al acționării începe la valoarea  $i'_6 > i_6$  a curentului, rezultă că pe durata acestui pas valorile  $i'_3$  și  $i'_6$  vor cunoaște noi rate ale creșterii. După un număr de pași, valorile curentului la sfîrșitul etapelor a treia și a șasea se vor stabiliza, legea lor de variație fiind funcție de exponentialele care descriu variația curentului. Intervalele de timp constante  $t_1$ ,  $t_p$ ,  $t_2-t_1$ ,  $t_5-t_6$ , precum și parametrii circuitului R și L constituie parametrii pentru funcțiile  $i_3 = i_3(t)$  și  $i_6 = i_6(t)$ . Se observă că acești parametri trebuie alegi astfel încât să asigure o variație a curentului din înfișurarea electromagnetului cel puțin între limitele  $i_1 - i_5$ , asigurând atragerea, respectiv respingerea armăturii.

Dacă regimul considerat conduce la scăderea la zero a curentului pe timpul pauzei de tensiune, valorile curentului la sfîrșitul etapelor III și VI sunt identice pentru toți pașii acționării.

467037  
17444

Diagrama din figura 3.2 oferă importante cunoștințe privind modul de alimentare a DPP pentru a obține o funcționare optimă. Se observă astfel că timpul  $t_1$ ,  $t_3-t_2$ ,  $t_4-t_3$ , și  $t_5-t_4$  sunt „timpuri morți” în care armătura nu se deplasează, energia luată de la rețea fiind dissipată prin rezistența înălțării electromagnetului sau acumulată, respectiv cedată de către inductivitate. Reducerea intervalului de timp  $t_3-t_2$  contribuie la reducerea consumului de energie necesar realizării unui pas al acționării, iar reducerea tuturor „timpilor morți” contribuie la micșorarea perioadei unui pas, deci la mărirea frecvenței pașilor și implicit la creșterea vitezei de acționare fără sporirea consumului de energie.

In figura 3.3 se prezintă variația curentului, respectiv a tensiunii de alimentare pentru o variantă optimizată de alimentare, în scopul obținerii vitezei maxime a acționării (valoare minimă a perioadei unui pas) la un anumit consum energetic, pentru valori date ale sarcinii, respectiv ale forței antagoniste de reducere a armăturii.

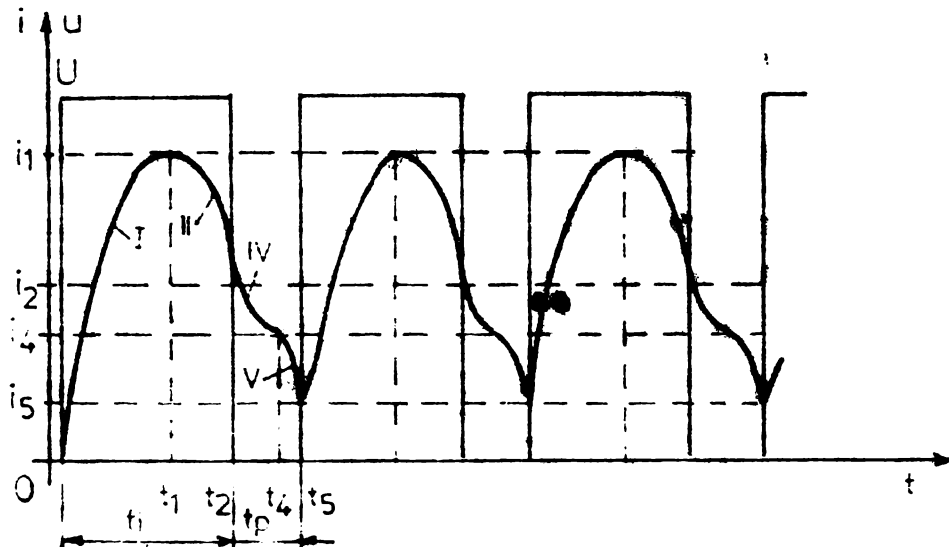


Fig.3.3. Tensiunea de alimentare și variația curentului la o variantă optimizată de alimentare a DPI pentru obținerea vitezei maxime a acționării, la un anumit consum energetic.

Conform figurii 3.3, comparativ cu figura 3.2 se observă că au fost complet suprimate intervalele de timp  $t_3-t_2$  și  $t_5-t_4$  (etapele a treia și a șasea ale regimului dinamic).

Dacă este necesară o frecvență mai mare a oscilațiilor armăturii (a pașilor) decât cea obținută în cazul anterior, la aceleași valori ale sarcinii și forței antagoniste de reducere a armăturii mobile a aceluiași electromagnet, deci aceleși intervale de timp  $t_2-t_1$  și  $t_5-t_4$ , aceasta se poate realiza prin reducerea timpelor  $t_1$ , respectiv  $t_4-t_2$ , prin forțarea creșterii curentului în primul interval de timp și suprasarea acestuia în intervalul de timp  $t_4-t_2$ .

Dacă dimpotrivă, decrim o scădere a frecvenței pașilor acționării, deci a vitezei acționării, fără să sperim consumul energetic aceasta se realizează prin migrarea timpului de pauză  $t_p$  al tensiunii de alimentare.

Diagramele prezentate în figurile 3.2 și 3.3 evidențiază că deplasarea armăturii mobile a electromagnetului (regimul tranzitoriu mecanic) se suprapune peste regimul tranzistoriu electric, în etapele a două și a cincă a acționării. Pentru funcționarea DPP o importanță deosebită au aceste două etape ale regimului dinamic și în mod deosebit etapa a două în care se realizează forța și respectiv cursa activă.

### 3.3.2. Caracteristicile $\psi = f(t)$ și $\psi = f(i)$ .

Variatia în timp a fluxului magnetic  $\psi(t)$  a electromagnetului de acționare a unui DPP pentru primii doi pași ai acționării este prezentată în figura 3.4.

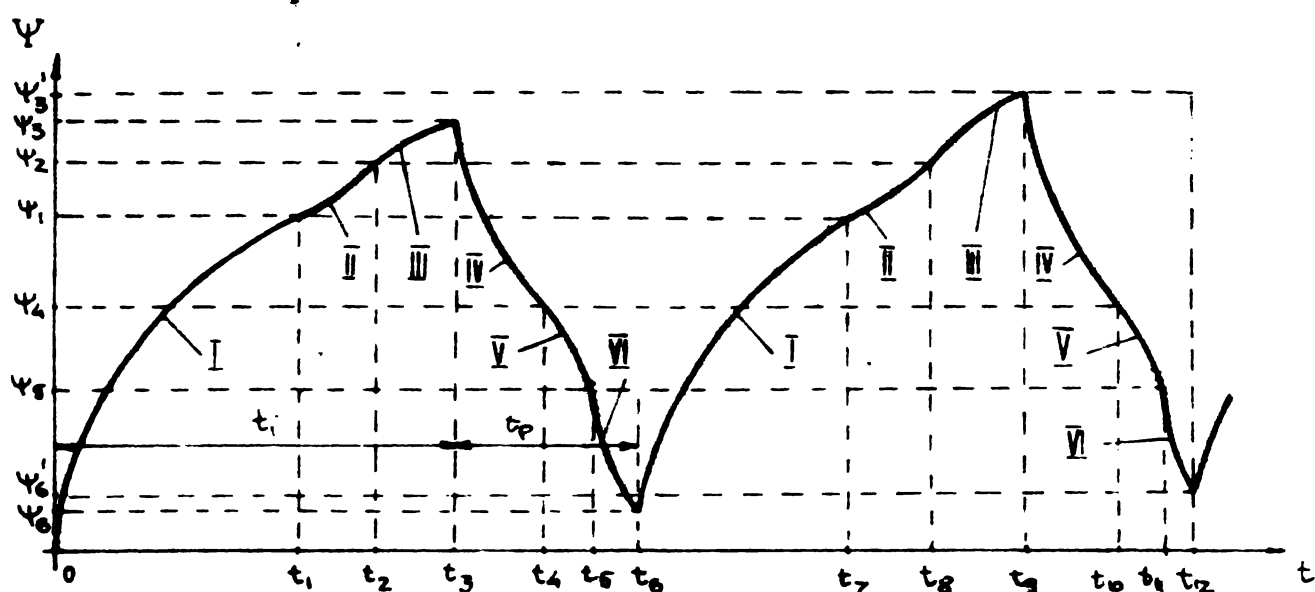


Fig.3.4. Variatia în timp a fluxului magnetic  $\psi$  a electromagnetului de acționare a DPP.

Curbele I,II,...,VI din fig.3.4 corespund intervalelor de timp în care se desfășoară cele șase etape ale regimului dinamic precizate în paragraful 3.3.1. Considerațiile din același paragraf referitoare la  $i_3(t)$  și  $i_6(t)$  sunt valabile și pentru variațiile  $\psi_3(t)$  și  $\psi_6(t)$ . Pe baza figurilor 3.2 și 3.4 se poate reprezenta caracteristica  $\psi = f(i)$  pentru primii doi pași ai acționării. Caracteristica este prezentată în figura 3.5. În figură au fost notate curbele I, II,...,VI, corespunzând etapelor respective ale regimului dinamic.

Curbele I, III, IV și VI din fig.3.5 reprezintă caracteristici de magnetizare ale miezului electromagnetului de acționare, depinzind de materialul și geometria electromagnetului (în principal de permeabilitatea  $\mu$  și întregierul  $C$ ), iar curbele II și V sunt de-

terminată avându-se în vedere și cunoștința nici călărită. Întreaga curăță  
pentru etapele de desplasare a armăturii mobile. Curbele I, III, IV  
și VI se pot determina ușor pe cale experimentală, fără cunoștințe  
uite regimului static, iar curbele II și V se determină din ana-  
liza regimului dinamic al mișcării armăturii. Pînă în prezent nu s-a  
reușit scrierea sau determinarea analitică exactă a curbelor II și V.

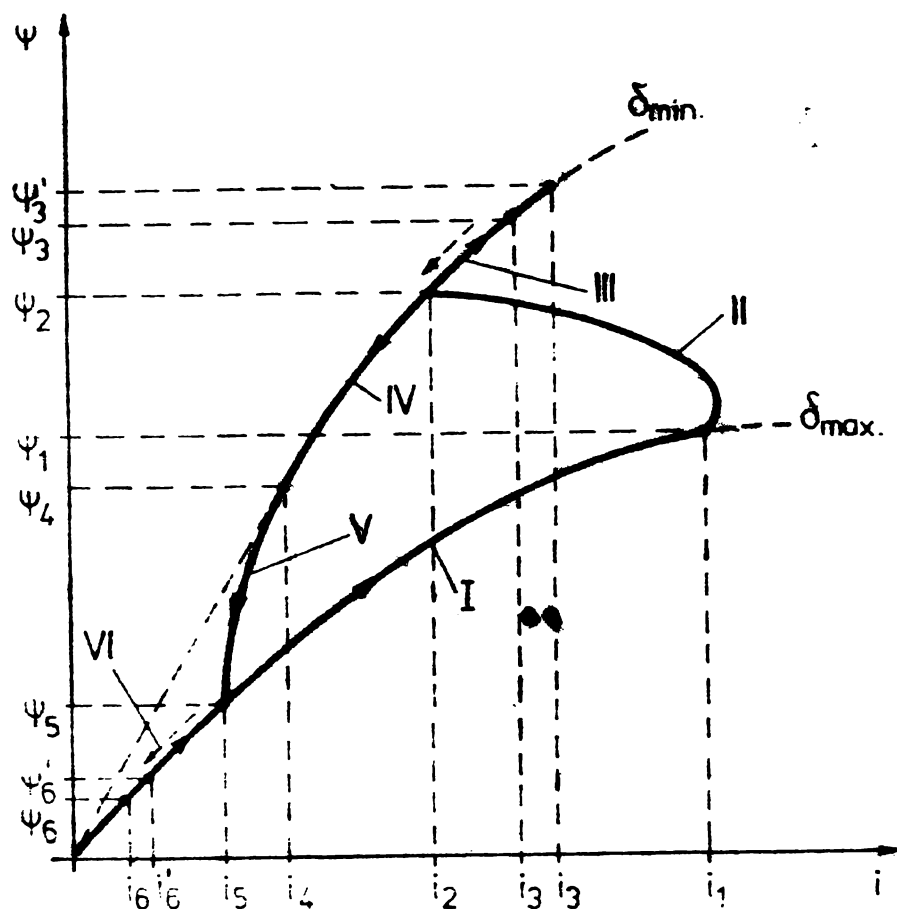


Fig.3.5. Caracteristica  $\psi = f(i)$  a electromagnetului de actionare a DPP.

### 3.3.3. Caracteristicile $a = f(t)$ , $v = f(t)$ și $\delta = f(t)$

In figura 3.6 este reprezentată variația în timp a acceleră-  
ției a, vitezei v și întrefierului  $\delta$ , corespunzătoare celor șase  
etape ale regimului dinamic.

In etapele I, III, IV și VI acceleratia, viteza și întrefie-  
rul sunt constante. Curbele II și V reprezintă legile de variație  
în timp ale accelerăției, vitezei și întrefierului la atragerea, res-  
pectiv respingerea armăturii mobile, pînă în prezent nereușindu-se  
scrierea lor într-o formă analitică exactă.

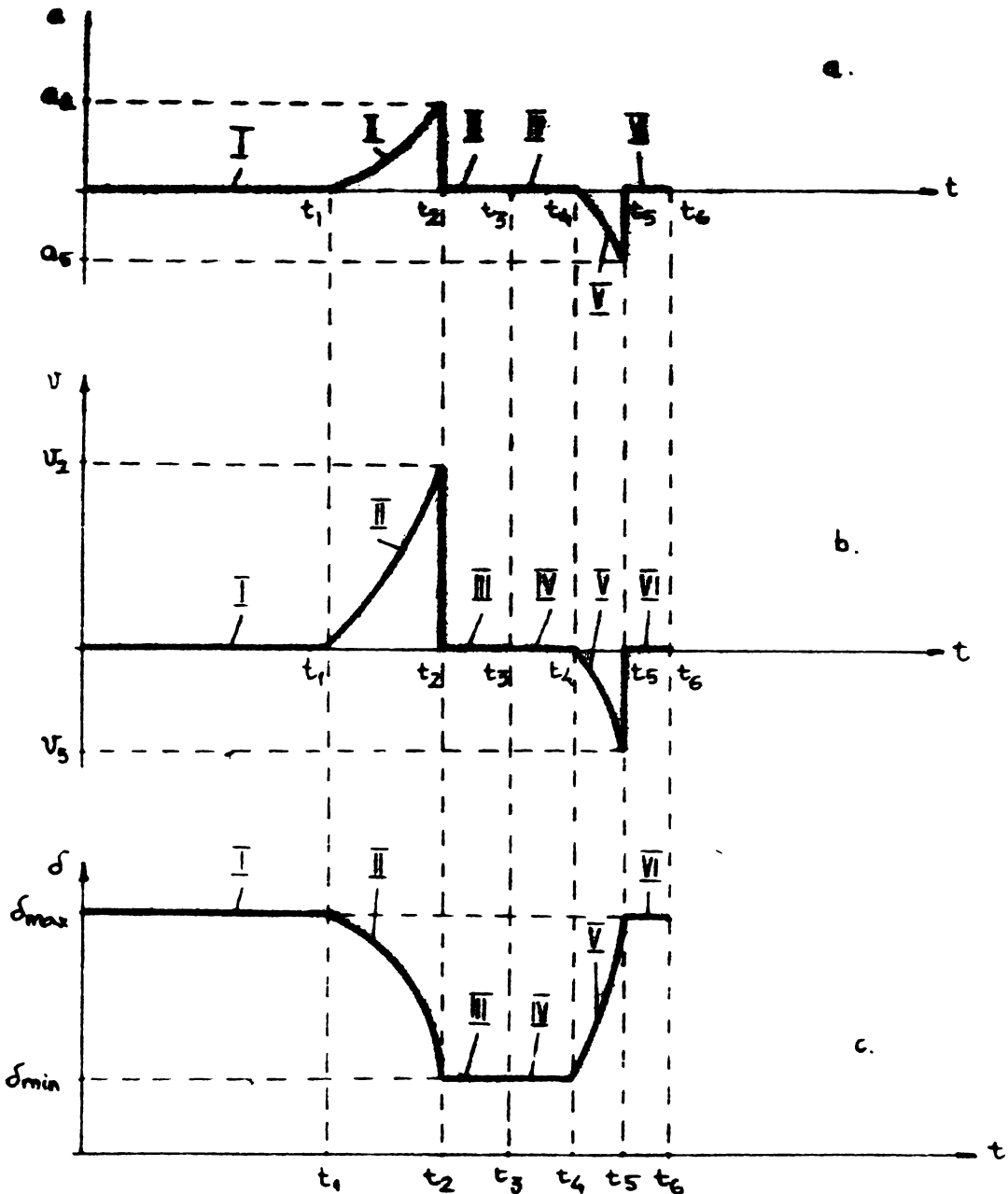


Fig.3.6. Diagramalele acceleratiei  $a$ , vitezei  $v$  și întrefierului  $\delta$  ale electromagnetului de acționare a DPP;  
a)  $a = a(t)$ ; b)  $v = v(t)$ ; c)  $\delta = \delta(t)$

### 3.3.4. Caracteristicile $P = f(t)$ și $P = f(\delta)$ .

In strinsă legătură cu variația în timp a curentului, fluxului și întrefierului rezultă variația în timp a forței dezvoltate de electromagnet,  $P = f(t)$ , precum și variația aceleiași mărimi în raport cu întrefierul  $P = f(\delta)$ , care sunt reprezentate în fig.3.7. Curbele I,II,...VI din fig.3.7 corespund forței dezvoltată de electromagnet în cele șase etape ale regimului dinamic, menționate în cazurile anterioare, iar curba VII reprezintă variația forței antagoniste de reducere a armăturii la întrefierul maxim. În cazul nostru s-a considerat că forța antagonistă este dată de un resort. Curba VIII este sarcina DPP, de natură rezistentă, constantă cu întrefierul, iar curba IX reprezintă suma dintre sarcină și forță an-

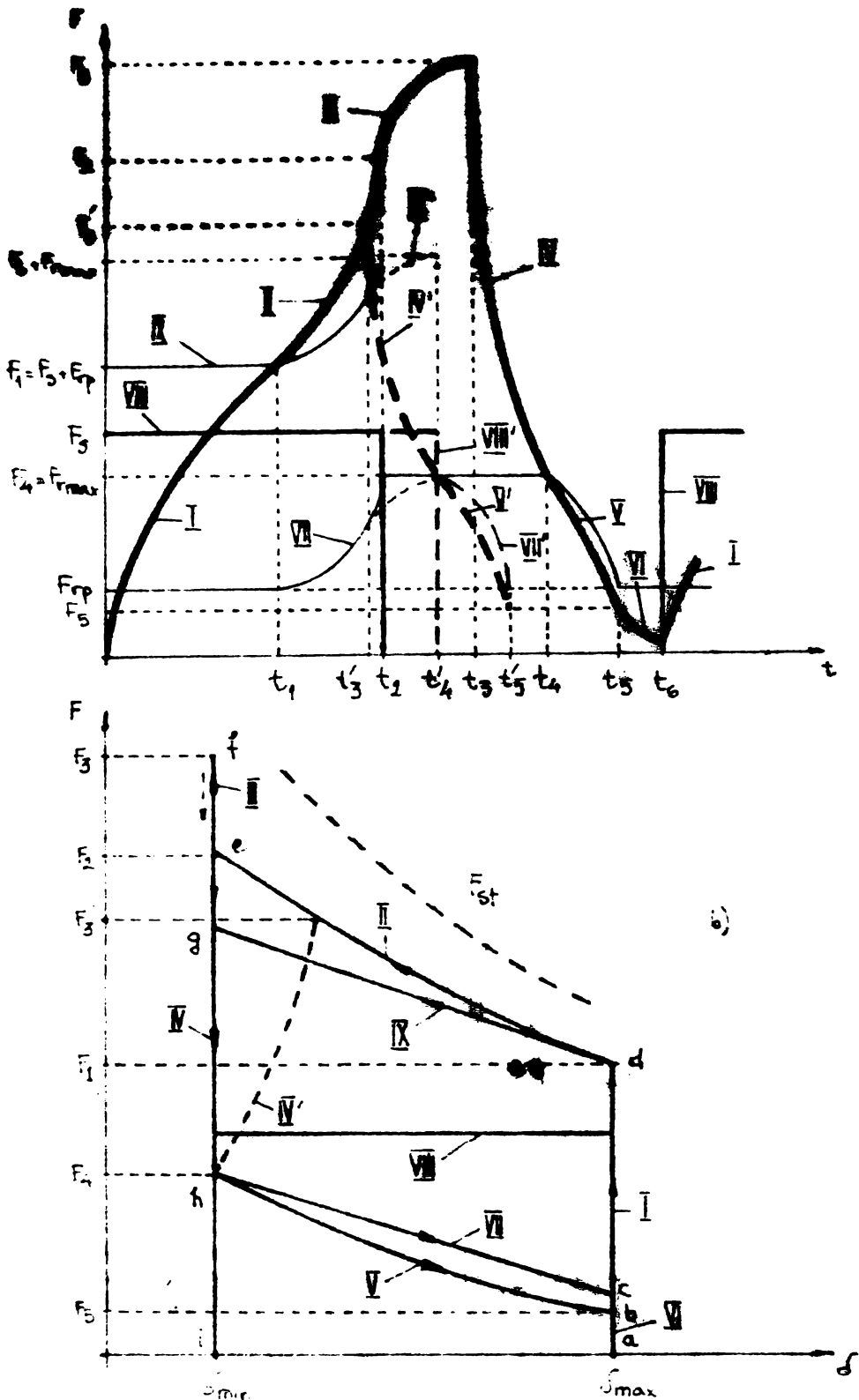


Fig.3.7. Diagramme de variație în raport cu timpul și întrefierul a forței  $F$  dezvoltate de electro-magnetul de acționare a DPP:

a)  $F = f(t)$ ; b)  $F = f(\delta)$ .

I, II, ..., VI - variațiile forței dezvoltate de electro-magnet în cele șase etape ale acționării; VII - variația forței antagoniste ( $F_r$ ) dată de resort; VIII - sarcina ( $F_s$ ); IX - variația forței rezistenței totale ( $F_r + F_s$ );  $F_1, F_2, \dots, F_6$  - valorile forței date de electro-

magnet la sfîrșitul fiecărei etape;

$F_{rp}$  - forța de precomprimare a resortului;  $F_{max}$  - forță maximă realizată de resort;  $t_1, t_2, \dots, t_6$  - timpii care mar-

chează încheierea etapelor acționării;

$t'_3$  - momentul deconectării pentru o acționare optimă;

IV', V', VII', VIII', IX' - variațiile forțelor de atracție și antagoniste pentru acționarea optimă.

tagonistă. În fig.3.7.b este prezentată punctat și variația cu întrerupătorul a forței statice dezvoltate de electromagnet  $F_{st} = f(\delta)$ , ilustrându-se faptul că aceasta este mai mare decât cea realizată în regim dinamic.

Din care se depinde atât de flux cât și de întrerupător, și că o variație în timp pe parcursul regimului dinamic (etapele a II-a și a V-a) nu poate fi încă scrisă exact sub formă analitică, forța dezvoltată de electromagnet în regim dinamic de asemenea nu poate fi încă scrisă sub o formă analitică exactă.

Analiza diagramei din fig.3.7.b evidențiază modul în care este utilizat lucrul mecanic realizat de electromagnetul de acționare a DPP. Astfel, ariile din figură reprezintă:

- aria  $A_{adei}$  - lucrul mecanic total ( $A_{tot}$ ) efectuat de electromagnet;

$$A_{tot} = \int_{\delta_{max}}^{\delta_{min}} F(\delta) d\delta \quad (3.8)$$

- aria  $A_{cdgh}$  - lucrul mecanic util ( $A_u$ )

$$A_u = F_s (\delta_{max} - \delta_{min}) \quad (3.9)$$

- aria  $A_{deg}$  - energia cinetică ( $E_{cin}$ ) ce se înmagazinează în părțile de mișcare ale DPP:

$$E_{cin} = \frac{m v_2^2}{2} \quad (3.10)$$

unde  $m$  reprezintă masa părților în mișcare, iar  $v_2$  viteza la sfîrșitul etapei a II-a a regimului dinamic, conform figurii 3.6.b.

Energia  $E_{cin}$  este direct legată de legea de mișcare care trebuie impusă armăturii mobile, astfel încât să se realizeze viteza acționării cu DPP la valoarea prescrisă, sau timpul de anclansare prescris.  $E_{cin}$  se pierde de regulă prin ciecnirea armăturii mobile de cea fixă, exploatarea economică a DPP (randament maxim) cerînd așadar ca  $E_{cin}$  să nu fie mai mare decât strictul necesar accelerării armăturii la valoarea cerută. Se poate realiza însă o astfel de comandă a alimentării electromagnetului de acționare a DPP încît  $E_{cin}$  să fie cedată axului acționării, la sfîrșitul fiecărui pas. Aceasta se obține prin deconectarea alimentării înfășurării electromagnetului la un timp  $t_3 > t_2$ . Prin aceasta, ultima porțiune a pasului se parcurge în contul energiei cinetice a armăturii, astfel încât la sfîrșitul pasului ( $\delta = \delta_{min}$ ) viteza armăturii și deci și energia cinetică sănt zero. Diagramele  $F = f(t)$  și  $F = f(\delta)$  pentru un astfel de regim economic sunt prezentate punctat în figura 3.7. Așa cum rezul-

sultă din figură, acest regim, pe lîngă rândamentul mai ridicat, oferă avantajul unei acțiuni și fără șocuri la sfîrșitul fiecărui pas. Deosebitul constă în creșterea duratăi ameliorării, de la  $t_2$  la  $t'_4 > t_2$ .

Revăzind și concluziile de la paragraful 3.3.1 se poate conchide aşadar că pentru o funcționare economică a electromagnetului de acționare a DPP, etapa a III-a a regimului dinamic trebuie suprimată, iar etapa a II-a scurtată de la  $t_2$  la  $t'_3$ .

### 3.4. Ecuatiile regimului dinamic

Ecuatiile clasice din dinamica electromagnetilor sunt /39/,  
/45/:

$$U = iR + \frac{d\Psi(x,i)}{dt} \quad (3.11)$$

$$F = -\left(\frac{\partial W}{\partial x}\right)_{\Psi=ct} = \left(\frac{\partial W}{\partial x}\right)_{i=ct} = -\frac{\partial}{\partial x} \int_0^{\Psi} id\Psi = \frac{\partial}{\partial x} \int_0^i \psi di \quad (3.12)$$

$$F = m \frac{d^2x}{dt^2} + r \frac{dx}{dt} + k_R x + F_r + \mu F_n \quad (3.13)$$

Notațiile din aceste ecuații au următoarele semnificații:

$U$  - tensiunea la borne;  $i$  - curentul;  $\Psi$  - fluxul magnetic (de înlățuire magnetică);  $R$  - rezistența electrică a înfășurării;  $x$  - poziția armăturii mobile;  $F$  - forța dezvoltată de electromagnet;  $W$  - energia înmagazinată în cîmpul electromagnetic;  $m$  - masa particilor în mișcare;  $r$  - coeficient de amortizare a oscilației armăturii;  $k_R$  - constantă resortului antagonist;  $F_r$  - forța rezistentă (sarcina);  $F_n$  - forța de frecare.

Modelul fizic pe baza căruia s-au scris ecuațiile (3.11), (3.12) și (3.13) este prezentat în figura 3.8.

Dacă considerăm acest sistem fizic drept un sistem electromecanic cu două grade de libertate, unul electric, coordonata generalizată fiind curentul electric "i", sau sarcina electrică "q" și celălalt mecanic, coordonata generalizată fiind poziția "x" a armăturii mobile, atunci ecuațiile de bază din dinamica electromagnetelor se pot scrie sub forma unor ecuații de tip Lagrange /34/. Modul de scriere a acestor ecuații este prezentat în Anexa 1.

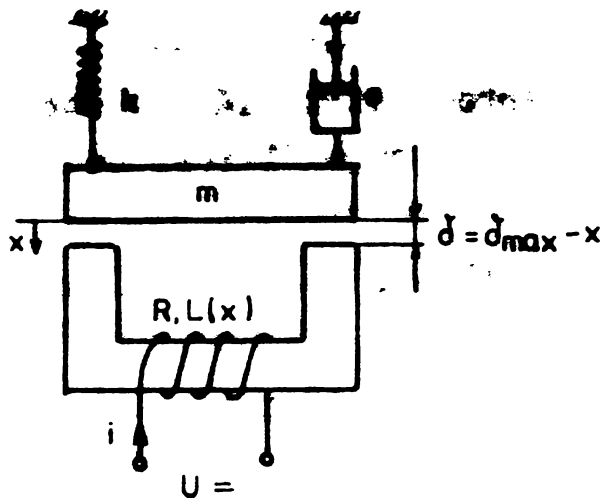


Fig.3.8. Modelul fizic al unui electromagnet.

### 3.5. Calculul regimului dinamic.

#### 3.5.1. Extinderea teoremeelor forțelor generalizate.

Teoremele forțelor generalizate sunt folosite în mod clasic pentru calcularea acțiunilor ponderomotoare ale cimpurilor electromag. deci și a forței de atracție dezvoltată de electromagneti. În Anexa 2 sunt prezentate cele două teoreme clasice ale forțelor generalizate.

În /87/ este prezentată o interesantă generalizare a celor două teoreme clasice a forțelor generalizate, pentru distribuții continue de sarcini și curenti, pentru o infinitate de grade de libertate și pentru medii în general neliniare.

În prezentul paragraf se demonstrează o nouă teoremă a forțelor generalizate, pe care autorul a denumit-o "cea de-a treia teoremă a forțelor generalizate".

Se porneste de la observația că cele două teoreme ale forțelor generalizate se deduc pe baza particularizării termenilor ecuației (vezi Anexa 2):

$$\sum_{k=1}^n i_k \cdot d\phi_k = dW_m + \delta A \quad (3.14)$$

considerindu-se că deplasarea elementară se efectuează la  $\phi_k = ct$ , condiție în care termenul

$\sum_{k=1}^n i_k \cdot d\phi_k$ , reprezentând energia primită de la rețea, este nul, respectiv la  $i_k = ct$ , condiție în care avem egalitatea /12/:  $dW_m = \delta A$ , ceea ce înseamnă că energia primită de la rețea:  $\sum_{k=1}^n i_k \cdot d\phi_k$  se împarte în mod egal între variația ener-

giei cîmpului electromagnetic și variația lucrului mecanic elementar efectuată de forțele din cîmpul magnetic.

Pentru că de-a treia teoremă a forțelor generalizate se consideră că deplasarea elementară virtuală are loc astfel încât energia cîmpului electromagnetic  $W_m$  nu se modifică, dacă termenul  $dW_m$  din ecuația (3.14) este nul.

Scriind relația (3.14) sub forma (vezi Anexa 2):

$$dW_m + \delta A = \sum_{K=1}^n (\epsilon_{IK} \cdot i_K \cdot dt - \gamma_K \cdot i_K^2 \cdot dt) = \delta W \quad (3.15)$$

în care  $\delta W$  reprezintă energia primită de la retea în intervalul de timp  $dt$ , mai puțin pierderile prin efect Joule-Lenz, se observă că în conformitate cu condiția  $dW_m = 0$  relația devine:

$$\delta A = \sum_{K=1}^n (\epsilon_{IK} \cdot i_K \cdot dt - \gamma_K \cdot i_K^2 \cdot dt) = \delta W \quad (3.16)$$

Intr-o astfel de deplasare elementară virtuală în care  $dW_m = 0$ , rezultă că lucrul mecanic se realizează în excludere în contul energiei primite de la surse, din care se sustră pierderile prin efect Joule-Lenz, sau altfel spus, energia care se absorbe de la surse, mai puțin pierderile prin efect Joule-Lenz este transformată integral în lucru mecanic. Energia cîmpului electromagnetic rămîne nemodificată pe întreg parcursul deplasării elementare virtuale.

Conform relației (A 2.11), (Anexa 2) rezultă că deplasarea elementară considerată pentru caz  $W_m = ct$ , respectiv  $dW_m = 0$  are loc în condițiile în care:

$$\frac{1}{2} \cdot \sum_{K=1}^n \phi_K \cdot i_K = ct \quad (3.17)$$

egalitate ce se verifică întotdeauna dacă:  $\phi_K \cdot i_K = ct$  (3.18)

Așadar, conform celei de-a treia teoreme a forțelor generalizate, deplasarea elementară virtuală  $dx_j$  se efectuează sub acțiunea forței generalizate  $X_j$  considerindu-se  $i_K \cdot A_K = ct$ .

Dacă se notează:

$$\delta W = \sum_{K=1}^n i_K \cdot d\phi_K \quad (3.19)$$

și se are în vedere că în condiția (3.18) ecuațiile (3.14), respectiv (3.15) se scriu:

$$\delta A = F_j \cdot \delta x_j; \text{ pentru } x_{h \neq j} = ct \quad (3.20)$$

Rezultă:

$$P_j = \left( \frac{\delta W}{\delta x_j} \right)_{\phi_K \cdot i_K = ct} \quad (3.21)$$

Deoarece energia  $\delta W$  absorbită de la surse de sistemul de circuite în condiția (3.18), servește numai pentru efectuarea la lucru mecanic, rezultă în mod intuitiv că această energie este funcție numai de coordonatele generale  $x_j$ , fapt care se demonstrează matematic astfel:

Conform ecuațiilor lui Maxwell /56/ condiția (3.18) se scrie:

$$\phi_K \cdot i_K = \phi_K \cdot \sum_{\lambda=1}^n \Gamma_{K\lambda} \cdot \phi_\lambda = c_K ; \quad K = 1 \dots n \quad (3.22)$$

unde  $\Gamma_{K\lambda} = \frac{1}{L_{K\lambda}} \dots , n$ , iar  $c_K$  sunt constante.

Ecuatiile sistemului (3.22) sunt liniar independente, deoarece fiecare ecuație conține un termen specific:  $\Gamma_{KK} \cdot \phi_K^2$ , care nu poate fi obținut din combinarea celorlalte.

În consecință, din sistemul (3.22) rezultă:

$$\phi_K = \phi_K (c_1, c_2, \dots, c_n, x_1, x_2, \dots, x_n) \quad (3.23)$$

Din (3.23) se obține:

$$d\phi_K = \sum_{j=1}^m \frac{\partial \phi_K}{\partial x_j} dx_j \quad (3.24)$$

și deci:

$$\delta A = \delta W = \sum_{k=1}^n i_k \cdot d\phi_K = \sum_{k=1}^n i_k \sum_{j=1}^m \frac{\partial \phi_K}{\partial x_j} dx_j \Big|_{i_K \cdot \phi_K = ct} \quad (3.25)$$

Deoarece:

$$\delta A = \sum_{j=1}^m P_j \cdot dx_j \quad (3.26)$$

iar coordonatele generale sunt variabile independente, din relațiile (3.25) și (3.26) rezultă:

$$P_j = \sum_{k=1}^n i_k \left( \frac{\partial \phi_K}{\partial x_j} \right) \Big|_{i_K \cdot \phi_K = ct} \quad (3.27)$$

În mod similar, scriind condiția (3.18) sub forma:

$$i_K \cdot \phi_K = i_K \sum_{\lambda=1}^n L_{\lambda K} \cdot i_\lambda = c_K ; \quad K = 1, \dots, n \quad (3.28)$$

cu aceleasi observatii pentru sistemu (3.28) ca si pentru sistemul (3.22), rezulta:

$$i_K = i_K(c_1, c_2, \dots, c_n, x_1, x_2, \dots, x_n) \quad (3.29)$$

si deci:

$$di_K = \sum_{j=1}^n \frac{\partial i_K}{\partial x_j} dx_j \quad (3.30)$$

Observind ca prin derivarea relatiei (3.17) se obtine:

$$\sum_{k=1}^n i_K d\phi_K = - \sum_{k=1}^n \phi_K \cdot di_K \quad (3.31)$$

din (3.19), (3.26), (3.30) si (3.31) rezulta:

$$F_j = - \sum_{k=1}^n \phi_K \left( \frac{\partial i_K}{\partial x_j} \right) \quad (3.32)$$

$$i_K \cdot \phi_K = ct$$

Relatia (3.32) de definire a energiei  $\delta W$ , împreună cu relațiile (3.20), (3.27), (3.32) arată că în condiția (3.18) energia  $\delta W$  este o diferențială totală, astfel încât relația (3.21) se poate scrie:

$$F_j = \left( \frac{\partial \delta W}{\partial x_j} \right) \quad \phi_K \cdot i_K = ct \quad , \text{ pentru } x_h \neq j = ct. \quad (3.33)$$

Conform relației (3.33), în condițiile specificate, cea de-a treia teoremă a forțelor generalizate se poate enunța astfel:

Forța generalizată  $F_j$ , care se exercită după coordonata generalizată  $x_j$  este egală cu derivata în raport cu coordonata generalizată  $x_j$  a energiei primită de la surse, mai puțin pierderile prin efect Joule-Lenz, derivată efectuată la  $\phi_K \cdot i_K = ct$ .

Din relația (3.14), scrisă pe baza bilanțului energetic general al sistemului, precum și din relația (3.26) și (A2.11), (Anexa 2), se obtine:

$$\sum_{j=1}^n F_j \cdot dx_j = \frac{1}{2} \sum_{k=1}^n (i_K \cdot d\phi_K) \quad (3.34)$$

Avind în vedere relațiile (3.24) și (3.30), rezulta că în condițiile celei de-a treia teoreme a forțelor generalizate se poate scrie o expresie generală a forței  $F_j$  dezvoltată de-a lungul coordonatei  $x_j$ :

$$F_j = \frac{1}{2} \sum_{k=1}^n (i_K \cdot \frac{\partial \phi_K}{\partial x_j} - \phi_K \frac{\partial i_K}{\partial x_j}) \quad (3.35)$$

Dacă în această relație considerăm successiv  $\phi_K = ct$ ,  $i_K = ct$  și  $\phi_K \cdot i_K = ct$ , obținem toate cele trei relații ale teoremulor forțelor generalizate, sub forma:

$$\begin{aligned} p_j &= \frac{1}{2} \left( \sum_{k=1}^n i_k \frac{\partial \phi_k}{\partial x_j} \right)_{i_k=ct} = - \frac{1}{2} \left( \sum_{k=1}^n \phi_k \frac{i_k}{x_j} \right)_{\phi_k=ct} = \\ &= \left( \sum_{k=1}^n i_k \frac{\partial \phi_k}{\partial x_j} \right)_{i_k \cdot \phi_k = ct} = - \left( \sum_{k=1}^n \phi_k \frac{i_k}{x_j} \right)_{i_k \cdot \phi_k = ct} . \end{aligned} \quad (3.36)$$

Relația (3.35) evidențiază caracterul unitar al celor trei teoreme ale forțelor generalizate, subliniind faptul că cea de-a treia teoremă a forțelor generalizate se alătură în mod firesc primelor două.

### 3.5.2. Calculul forței dezvoltate de un electromagnet utilizând cea de-a treia teoremă a forțelor generalizate.

Considerăm electromagnetul al cărui model fizic este prezentat în figura 3.8. Inductivitatea  $L(x)$  a acestui electromagnet se definește astfel /9/:

$$L(x) = \frac{\Psi}{i} \quad (3.37)$$

Efectuind derivata în raport cu coordonata  $x$  a ecuației (3.37) se obține:

$$\frac{dL}{dx} = \frac{i \frac{d\Psi}{dx} - \Psi \frac{di}{dx}}{i^2} \quad (3.38)$$

Însumînd ecuațiile (3.27) și (3.32), ce exprimă forța generalizată conform celei de-a treia teoreme a forțelor lagrangeiene (vezi paragraful 3.5.1) avînd în vedere că pentru electromagnetul considerat numărul circuitelor este  $n=1$ , iar numărul coordonatelor generalizate este  $m=1$ , se obține:

$$F = \frac{1}{2} \left( i \frac{d\Psi}{dx} - \Psi \frac{di}{dx} \right) \quad (3.39)$$

Din (3.38) și (3.39) rezultă:

$$F = \frac{1}{2} i^2 \frac{dL}{dx} \quad (3.40)$$

Aceeași expresie pentru forță se obține și prin utilizarea pentru calculul acestuia a teoremulor clasice ale forțelor generalizate /39/, ceea ce confirmă deplina valabilitatea a celei de-a treia

teoreme a forțelor generalizate.

### 3.3.3. Inductivitatea „de mișcare”.

Pentru un circuit electric parcurgând curentul  $i$  se crează fluxul magnetic  $\Psi$  în literatură de specialitate /9/, /12/, /56/, se definesc, pe curba de magnetizare  $\Psi = f(i)$ , următoarele inductivități:

- inductivitatea „statică”:  $L = \frac{\Psi}{i}$  (3.41)

- inductivitatea dinamică:  $L_d = \frac{d\Psi}{di}$  (3.42)

Dacă fluxul  $\Psi$  se închide prin medii neliniare, inductivitatea dinamică diferă de cea statică, cum este cazul mediilor feromagnetică în care intervine saturarea.

Deoarece inductivitatea  $L$  depinde de dimensiunile geometrice ale mediilor prin care se închide fluxul  $\Psi$ , rezultă că prin modificarea uneia din aceste dimensiuni se poate obține, pentru același circuit electric, o familie de caracteristici (curbe) de magnetizare, a cărui parametru este dimensiunea geometrică respectivă. Fie „ $x$ ” o astfel de dimensiune. Considerăm un regim dinamic caracterizat prin modificarea în timp a parametrului  $x$  de la valoarea  $x_1$  la valoarea  $x_2$ ,  $x_1$  fiind valoarea curentă a parametrului. Trecerea de la caracteristica de magnetizare corespunzătoare lui  $x_1$  la cea corespunzătoare lui  $x_2$  se face prin intersectarea succesivă a caracteristicilor de magnetizare corespunzătoare valorilor curente  $x_i$  ale parametrului, descriindu-se astfel o curbă  $\Psi = f(i)$  „de mișcare”, ce intersectează caracteristicile de magnetizare corespunzînd valorilor curente  $x_i$ . Pe această curbă „de mișcare” se poate defini inductivitatea „de mișcare”  $L_m$  asemănător modului în care se definește inductivitatea dinamică pe curba de magnetizare:

$$L_m = \frac{d\Psi}{di} \quad (3.43)$$

Pentru a putea mai bine în evidență diferența dintre inductivitatea „de mișcare” și cea dinamică  $L_d$  se pornește de la observația că  $L_d$  este definită în condiția:

$$\Psi = \Psi(i) \quad (3.44)$$

iar  $L_m$  este definită în condiția:

$$\Psi = \Psi(i, x) \quad (3.45)$$

Diferențiala funcției (3.45) este:

$$d\Psi = \frac{\partial \Psi}{\partial i} di + \frac{\partial \Psi}{\partial x} dx \quad (3.46)$$

și prin urmare, din (3.46) rezultă pentru inductivitatea „de mișcare” expresia:

$$L_m = \frac{d\psi}{di} = \frac{\partial \psi}{\partial i} + \frac{\partial \psi}{\partial x} \cdot \frac{dx}{di} \quad (3.47)$$

Dacă mediul prin care se închide fluxul  $\psi$  este nelinier avind permeabilitatea magnetică  $\mu$  variabilă, atunci inductivitatea  $L_d$  se definește în condiția:

$$\psi = \psi(i, \mu) \quad (3.48)$$

iar inductivitatea  $L_m$  se definește în condiția:

$$\psi = \psi(i, x, \mu) \quad (3.49)$$

Prin diferențiere, din (3.48) se obține:

$$d\psi = \frac{\partial \psi}{\partial i} di + \frac{\partial \psi}{\partial \mu} d\mu \quad (3.50)$$

iar din (3.49) rezultă:

$$d\psi = \frac{\partial \psi}{\partial i} di + \frac{\partial \psi}{\partial x} dx + \frac{\partial \psi}{\partial \mu} d\mu \quad (3.51)$$

Că urmăre, în condițiile unui mediu nelinier, din (3.50) și (3.51), conform definițiilor (3.42) și (3.43) obținem pentru cele două tipuri de inductivități, dinamică, respectiv „de mișcare” expresiile:

$$L_d = \frac{d\psi(i, \mu)}{di} = \frac{\partial \psi}{\partial i} + \frac{\partial \psi}{\partial \mu} \cdot \frac{d\mu}{di} \quad (3.52)$$

$$L_m = \frac{d\psi(i, x, \mu)}{di} = \frac{\partial \psi}{\partial i} + \frac{\partial \psi}{\partial x} \cdot \frac{dx}{di} + \frac{\partial \psi}{\partial \mu} \cdot \frac{d\mu}{di} \quad (3.53)$$

**Figura 3.9** este explicativă pentru semnificația calitativă și cantitativă a celor trei tipuri de inductivități definite anterior. În figură s-a considerat că trecerea de pe caracteristica de magnetizare 1 ce corespunde valorii  $x_1$  a parametrului, pe curba de magnetizare 2, ce corespunde valorii  $x_2$  a parametrului se face din punctul  $M_1(\psi_1, i_1)$  pînă în punctul  $M_2(\psi_2, i_2)$ , descriindu-se curba „de mișcare” 3,  $M_1(\psi_1, i_2)$  fiind punctul curent, situat pe caracteristica de magnetizare 4 corespunzătoare valorii curente  $x_1$ , a parametrului.

Conform definițiilor (3.41), (3.42) și (3.43), respectiv (3.52), (3.53), pentru punctul curent al regimului dinamic prezentat în figura 3.9. se poate scrie:

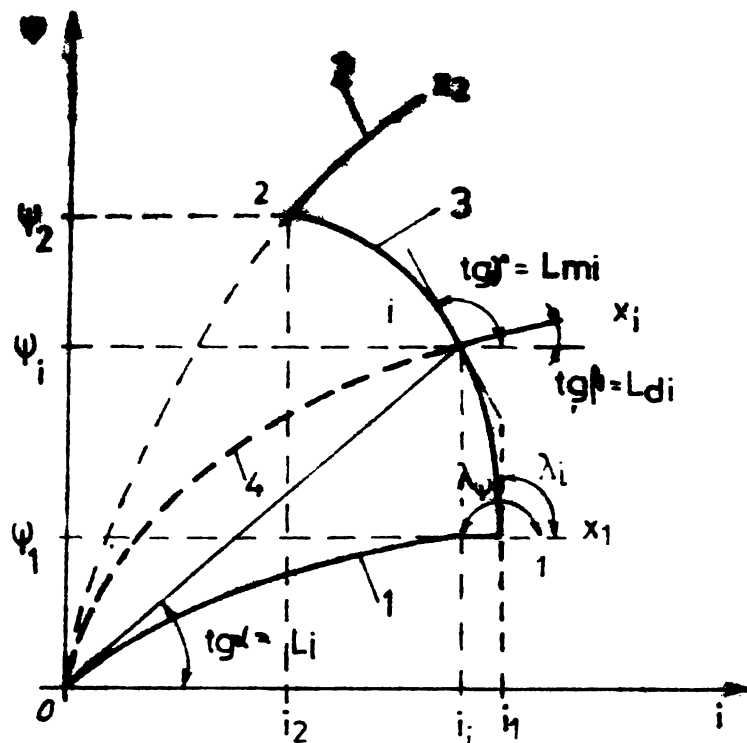


Fig. 3.9. Explicativă pentru modul de definiere a inductivității "de mișcare".

$$L_i = \operatorname{tg} \alpha \quad (3.54)$$

$$L_{di} = \operatorname{tg} \beta \neq L_i \quad (3.55)$$

$$L_{mi} = \operatorname{tg} \delta \neq L_{di} \neq L_i \quad (3.56)$$

Se observă că pentru un regim dinamic particular, spre exemplu un regim tranzitoriu electric, în care  $x=ct$ , ec.(3.53) trece în ec.(3.52), iar dacă mediul este liniar, ec.(3.52) trece în ecuația (3.41).

Așadar, inductivitatea „de mișcare” constituie o exprimare mai generală a noțiunii de inductivitate; inductivitățile de tip clasic  $L$  și  $L_d$  se regăsesc din inductivitatea de mișcare pentru cazuri particulare ale regimului dinamic.

Pentru a pune în evidență modul în care inductivitatea „de mișcare” intervine în ecuațiile regimului dinamic se derivează funcția (3.49) în raport cu timpul, obținindu-se:

$$\frac{d\Psi}{dt} = \frac{\partial\Psi}{\partial i} \cdot \frac{di}{dt} + \frac{\partial\Psi}{\partial x} \cdot \frac{dx}{dt} + \frac{\partial\Psi}{\partial \mu} \cdot \frac{d\mu}{dt} \quad (3.57)$$

Prin înmulțirea ecuației (3.53) cu  $\frac{di}{dt}$  se obține:

$$\frac{di}{dt} = \frac{U}{R} \cdot \frac{di}{dt} + \frac{\Psi_1}{\lambda_1} \cdot \frac{di}{dt} + \frac{\partial\Psi}{\partial x} \cdot \frac{dx}{dt} + \frac{\partial\Psi}{\partial \mu} \cdot \frac{d\mu}{dt} \quad (3.58)$$

Comparind (3.57) cu (3.58) rezultă:

$$\frac{d\psi}{dt} = L_m \cdot \frac{di}{dt} \quad (3.59)$$

Așadar, în regim dinamic, ecuația:

$$U - R_i = \frac{d\psi}{dt} \quad (3.60)$$

conform (3.59) se poate scrie:

$$U - R_i = L_m \cdot \frac{di}{dt} \quad (3.61)$$

Dacă regimul dinamic se analizează pe porțiuni pe care  $L_m$  este constantă, atunci soluția ecuației (3.61) pentru astfel de porțiuni, este:

$$i = \frac{U}{R} \left(1 - e^{-\frac{t}{T_m}}\right) + i_1 \cdot e^{-\frac{t}{T_m}} \quad (3.62)$$

în care:  $i_1$  este curentul la începutul regimului dinamic;

$$T_m = \frac{L_m}{R} \quad (3.63)$$

este constanta de timp după care evoluază regimul dinamic pe porțiunea considerată. Ecuația (3.62) este asemănătoare formal ecuației (3.4), cu diferența că aici  $L_m$  reprezintă inductivitatea „de mișcare”, definită conform relațiilor (3.43), respectiv (3.53).

Pentru regimul dinamic caracterizat prin  $L_m = ct$  se poate scrie:

$$d\psi = L_m \cdot di = d(L_m \cdot i) \quad (3.64)$$

Din care rezultă:

$$\psi = L_m \cdot i + C \quad (3.65)$$

unde  $C$  este o constantă ce se determină din condiții la limită, rezultând:

$$\psi = \psi_1 + L_m (i - i_1) \quad (3.66)$$

unde  $\psi_1$ ,  $i_1$ , este fluxul, respectiv curentul la începutul regimului dinamic considerat.

Așadar, inductivitatea „de mișcare” intervine în ecuațiile regimului dinamic similar modului în care inductivitatea intervine în ecuațiile regimului transitoriu. Pe perioadele pe care  $L_{mK}$  se poate approxima ca fiind constantă se pot scrie soluții analitice pentru caracteristicile regimului dinamic.

Conform definițiilor (3.41) și (3.43), respectiv (3.53) forma generalizată dată de (3.35), în condițiile teoremelor forțelor generalizate, respectiv în condițiile (3.23) și (3.29), se scrie:

$$F_j = \frac{1}{2} \sum_{K=1}^n i_K \frac{\partial \Psi_K}{\partial x_j} \left( 1 - \frac{L_K}{L_{mK}} \right) \Big|_{x_{h \neq j} = ct} \quad (3.67)$$

sau:

$$F_j = -\frac{1}{2} \sum_{K=1}^n \Psi_K \cdot \frac{\partial i_K}{\partial x_j} \left( 1 - \frac{L_{mK}}{L_K} \right) \Big|_{x_{h \neq j} = ct} \quad (3.68)$$

Din analiza relațiilor (3.67), (3.68), rezultă următoarele:

a) Pentru un regim caracterizat prin  $\Psi_K = ct$ , conform fig. 3.9, avem :

$$L_{mK} = \operatorname{tg} \lambda \Psi = 0 \quad (3.69)$$

$L_K \neq 0$  și prin urmare relația (3.68) ne conduce la prima teoremă a forțelor generalizate, în timp ce relația (3.67) este o nedeterminare de formă  $o. \infty$ .

Constanta de timp  $T_\Psi$  a regimului dinamic în acest caz este:

$$T_\Psi = \frac{L_{mK}}{R} = 0 \quad (3.70)$$

ceea ce semnifică faptul că un astfel de regim (virtual) se realizează instantaneu.

b) Pentru un regim caracterizat prin  $i_K = ct$ , conform fig. 3.9, avem:

$$L_{mK} = \operatorname{tg} \lambda i = \infty \quad (3.71)$$

$L_K \neq 0$  și prin urmare relația (3.67) ne conduce la cea de-a doua teoremă a forțelor generalizate, în timp ce relația (3.68) este o nedeterminare de formă  $o. \infty$ .

Constanta de timp  $T_i$  a regimului dinamic în acest caz este:

$$T_i = \frac{L_{mK}}{R} = \infty \quad (3.72)$$

ceea ce semnifică faptul că un astfel de regim (virtual) se realizează numai la o modificare infinită a parametrului  $x$ .

Rezultă că în mod real regimurile dinamice nu se pot realiza la  $\Psi = ct$ , sau  $i = ct$ , aşadar teoremele forțelor generalizate nu pot oferi soluții analitice care să descrie, spre exemplu, evoluția în timp a forței dezvoltate de electromagnet, ci oferă doar relații ce exprimă legături momentane între forță și alte mărimi electrice și mecanice ce caracterizează regimul dinamic.

Deoarece regimurile dinamice la  $\Psi = ct$ , respectiv  $i = ct$  nu sunt reale, ci doar ipotetice, de calcul, rezultă că pentru cea de a treia teoremă a forțelor generalizate, nu se pune problema ca regimul  $\Psi = ct$  să fie real, acest regim fiind și el virtual, de calcul.

c) Pentru un regim caracterizat prin  $i_K \cdot \Psi_K = ct$ , ținând cont că:

$$i_K \cdot \frac{\partial \Psi_K}{\partial x_j} + \Psi_K \cdot \frac{\partial i_K}{\partial x_j} = 0 \quad \Big|_{x_h \neq j = ct} \quad (3.73)$$

și deci:

$$1 + \frac{L_K}{L_{mK}} = 0 \quad (3.74)$$

prin înlocuirea relațiilor (3.73) și (3.74) în (3.67) și (3.68) obținem cea de-a treia teoremă a forțelor generalizate, dată de relațiile (3.27), (3.32).

Din relația (3.74) rezultă că într-un regim dinamic caracterizat prin  $i_K \cdot \Psi_K = ct$ , inductivitatea „de mișcare”  $L_{mK}$  este egală și de semn contrar cu inductivitatea „statică”  $L_K$ :

$$L_{mK} = - L_K \quad (3.75)$$

ceea ce înseamnă că și „constanta” de timp a unui astfel de regim dinamic, care de fapt este variabilă, este succesiv egală și de semn contrar cu constantele de timp ale regimurilor tranzitorii electrice corespunzătoare valorilor parametrului  $x$ .

Referitor la inductivitatea „de mișcare” definită prin (3.53) și reprezentată în fig. 3.9, se observă că ea intervine în formula forței dezvoltate în regim dinamic, având valori între 0 și  $\pm \infty$ , depinzând esențial de caracterul regimului (care poate fi:  $\Psi = ct$ ,  $i = ct$ ,  $\Psi \cdot i = ct$ , sau în realitate un regim oarecare).

Influența inductivității „de mișcare” asupra variației forței dezvoltate de un electromagnet (fig. 3.8) pe parcursul regimului dinamic se poate aprecia mai bine pe baza următorului raționament: se cunoscă  $\Psi(x)$ , valoarea momentană a forței este proporțională

cu pătratul fluxului magnetic:

$$F = \frac{1}{2} k_f \Psi^2 \quad (3.76)$$

factorul de proporționalitate  $k_f$  nefiind dependent de mărimea coordonatei generalizate  $x$ .

Pentru două momente  $j$  și  $j+1$  ale regimului dinamic se poate scrie:

$$F_j = \frac{1}{2} k_f \Psi_j^2 \quad (3.77)$$

$$F_{j+1} = \frac{1}{2} k_f \Psi_{j+1}^2$$

și cu notatiile:

$$L_m = \frac{\Delta \Psi}{\Delta i}$$

$$\Delta \Psi = \Psi_{j+1} - \Psi_j \quad (3.78)$$

$$\Delta i = i_{j+1} - i_j$$

$$\Psi_m = \frac{\Psi_{j+1} + \Psi_j}{2}$$

obținem:

$$\Delta F = F_{j+1} - F_j = \frac{1}{2} k_f (\Psi_{j+1} + \Psi_j) (\Psi_{j+1} - \Psi_j) = k_f \cdot \Psi_m \cdot L_m \cdot \Delta i \quad (3.79)$$

Rezultă că în regim dinamic variația forței  $\Delta F$  pentru o anumită variație a curentului  $\Delta i$  din înfășurarea de alimentare este proporțională cu valoarea medie a fluxului magnetic  $\Psi_m$  și cu inducțivitatea „de mișcare”  $L_m$ .

### 3.5.4. Influenta fluxului de dispersie asupra forței dezvoltată de electromagnet.

Pentru electromagnetul conform modelului fizic din fig.3.8, caracterizat printr-un singur circuit magnetic ( $n=1$ ) și o singură coordonată generalizată ( $j=1$ ) ecuațiile regimului dinamic (3.34) și (3.35) se scriu:

$$\delta_A = \frac{1}{2} (i d\Psi - \Psi di) \quad (3.80)$$

$$F = \frac{1}{2} (i \frac{d\Psi}{dx} - \Psi \frac{di}{dx}) \quad (3.81)$$

Având în vedere că prin diferențierea funcției (3.41) se obține:

$$dL = \frac{i d\Psi - \Psi di}{i^2} \quad (3.82)$$

din (3.80) și (3.82) rezultă pentru variația lucrului mecanic expresia:

$$\delta_A = \frac{1}{2} i^2 dL \quad (3.83)$$

Dacă se știe că inductivitatea  $L$  este funcție numai de coordonata  $x$  se poate scrie:

$$\frac{dL}{dx} = \frac{i \cdot \frac{d\Psi}{dx} - \Psi \frac{di}{dx}}{i^2} \quad (3.84)$$

Din (3.81) și (3.84) rezultă pentru forță dezvoltată de electromagnet:

$$F = \frac{1}{2} \cdot i^2 \frac{dL}{dx} \quad (3.85)$$

Dacă se consideră / 28/, / 39/ :

$$\Psi = \Psi_p + \Psi_d \quad (3.86)$$

$$L_s = L_p + L_d \quad (3.87)$$

unde  $\Psi_p$  este fluxul principal (util),  $\Psi_d$  este fluxul de dispersie,  $L_p$  inductivitatea principală,  $L_d$  inductivitatea de disper-

sie, atunci ecuația (3.80) se mai poate scrie:

$$\delta_A = \frac{1}{2} (i \cdot d\psi_p - \psi_p \cdot di) + \frac{1}{2} (i \cdot d\psi_d - \psi_d \cdot di) \quad (3.88)$$

Iar (3.83) se scrie:

$$\delta_A = \frac{1}{2} i^2 \cdot dL_p + \frac{1}{2} i^2 \cdot dL_d \quad (3.89)$$

și în mod similar, din ecuațiile (3.81), (3.85) se obține:

$$F = \frac{1}{2} (i \frac{d\psi_p}{dx} - \psi_p \frac{di}{dx}) + \frac{1}{2} (i \frac{d\psi_d}{dx} - \psi_d \frac{di}{dx}) \quad (3.90)$$

respectiv:

$$F = \frac{1}{2} i^2 \frac{dL_p}{dx} + \frac{1}{2} i^2 \frac{dL_d}{dx} \quad (3.91)$$

Ecuațiile (3.88), (3.89), respectiv (3.90), (3.91) arată că electromagnetul dezvoltă lucrul mecanic, respectiv forță dacă avem variații ale inductivității principale, sau de dispersie, respectiv variații ale ambelor inductivități, care se pot obține numai prin deformarea (deplasarea) elementelor circuitului magnetic după o coordonată anume. Se constată că în regimul staționar sau cvasistacionar, în care curentul  $i$  este cunoscut, problema determinării lucrului mecanic și forței dezvoltate de electromagnet se reduce la calculul variației inductivității în raport cu coordonata care interesează. Problema se nuanțează fundamental schimbări în cazul regimului dinamic, deoarece variația inductivității atrage deosebită atenție variația curentului și ca urmare ecuațiile (3.90), (3.91) exprimă valurile momentane ale forței dezvoltate de electromagnet, care pot fi determinate numai dacă se pot calcula atât valorile momentane ale variației inductivității cât și ale curentului, determinări care nu se pot face riguros decât prin metode grafice sau numerice.

Ecuațiile (3.88), ... (3.91) arată că și energia cîmpului magnetic de dispersie poate contribui la crearea de lucru mecanic, respectiv a forței de atragere a armăturii mobile, în măsura în care inductivitatea de dispersie variază în raport cu coordonata în lungul căreia se produce deplasarea armăturii mobile. Altfel spus, rezultă că pe parcursul unui proces dinamic, odată cu deplasarea armăturii mobile, o parte din energia înmagazinată în cîmpul magnetic de dispersie este transferată în cîmpul magnetic principal, contribuind la crearea de lucru mecanic.

De regulă însă, termenii  $dL_d$ , respectiv  $\frac{dL_d}{dx}$  din

ecuațiile (3.89) respectiv (3.91) sunt mult mai mici decât  $dL_p$ , respectiv  $\frac{dL}{dx}$  și ca atare se pot deseori neglijă, considerindu-se că lucrul mecanic și respectiv forța dezvoltată de electromagnet, depind, în principal, de variația inductivității, respectiv a flu-xului principal.

### 3.5.5. Regimul tranzitoriu electric.

Calculul regimului dinamic de funcționare a unui electromagnet se face în mod diferit pentru etapele I, III, IV și VI (vezi paragraful 3.3.1) în care avem doar un regim tranzitoriu electric, comparativ cu etapele a II-a și a V-a în care regimul tranzitoriu electric se suprapune pe regimul tranzitoriu mecanic.

Astfel, pentru etapele I, III, IV și VI se obțin pentru curent și forță expresiile analitice clasice corespunzătoare regimului tranzitoriu electric de la conectarea unui electromagnet.

Pentru calculul acestui regim se fac în general următoarele ipoteze simplificate:

- Se negligează fenomenul de histereză;
- Se negligează căderea de tensiune magnetică în fier;
- Se negligează cîmpul magnetic de dispersie și se linierizează, pe porțiuni, dependența  $\Psi = \Psi(i)$ , astfel încît înlanțuirea magnetică se scrie /51/:

$$\Psi = \frac{N^2 \mu_0 S}{2} \cdot \frac{i}{\delta} = L' \frac{i}{\delta} \quad (3.92)$$

în care s-a notat:

$$L' = \frac{N^2 \mu_0 S}{2} \quad (3.93)$$

$N$  fiind numărul de spire al bobinei electromagnetului,  $S$  suprafața polilor acestuia, iar  $\mu_0$  permeabilitatea magnetică a între-fierului.

Pentru etapa I a regimului dinamic, avînd în vedere că  $\delta = \delta_{max} = ct$ , ecuațiile (3.11) și (3.12) se scriu:

$$U - iR = \frac{L'}{\delta_{max}} \cdot \frac{di}{dx} \quad (3.94)$$

$$F = \frac{\partial}{\partial \delta} \int_0^i \Psi(\delta, i) di \quad (3.95)$$

Soluțiile acestor ecuații pentru etapa I a regimului dinamic sunt:

$$i = \frac{U}{R} (1 - e^{-\frac{R \cdot \delta_{\max}}{L'} t}) \quad (3.96)$$

$$P = \frac{1}{2} \frac{\frac{U^2}{R}}{\delta_{\max}^2} i^2 \quad (3.97)$$

In mod similar, pentru etapa a III-a a regimului dinamic ( $\delta = \delta_{\min} = \text{ct.}$ ) (vezi fig.3.2), solutiile pentru variația în timp a curentului și forței dezvoltate de electromagnet sunt:

$$i = i_2 e^{-\frac{R \cdot \delta_{\min}}{L'} (t-t_2)} + \frac{U}{R} (1 - e^{-\frac{R \cdot \delta_{\min}}{L'} (t-t_2)}) \quad (3.98)$$

$$P = -\frac{1}{2} \frac{\frac{U^2}{R}}{\delta_{\min}^2} i^2 \quad (3.99)$$

La fel pentru etapa a IV-a ( $\delta = \delta_{\min} = \text{ct}, U=0, t > t_3$  se scrie:

$$i = i_3 e^{-\frac{R \cdot \delta_{\min}}{L'} (t-t_3)} \quad (3.100)$$

$$P = \frac{1}{2} \frac{\frac{U^2}{R}}{\delta_{\min}^2} i^2 \quad (3.101)$$

iar pentru etapa a VI-a ( $\delta = \delta_{\max} = \text{ct}, U=0, t > t_5$  se obține:

$$i = i_5 e^{-\frac{R \cdot \delta_{\max}}{L'} (t-t_5)} \quad (3.102)$$

$$P = \frac{1}{2} \frac{\frac{U^2}{R}}{\delta_{\max}^2} i^2 \quad (3.103)$$

Pentru DPP, regimul de lucru (actionarea propriu-zisă) corespunde etapei a II-a a regimului dinamic al electromagnștului, etapă în care armăitura mobilă se deplasează, nereușindu-se pînă în instant să se scrie pentru această etapă expresii analitice pentru variația mărimilor ce caracterizează regimul dinamic. S-au utilizat însă o serie de metode aproximative, atît analitice, cît și grafice.

### 3.5.5. Soluționarea aproximativă analitică a ecuațiilor regimului dinamic.

Pentru soluționarea aproximativă analitică a ecuațiilor (3.11), (3.12), (3.13) se realizează aproximarea analitică a uneia dintre relașii.

Să scriuiescă să se aproximeze poziția "x" a armăturii mobile, într-o formă similară / 3.4/:

$$x(t) = \delta_{\max} - \frac{at^2}{2} \quad (3.104)$$

"a" fiind accelerarea armăturii, presupusă constantă, iar "t" timpul.

Această metodă de soluționare a ecuațiilor regimului dinamic introduce o anumită eroare de metodă. Astfel, considerîndu-se accelerarea constantă, rezultă că regimul de mișcare este stabilit (fixat) fără nici o corelație a acestuia cu variația în regim dinamic a mărimilor electrice. Un caz simplu poate evidenția eroarea introdusă de această metodă. Presupunem armătura electromagnetului liberă (deci în ecuația (3.3) avem:  $r = k = F_r = \mu F_n = 0$ ). Ecuația mișcării, conform acestei ipoteze este:

$$F = m \frac{d^2 x}{dt^2} = m \cdot a \quad (3.105)$$

Accelerarea "a" fiind presupusă constantă, rezultă că și forța  $F$  dezvoltată de electromagnet este constantă pe parcursul acționării, ceea ce nu se verifică experimental, forța, ca și accelerarea având o variație funcție de timp și întrefier (vezi capitolul VI).

Soluționarea aproximativă analitică a regimului dinamic a unui electromagnet, prin considerarea unei accelerării constante, nu conduce la soluții de interes practic, dar ecuațiile stabilite pot constitui baza unei soluționări numerice, pe intervale, a regimului dinamic, intervale alese astfel încât pe durata lor accelerarea să poată fi considerată constantă.

In literatură /45/,/59/ sunt prezentate și alte metode de soluționare aproximativă analitică a ecuațiilor regimului dinamic: metodele Moskritin, Sotskov, precum și metoda Ter-Akopov.

Se constată că metoda Ter-Akopov este o generalizare a metodelor Moskvitin și Sotskov, oferind o posibilitate rapidă de apreciere a variației în timp a principalelor mărimi ce caracterizează regimul dinamic:  $\Psi = \Psi(t)$ ;  $i = i(t)$ ;  $x = x(t)$ .

Eroarea de metodă depinde de tipul și de construcția electromagnetului, mai precis de dispersia acestuia, care este neglijată. Ca urmare metoda se poate utiliza în aplicațiile practice în care fluxul de dispersie se poate neglija (spre exemplu pentru valori relativ mici ale întrefierului).

De asemenea, eroarea de metodă depinde de modul în care se calculează coeficienții polinomului ce aproximează variația în

timp a fluxului magnetic și de numărul acestor coeficienți.

Crescerea preciziei metodei se poate face numai prin creșterea considerabilă a volumului de calcul analitic cerut de această metodă.

### 3.5.7. Soluționarea aproximativă grafică a ecuațiilor

In literatură /18/,/19/,/30/,/45/ sunt prezentate numeroase metode aproximative grafice referitoare la determinarea timpului de anclansare  $t_2$ , metode în care variațiile în timp ale curentului, forței dinamice și întrefierului se determină iterativ.

Aceste metode, cum sunt spre exemplu metodele Lysov și Gurnickij pot avea precizia dorită în determinarea parametrilor regimului dinamic cu condiția ca intervalele pe care se fac iterăriile să fie suficient de mici. Metodele sunt însă extrem de laborioase, iar caracterul lor grafic conduce la un timp îndelungat pentru determinarea soluțiilor regimului dinamic. Metodele grafice se pretează la transformarea lor în metode numerice, operabile cu ajutorul calculatorului.

### 3.5.8. Soluționarea ecuațiilor regimului dinamic prin metoda grafo-analitică.

#### 3.5.8.1. Diagrama caracteristicilor regimului dinamic.

Pentru soluționarea riguroasă a ecuațiilor regimului dinamic prin metode grafo-analitice se folosește diagrama prezentată în figura 3.10 care cuprinde variabilele de bază determinante pentru regimul dinamic de funcționare a electromagnetului de acționare a DPP.

Semnificațiile notărilor din figura 3.10 sunt cele de la capitolul 3.3.  $F_1$  este valoarea forței pentru care începe mișcarea armăturii. Se utilizează modelul fizic prezentat în fig.3.8. Coordonata generalizată va fi în cazul nostru deplasarea x.

În intervalul de timp  $t \in (0, t_1)$ , în care coordonata generalizată este constantă ( $x=0$ ), în întrefier se acumulează o cantitate de energie proporțională cu aria  $A_{016}$ , iar energia totală tot atât în cîmpul electromagnetic este proporțională cu aria  $A_{clsc}$ . Forța dinamică se poate determina pe baza teoremulor forțelor generalizate.

Pentru momentul  $t_1$ , la care începe mișcarea armăturii mobile, se pot scrie valurile curentului, fluxului, forței și întrefierului cu urmă:

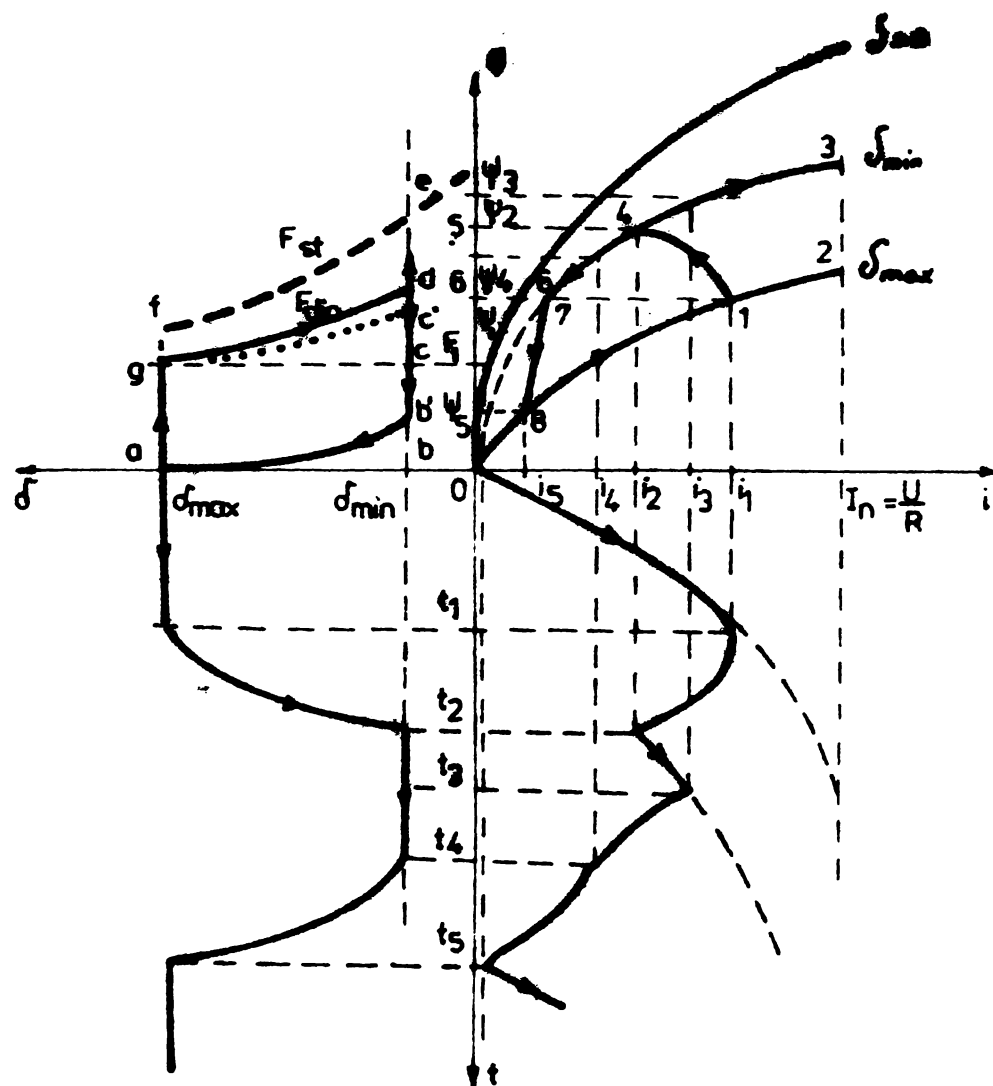


Fig.3.10. Diagrama caracteristicilor de funcționare a unui electromagnet în regim dinamic.

$$i_1 = \frac{U}{R} \left( 1 - e^{-\frac{R}{L_1} t_1} \right) \quad (3.106)$$

$$\left( \frac{d}{dt} \right)_1 = U e^{-\frac{R}{L_1} t_1} \quad (3.107)$$

$$\Psi_1 = L_1 \cdot i_1 = L_1 \cdot \frac{U}{R} \left( 1 - e^{-\frac{R}{L_1} t_1} \right) \quad (3.108)$$

$$\delta_1 = \delta_{\max} \quad (3.109)$$

$$F_1 = k \frac{i_1^2}{\delta_{\max}^2} \quad (3.110)$$

In intervalul de timp  $t \in (t_1, t_2)$  are loc mișcarea armăturii mobile. Notind cu  $W_{m1}$ , respectiv  $W_{m2}$  energia acumulată în cimpul magnetic la momentele  $t_1$ , respectiv  $t_2$ , cu  $W$  energia primită de la rețea în intervalul de timp  $t_2 - t_1$  și cu  $W_{mec}$  lucru mecanic efectuat de armătura electromagnetului pe parcursul deplasării, se poate scrie, pe baza echivalențelor energetice:

$$W_{m2} = W_{m1} + W - W_{mec} \quad (3.111)$$

Ceea ce, în diagramă înseamnă echivalența următoarelor arii:

$$A_{0450} = A_{0160} + A_{14561} - W_{mec} \quad (3.112)$$

Din (3.111) și (3.112) rezultă:

$$W_{mec} = A_{01470} \quad (3.113)$$

Așadar lucru mecanic efectuat de electromagnetul în regim dinamic este egal cu aria  $A_{01470} < A_{0230}$ ,  $A_{0230}$  reprezentând lucru mecanic realizat de electromagnet la o deplasare infinit înceată a armăturii.

Deoarece:

$$A_{01470} = W_{mec} = \int_{\delta_{\min}}^{\delta_{\max}} F(\delta) \cdot d\delta \quad (3.114)$$

rezultă că:

$$A_{01470} = A_{abdga} \quad (3.115)$$

cu condiția ca factorul de scară al desenului să fie 1. Se observă că lucru mecanic lăsat de electromagnet  $W_{mec}$  acoperă lucru mecanic  $W_{mecu}$  efectuat de forță rezistentă (sarcina)  $F_r$  la care se adaugă energia acumulată în resort  $W_R$  și energia cinetică "cin" acumulată în masele în mișcare. Neglijînd frecările, putem scrie:

$$W_{mec} = W_{mecu} + W_{cin} + W_R \quad (3.116)$$

Conform relației (3.116) și celor expuse la paragraful 3.3.4., rezultă pentru graficul din figura 3.10, în care sarcina  $F_r$  este considerată constantă cu întreierul, putem scrie următoarele echivalențe:

$$W_{mecu} = A_{01470} = A_{01470} \quad (3.117)$$

$$W_{cin} = A_{abdga} = A_{01470} = A_{abdga} \quad (3.118)$$

$$W_{cin} = A_{gc} \cdot dg \quad (3.119)$$

$$W_R + W_{cin} = A_{gcdg} = A_{1471} \quad (3.120)$$

Diagrama din figura 3.10 evidențiază că în etapa a V-a a regimului dinamic (vezi paragraful 3.3.1) în care armătura mobilă revine sub acțiunea resoartelor de la întrefierul  $\delta_{min}$  la întrefierul  $\delta_{max}$ , se poate recupera lucrul mecanic efectuat de electromagnet pentru tensionarea resoartelor, lucru mecanic reprezentat prin aria  $A_{0970} = A_{abb} \cdot a$ .

La fel rezultă că:

$$A_{0230} = A_{abefa} \quad (3.121)$$

Relațiile (3.114)...(3.121) oferă o posibilitate de comparare și verificare a exactității determinării grafice a lucrului mecanic dezvoltat în etapa a doua a regimului dinamic. În același timp, oferă posibilitatea determinării riguroase a forței dinamice dezvoltate de electromagnet în condițiile în care este cunoscută caracteristica dinamică  $\Psi = f(i)$ .

Pentru intervalul de timp  $t \in (t_1, t_2)$  în care  $\Psi = \Psi(i, x)$ ,  $\frac{d\Psi}{dt} = f(i, x)$ , se poate scrie:

$$\frac{d\Psi(i, x)}{dt} = L(x) \cdot \frac{di}{dt} + i \cdot \frac{dL(x)}{dx} \cdot \frac{dx}{dt} \quad (3.122)$$

Se determină condițiile în care, pentru etapa a doua a regimului dinamic se poate scrie o expresie analitică pentru  $F(t)$ , pe baza teoremelor forțelor generalizate. În acest scop se determină condițiile în care regimul dinamic din intervalul de timp  $t \in (t_1, t_2)$  se realizează la  $i=ct$ ,  $\Psi = ct.$ , respectiv  $\Psi \cdot i = ct$ .

### 3.5.8.2. Regimul dinamic la $i = ct$ .

Ecuatia (3.11) arată că acest regim are loc dacă se poate asigura ca în intervalul de timp  $t \in (t_1, t_2)$  să existe egalitatea:

$$\frac{d\Psi(i, x)}{dt} = U - R \cdot i = \left(\frac{d\Psi}{dt}\right)_1 = ct. \quad (3.123)$$

unde:

$\left(\frac{d\Psi}{dt}\right)_1$  este valoarea derivei fluxului la momentul  $t_1$ .

In acest regim forța dinamică  $F$  se scrie:

$$F = \frac{\partial}{\partial x} \int i_1 \cdot d\psi = i_1 \frac{\partial \psi}{\partial x} = i_1^2 \frac{\partial L}{\partial x} = -L' \cdot i_1^2 \quad (3.124)$$

unde  $L'$  este conform (3.93).

Rezultă așadar că forța dinamică este egală cu forța statică dezvoltată de electromagnet pentru curentul constant  $i_1$ . Din (3.123), prin integrare rezultă:

$$\psi = \psi_1 + \left( \frac{d\psi}{dt} \right)_1 \cdot t \quad (3.125)$$

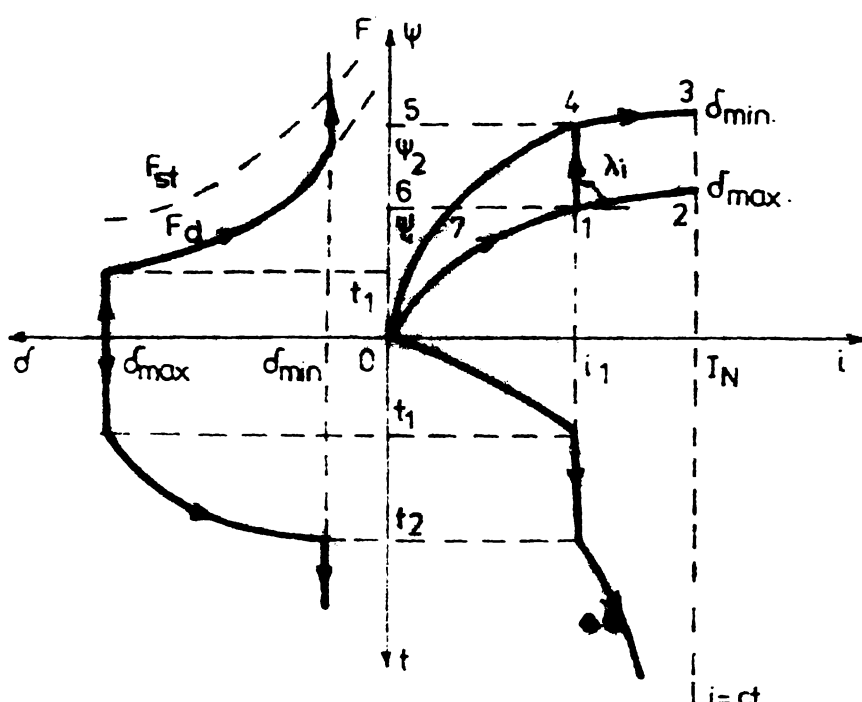


Fig.3.11. Biograma caracteristicilor pentru regimul dinamic  $i=ct$ .

Având în vedere că:

$$\psi = L(x) \cdot i_1 = \frac{1}{J} \cdot i_1 \quad (3.126)$$

(3.125) și (3.126) rezultă variația în timp a întrefierului:

$$j = \frac{i_1 - i_1}{\psi_1 + \left( \frac{d\psi}{dt} \right)_1 \cdot t} \quad (3.127)$$

Relațiile (3.124), (3.125) și (3.127) descriu complet regimul dinamic considerat la  $i=ct$ . Din ecuația mișcării se poate stabili condiția în care are loc acest regim. Din (3.13) rezultă că, la  $U=ct$ , pentru asigurarea unui regim dinamic la  $i_1=ct$  forța rezistență  $F_r$  trebuie să fie variabilă în timp, având expresia:

$$P_r = \frac{[\psi_1 + (\frac{d\psi}{dt})_1 \cdot t]^2}{4 \cdot L'} + 2 \cdot \frac{\frac{L' i_1 (\frac{d\psi}{dt})_1^2}{2}}{[\psi_1 + (\frac{d\psi}{dt})_1 \cdot t]} - r \frac{\frac{L' i_1 (\frac{d\psi}{dt})_1}{2}}{[\psi_1 + (\frac{d\psi}{dt})_1 \cdot t]^2} - k (\delta_{max} - \frac{\frac{L' i_1}{2}}{\psi_1 + (\frac{d\psi}{dt})_1 \cdot t}) \quad (3.128)$$

O interesantă și utilă posibilitate de apreciere a comportării electromagnetului într-un regim dinamic caracterizat prin  $i = ct$  rezultă prin utilizarea inductivității „de mișcare”, definită la paragraful 3.5.3.

Notând cu  $L_{mi}$  această inductivitate pentru cazul regimului dinamic caracterizat prin  $i = ct$ , rezultă conform fig.3.11:

$$L_{mi} = \operatorname{tg} \lambda_i = \infty \quad (3.129)$$

și deci constanta de timp în acest caz este:

$$T_i = \frac{L_{mi}}{R} = \infty \quad (3.130)$$

Așadar, regimul dinamic la  $i = ct$  se poate obține numai la o deplasare infinit înceată a armăturii mobile, dacă tensiunea la borne U și forța rezistentă  $P_r$  sunt constante.

### 3.5.8.3. Regimul dinamic la $\Psi = ct$ .

Dacă se poate asigura ca regimul dinamic să se desfășoare la  $\Psi = \Psi_1 = ct$ , atunci se poate scrie pentru principalele mărimi ce determină acest regim:

$$\Psi = L(x) \cdot i(x, t) = \frac{L'}{\delta} \cdot i = \Psi_1 = ct \quad (3.131)$$

$$i = \frac{\Psi_1}{L'} (\delta_{max} - x) \quad (3.132)$$

$$P = - \frac{\partial}{\partial x} \int \Psi \cdot di = \frac{\Psi_1^2}{L'} = ct \quad (3.133)$$

Din ecuația mișcării (3.13), scrisă pentru acest caz, se pot deduce ușor formulele care dă variația în timp a întrefierului  $\delta = \delta(t)$ , rezultând apoi din (3.132) variația în timp a curentului  $i = i(t)$ . Diagrama corespunzătoare acestui regim (etapele I și II) este prezentată în fig.3.12.

Dacă în ecuația (3.13),  $r = k = 0$ , atunci rezultă:

$$\frac{d^2\psi}{dt^2} = a = \frac{F - F_d}{m} = ct \quad (3.134)$$

Se regăsește astfel una din situațiile în care accelerarea poate fi considerată constantă pe parcursul procesului dinamic. Se observă acum generalitatea restrânsă a acestui considerent, folosit, (vezi paragr. 3.3.4), drept metodă de aproximare analitică pentru soluționarea ecuațiilor regimului dinamic. De asemenea, se poate aprecia eroarea care se introduce în determinarea regimului dinamic prin metoda iterativă grafică Lysov.

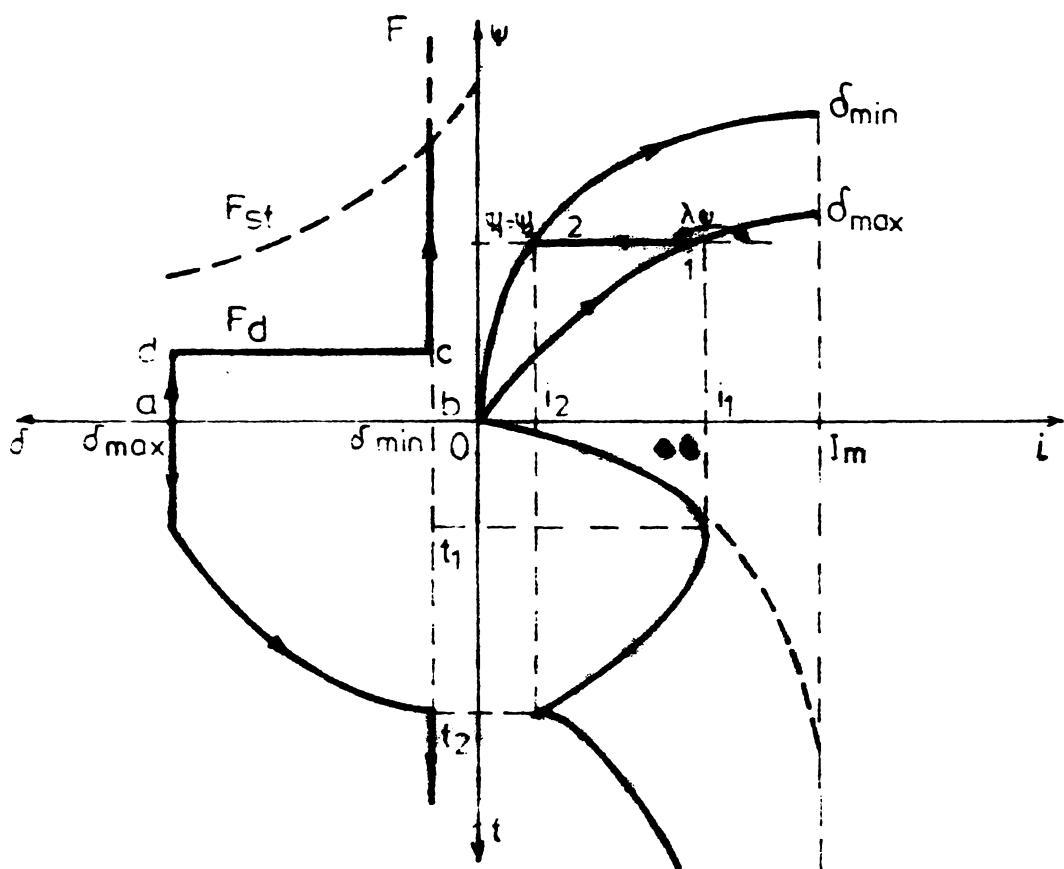


Fig. 3.12. Diagrama caracteristicilor pentru regimul dinamic  $\psi = ct$ .

în care intervalul de timp  $\Delta t_i$  în care se produce o deplasare elementară a armăturii se calculează cu ajutorul vitezei medii  $v_{ml}$ , determinată în condițiile în care accelerarea se consideră de asemenea constantă în acest interval, ceea ce revine la a considera deplasarea ca făcindu-se la  $\psi = ct$ .

Se observă că la alimentarea cu tensiune continuă regimul dinamic la  $\psi = ct$  nu se poate realiza de la sine, deoarece în asemenea condiții ecuația (3.11) nu se mai verifică.

Din ecuațiile (3.11) și (3.132) rezultă că regimul dinamic  $\Psi = \text{ct}$  se poate realiza dacă tensiunea de alimentare are o variație de formă:

$$U = R \cdot i = R \cdot \frac{\Psi_1}{L'} (\delta_{\max} - x) \quad (3.135)$$

sau, în condițiile în care este scrisă ecuația (3.134), tensiunea de alimentare are o variație în timp de formă:

$$U = R \cdot \frac{\Psi_1}{L'} (\delta_{\max} - a \frac{t^2}{2}) \quad (3.136)$$

Din (3.134) se poate determina intervalul  $t_2 - t_1$  în care are loc anclansarea electromagnetului:

$$t_2 - t_1 = \sqrt{\frac{2}{a} (\delta_{\max} - \delta_{\min})} = \sqrt{\frac{2 \cdot m}{F - F_r} (\delta_{\max} - \delta_{\min})} \quad (3.137)$$

iar din (3.132) valoarea  $i_2$  a curentului:

$$i_2 = i_1 - \frac{\Psi_1}{L'} \cdot \frac{a(t_2 - t_1)^2}{2} = \frac{\Psi_1}{L'} \cdot \delta_{\min} \quad (3.138)$$

Ecuația (3.133) este foarte importantă, deoarece ne oferă atât o metodă de determinare analitică a valorii forței dezvoltate de un electromagnet, cât și o interesantă interpretare grafică, utilă în determinarea valorii momentane a forței dezvoltate de electromagnet în regim dinamic.

Astfel, în regimul dinamic particular, în care  $\Psi = \text{ct}$ , rezultă că forța dezvoltată de electromagnet este constantă și conform relațiilor (3.114), (3.115) și diagramei din fig.3.12, se pot scrie următoarele echivalențe energetice:

$$A_{abcd} = A_{0120} \quad (3.139)$$

ceea ce se mai poate scrie:

$$F_1 (\delta_{\max} - \delta_{\min}) = \frac{1}{2} \Psi_1 (i_1 - i_2) \quad (3.140)$$

sau în cazul general al unui întrefier  $\delta$ :

$$F (\delta - \delta_{\min}) = \frac{1}{2} \Psi (i - i_{\min}) \quad (3.141)$$

unde  $i_{\min}$  este curentul pentru care la întrefierul  $\delta_{\min}$  fluxul magnetic al electromagnetului este  $\Psi$ .

Obținem pentru forță relația:

$$\frac{F}{i} = \frac{1}{2} \frac{i - i_{\min}}{\delta - \delta_{\min}} \ln \quad (3.142)$$

In situația în care  $\delta_{\min} = 0$  și se neglijeează căderea de tensiune magnetică în fier, ceea ce revine la a considera  $\delta_{\min} = 0$  și  $\frac{1}{2} \frac{\mu_0}{\delta} = 0$ , forța se scrie:

$$F = \frac{1}{2} \Psi \cdot \frac{1}{\delta} \quad (3.143)$$

Se observă că din relațiile (3.131) și (3.143) se poate obține expresia clasică a forței dezvoltate de electromagnet (pe doi poli):

$$F = \frac{1}{2} \Psi \left( \frac{1}{\delta} \right) = \frac{1}{2} \Psi \left( \frac{\Psi}{L'} \right) = \frac{\Psi^2}{\mu_0 S N^2} = \frac{\phi^2}{\mu_0 S} = \frac{B^2 S}{\mu_0} \quad (3.144)$$

Relații de tipul (3.142) și (3.143) se obțin și din ecuația (3.35) scrisă pe baza bilanțului energetic general al electromagnetcui. Astfel, considerind un singur circuit magnetic ( $n=1$ ) și având în vedere că deplasarea se efectuează la  $\Psi = \text{ct}$ , ecuația (3.35) se scrie:

$$F = \frac{1}{2} \Psi \frac{di}{d\delta} \quad (3.145)$$

Deoarece, conform ecuației (3.132) în regimul  $\Psi = \text{ct}$ , curentul are o variație liniară în funcție de coordonata x, rezultă că ecuația anterioară se scrie:

$$F = \frac{1}{2} \Psi \frac{i \delta_{\max} - i \delta_{\min}}{\delta_{\max} - \delta_{\min}} \quad (3.146)$$

iar dacă  $\delta_{\min} = 0$ , obținem ecuația (3.143)

și pentru regimul  $\Psi = \text{ct}$  utilizarea inductivității „de mișcare” oferă o utilă posibilitate de apreciere a comportării electromagnetcui. Având în vedere definiția acestei inductivități (paragraful 3.5.3), notind cu  $L_m \Psi$  inductivitatea de mișcare pentru regimul dinamic caracterizat prin  $\Psi = \text{ct}$ , conform fig.3.12 se poate scrie:

$$L_m \Psi = \operatorname{tg} \lambda \Psi = 0 \quad (3.147)$$

și deci constanta de timp a regimului dinamic este:

$$T \Psi = \frac{L_m \Psi}{R} = 0 \quad (3.148)$$

De asemenea, conform relației (3.79), variația forței dezvoltate de electromagnet într-un astfel de regim este:

$$\Delta F = K_F \cdot \Psi_m \cdot L_m \Psi \cdot \Delta i = 0 \quad (3.149)$$

confirmindu-se astfel relația (3.133) care arată că în regimul dinamic caracterizat prin  $\Psi \cdot i = ct$  forța dezvoltată de electromagnet este constantă.

### 3.5.8.4. Regimul dinamic la $\Psi \cdot i = ct$ .

Diagrama caracteristicilor regimului dinamic la  $\Psi \cdot i = ct$  este prezentată în fig.3.13

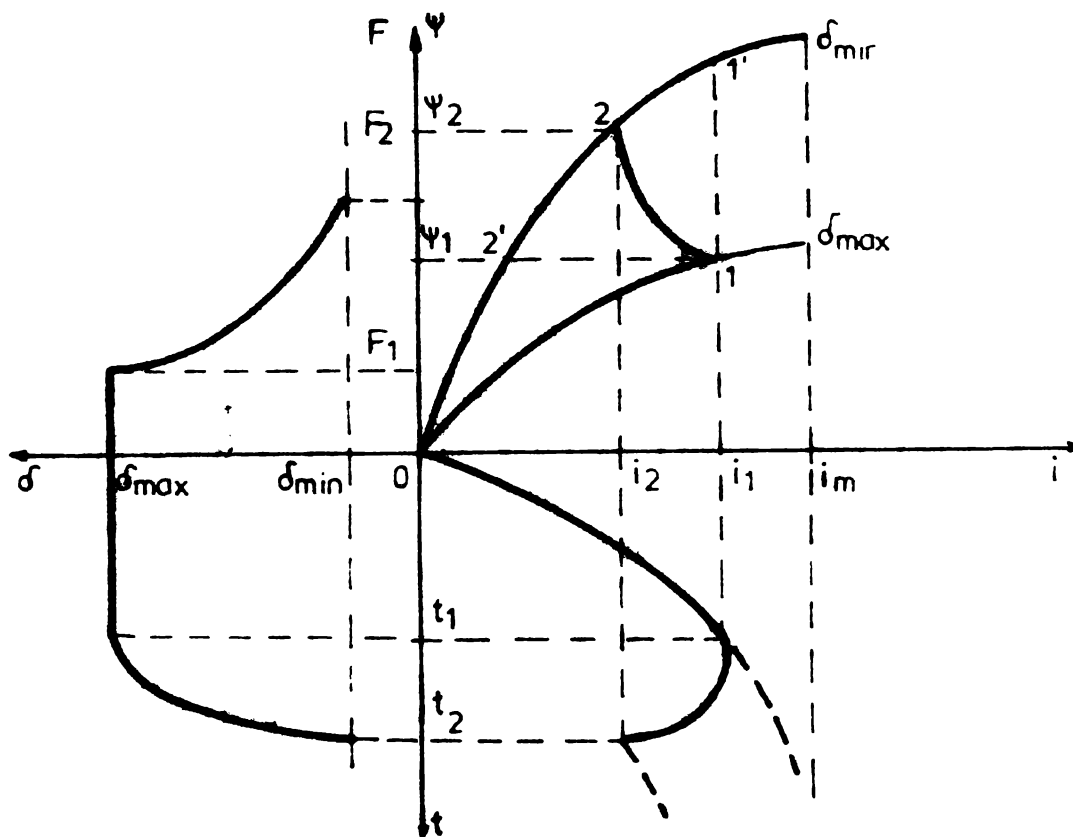


Fig.3.13. Caracteristicile regimului dinamic la  $\Psi \cdot i = ct$ .

Se constată, conform figurii 3.13, că în planul coordonator  $\Psi, i$  regimul dinamic se realizează după hiperbola:

$$\Psi \cdot i = c \quad (3.15o)$$

unde  $c$  este o constantă.

Lucrul mecanic dezvoltat în acest regim este proporțional cu aria  $A_{0120}$ , fiind mai mare decât lucru mecanic efectuat în regimul  $\Psi = ct$ , care este proporțional cu aria  $A_{012'0}$ , respectiv mai mic decât lucru mecanic efectuat în regimul  $i = ct$ , care este proporțional cu aria  $A_{011'0}$ .

Diferențele între lucrurile mecanice dezvoltate în cele trei regimuri particulare (reale) considerate, se explică prin faptul că acestea nu realizează în mod forțat, prin asigurarea unei variații în timp a tensiunii de alimentare  $U$ , sau a sarcinii armăturii mobile  $i$ . În cazul în care, la o anumită valoare centru termenii

ce intră în bilanțul energetic general al electromagnetului, inclusiv pentru lucrul mecanic dezvoltat.

Conform relațiilor (3.92) și (3.150), forța dezvoltată de electromagnet (pe ambii poli) se scrie:

$$F = \frac{B^2 \cdot S}{\mu_0} = \frac{\Psi \cdot i}{2 \cdot \delta} = \frac{c}{2} \cdot \frac{1}{\delta} \quad (3.151)$$

Așadar și în planul coordonatelor  $(F, \delta)$  regimul dinamic se realizează după o hiperbolă:

$$F \cdot \delta = \frac{c}{2} \quad (3.152)$$

Relația (3.152), împreună cu ecuația mișcării (3.13) oferă posibilitatea soluționării analitice a ecuațiilor regimului dinamic considerat la  $\Psi \cdot i = ct$ .

Se poate concluziona că dacă se asigură regimuri dinamice forțate, în care  $\Psi = ct$ , sau  $i = ct$ , sau  $\Psi \cdot i = ct$ , atunci se pot scrie relații analitice care să descrie evoluția în timp a mărimilor ce caracterizează aceste regimuri dinamice.

#### 3.5.8.5. Regimul dinamic oarecare.

O variantă pentru un astfel de regim este prezentată în diagrama din fig.3.10. Se observă că este o variantă intermediară între cazurile prezentate în diagramele din figurile 3.11, 3.12 și 3.13 și că atare variația în timp a forței dinamice nu poate fi descrisă cu relațiile stabilite pentru regimul dinamic la  $i = et$ ,  $\Psi = ct$ , sau  $\Psi \cdot i = ct$ . Teoremele forțelor generalizate (lagrangiene) au valabilitatea precizată la paragraful 3.5.1, fară a putea fi folosite în regimuri oarecare, pentru scrierea sub o formă analitică a variației forței dinamice; aceasta se poate determina prin metode grafice sau numerice, pentru fiecare caz concret considerat.

#### 3.5.8.6. Metodă grafo-analitică de rezolvare a ecuațiilor regimului dinamic oarecare.

Figura 3.14 este explicativă pentru o metodă originală de determinare grafo-analitică riguroasă a variației mărimilor ce caracterizează funcționarea unui electromagnet dat pentru etapa a doua a regimului dinamic oarecare.

Pentru electromagnetul dat se consideră cunoscute curbele de magnetizare  $\Psi = f(i)$  pentru întregiurile  $\delta_j$ , precum și curba de magnetizare a materialului din care este confecționat electromagnetul (curba care are pentru  $\delta_j = 0$ ). În etapa I a regimului

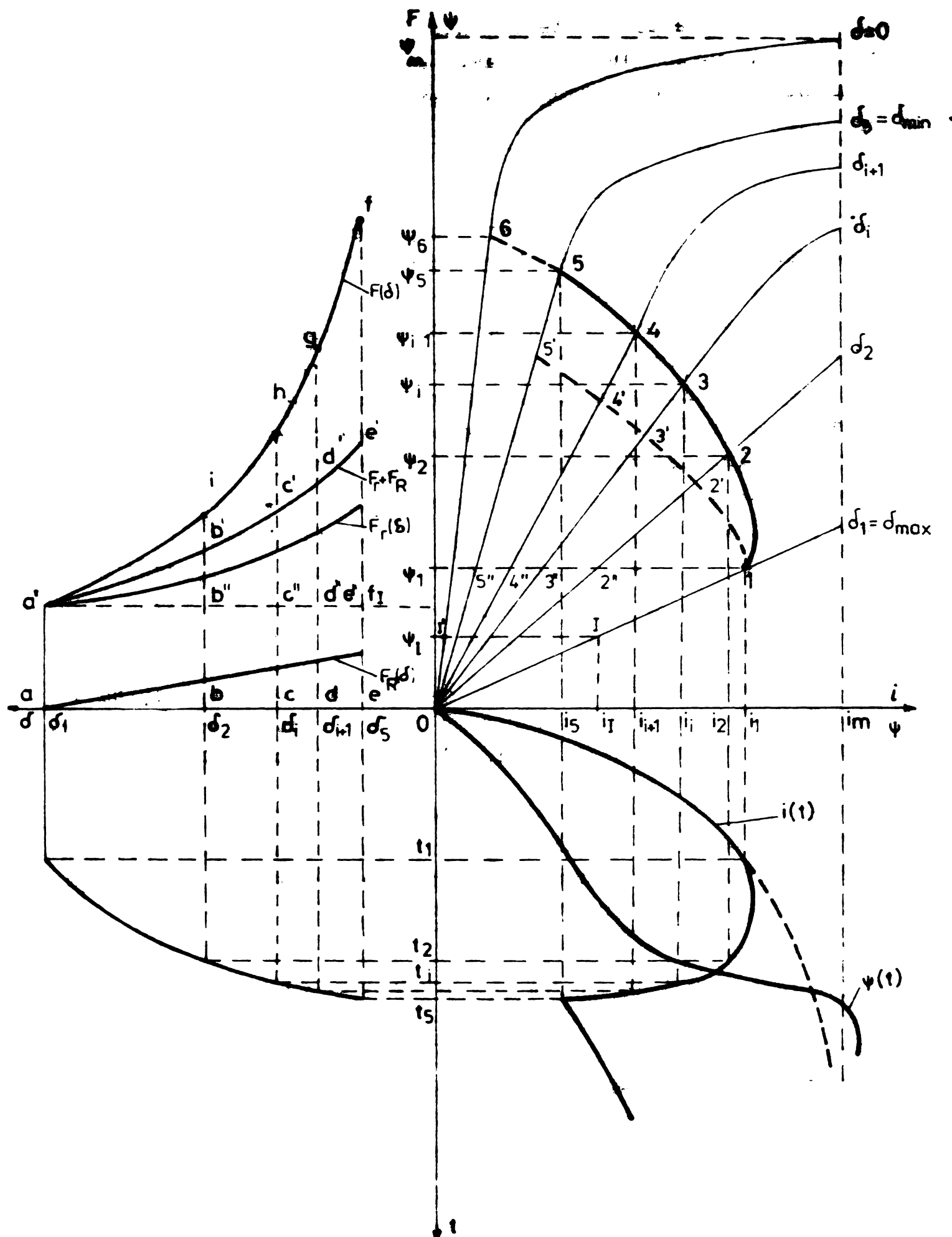


Fig. 3.14. Explicativă pentru metoda de determinare grafică a variațiilor mărimilor ce caracterizează funcționarea unui electromagnet într-un regim dinamic oarecare.

dinamic, forța dezvoltată de electromagnet se determină pe baza energiei electromagnetice acumulate în intrefier. Astfel, pentru o valoare constantă a curentului în această etapă  $i_1$ , coresponditor cărui fluxul magnetic al electromagnetului este  $\Psi_1$ , energia electromagnetică acumulată în intrefier  $W_{\delta_1}$  este proporțională cu aria  $A_{oII'}$ :

$$W_{\delta_1} = A_{oII'}$$
 (3.153)

Deoarece forța pentru această etapă se determină considerind că energia  $W_{\delta_1}$  se transformă în lucru mecanic, se pot utiliza ecuațiile (3.142), respectiv (3.143).

Analizăm cazul general în care forța rezistentă  $F_r$  are o variație oarecare cu intrefierul, cunoscută, reprezentată prin curba  $F_r(\delta)$  din cadranul II (fig.3.14). Considerăm de asemenea cunoscută forța antagonistă  $F_R(\delta) = k \cdot x$  dată de resort, reprezentată de asemenea în cadranul II. În același cadran este trasată și suma celor două forțe antagoniste.

Din condiția:

$$F_I = F_r (\delta_{max})$$
 (3.154)

se determină valorile  $\Psi_1$  și  $i_1$  pentru care începe etapa a II-a a resortului dinamic (deplasarea armăturii).

Se consideră că variația  $\Psi = \Psi(i, \delta)$  are loc după curba 1-2. Se determină astfel, coresponditor punctului 2 (intrefier  $\delta_2$ ) valoările  $i_2$  și  $\Psi_2$ , respectiv  $\Delta i_2 = i_2 - i_1$  și  $\Delta \Psi_2 = \Psi_2 - \Psi_1$ .

Având în vedere că sub acțiunea forței dinamice  $F$  dezvoltată de electromagnet are loc o modificare a energiei cinetice a sistemului electromagnetic, neglijindu-se amortizarea ( $r=0$ ), se poate scrie:

$$\int_{\delta_1}^{\delta_2} (F - F_R - F_r) d\delta = \Delta E_{cin} = \Delta \left( \frac{mv^2}{2} \right) = \Delta A_{12}$$
 (3.155)

$\Delta A_{12}$  fiind cota parte din lucru mecanic efectuat la deplasarea armăturii mobile de la  $\delta_1$  la  $\delta_2$ , proporțional ca mărime cu aria  $A_{122'}$ , care reprezintă variația energiei cinetice a sistemului mobil al electromagnetului. Cunoscind  $\Delta A_{12}$  din reprezentarea grafică din fig.3.14, se poate determina viteza  $v_2$  pe care o va avea armătura mobilă la intrefierul  $\delta_2$ , presupunind că la  $\delta_1$  armătura a fost în repaus ( $v_1 = 0$ ).

$$\frac{m}{2} (v_2^2 - v_1^2) = \frac{m}{2} v_2^2 = \Delta A_{12}$$
 (3.156)

$$v_2 = \sqrt{\frac{2}{m} \Delta A_{12}} \quad (3.157)$$

In mod ascendant se pot determina variațiile  $\Delta \Psi_i$ ,  $\Delta i_i$  și vitezele  $v_i$  la întrefierurile  $\delta_i$ . Pe această bază se poate reprezenta variația vitezei cu întrefierul (fig.3.15) precum și variația cu întrefierul a mărimii  $\frac{1}{v}$  (fig.3.16), din care rezultă intervalele de timp  $\Delta t_i$  (ariile hașurate), în care se parcurge întrefierul. Mărimile  $\Delta \Psi_i$  și  $\Delta t_i$  astfel stabilite trebuie să verifice ecuația:

$$U = R i_i + \frac{\Delta \Psi_i}{\Delta t_i} \quad (3.158)$$

Dacă ecuația nu se verifică, se reiterează construcția grafică pînă la determinarea riguroasă a curbei de variație 1-2-3-4-5 a lui  $\Psi$  funcție de  $i$  (fig.3.14). În final, cunoscindu-se din fig.3.16 timpii la care armătura se găsește la întrefierurile  $\delta_i$ , iar din fig. 3.14 valorile lui  $\Psi$  și  $i$  la aceste momente, se pot trasa graficele de variație în timp a acestei mărimi ( $\delta = \delta(t)$ ,  $\Psi = \Psi(t)$ ,  $i = i(t)$ ), reprezentate în fig.3.14.

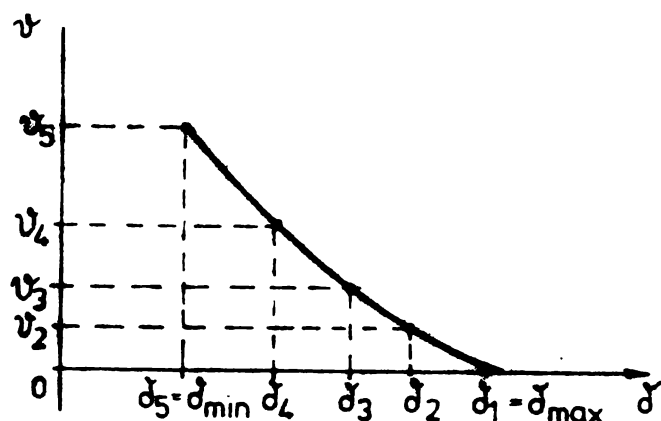


Fig.3.15. Diagrama vitezelor funcție de întrefier.

Pentru a determina pe cale grafică variația în raport cu întrefierul (sau în raport cu timpul) a forței dinamice dezvoltate de electromagnet, avem următoarele două variante:

a) Similar ecuației (3.14), putem scrie lucrul mecanic efectuat de forța dezvoltată de electromagnet la deplasarea armăturii mobile de la întrefierul  $\delta_i$  la întrefierul  $\delta_{i+1}$ , sub forma:

$$\tau_{i,i+1} = \begin{cases} \delta_{i+1} \\ \delta_i \end{cases} - \tau(\delta) \cdot d\delta = A_{0340} \quad (3.159)$$

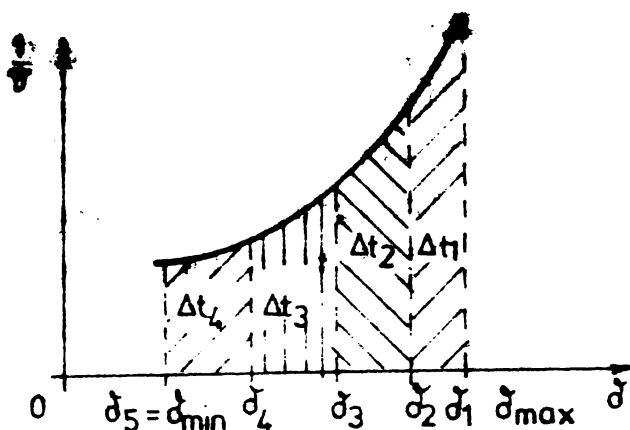


Fig. 3.16. Reprezentarea grafică a intervalor de timp în care se parcurge întrefierul.

$A_{i,i+1}$  fiind egal cu aria  $A_{0340}$  din fig. 3.14.

Dacă considerăm forță dinamică medie  $F_{mi}$  dintre întrefierurile  $\delta_i$  și  $\delta_{i+1}$ , atunci din relația (3.159) rezultă:

$$F_{mi} = \frac{A_{0340}}{\delta_{i+1} - \delta_i} \quad (3.16c)$$

relația (3.16c) servind drept bază pentru determinarea grafică a valorilor medii ale forței dinamice la diferite întrefieruri.

Determinarea pe această cale a forței dinamice dezvoltate de electromagnet este aproximativă,  $F_{mi}$  fiind cu atât mai aproape de forță dinamică  $F_i$  corespunzătoare întrefierului  $\delta_i$ , cu cât intervalele  $\delta_{i+1} - \delta_i$  sunt mai mici.

b) Întrucă o determinare mai exactă a valorilor  $F_i$  ale forței dinamice se utilizează ecuația mișcării (3.13), scrisă pentru valoarea  $\delta_i < \delta_{\max} - x_i$  al întrefierului, astfel:

$$F_i = m a_i + k x_i + F_{ri} \quad (3.16d)$$

unde  $a_i$ ,  $F_{ri}$  reprezintă accelerăția, respectiv mărimea forțelor antagoniste la valoarea  $\delta_i = \delta_{\max} - x_i$  a întrefierului.

În semnalul drept al ecuației (3.16d) toate mărimile sunt deja cunoscute, cu excepția accelerăției  $a_i$ . Determinăm accelerăția pe cale grafică, reprezentând  $v = f(t)$  și de aici  $v = f(\frac{1}{t})$ , conform figurii 3.17. Intervalele măsurate  $\Delta s_i$  din fig. 3.17 reprezintă tot ecuația de accelerare la parcurserea întrefierului. Se poate

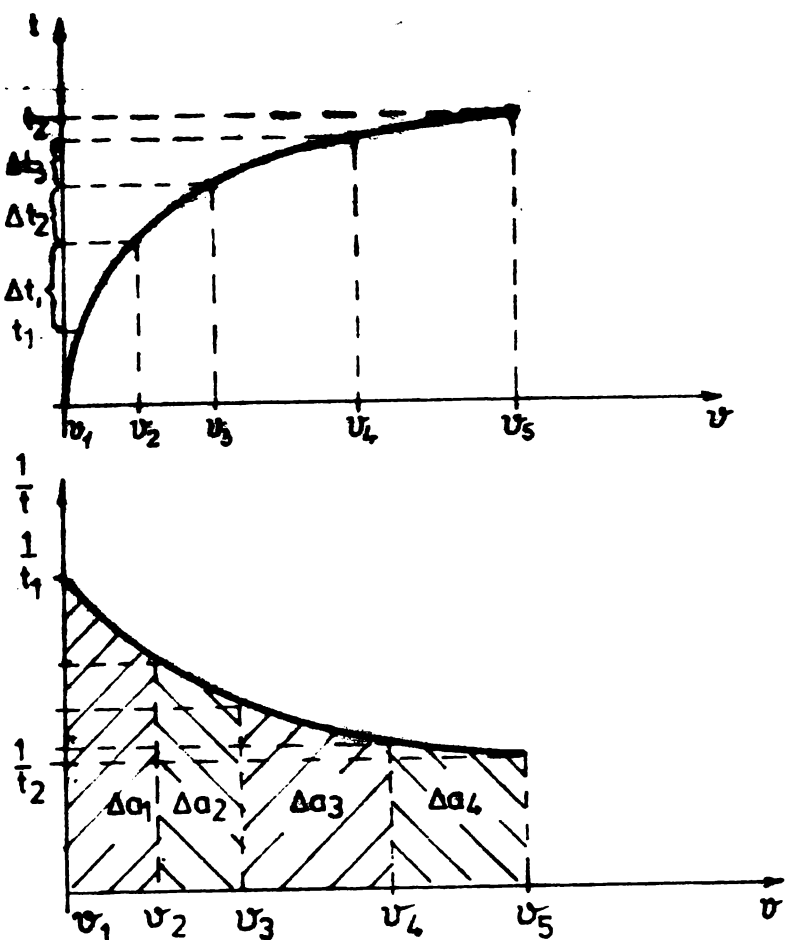


Fig.3.17. Diagramale  $v = f(t)$  și  $v = f(\frac{1}{t})$  în regim dinamic.

$\Delta a_i$  = creșterile de accelerare.

$$a_i = \sum \Delta a_i \quad (3.162)$$

Inlocuind valorile  $a_i$ ,  $v_i$ ,  $x_i$  și considerînd cunoscute mărimile constructive  $m$  și  $k$ , din ecuația (3.161) se determină valorile  $F_i$  ( $\delta_i$ ), reprezentate în cadrul II din fig.3.14.

Aveam posibilitatea verificării corectitudinii metodei pe baza relațiilor de tipul (3.155) și (3.159), conform cărora trebuie să avem, în graficul din fig.3.14 următoarele proporționalități între arii:

$$\begin{aligned} A_{122'1} &= k \cdot A_{a'b'ia'} ; \quad A_{233'2'2} = k \cdot A_{b'e'hib'} ; \dots ; \\ A_{455'4'4} &= k \cdot A_{d'e'fgd'} \end{aligned} \quad (3.163)$$

La fel:

$$A_{0120} = k \cdot A_{abia'a} ; \quad A_{0230} = k \cdot A_{bchib} ; \dots ; \quad A_{0450} = k \cdot A_{defgd} \quad (3.164)$$

precum și:

$$A_{0150} = k \cdot A_{aefaa}$$

(3.165)

unde  $k$  este un coeficient de scădere.

Pentru situațiile în care sarcina  $F_p$  este constantă cu întrefierul, având o variație dată de curba "b" "c" "d" "e" (fig.3.14, quadrantul II) metoda propusă se aplică în mod identic, luându-se în considerare lucrul mecanic util total reprezentat prin ariaile:

$$A_{aee'a'a} = A_{015''0} \quad (3.166)$$

Deoarece metoda ne oferă variația cu întrefierul, respectiv cu timpul a vitezei armăturii, putem determina, dacă este cazul, printr-un procedeu iterativ, efectul amortizării ( $r \neq 0$ ) asupra mișcării armăturii, efect proporțional cu viteza. În acest scop, cu valoriile determinate pentru viteză după prima iteratăie, în care am considerat  $r=0$ , determinăm variația cu întrefierul a forței de amortizare, egală cu „r.v”, Pentru a doua iteratăie metoda se aplică în mod similar, pornind de la ecuația:

$$\int_{\delta_1}^{\delta_2} (F(\delta) - r \cdot v(\delta) - k \cdot x - F_r(\delta)) d\delta = \Delta W_{cin} = \Delta \left( \frac{mv^2}{2} \right) \quad (3.167)$$

obținând în final un nou sir de viteze  $v_j(\delta)$ , precum și o altă variație cu întrefierul a forței dinamice  $r(\delta)$ . Efectuam „j” iteratăie, când cind, pentru un întrefier  $\delta_i$  avem:

$$F_j(\delta_i) - r_{j-1}(\delta_i) < \varepsilon \quad (3.168)$$

$\varepsilon$  fiind precizia impusă pentru determinarea forței.

Metoda grafică expusă reprezintă în fapt o generalizare și o extindere a metodelor grafice Lyscov și Gurnickij /45/, fiind mai precisă, deoarece elimină aproximarea introdusă prin luarea în considerare a vitezei medii pe un interval de iteratăie și oferă în plus variația în timp a tuturor parametrilor ce caracterizează regimul dinamic. În schimb metodei prilejuiește evidențierea, cu caracter de măsură, a unor importante echivalente între reprezentările grafice și valoarea parametrilor regimului dinamic, în principal a componentelor lucrului mecanic și forței dezvoltate de electromagnet.

Metoda grafică stabilită permite studierea riguroasă a regimului dinamic oarecare la un electromagnet dat. În fig.3.18 este prezentată diagramă comparativă pentru regimurile dinamice carecare și particulare:

- a) regimul dinurat prin curba 1, care poate fi considerat ca fiind în același plan magnetic, decarece realizează, la un ci-

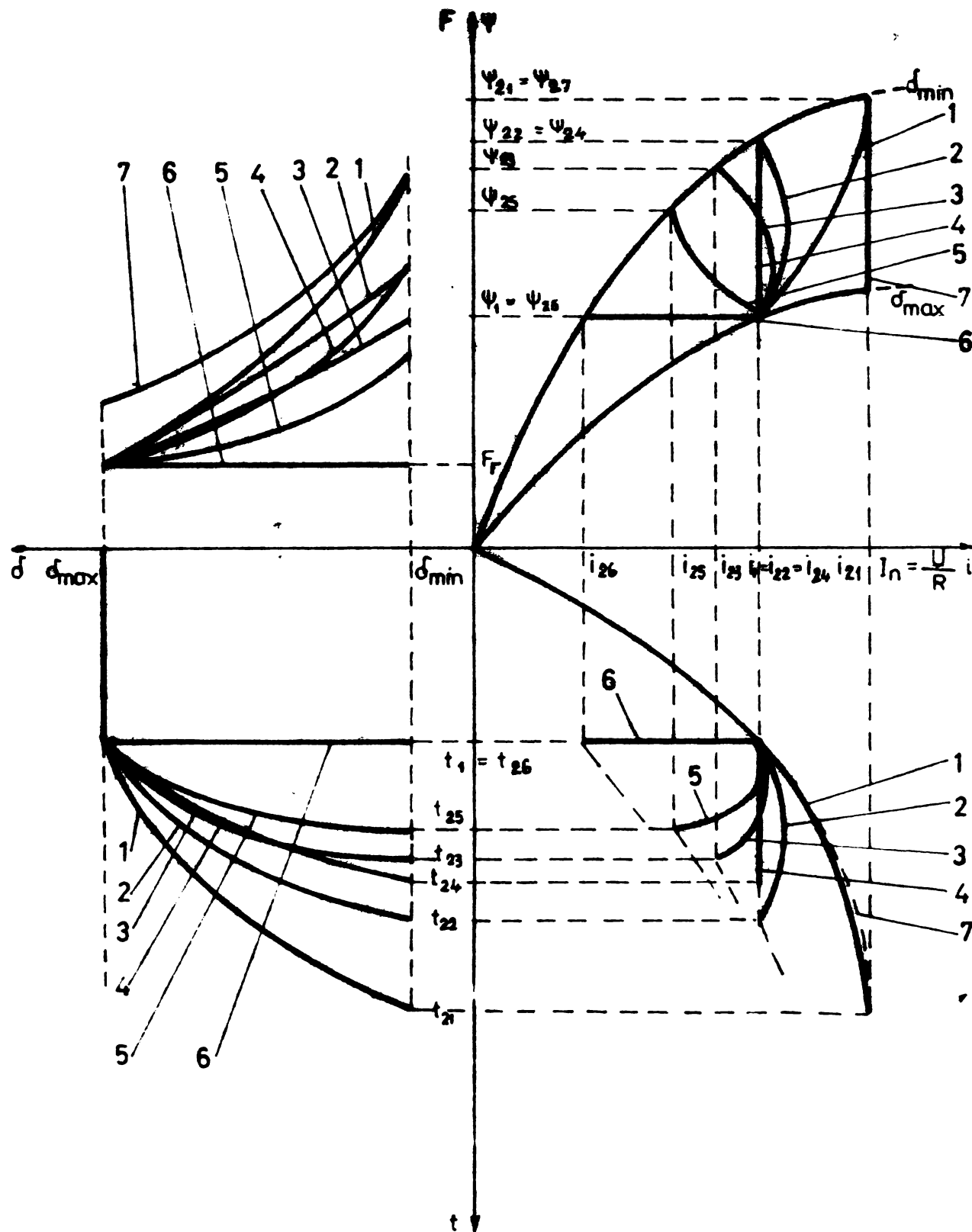


Fig.3.18. Diafragma comparativă a unor regimuri dinamice la electromagnetii de curent continuu:

1 - regimul dinamic optim energetic; 2 - regimul dinamic la  $i_2 = i_1$ ; 3 - regimul dinamic oarecare;

4 - regimul dinamic la  $i = ct$ ; 5 - regimul dinamic la  $\psi \cdot i = ct$ ; 6 - regimul dinamic la  $\Psi = ct$ ;

7 - regimul static.

olu, lucrul mecanic maxim posibil;

b) Regimul figuraț prin curba 2, care se caracterizează prin aceea că la momentul  $t_{22}$  curentul  $i_{22}$  are aceeași valoare de la momentul  $t_1$  ( $i_{22} = i_1$ );

c) Regimul dinamic oarecare, reprezentat prin curba 3.

d) Regimurile dinamice pentru  $i = ct$ ,  $\psi \cdot i = ct$  și  $\psi = ct$  (curbele 4, 5 și 6), precum și regimul static (curba 7).

Diagrama comparativă din fig.3.18 oferă o imagine edificatoare asupra comportării electromagnetelor în oricare regim dinamic.

Principalele concluzii care se desprind din analiza acestei diagrame sunt:

a) Regimurile  $i = ct$ ,  $\psi \cdot i = ct$  și  $\psi = ct$  (curbele 4, 5 și 6) nu se pot realiza decât forțat, prin asigurarea unei anumite variații funcție de întrefier a forței rezistente (sarcinii)  $F_r$ , sau tensiunii  $U$  (vezi paragrafele 3.5.8.2, 3.5.8.3 și 3.5.8.4). În general, este necesar un regim forțat pentru a se asigura o variație liniară a lui  $\psi$  funcție de  $i$  într-un regim dinamic. Diagrama permite aprecierea erorilor care se introduc în determinarea lucrului mecanic și a forței dezvoltată de electromagneți prin liniarizarea caracteristicilor  $\psi = f(i)$  în etapa dona a regimului dinamic.

b) Poate exista o situație, într-un regim dinamic oarecare pentru care  $i_2 = i_1$  (curba 2 din fig.3.18) fără ca pe parcursul regimului dinamic să se respecte condiția  $i = ct$  (curba 4 din fig.3.18). Se observă că pentru aceeași deplasare a armăturii mobile lucrul mecanic și deci forța dezvoltată de electromagnet este mai mare în cazul reprezentat prin curba 2 decât în cazul reprezentat prin curba 4, deși curentul are aceeași valoare la începutul și la sfîrșitul deplasării.

c) La electromagnetei lenți, caracteristicile regimului dinamic sunt apropiate de cele reprezentate prin curba 1, iar la electromagnetei rapizi, caracteristicile sunt apropiate de cele reprezentate prin curba 6.

Pentru astfel de situații ecuațiile regimului dinamic se pot rezolva analitic, utilizându-se aproximări de forma  $\psi = ct$ , respectiv  $i = ct$ , eroile introduse în calcul fiind cu atât mai mari, cu cât regimul real este mai îndepărtat de cel de calcul.

#### 3.5.8.7. Metodă experimentală grafico-analitică de determinare a regimului dinamic oarecare.

Ce să urmăreștem în această paragraf constă în determina-

narea pe cale grafo-analitică a variației principalelor mărimi ce caracterizează regimul dinamic al unui electromagnet, pe baza cunoșterii pe cale experimentală a variației uneia dintre acestea.

Astfel, prin procedee simple și precise, de exemplu prin oscilografie se poate determina variația în timp a curentului ce străbate înfășurarea electromagnetului. Cunoscindu-se  $i = f(t)$ , prin metoda propusă se pot determina:  $\Psi = f(t)$ ,  $F = f(t)$ ,  $v = f(t)$ ;  $\delta = f(t)$  etc.

Metoda constă în următoarele:

1. Se consideră cunoscută experimental curba  $i = f(t)$ , reprezentată în fig.3.19, în care:

- $t_0 = 0$  = începe regimul tranzitoriu electric;
- $t_1$  = începe regimul tranzitoriu mecanic;
- $t_2$  = se încheie regimul tranzitoriu mecanic;
- $t_3$  = se încheie regimul tranzitoriu electric.

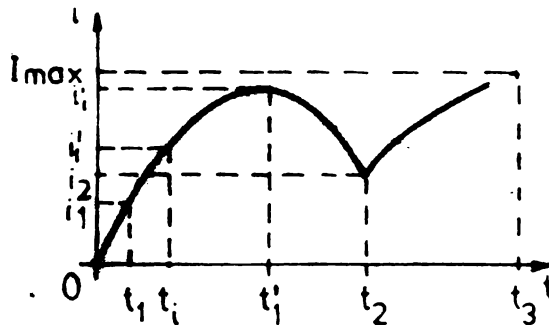


Fig.3.19. Curba experimentală  $i = f(t)$ .

2. Se determină curba  $\frac{d\Psi}{dt} = U = R \cdot i = f(t)$ , considerîndu-se cunoscute tensiunea de alimentare  $U$  și rezistența  $R$  a înfășurării electromagnetului. În acest scop se reprezintă curba  $R \cdot i = f(t)$ , prezentată în fig.3.20, care coincide cu cea din fig.3.19 dacă reprezentarea se face la scara  $R$ .

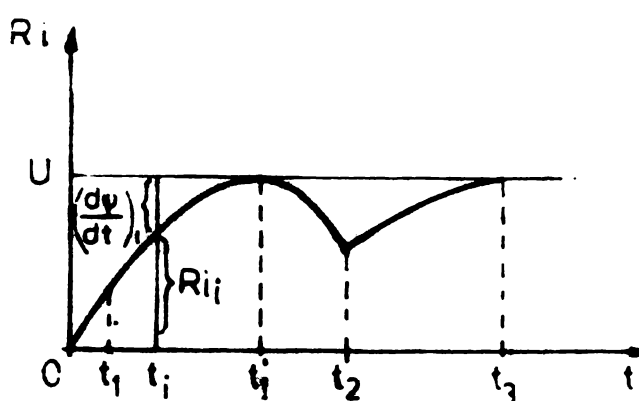


Fig.3.20. Determinarea variației în timp a căderii de tensiune pe înfășurarea electromagnetului.

În fig.3.20, pentru timpul oarecare  $t_i$ , s-a determinat, con-

tinându-se la scara  $R$  de la înfășurarea electromagnetului, varianta  $\frac{d\Psi}{dt}$ .

această bază se poate trasa curba ( $\frac{d\psi}{dt}$ ) = f(t) reprezentată în fig.3.21.

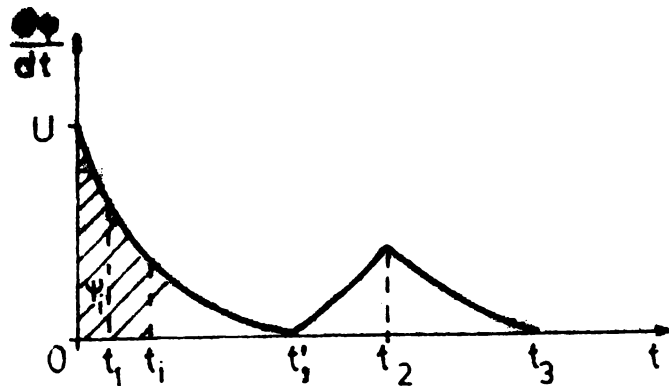


Fig.3.21. Variatia în timp a tensiunii induse în înfășurarea electromagneticului.

3. Prin efectuarea unei integrări grafice, din fig.3.21 se determină variația în timp a fluxului magnetic ( $\Psi = f(t)$ ), reprezentată în fig.3.22.

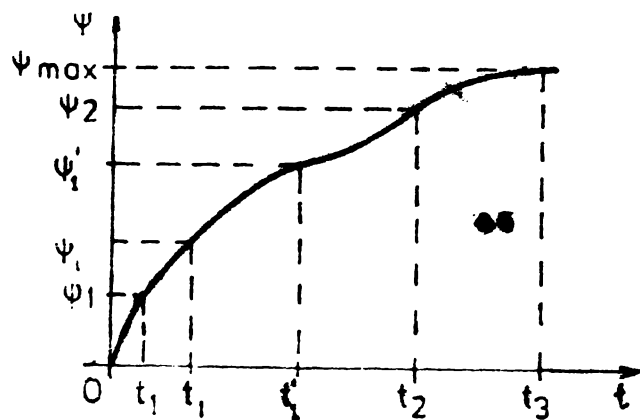


Fig.3.22. Variatia în timp a fluxului magnetic.

4. Conform reprezentărilor din figurile 3.19 și 3.22 se determină caracteristica  $\Psi = f(i)$ , reprezentată în fig.3.23.

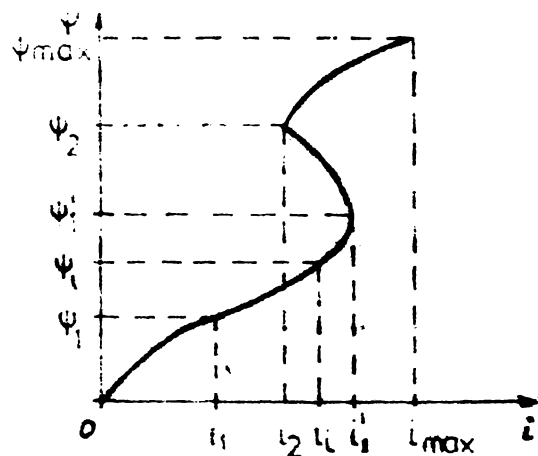


Fig.3.23. Caracteristica dinamică  
 $\Psi = f(i)$

5. Pentru determinarea pe cale grafo-analitică a variației în timp a vitezei, intrefierului și forței dezvoltate de electromagnet se utilizează caracteristica dinamică  $\Psi = f(i)$ , pe care, pentru etapa a II-a a regimului dinamic se alege un număr de puncte (fig. 3.24), determinându-se pentru fiecare punct valorile  $t_i$ ,  $i_i$ ,  $\Psi_i$ , precum și energia  $A_i$  care pînă la acel moment a fost transformată în lucru mecanic. Dacă electromagnetul este nesaturat și se neglijă fenomenul de histereză, curbele de magnetizare  $\Psi = f(i)$  se pot aproxima prin drepte care trec prin origine (fig.3.24), variația energiei  $\Delta A_i$  de la punctul  $i-1$  la punctul  $i$  fiind proporțională cu aria dintre curbele de magnetizare corespunzătoare celor două puncte, figurată hașurat în figura 3.24.

Energia  $A_i$  este dată de:

$$A_i = \sum \Delta A_i \quad (3.169)$$

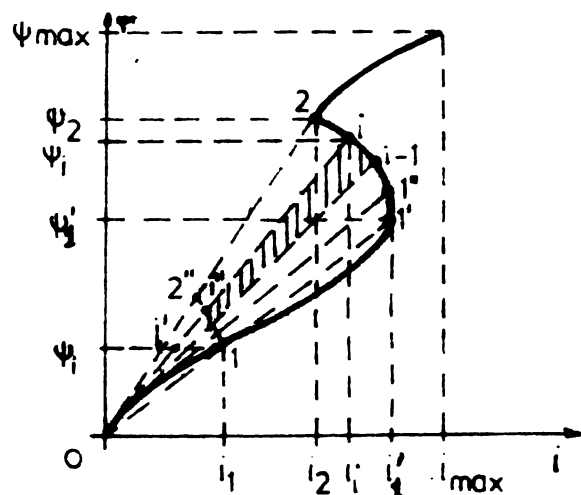


Fig.3.24. Explicativă pentru modul de determinare a variației în timp a vitezei în regim dinamic.

Conform celor expuse la paragraful 3.5.8., energia transformată în lucru mecanic de către electromagnet acoperă lucrul mecanic util al sarcinii, precum și energia cinetică înmagazinată în masele în mișcare. Dacă sarcina este constantă cu intrefierul, atunci:

$$\text{"mec ui} = A_{oli} \cdot o \quad (3.170)$$

iar energia cinetică corespunzătoare este:

$$\text{"cin i} = A_{lii} \cdot l \quad (3.171)$$

Se poate calcula viteza  $v_i$  cu relația:

$$v_i = \sqrt{\frac{2}{m} A_{lii} \cdot l} \quad (3.172)$$

rezultându-se  $v = f(t)$ , conform fig.3.15:

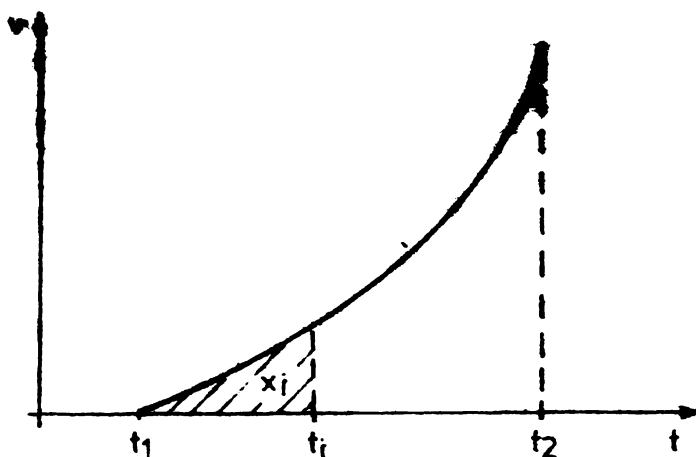


Fig.3.25. Variația în timp a vitezei în regimul dinamic.

Printr-o integrare grafică, din fig.3.25 rezultă variația în timp a întrefierului  $x = f(t)$ . Cunoscând valorile  $x_i$  corespunzătoare timpilor  $t_i$ , se poate calcula forța dinamică medie  $F_i$  pe intervalul  $x_{i-1} - x_i$ :

$$F_i = \frac{A_i - A_{i-1}}{x_i - x_{i-1}} \quad (3.173)$$

care se poate reprezenta funcție de timp sau funcție de întrefier.

De asemenea se poate calcula accelerarea medie  $a_i$ , pe același interval cu relația:

$$a_i = \frac{v_i - v_{i-1}}{t_i - t_{i-1}} \quad (3.174)$$

Dacă  $m$  este masa părților în mișcare, rezultă că trebuie să avem la crice moment  $t_i$  egalitatea:

$$F_i = m a_i + F_r \quad (3.175)$$

Se observă faptul că metoda a fost prezentată pentru situația în care forța rezistentă (sarcina)  $F_r$  la armătura electromagnetului este constantă. Metoda se poate aplica și pentru cazul cînd avem o sarcină  $F_r(\delta)$  cunoscută, procedindu-se întii la determinarea lui mecanic util total:

$$W_{mec\ u} = \int_{\delta_{max}}^{\delta_{min}} F_r(\delta) \cdot d\delta \quad (3.176)$$

și reprezentîndu-se proporțional pe fig.3.24 prin aria  $A_{0\delta''_0}$ , punctele  $i''$ , fiind determinate pentru început printr-o interpolare liniară (distanța  $i-i''$ ). După determinarea variației în timp a întrefierelor, adică, după un calcul iterativ, punctele  $i''$  pot fi stabilite cu

precizia impusă.

**3.5.8.8. Metodă experimentală grafică de determinare a caracteristicii de magnetizare  $\Psi = \Psi(i)$  a unui electromagnet.**

In literatură /13/, /67/, /68/ se indică numeroase metode de determinare experimentală a caracteristicilor de magnetizare  $B = f(H)$ , respectiv  $\Psi = f(i)$ , pentru sisteme magnetice neomogene (mașini electrice, electromagneti etc.) sau omogene (materiale ferromagnetice). Dacă determinarea experimentală a curentului poate avea loc simplu și precis pentru orice regim, determinarea fluxului magnetic  $\Psi$ , care de regulă se realizează cu instrumente prevăzute cu bobine sondă, se face cu o eroare care depinde de configurația circuitelor electric și magnetic și de construcția instrumentului de măsură.

In prezentul paragraf se propune o metodă simplă și precisă de determinare a căracteristicii  $\Psi = f(i)$  pentru un sistem electromagnetic neomogen. Considerăm un astfel de sistem reprezentat de electromagnetul din fig.3.8.

Conform metodei, se realizează o înregistrare a variației în timp a curentului după conectarea la sursă a infășurării electromagneticului, înregistrare ce se poate face cu multă precizie, de exemplu prin oscilografie. Circuitul magnetic este caracterizat prin dimensiunile miezului feromagnetic și întrefierului. Considerăm armătura blocată la întrefierul  $\delta_i$ . Conform celor prezentate la paragraful 3.5.8.7., subpunctele 1...4, rezultă că pe baza cunoașterii variației în timp a curentului  $i = f(t)$  se poate determina caracteristica  $\Psi = f(i)$  a electromagnetului pentru întrefierul  $\delta_i$ . Modificând întrefierul, se poate determina familia de curbe  $\Psi = f(i)$  în care parametrul este întrefierul. Cunoscind în orice moment și pentru orice întrefier perechile de valori  $\Psi$  și  $i$ , se poate determina inductivitatea totală a electromagnetului  $L = \frac{\Psi}{i}$ .

Metoda experimentală grafo-analitică de determinare a regimului dinamic oarecare prezentată la paragraful 3.5.8.7 poate fi aplicată și în situațiile în care circuitul feromagnetic este saturat, cind se poate renunța la aproximarea prin drepte a caracteristicilor  $\Psi = f(i)$  pentru diferite întrefieruri și să se treacă la determinarea lor experimentală, realizabilă simplu prin metoda prezentată în acest paragraf.

3.5.9. Soluționarea ecuațiilor regimului dinamic prin metode numerice. Metodă îmbunătățită.

Ecuatiile diferențiale (3.11), (3.12) și (3.13) care descriu regimul dinamic al electromagnetului, în prezent nu pot fi integrate exact analitic datorită relațiilor de legătură implicate dintră forță-întrefier, forță-curent și curenț-întrefier.

Există însă tehnici de integrare bazate pe metode numerice /24/, /29/, /83/ care permit integrarea simultană, cu ajutorul calculatorului a acestor ecuații diferențiale.

a) Astfel, conform /48/, prelucrindu-se sistemul de ecuații (3.11), (3.12), (3.13) se poate scrie:

$$\frac{d \phi_T}{dt} = \frac{U}{N} - \frac{R \cdot r_T \cdot \phi_T}{N^2} \quad (3.177)$$

$$-\frac{d^2 x}{dt^2} = \frac{1}{m} (-r \frac{dx}{dt} - kx + F - F_0) \quad (3.178)$$

unde s-a notat cu:

$\phi_T$  - fluxul înfășurării electromagnetului;  $\phi_T = \frac{\Psi}{N}$  ;

$r_p$  = reluctanța circuitului magnetic;

$F_0 = F_r + \mu F_n$  - sarcina totală a armăturii.

Celelalte notări sunt cele de la paragraful 3.4. S-a avut în vedere că:

$$i = \frac{E_p \cdot r_T}{N} \quad (3.179)$$

Să definesc parametrii variabili din cele două ecuații diferențiale (3.177) și (3.178). Variabila  $F$  este definită pe baza teoremei forțelor generalizate, scriindu-se:

$$F = \frac{\phi_f^2}{2 \mu_0 A} \quad (3.180)$$

unde:

$\phi_f$  - fluxul prin întrefier;

$\mu_0$  - permeabilitatea magnetică a aerului;

$A$  - suprafața polară a electromagnetului.

Relația dintre fluxul total  $\phi_p$  și fluxul din întrefier  $\phi_f$  se stabilește cu ajutorul schemei echivalente a circuitului magne-

tic al electromagnetului. Pentru modelul fizic de electromagnet prezentat în fig.3.8 se poate scrie:

$$\Phi_d \left( 1 + \frac{r_E}{r_L} \right) - \Phi_T = 0 \quad (3.181)$$

unde:

$r_E$  - reluctanță principală, compusă din reluctanță părții feromagnetice a circuitului și reluctanță întrefierului;

$r_L$  - reluctanță de dispersie.

Cu aceste notării reluctanță totală, variabilă, se scrie:

$$r_T = \frac{r_E + r_L}{r_E \cdot r_L} \quad (3.182)$$

Pentru un flux în întrefier  $\Phi_d$ , inducția în întrefier este:

$$B = \frac{\Phi_d}{A} \quad (3.183)$$

A fiind suprafața din întrefier cu fluxul  $\Phi_d$ .

Cunoscându-se B, din diagrama B-H a materialului feromagnetic se poate determina intensitatea cîmpului magnetic H, și permeabilitatea magnetică a miezului feromagnetic, necesar la determinarea reluctanțelor acestuia, conform relației:

$$r = \frac{l}{\left(\frac{B}{H}\right) \cdot A} \quad (3.184)$$

unde:

$l$  - lungimea liniei de cîmp prin mijlocul fierului;

$A$  - aria secțiunii miezului feromagnetic, considerată egală cu aria secțiunii întrefierului.

Se fac următoarele ipoteze simplificatoare:

- efectele fricțiunii (viscoasă, statică sau dinamică) se neglijeză;

- ecuațiile diferențiale se presupun liniare în intervalele de timp în care se integrează;

- efectele reluctanțelor determinate de curentii turbinari se neglijeză;

- densitatea fluxului magnetic (inducția B) se consideră constantă pe întregă secțiune a întrefierului.

Iată următoarele utilizările metoda Runge-Kutta. Înainte

tea integrării se evaluatează, pentru începutul primului interval de timp, parametrii  $r_p$  și  $F$ . Prin aceasta ecuația (3.181) este rezolvată pentru  $\emptyset_T$  funcție de  $\emptyset_T$ . Forța  $F$  și reluctanțele  $r_E$  și  $r_T$  pot fi evaluate /41/,/48/.

Determinarea caracteristicilor regimului dinamic se face pentru fiecare din cele 6 etape ale acestui regim, prezentate la paragraful 3.3.

Pentru etapa I inițializările sunt:

$$x=0 ; \emptyset_f = 0 ; \emptyset_T=0 ; t=0 ; U=U_0 . \quad (3.185)$$

unde:  $U_0$  este mărimea impulsului de tensiune.

Etapa I durează pînă cînd forța electromagnetică  $F$  devine mai mare decît sarcina armăturii  $F_0$ :

$$F_0 < F \quad (3.186)$$

Ecuatiile care descriu creșterea curentului, fluxului și a forței dezvoltate de electromagnet sunt: (3.177), (3.179), (3.180), (3.181).

Cînd  $F$  devine mai mare decît  $F_0$ , armătura începe să se deplaceze în intrefier și se trece la determinarea caracteristicilor etapei a doua a regimului dinamic, prin integrarea simultană, prin metoda Runge-Kutta a ecuațiilor (3.177) și (3.178).

Din momentul ciocnirii armăturii mobile de cea fixă, se trece la etapa a III-a a regimului dinamic, care descrie creșterea curentului, fluxului, forței etc, spre valorile de stare din regimul stationar.

Valoarea de stare a curentului este:

$$I_s = \frac{U}{R} \quad (3.187)$$

iar și fluxului total:

$$\emptyset_{Ts} = \frac{N I_s}{r_T} \quad (3.188)$$

valori care pot fi deci calculate.

Ecuatiile care descriu creșterea fluxului și forței în etapa a III-a a regimului dinamic sunt (3.177) și (3.180).

În momentul în care tensiunea la borne U se anulează, se trece la determinarea caracteristicilor etapei a IV-a a regimului dinamic. Ecuatiile care se utilizează sunt (3.177), (3.179), (3.180), (3.181). Etapa a IV-a se încheie cînd forța dezvoltată de electromagnet devine mult mai mică decît forța antagônistă:

$$F < F_0 + k x_0 \quad (3.189)$$

$x_0$  fiind egal cu întrefierul maxim (cursa de comprimare a resortului).

Etapa a V-a, caracterizată prin scăderea în continuare a curentului, fluxului și forței electromagnetului, precum și prin mișcarea armăturii de la întrefierul minim la cel maxim, se soluționează prin integrarea simultană a ecuațiilor (3.177) și (3.178).

Etapa a VI-a și ultima, în care curentul, fluxul și forța continuă să scadă, întrefierul având valoarea maximă, se soluționează asemănător etapei a IV-a.

In /48/ se arată că pe baza acestei metode s-a realizat un program de calcul pentru determinarea caracteristicilor regimului dinamic la un electromagnet de curent continuu de tip clapetă, obținându-se diferență de maximum 10% între mărimele calculate și cele determinate experimental. Autorii explică aceste diferențe prin aceea că metoda urmată nu ia în considerare efectele ciocnirii armăturilor, efectele termice (modificarea cu temperatura a rezistenței înfașurării), precum și efectul curenților turbionari.

b) Se propune o metodă numerică îmbunătățită de soluționare a ecuațiilor regimului dinamic al unui electromagnet (etapa a II-a), bazată pe un sistem de ecuații scris conform echivalențelor energetice stabilite la paragrafele 3.5.1 și 3.5.8.b.

Astfel, conform fig.3.14, presupunem suficient de mic intervalul:  $\Delta \mathcal{J}_{i+1} = \mathcal{J}_i - \mathcal{J}_{i+1}$  încit să putem scrie:

$$\frac{d\mathcal{J}}{dt} = - \frac{dx}{dt} = - \frac{\Delta x}{\Delta t} \quad (3.140)$$

Pentru etapa a II-a a regimului dinamic al electromagnetului se pot scrie următoarele egalități:

- pentru forță  $F_{i+1}$  dezvoltată de electromagnet, conform (3.13):

$$F_{i+1} = m \cdot a_{i+1} + r \cdot v_{i+1} + k_R \cdot x_{i+1} + F_{ri+1} \quad (3.191)$$

- pentru lucru mecanic elementar  $dA_{i+1}$  efectuat de electromagnet la deplasarea armăturii mobile de la între-fierul  $\delta_i$  la între-fierul  $\delta_{i+1}$ , conform (3.116):

$$dA_{i+1} = dW_{mec.ui+1} + dW_{cin.i+1} + dW_{R.i+1} \quad (3.192)$$

Avind în vedere relațiile (3.40) și (3.80), precum și relațiile:

$$x_{i+1} = \sum \Delta x_{i+1} \quad (3.193)$$

$$v_{i+1} = 2 \frac{\Delta x_{i+1}}{\Delta t} - v_i \quad (3.194)$$

$$a_{i+1} = \frac{v_{i+1} - v_i}{\Delta t} \quad (3.195)$$

$$dW_{mec.ui+1} = \int_{x_i}^{x_{i+1}} F_r \cdot dx \quad (3.196)$$

$$dW_R = \int_{x_i}^{x_{i+1}} k_R \cdot x \cdot dx = \frac{1}{2} k_R (x_{i+1}^2 - x_i^2) \quad (3.197)$$

$$dW_{cin.i+1} = \frac{m}{2} (v_{i+1}^2 - v_i^2) \quad (3.198)$$

$$\psi_{i+1} - \psi_{i+1} \cdot i_{i+1} \quad (3.199)$$

Pentru n intervale  $\Delta x$  ale etapei a II-a a regimului dinamic, care sătufă egalitatea:

$$\delta_{max} - \delta_{min} = \sum_{i=1}^n \Delta x_i \quad (3.200)$$

rezultă un sistem de  $7n+1$  ecuații cu  $7n+1$  necunoscute:

$$\frac{1}{2} (\psi_i \cdot \psi_{i+1} - \psi_i \cdot \psi_{i+1}) = \int_{x_i}^{x_{i+1}} F_r \cdot dx + \frac{m}{2} (v_{i+1}^2 - v_i^2) + \frac{1}{2} k_R (x_{i+1}^2 - x_i^2)$$

$$\begin{aligned} F_{i+1} &= m \cdot a_{i+1} + r \cdot v_{i+1} + k_R \cdot x_{i+1} + P_r \cdot i_{i+1} \\ \Psi_{i+1} &= L_{i+1} \cdot i_{i+1} \end{aligned} \quad (3.201)$$

$$x_{i+1} = \sum \Delta x_{i+1}$$

$$v_{i+1} = 2 \frac{\Delta x_{i+1}}{\Delta t} - v_i$$

$$a_{i+1} = \frac{v_{i+1} - v_i}{\Delta t}$$

$$t = \frac{t_a}{n}$$

necunoscutele fiind:  $\Psi_{i+1}$ ,  $i_{i+1}$ ,  $L_{i+1}$ ,  $\Delta x_{i+1}$ ,  $x_{i+1}$ ,  $v_{i+1}$ ,  $a_{i+1}$  și  $t_a$ .

Cunoscîndu-se mărimile constructive ale electromagnetului:  $m$ ,  $k_R$ ,  $r$ ,  $N$ ,  $S$ ,  $l_{Fe}$  etc., prin rezolvarea pe calculator a sistemului (3.201) se pot determina prin puncte caracteristicile etapei a II-a a regimului dinamic, determinarea fiind cu atît mai precisă, cu cît numărul  $n$  de puncte este mai mare.

O variantă de soluționare pe calculator a sistemului de ecuații (3.201) este următoarea: se alege un increment  $\alpha$  al vitezei de variație în timp a accelerării, astfel încît putem scrie:

$$a_{i+1} = a_i + \alpha \cdot \Delta t \quad (3.202)$$

ca urmare, considerînd cunoscute valorile forței rezistente și inducitivityi funcție de întrefier, necunoscutele din sistemul (3.201) se calculează cu relațiile:

$$v_{i+1} = v_i + a_i \cdot \Delta t + \alpha \frac{\Delta t^2}{2} \quad (3.203)$$

$$x_{i+1} = x_i + v_i \cdot \Delta t + a_i \frac{\Delta t^2}{2} + \alpha \frac{\Delta t^3}{6} \quad (3.204)$$

$$F_{i+1} = m \cdot a_{i+1} + r \cdot v_{i+1} + k_R \cdot x_{i+1} + P_r \cdot i_{i+1} \quad (3.205)$$

$$i_{i+1} = \sqrt{\frac{2 F_{i+1} (x_{i+1} - x_i)}{L_{i+1} - L_i}} \quad (3.206)$$

$$\Psi_{i+1} = L_{i+1} \cdot i_{i+1} \quad (3.207)$$

Valorile astfel determinate pentru caracteristicile regimului dinamic trebuie să satisfacă inegalitatea:

$$\frac{1}{2} (i_1 \Psi_{i+1} - \Psi_1 i_{i+1}) - \Psi_{\text{neut}} - \frac{k_B (v_{i+1}^2 - v_1^2)}{2} - \frac{k_B (x_{i+1}^2 - x_1^2)}{2} \leq \xi \quad (3.208)$$

unde  $\xi$  se alege astfel încât să asigure precizia dorită în calcul. Dacă inegalitatea nu este satisfăcută se mărește incrementul de accelerare și se reia calculul, etc. Programul de calcul se oprește cind  $x_{i+1} \geq d_{\max} - d_{\min}$ . Algoritmul de calcul pentru această metodă este prezentat în Organograma 3.1.

După cum se observă, metoda este relativ simplă și nu necesită tehnici speciale de integrare. Avantajul acestei metode față de cea anterioară constă în aceea că nu necesită calculul sau determinarea experimentală a inductivităților principală și de dispersie, care se face relativ complicat (vezi paragraful 3.5.10), ci necesită doar determinarea inductivității totale, care se poate realiza ușor prin metoda prezentată la paragraful 3.5.8.8, sau se poate calcula.

O altă variantă de soluționare a ecuațiilor regimului dinamic de funcționare a unui electromagnet, etapa a II-a, variantă rapidă convergență, care reduce substanțial timpul de calcul, este următoarea:

Se consideră cunoscut electromagnetul, regimul de alimentare (tensiunea  $U$ ) și sarcina acestuia ( $F_r(\phi)$ ). Fie  $i_i$ ,  $\Psi_i$ ,  $(\frac{dL}{d\phi})_i$  valoarea curentului, înlințuirii magnetice, respectiv ale derivatei inductivității în raport cu întrefierul la momentul  $i$ . Se alege un increment de timp  $\Delta t$  suficient de mic, astfel încât variațiile accelerării și fluxului să poată fi considerate liniare în timp. Se consideră că în intervalul de timp  $\Delta t$  valoarea curentului, respectiv la doi momente cu întrefierul și inductivitatea nu se modifică. Notând că indicele  $i+1$  valourile parametrilor regimului la  $t + \Delta t$ , la sfârșitul intervalului de timp  $\Delta t$ , se scrie:

$$i_{i+1} = i_i + \frac{\alpha}{cd} \cdot \Delta t \quad (3.209)$$

și, deasemenea, considerat accelerarea ca variind liniar în timp, conform (3.5.8.1), (3.5.8.4) din (3.4.6), rezultă o ecuație în  $\alpha$ , care să sănseze să dea valorile parametrilor regimului dinamic la sfârșitul intervalului  $\Delta t$ :  $a_{i+1}$ ,  $v_{i+1}$ ,  $x_{i+1}$ , precum și  $F_{ri+1}$ ,

$$\frac{\Psi_{i+1} - \Psi_i}{\Delta t} = \frac{\Psi_{i+1} - \Psi_i}{\Delta t}$$

Pe această bază se calculează:  $(\frac{dL}{ds})_{i+1}$  și  $i_{i+1}$ :

$$i_{i+1} = \frac{U - (\frac{\Delta V}{\Delta t})_{i+1}}{R} \quad (3.210)$$

Cu aceste valori ale curentului și derivatei inductivității se recalculează  $\alpha$  din ecuația (3.209) și în continuare celelalte valori ale parametrilor regimului dinamic, obținându-se noi valori pentru  $(\frac{dL}{ds})_{i+1}$  și  $i_{i+1}$  etc., procesul iterativ oprindu-se după n iterării, cînd este îndeplinită condiția:

$$\alpha_n - \alpha_{n-1} < \epsilon_\alpha$$

sau:

$$x_{i+1,n} - x_{i+1,n-1} < \epsilon_x \quad (3.211)$$

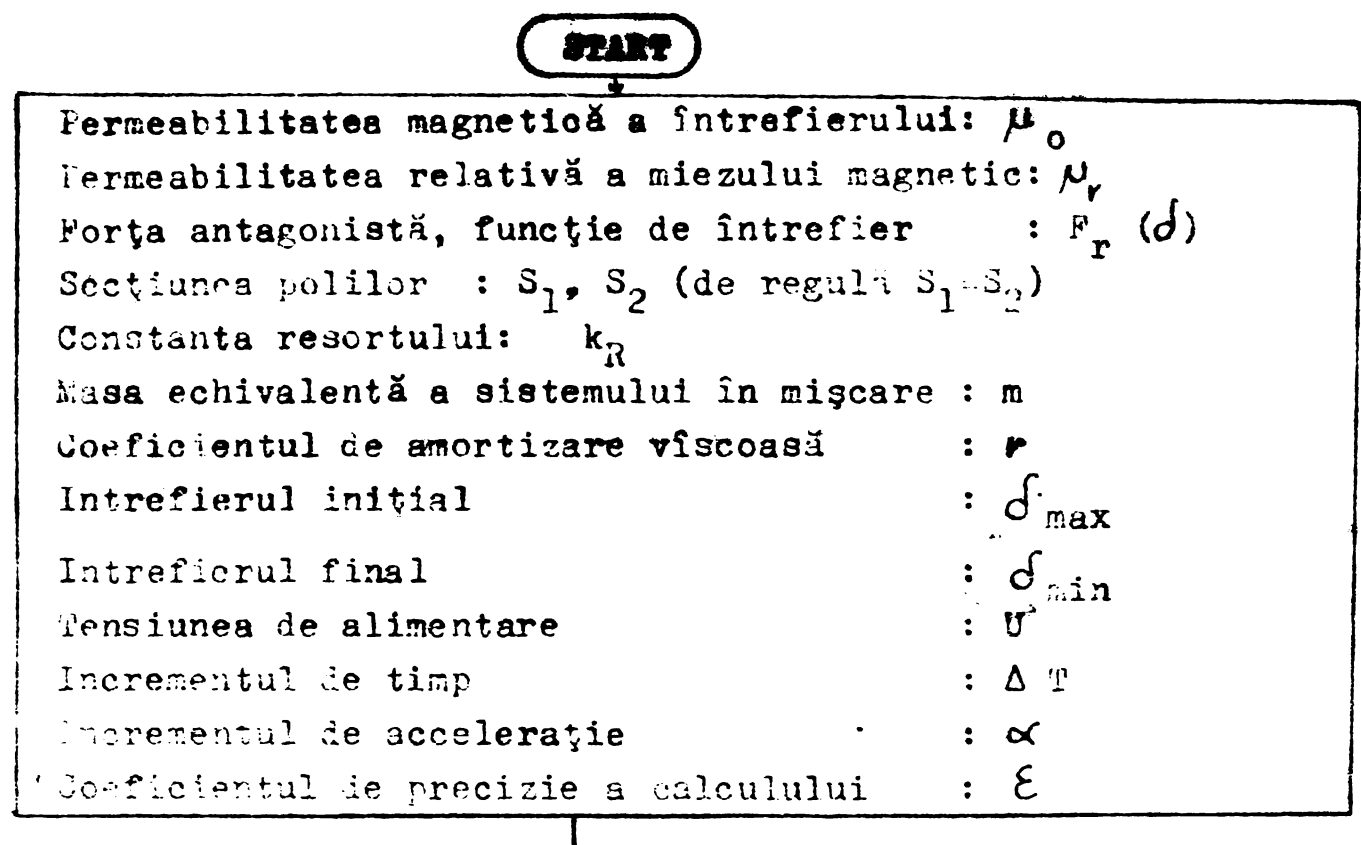
respectiv:

$$i_{i+1,n} - i_{i+1,n-1} < \epsilon_i$$

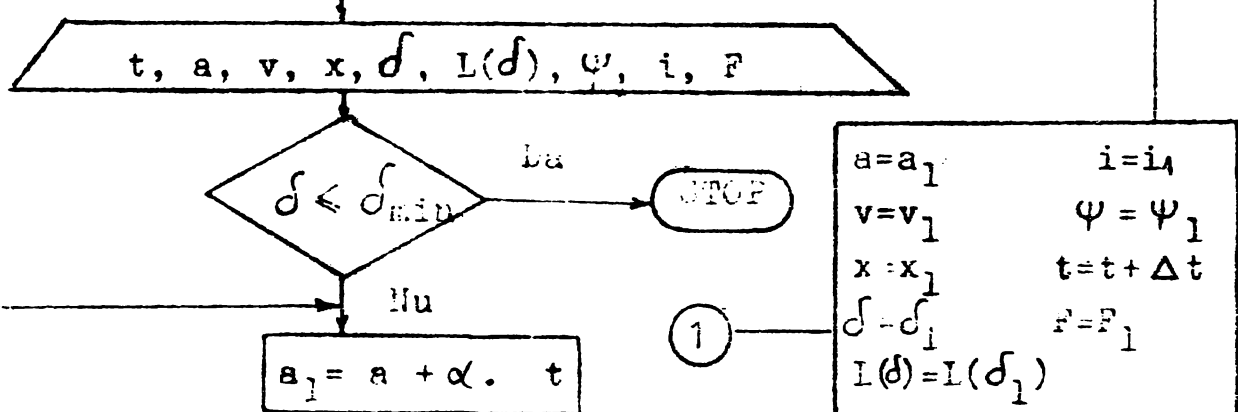
unde  $\epsilon$  poate fi luat oricît de mic, funcție de precizia impusă calculului iterativ.

Organograma de calcul pentru această variantă de soluționare a ecuațiilor regimului dinamic este prezentată în Organograma 3.2.

Organigramă 3.1 de calcul a regimului dinamic  
la electromagnetii de c.c.



Setul de condiții initiale:  $t=0, \delta = \delta_{\max}, \varphi=0, v=0, x=0,$   
 $\psi_1, i=i_1, F=F_r(\delta_{\max})$



$$v_1 = v + a \cdot \Delta t + \alpha \frac{\Delta t^2}{2}$$

$$\omega_1 = \omega + v \cdot \Delta t + a \frac{\Delta t^2}{2} + \alpha \frac{\Delta t^3}{6}$$

$$\delta_1 = \delta - k_R$$

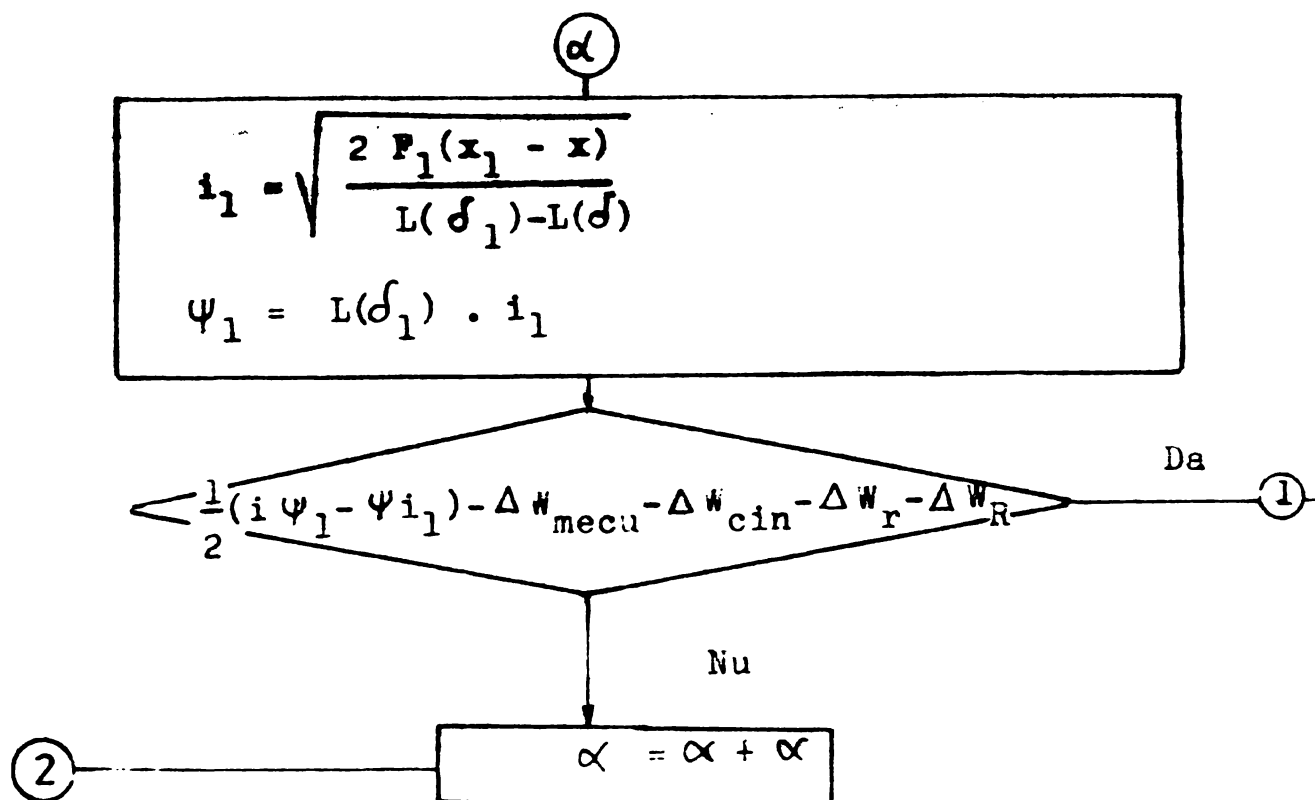
$$\varphi_1 = \varphi + \omega_1 \cdot \Delta t$$

$$F_1 = m \cdot a_1 + \rho \cdot v_1 + k_R \cdot x_1 + F_r(\delta_1)$$

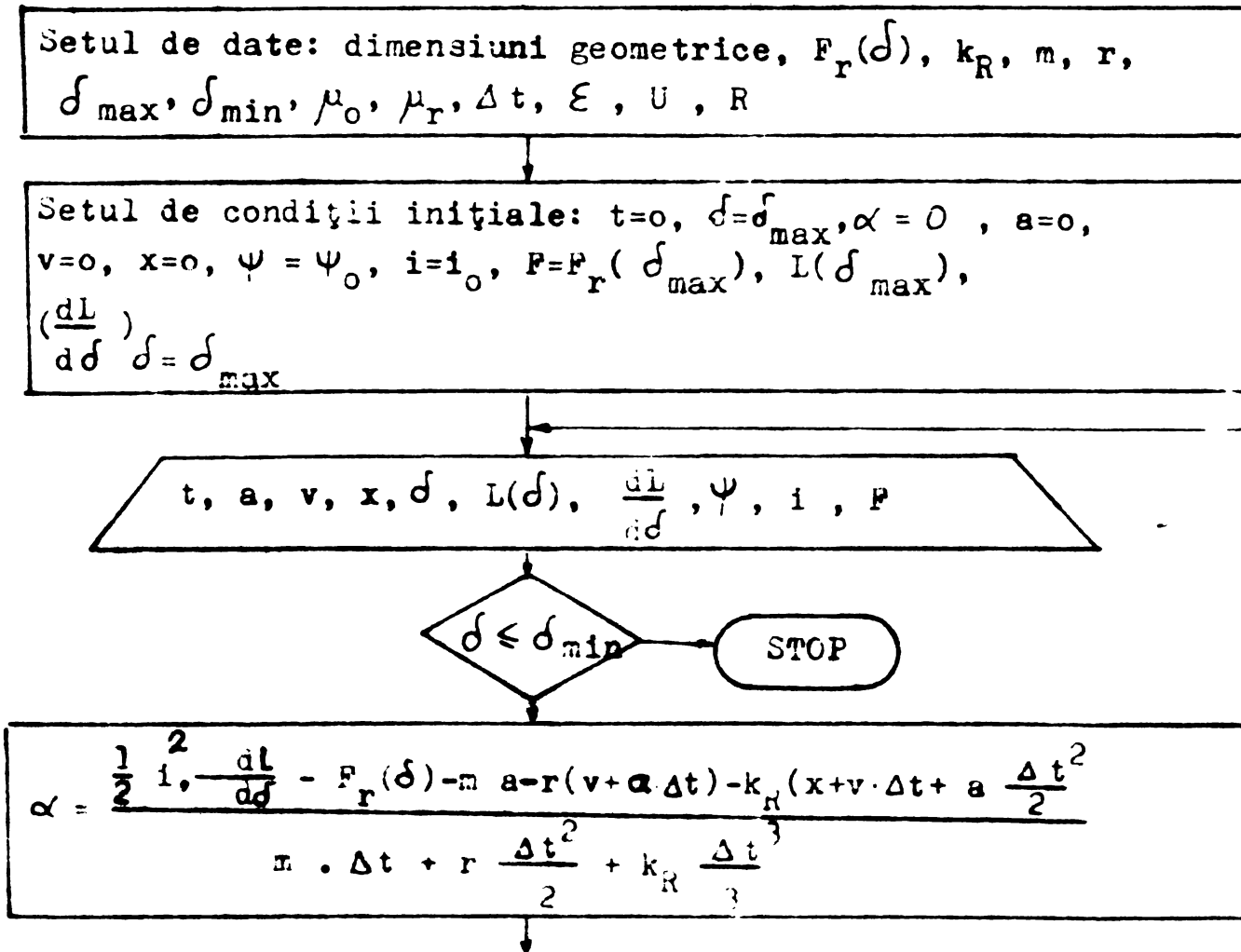
$$L(\delta_1); \Delta \Phi = \begin{cases} \omega(\delta) \cdot \Delta t; & \Delta \Phi_{\text{curent}} = \frac{\pi}{2}(v_1^2 - v^2); \\ \omega_1(\delta) \cdot \Delta t; & \Delta \Phi_{\text{curent}} = \frac{\pi}{2}(x_1^2 - x^2) \end{cases}$$

$$x_1 = x_1 + v_1 \cdot \Delta t$$

$$a_1 = \frac{\Delta}{\Delta t} (x_1^2 - x^2)$$



Organograma 3.2 de calcul a regimului dinamic  
la electromagnetii de c.c.



$$a_1 = a + \alpha \cdot \Delta t$$

$$v_1 = v + a \cdot \Delta t + \alpha \frac{\Delta t^2}{2}$$

$$x_1 = x + v \cdot \Delta t + a \frac{\Delta t^2}{2} + \alpha \frac{\Delta t^3}{6}$$

$$\delta_1 = \delta - x_1$$

$$L(\delta_1) ; \quad \left( \frac{dL(\delta)}{d\delta} \right)_1$$

$$\Psi_1 = L(\delta_1) \cdot i$$

$$\frac{\Delta \Psi}{\Delta t} = \frac{\Psi_1 - \Psi}{\Delta t}$$

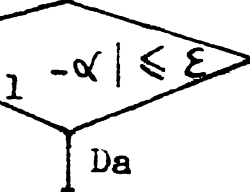
$$I_2 = \frac{U - \frac{\Delta \Psi}{\Delta t}}{R}$$

$$\alpha_1 = \frac{\frac{1}{2} i_1^2 \cdot \left( \frac{dL}{d\delta} \right)_1 - r(\delta_1) - m \cdot a - r(v + a \cdot \Delta t) - k_R (x + v \cdot \Delta t + a \frac{\Delta t^2}{2})}{m \cdot \Delta t + r \frac{\Delta t^2}{2} + k_R \frac{\Delta t^3}{3}}$$

$$\alpha = \alpha_1$$

Nu

Da



$$a = a_1$$

$$L(\delta) = L(\delta_1)$$

$$\Psi = \Psi_1$$

$$v = v_1$$

$$\frac{dL}{d\delta} = \left( \frac{dL(\delta)}{d\delta} \right)_1$$

$$i = i_1$$

$$x = x_1$$

$$t = t + \Delta t$$

$$\delta = \delta_1$$

$$\dot{x} = m \cdot a_1 + r \cdot v_1 + k_R \cdot x_1$$

1

### 3.5.10. Calculul inductivităților și fluxurilor pentru electromagnetii „în manta”.

Cunoașterea valorilor inductivităților și fluxurilor unui electromagnet este deosebit de importantă pentru studierea regimului dinamic al acestuia. În acest paragraf se prezintă o metodă de calcul al valorilor inductivităților totală și principală, precum și a fluxurilor total și principal la electromagnetii "în manta", care constituie tipul de electromagnet utilizat în construcția DPP. Pentru calcul se au în vedere metodele utilizate la determinarea inductivității electromagnetelor în formă de U și E prezentate în /20/, /62/, /63/, /65/, /75/, /88/.

Se consideră un electromagnet "în manta" de forma celui prezentat în fig.3.26. Cîmpul magnetic se consideră conform liniilor de cîmp figurate întrerupt.

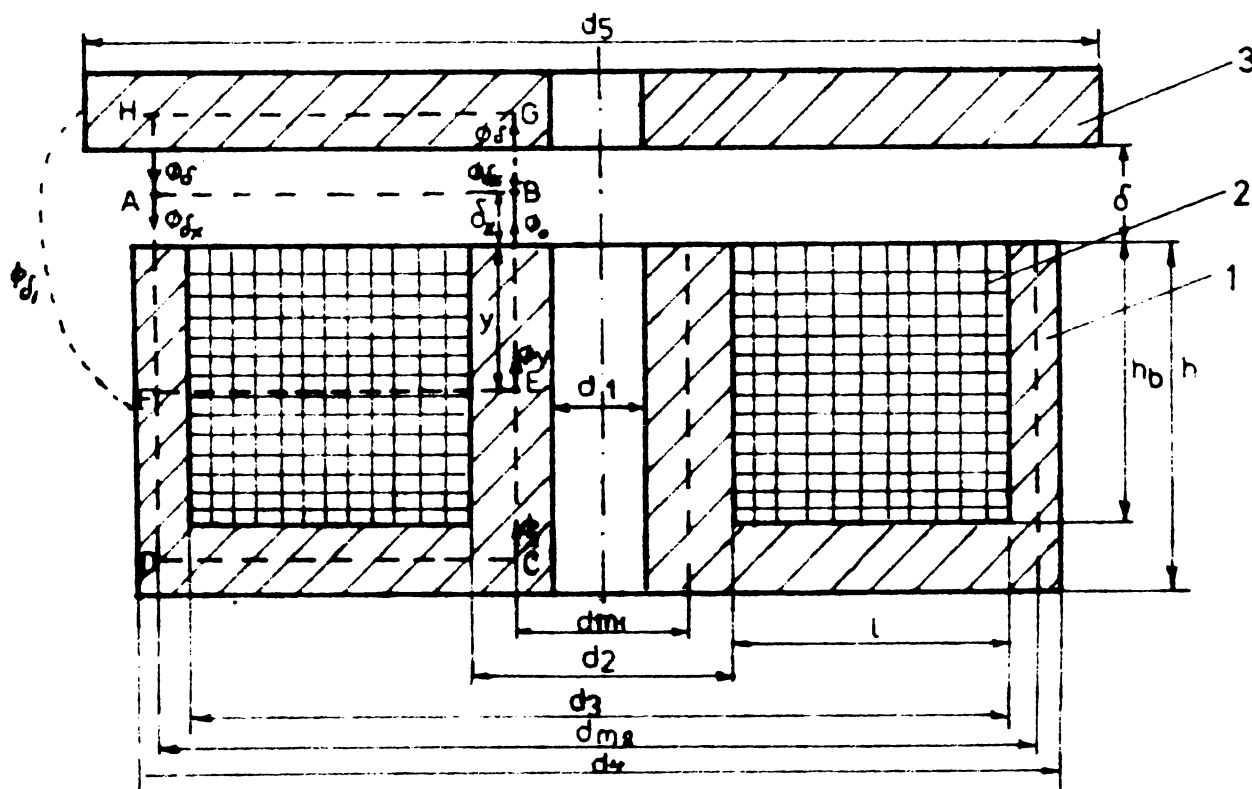


Fig.3.26. Modelul unui electromagnet "în manta".

1 - Armătură fixă; 2 - Bobinaj ; 3 - Armătură mobilă.

În figura s-au făcut următoarele notății:

- $\Phi_1$  - fluxul care intră din jug în polul central prin secțiunea de arie S a acestuia;
- $\Phi_y$  - fluxul curent din polul central;
- $\Phi_o$  - fluxul care intră din polul central în întrefier, în dreptul polului central;

$\phi_{dx}$  - fluxul curent din întrefier, la distanță  $d_x$  de pol, prin aria echivalentă  $A_1 d_x$ ;

$\phi_d$  - fluxul care intră din întrefier în exătura mobilă, prin aria echivalentă  $A_1 d$ .

$\phi_{d1}$  - fluxul de scăpări de-a lungul polului exterior.

Ariile echivalente pentru fluxul din întrefier, în dreptul polului central  $A_1$  și în dreptul polului exterior  $A_2$  sunt /88/ :

$$A_1 = S + 2d \cdot dm_1 + \frac{d^2}{2} \quad (3.212)$$

$$A_2 = A + 2d \cdot dm_2 + \frac{d^2}{2}$$

Se notează cu :

$$\alpha = \frac{1}{\mu_0} \left( \frac{1}{A_1} + \frac{1}{A_2} \right) \quad (3.213)$$

Pe baza modelului din fig.3.26, cu notațiile stabilite, se poate scrie:

$$\phi_{dx} = \Phi_0 - \int_0^{d_x} d \Phi_{dx} = \Phi_0 - \int_0^{d_x} U_m d_x \cdot \lambda_s \cdot d\delta \quad (3.214)$$

unde  $d \Phi_{dx}$  este variația elementară a lui  $\Phi_{dx}$ ,  $U_m d_x$  este tensiunea magnetică între punctele A-B, iar  $\lambda_s$  permeanța de scăpări pe unitate de lungime între punctele A-B. Permeanța de scăpări se consideră constantă de-a lungul întrefierului și egală cu permeanța de scăpări dintre coloane. Conform /95/ se poate lua:

$$\lambda_s = 2\pi \frac{\mu_c}{\ln \frac{d_1 + d_2}{d_2}} \quad (3.215)$$

Scriind teorema a II-a a lui Kirchhof pentru circuitul magnetic ABOD, neglijind căderile de tensiune magnetică în fier, obținem:

$$N \cdot U_m d_x + \frac{1}{\mu_0 A_1} \int_0^{d_x} \Phi_{dx} \cdot d\delta + \frac{1}{\mu_0 A_2} \int_0^{d_x} \Phi_{dx_2} \cdot d\delta \quad (3.216)$$

Fluxul de scăpări  $\emptyset \delta_1$  de-a lungul polului exterior se neglijăză:

$$\emptyset \delta_1 = 0 \quad (3.217)$$

rezultă:

$$\emptyset \delta_{x_1} = \emptyset \delta_{x_2} = \emptyset \delta_x \quad (3.218)$$

înlocuind pe  $U_m \delta_x$  din (3.216) în (3.214) se obține:

$$\emptyset \delta_x = \emptyset_0 - \left\{ \left[ N \cdot i - \frac{1}{\mu_0 A_1} \int_0^{\delta_x} \emptyset \delta_x \cdot d\delta \right] - \frac{1}{\mu_0 A_2} \int_0^{\delta_x} \emptyset \delta_x \cdot d\delta \right\}. \\ \cdot \lambda_s \cdot d\delta \quad (3.219)$$

relație care derivată în raport cu  $\delta_x$  de două ori se scrie astfel:

$$\frac{d^2 \emptyset \delta_x}{d \delta_x^2} = \left( \frac{\emptyset \delta_x}{\mu_0 A_1} + \frac{\emptyset \delta_x}{\mu_0 A_2} \right) \lambda_s = \alpha \cdot \emptyset \delta_x \cdot \lambda_s \quad (3.220)$$

Pentru soluționarea ecuației se notează:

$$v^2 = \alpha \cdot \lambda_s$$

$$r = \pm \sqrt{\alpha \cdot \lambda_s} = \pm p \quad (3.221)$$

și deci soluția ecuației (3.220) este de forma:

$$\emptyset \delta_x = C_1 e^{p \delta_x} - C_2 e^{-p \delta_x} \quad (3.222)$$

Constantele  $C_1$  și  $C_2$  se determină din condițiile la limită. Astfel, pentru  $\delta_x = 0$ , din ecuația (3.222) rezultă:

$$\emptyset \delta_x = \emptyset_0 = C_1 + C_2 \quad (3.223)$$

iar din ecuația (3.219) rezultă:

$$\frac{d \emptyset \delta_x}{d \delta_x} = - \lambda_s \cdot N \cdot i = p(C_1 - C_2) \quad (3.224)$$

Se obține sistemul:

$$C_1 + C_2 = \emptyset_0 \\ - \frac{C_1 - C_2}{p} = \lambda_s \cdot N \cdot i \quad (3.225)$$

care soluționat conduce la:

$$c_1 = \frac{1}{2} (\phi_0 - \frac{\lambda_s \cdot N \cdot i}{p}) \quad (3.226)$$

$$c_2 = \frac{1}{2} (\phi_0 + \frac{\lambda_s \cdot N \cdot i}{p})$$

obținându-se:

$$\psi_{\delta_x} = \phi_0 \operatorname{ch} p\delta_x - \frac{\lambda_s \cdot N \cdot i}{p} \operatorname{sh} p\delta_x \quad (3.227)$$

Determinarea lui  $\psi_{\delta}$  se face din ecuația (3.227) observând că în acest caz  $\phi_{\delta} = \phi_{\delta_x}$  pentru  $\delta_x = \delta$ , obținind:

$$\psi_{\delta} = \phi_0 \operatorname{ch} p\delta - \frac{\lambda_s \cdot N \cdot i}{p} \operatorname{sh} p\delta \quad (3.228)$$

Se observă că în (3.227) și (3.228) intră  $\phi_0$ , N, i și dimensiuni geometrice. Iertru să se obține o exprimare a fluxurilor  $\psi_{\delta_x}$  și  $\psi_{\delta}$  funcție numai de solenăția Ni și dimensiunile specifice geometriei ale electromagnetului, se exprimă și  $\phi_0$  funcție de solenăția Ni și dimensiunile geometrice. În acest sens se consideră că:

$$\phi_0 = \lambda_o \cdot N \cdot i \quad (3.229)$$

unde  $\lambda_o$  este o perimetră de cîrclu, care urmează să fie determinată. Iertru acesta, se scrie teorema a II-a a lui Kirchhoff pentru circuitul magnetic CDHG, neglijînd cărurile de tensiune magnetică în fier:

$$\begin{aligned} 0 &= \frac{i}{\mu_0 A_1} \int_0^\delta \psi_{\delta_x} \cdot d\delta + \frac{i}{\mu_0 A_2} \int_0^\delta \psi_{\delta_x} \cdot d\delta = \\ &\propto \int_0^\delta (\phi_0 \operatorname{ch} p\delta_x - \frac{\lambda_s \cdot N \cdot i}{p} \operatorname{sh} p\delta_x) d\delta \end{aligned} \quad (3.230)$$

Efectuînd calculele se obține:

$$\lambda_o = \frac{p}{\alpha} \operatorname{ctn} \delta \quad (3.231)$$

Din (3.227), (3.228), (3.229) și (3.231) se obține expresia fluxului din întrețier, respectiv din armătura mobilă numai funcție de solenăția Ni și dimensiunile geometrice ale electromagnetului, sub forma:

$$\emptyset_{\delta x} = (\lambda_0 \text{chp} \cdot \delta x - \frac{\lambda_s}{p} \text{shp} \cdot \delta x) \text{ N.i} \quad (3.232)$$

$$\emptyset_{\delta} = (\lambda_0 \text{chp} \cdot \delta - \frac{\lambda_s}{p} \text{shp} \cdot \delta) \text{ N.i} \quad (3.233)$$

Așadar, atât  $\emptyset_{\delta x}$  cît și  $\emptyset_{\delta}$  pot fi scrise sub forma:

$$\emptyset_{\delta x} = \lambda_{\delta x} \cdot \text{N.i} \quad (3.234)$$

$$\emptyset_{\delta} = \lambda_{\delta} \cdot \text{N.i} \quad (3.235)$$

unde:

$$\lambda_{\delta x} = \lambda_0 \text{chp} \cdot \delta x - \frac{\lambda_s}{p} \text{shp} \cdot \delta x \quad (3.236)$$

$$\lambda_{\delta} = \lambda_0 \text{chp} \cdot \delta - \frac{\lambda_s}{p} \text{shp} \cdot \delta = \frac{\lambda_s}{p} \left( \frac{1}{\text{shp} \cdot \delta} \right) \quad (3.237)$$

Deoarece  $\emptyset_{\delta}$  este fluxul care intră din intrefier în armătura mobilă, acest flux poate fi considerat drept fluxul principal al electromagnetului, care contribuie la crearea forței de atracție. Dacă considerăm fluxul magnetic total (înlănțuirea magnetică) principal sub forma:

$$\Psi_p = N \cdot \emptyset_{\delta} = L_p \cdot i \quad (3.238)$$

obținem inductivitatea principală  $L_p$  sub forma:

$$L_p = N^2 \cdot \lambda_{\delta} \quad (3.239)$$

Determinarea lui  $\emptyset_y$  se face având în vedere că:

$$\emptyset_y = \emptyset_0 + \int_0^y \frac{N \cdot i}{h_b} \lambda_3 (h_b - y) dy \quad (3.240)$$

Având în vedere relația (3.239) rezultă pentru fluxul din coloană:

$$\emptyset_y = N \cdot i \left[ \lambda_0 + \int_0^y \frac{\lambda_s}{h_b} (h_b - y) dy \right] \quad (3.241)$$

Se obține:

$$\emptyset_y = \left[ \lambda_0 + \lambda_s y - \frac{\lambda_s y^2}{2 h_b} \right] N \cdot i \quad (3.242)$$

Acum, fluxul  $\emptyset_y$  se poate scrie sub forma:

$$\emptyset_y = \lambda_y \cdot N \cdot i \quad (3.243)$$

unde:

$$\lambda_y = \lambda_0 + \lambda_s \cdot y - \frac{\lambda_s}{h_b} \frac{y^2}{2} \quad (3.244)$$

Scriind înăntuirea magnetică totală a electromagnetului sub forma:

$$\Psi_t = \frac{N}{h_b} \int_0^{h_b} \Phi_y \cdot dy \quad (3.245)$$

rezultă:

$$\Psi_t = N^2 (\lambda_0 + \frac{\lambda_s}{3} h_b) i \quad (3.246)$$

și deoarece:

$$\Psi_t = L_t \cdot i \quad (3.247)$$

rezultă că inductivitatea totală a electromagnetului este:

$$L_t = (\lambda_0 + \frac{\lambda_s}{3} h_b) N^2 \quad (3.248)$$

sau:

$$L_t = \left( \frac{p}{\alpha} \operatorname{cthp} \delta - \frac{\lambda_s}{3} h_b \right) N^2 \quad (3.249)$$

Se observă că dacă se neglijă dispersia, ceea ce revine la a considera  $\lambda_s \rightarrow 0$ , atunci:

$$\lambda_0 = \lim_{\lambda_s \rightarrow 0} \left[ \frac{p}{\alpha} (\operatorname{cthp} \delta) \right] = \lim_{p \rightarrow 0} \left( \frac{\operatorname{chp} \delta}{\alpha \cdot \delta \cdot \operatorname{shp} \delta} \right) = \frac{1}{\alpha \cdot \delta} \quad (3.250)$$

$$\lambda \delta_x = \lim_{\lambda_s \rightarrow 0} \left( \lambda_0 \operatorname{chp} \delta_x - \frac{\lambda_s}{p} \operatorname{shp} \delta_x \right) = \lambda_0 = \frac{1}{\alpha \cdot \delta} \quad (3.251)$$

$$\lambda \delta = \lim_{\substack{\lambda_s \rightarrow 0 \\ \delta_x \rightarrow \delta}} \lambda \delta_x = \lambda_0 = \frac{1}{\alpha \cdot \delta} \quad (3.252)$$

Deci:

$$\lambda_0 = \lambda \delta_x = \lambda \delta \quad (3.253)$$

iar inductivitatea principală este:

$$L_p = N^2 \cdot \lambda \delta = \frac{N^2}{\alpha \cdot \delta} \quad (3.254)$$

și inductivitatea totală:

$$\lim_{\lambda_s \rightarrow 0} \left[ N^2 \left( \lambda_0 + \frac{\lambda_s}{3} h_b \right) \right] = \frac{N^2}{\alpha \cdot \delta} \quad (3.255)$$

$$L_t = L_p \quad , \quad (3.256)$$

iar dacă ariaile echivalente  $A_1$  și  $A_2$  ale polilor electromagnetului le considerăm egale între ele și egale cu  $S$ , atunci:

$$\alpha = \frac{2}{\mu_0 S} \quad (3.257)$$

și inductivitatea principală, respectiv totală se scrie sub forma:

$$L_t = L_p = \frac{\mu_0 S N^2}{2d} \quad (3.258)$$

regăsind astfel expresia inductivității considerată în ecuația (3.92)

Deoarece în calculul forței dezvoltate de electromagnet intervine derivata inductivității totale în raport cu întrefierul, se calculează în continuare această derivată.

$$\frac{dL_t}{ds} = \frac{d}{ds}\left(\frac{\dot{p}}{\alpha} \cosh p s + \frac{\lambda_s}{3} h_b\right) \dot{h}^2 \quad (3.259)$$

obținîndu-se în final:

$$\frac{dL_t}{d} = - \frac{\lambda_s}{\sin^2 p\phi} N^2 \quad (3.260)$$

saw:

$$\frac{dL_t}{d\sigma} = - \frac{\alpha^2}{\sigma \cdot d^2} \left( \frac{p \cdot d}{\sin \sigma} \right)^2 \quad (3.261)$$

Se observă că la neglijarea dispersiei  $\lambda_s \rightarrow 0$ , sau pentru valori mici ale întrefierului  $\sigma \rightarrow 0$ , derivata inductivității în raport cu întrefierul se scrie sub forma:

$$\frac{d^2t}{d\delta^2} = - \frac{\alpha^2}{\delta^2} \quad (3.262)$$

în punctul considerat conform ecuației (3.257), derivata se scrie:

$$\frac{dL_s}{dd} = -\frac{\mu_0 \beta N^2}{2d^2} \quad (3.263)$$

care se observă că reprezentă de altfel derivata în raport cu între-  
sferul a inductivității scrisă conform ecuației (3.258).

Cu acestea, avînd în vedere că forță momentană dezvoltată de electromagnet este:

$$z = \frac{1}{2} \left( 1 + \frac{\partial f}{\partial t} \right) \quad (3.264)$$

$$P = -\frac{1}{2} \frac{\lambda s}{\sin^2 pd} \cdot (N.i)^2 = -\frac{1}{2} \frac{(N.i)^2}{\alpha^2 d^2} \cdot \left( \frac{p.d}{\sin pd} \right)^2 \quad (3.265)$$

Dacă se neglijă efectul dispersiei ( $\lambda_s \rightarrow 0$ ) se obține pentru forță:

$$P = -\frac{1}{2} \frac{1}{\delta^2 \alpha} (N-1)^2 = -\frac{1}{2} \frac{\mu_0^2 \cdot 23}{\mu_0} \quad (3.266)$$

regăsind astfel expresia clasică utilizată pentru exprimarea forței dezvoltate de electromagnet (pe ambi poli).

In construcția DPF intervin și tipuri de electromagnete "în manta" la care înălțimea  $h_b$  a ferestrei este mult mai mică decât lățimea  $l$  a acesteia (fig.3.27).

$$h_F \ll \ell \quad (3.267)$$

In această situație liniile de cîmp magnetic se consideră cenzurate liniilor intrerupte din fig.3.27.

Notăriile sunt conform celor de la începutul paragrafului.  
 Cu  $\phi_x$  s-a notat fluxul curent din armătura mobilă. Pentru cazul considerat avem:

$$E_x = E_y = \emptyset_0 = \emptyset \delta_x = \emptyset \delta \quad (3.26g)$$

În baza modelului considerat, cu notatiile stabilite, se poate scrie:

$$\psi_x = \psi_0 + \int_0^x u \cdot \psi_x = \psi_0 + \int_0^x U_{\bar{m}}(x) \cdot \lambda^* h \cdot dx \quad (3.269)$$

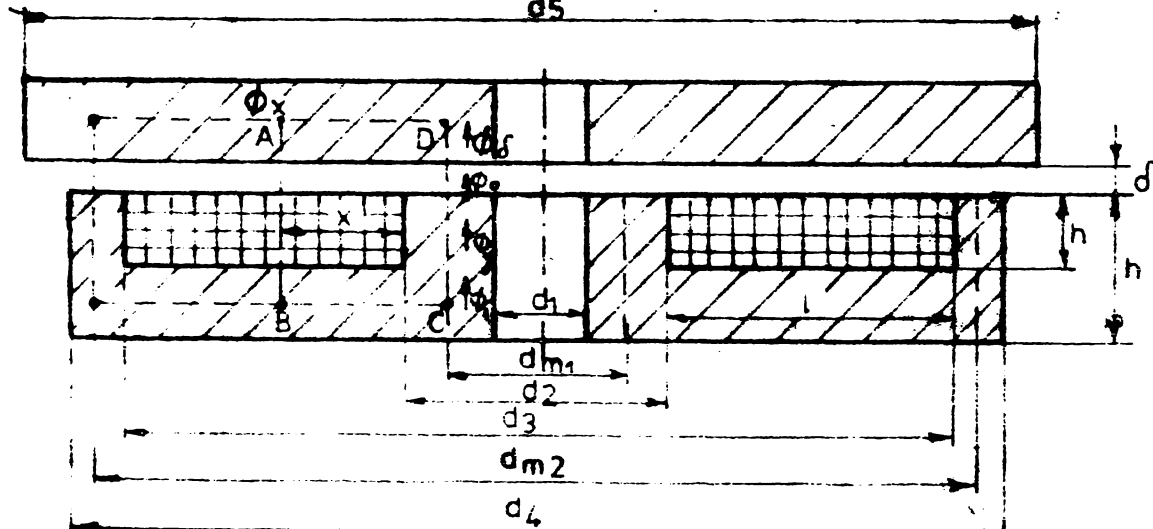


Fig. 3.27. Modelul unui electromagnet "în zântă".

unde:  $\Delta \phi_x$  este variația elementară a lui  $\phi_x$ ,  $U_{mx}$  este tensiunea magnetică între punctele A-B, iar  $\lambda_h^*$  este permeanța de scăpări pe unitatea de lungime între punctele A-B. Permeanța de scăpări se consideră constantă pe lângă terestre și egală cu permeanța de scăpări la  $10^{-6} \text{ Vs/A}$  și ea fixă. Conform /95/ se poate lua:

$$\lambda_h^x = \frac{\pi \mu_0 (d_2 + 2x)}{h_b + \delta} + \epsilon(h_b, \delta, l) \quad (3.270)$$

unde  $\epsilon$  este o corecție ce ține seama de abaterea cîmpului de la forma plan paralelă, fiind funcție de dimensiunile geometrice. Scriind teorema a II-a a lui Kirchhoff pe conturul ABCD, neglijînd căderile de tensiune magnetică în fier, se obține tensiunea magnetică între punctele A-B:

$$U_{m,x} = \frac{N \cdot i}{l} (l - x) - U_d \quad (3.271)$$

unde:

$$U_d = \frac{N \cdot i}{2} \quad (3.272)$$

este cădereea de tensiune magnetică pe întrefier.

Avînd în vedere expresia lui  $\phi_d$  dată de relația (3.235), se poate scrie:

$$\phi_x = N \cdot i \left[ \lambda_d + \int_0^x \frac{l-x}{l} \lambda_h^x dx \right] \quad (3.273)$$

rezultînd:

$$\phi_x = N \cdot i \left[ \lambda_d + \frac{\pi \mu_0}{h_b + \delta} \left( \frac{d_2 \cdot x}{2} + \frac{x^2}{2} - \frac{d_2}{2l} x^2 - \frac{2x^3}{3l} \right) \right] \quad (3.274)$$

Așadar și fluxul  $\psi_x$  se poate scrie sub formă:

$$\phi_x = \lambda_x \cdot N \cdot i \quad (3.275)$$

unde:

$$\lambda_x = \lambda_d + \frac{\pi \mu_0}{h_b + \delta} \left( \frac{d_2}{2} x + \frac{x^2}{2} - \frac{d_2}{2l} x^2 - \frac{2x^3}{3l} \right) \quad (3.276)$$

Scriind înlăntuirea magnetică totală a electromagnetului sub formă:

$$\psi_t = \frac{N}{l} \int_0^l \phi_x \cdot dx \quad (3.277)$$

rezultă:

$$\psi_t = N^2 \left( \lambda_d + \frac{\lambda_h \cdot \pi \cdot d_2^2}{12} \right) i \quad (3.278)$$

unde:  $\lambda_h = \frac{\mu_0 \cdot l}{h_b + \delta}$  (3.279)

Așadar inducțivitatea totală este:

$$L = \frac{N^2}{l} \left( \lambda_d + \frac{\pi \cdot \lambda_h \cdot d_2^2}{12} \right) \quad (3.280)$$

Din (3.274) rezultă:

$$\frac{d\phi_x}{dx} = \frac{\pi \mu_0 N \cdot i}{h_b + d} \left( \frac{d}{2} + x - \frac{d^2}{l^2} \cdot x - \frac{2x^2}{l} \right) \quad (3.281)$$

observindu-se că variația fluxului în lungul coordonatei  $x$  este pozitivă pentru  $x > \frac{l}{2}$  și negativă pentru  $x < \frac{l}{2}$ , fapt care se confirmă și experimental.

Valorile extreme ale lui  $\frac{d\phi_x}{dx}$  sunt:

- Pentru  $x=0$

$$\left( \frac{d\phi_x}{dx} \right)_{\max} = \frac{\pi \mu_0 N \cdot i \cdot d}{2(h_b + d)} \quad (3.282)$$

- Pentru  $x=l$

$$\left( \frac{d\phi_x}{dx} \right)_{\min} = - \frac{\pi \mu_0 N \cdot i (d + 2l)}{2(h_b + d)} \quad (3.283)$$

De asemenea, aşa cum este de așteptat, din relația (3.274) rezultă că pentru  $x=0$ :

$$\phi_0 = \phi_d = \lambda_d \cdot N \cdot i \quad (3.284)$$

iar pentru  $x=l$ :

$$\phi_l = \phi_d = \frac{\pi \cdot \lambda_d}{2} \cdot l \cdot N \cdot i \quad (3.285)$$

Valoarea maximă a lui  $\phi_x$  se obține pentru  $x = \frac{l}{2}$ , fiind:

$$\phi_{\max} = \lambda_d \left[ \lambda_d + \frac{\pi \cdot \lambda_d}{2} \left( d + \frac{l}{2} \right) \right] \quad (3.286)$$

Relațiile (3.284), (3.285) și (3.286) sunt importante pentru calculul modului în care fluxul se închide prin armătura mobilă sau în interiorul electromagnetului, evidențierind că valoarea fluxului în interiorul amânturii este la distanța  $x = \frac{l}{2}$  de polul opus.

Acest fapt este important pentru o proiectare optimă a electrozghezelor, indicând modul în care trebuie dimensionat circuitul magnetic al acestora.

Într-o soluție de forței derivată în acest caz de electrozghezelor, se poate observa că variația cu intregierul a inducției este proporțională cu fluxul, ceea ce indică în vedere că și permeanța  $\lambda_H$  este func-

$$\frac{dL_t}{d\delta} = \frac{d}{d\delta} \left( \frac{p}{\alpha} c_{thp} \delta + \frac{\lambda_h \cdot \pi \cdot d_2}{12} \right) N^2 \quad (3.287)$$

obținindu-se

$$\frac{dL_t}{d\delta} = \left( \frac{\lambda_s}{sh^2 p \delta} + \frac{\lambda_h \cdot \pi \cdot d_2}{12(h_b + \delta)} \right) N^2 \quad (3.288)$$

Pentru valori mici ale lui  $h_b$  și  $\delta$  termenul  $\frac{\lambda_h}{h_b + \delta}$  poate avea valori importante, că urmare nu mai poate fi neglijat.

Sintetizînd cele expuse la acest paragraf, rezultă că în cazul cel mai general, conform relațiilor (3.248) și (3.280), inductivitatea totală a unui electromagnet în manta se scrie sub forma:

$$L_t = \left( \frac{p}{\alpha} c_{thp} \delta + \frac{\lambda_h \cdot \pi \cdot d_2}{12} + \frac{\lambda_s \cdot h_b}{3} \right) N^2 \quad (3.288')$$

Dacă considerăm inductivitatea totală ca sumă a inductivităților principala  $L_p$  și de dispersie  $L_d$ , atunci se poate scrie:

$$L_p = \left( \frac{p}{\alpha} c_{thp} \delta + \frac{\lambda_h \cdot \pi \cdot d_2}{12} \right) N^2 \quad (3.289)$$

$$L_d = \frac{\lambda_s \cdot h_b}{3} N^2 \quad (3.290)$$

Relațiile (3.289) și (3.290) s-au scris pe considerentul că numai inductivitatea principală intervine în expresia forței dezvoltate de electromagnet.

## Capitolul IV

### Proiectarea electromagnetilor de curenț continuu pentru funcționarea în regim dinamic

#### 4.1. Introducere

Numerose referințe bibliografice /11/, /32/, /37/, /39/, /42/, /45/, /51/, /53/ și a. sintetizând elementele de teorie a electromagnetelor de curenț continuu, precum și experiența în domeniul proiectării și construirii acestora din diferite țări și întreprinderi, oferă metodici de proiectare a electromagnetelor de curenț continuu pentru regimul static de funcționare, metodici care urmăresc în esență asigurarea de către electromagnet, pentru un întreținer dat, a unei anumite forțe portante, într-o construcție tehnologică simplă, economică, fiabilă.

Așa cum s-a arătat în capitolul III, mărimele ce caracterizează funcționarea unui electromagnet în regim dinamic diferă substanțial față de aceleași mărimi din regimul static. Ca urmare, proiectarea electromagnetelor de curenț continuu pentru regimuri dinamice de funcționare necesită metodologii diferite de cele pentru regimuri statice, trebuind să asigure, pentru electromagnetul considerat, o anumită valoare a forței de tractiune, pentru o anumită cursă a armăturii mobile, precum și o anumită caracteristică de tip (de anclanșare, respectiv declanșare), într-o construcție tehnologică simplă, economică, fiabilă.

Deoarece electromagnetii pot constitui elemente esențiale în lanțul de legături dintre sisteme electrice și mecanice (exemplu: între un microprocesor și componente mecanice), asigurarea unor anumite caracteristici de timp, care reprezintă timpul de răspuns dinamic al armăturii (anclanșare, respectiv declanșare) la aplicarea unui impuls de tensiune este imperios necesară.

In trecut, cînd aplicațiile electromagnetelor nu necesitau studiul caracteristicilor critice de timp, proiectarea electromagnetelor pentru regimul dinamic se realiza prin aproximări succesiive /43/, /44/, /52/, /71/, /79/, /86/ realizîndu-se proiectarea pentru regimul static, calculîndu-se proprietățile electromagnetului pentru regimul dinamic, corectîndu-se elementele de proiectare statică, recalculîndu-se caracteristicile regimului dinamic etc.

Proiectarea electromagnetului pentru regimul dinamic este dificilă, din cauza complexității ecuațiilor, iar numărul mare de semnale de intrare (parametrii de conectare ai electromagnetului și ai sarcinii) determină un cimp de soluții care trebuie luate în considerare în timpul proiectării. Stabilirea unor metode experimentale de proiectare, prin fabricarea și testarea unor prototipuri, este costisitoare și de lungă durată. În aceste condiții, singura alternativă a proiectării a rămas pînă în prezent proiectarea și simularea pe calculator a caracteristicilor de timp /48/, precum și acelor lalte mărimi ce caracterizează funcționarea electromagnetului în regim dinamic.

#### 4.2. Solutii actuale de proiectare a electromagnetilor de curent continuu pentru functionarea în regim dinamic

Soluția clasică de proiectare a electromagnetilor de curent continuu pentru funcționarea în regim dinamic constă în determinarea preliminară a dimensiunilor geometrice pe baza caracteristicilor statice, recalcularea caracteristicilor dinamice și variația dimensiunilor geometrice pînă se ajunge la proprietățile dinamice impuse.

În /79/ se prezintă o astfel de metodă de proiectare a electromagnetilor de curent continuu, utilizîndu-se un algoritm de proiectare, bazat pe posibilitatea folosirii unor dispozitive de memorizare corespunzătoare întocmite. Cele mai importante memorii utilizate conform acestei metode de proiectare sunt:

- Memorie pentru funcții și structuri, care trebuie să conțină principalele forme constructive, ca și proprietățile funcționale cele mai importante, astfel încît pe baza dependenței funcție-structură să fie posibilă o alegere a formei finale a electromagnetului;

- Memoria pentru schema electrică de alimentare și comandă, prin care să poată fi luată în considerație influența comenzilor electronice (supraexcitare, excitare rapidă, excitare prin impuls etc.) asupra proprietăților dinamice.

- Memoria pentru metoda de calcul și optimizare.

Algoritmul de proiectare, conform /79/ este prezentat în Organograma 4.1.

De menționat că programul de calcul pentru recalculararea proprietăților dinamice are la bază ecuațiile (3.11), (3.12), (3.13) din dinamica electromagnetilor, care se rezolvă pe calculator, prin metode numerice (Runge-Kutta) realizîndu-se o aproximare a caracteristicilor  $i(x, \omega)$  prin polinoame de forma:

Operaționarea și menținerea în circuitelor de proiectare a electromagnetilor în a.c. metodele de calcul dinamic de funcționare prin recalculara proprietăților dinamice.

Date: proprietățile funcționale (exemplu: curea nominală, forță de suținere maximă, temperatură maximă, tempi de conectare).

- I. Determinarea formei de bază a circuitului magnetic
- II. Alegerea comenzi corespunzătoare.
- III. Sintesa electromagneticului. Dimensionarea comenzi electronice.
- IV. Proiectarea constructivă cu considerarea factorilor tehnologici.
- V. Recalcularea proprietăților statice și dinamice.  
Se obțin proprietățile impuse Da
- VI. Construcția și încercările experimentale.  
Se obțin proprietățile impuse Da

- Memorie pentru funcții și stături  
→ a
- b
- Memorie pentru considerarea influenței comenzi electronice  
→ Separe parametrii statici și dinamici ai electromagnetului.
- Memorie pentru modele de calcul și de optimizare
- Memorie pentru informații de natură tehnologică.
- Hu → a
- Hu → b

Electromagnetul căutat

Calculul coeficienților  $a_{jk}$  este însă laborios, rularea unui subprogram de calcul al coeficienților pentru polinoame de rangul  $n = 8$ , pentru o curbă  $i = i(x, \psi)$  dată prin 50 de puncte ajungând la circa 90 de minute.

Conform /43/,/44/ se prezintă în Organograma 4.2. un algoritm generalizat al procesului de proiectare a unui electromagnet de curent continuu pentru regim dinamic de funcționare, care, ținând cont de rezultatele tehnicii de construcție, realizează față de cazul anterior scurtarea timpului de sintetizare a electromagnetului, cît și posibilități de optimizare a construcțiilor viitoare.

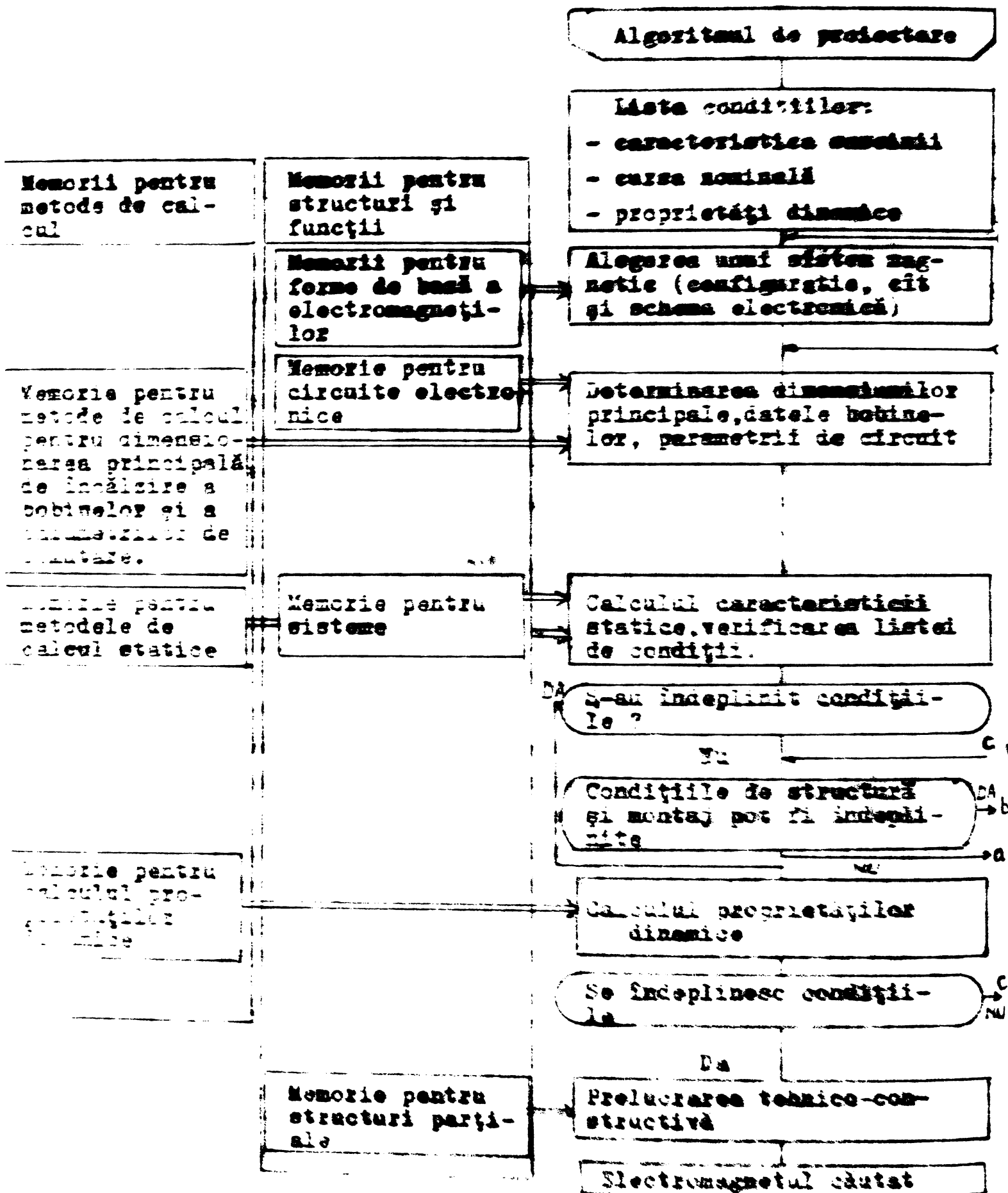
Pentru ca proiectarea electromagnetilor să poată fi realizată cu acest algoritm, este necesar ca memoriile indicate (memoria funcție-structură, memoria de calcul, memoria program) să acumuleze informațiile prin analiza multor variante de electromagneti și generalizarea rezultatelor.

In [48] se indică o metodă de proiectare, simulare și optimizare a electromagnetilor de curent continuu de tip clapetă.

Pentru startul proiectării și simulării caracteristicilor de timp, toate materialele, curbele de magnetizare și demagnetizare și reluctanțele de dispersie trebuie stocate într-o formă corespunzătoare pentru programarea calculului. Dindu-se dimensiunile impuse pentru proiectarea electromagnetului, rezistența bobinei, datele conductorului și ale înfășurării bobinei, algoritmul de proiectare determină o serie de proiecte de bobină; acestea reprezintă baza de la care se generează elementele componente ale electromagnetului cu clapetă, conform relațiilor stabilite teoretic și experimental. Dacă vreo componentă depășește dimensiunile impuse de proiectant, proiectarea se oprește și un alt set de date se utilizează. Algoritmul de simulare a caracteristicilor de tip este conform celor expuse la paragraful 3.5.9.

**Metodele actuale de proiectare a electromagnetilor de curenț continuu pentru regimul dinamic de funcționare** sunt laborioase și reprezentă, în esență lor, transpunerea pe calculator a metodei clasice de proiectare, conform căreia, după proiectarea pe baza

Secvenție 4.2. Referință la clasificarea de memorii  
a electromagnetilor de putere și la proiectarea  
fizică a acestora.



caracteristicilor statice a unei variante de electromagnet, se anticipă prin calcul caracteristicile dinamice ale acestuia (cele mai importante fiind caracteristicile de timp) elaborindu-se noi variante de electromagnet, pînă cînd aceste caracteristici corespund cerințelor funcționale impuse electromagnetului.

#### 4.3. Metodă de proiectare a electromagnetilor de curent continuu pentru funcționarea în regim dinamic

Se propune, în cele ce urmează, o metodă de proiectare a electromagnetelor de curent continuu pentru funcționarea în regim dinamic, care ia în considerare încă în cursul procesului de proiectare caracteristicile dinamice cerute electromagnetului. Proiectarea se desfășoară în două etape: proiectarea preliminară a electromagnetului, cu luarea în considerare a caracteristicilor de timp, dar cu acceptarea unor ipoteze simplificatoare referitoare la evoluția regimului dinamic și în final definitivarea dimensiunilor constructive astfel încît electromagnetul să corespundă în mod real cerințelor impuse. Proiectarea se realizează pe calculator, conform unui algoritm de proiectare, avînd avantajul față de metodele actuale că scurtează sensibil procedura de proiectare.

In general proiectarea unui electromagnet de curent continuu pentru un regim dinamic de funcționare presupune elaborarea unui electromagnet capabil să realizeze o cursă de o anumită lungime, într-un anumit interval de timp, în condițiile în care asupra armăturii mobile se exercită o sumă de forțe exterioare (sarcina). Alături de acestea, proiectarea unui electromagnet de c.c. pentru un regim dinamic de funcționare poate fi condiționată de restricții de gabarit; de încălzire etc.

Pentru metoda de proiectare propusă, datele inițiale ale proiectării sint cele obișnuite:

- Cursa electromagnetului (întrefierul maxim  $\delta_{\max}$  și întrefierul  $\delta_{\min}$ );
- Sarcina la armătura mobilă a electromagnetului, funcție de cursă,  $P_F = f(\delta)$ ;
- Timpul maxim de acționare,  $t_a$ ;
- Restricții de gabarit, încălzire etc.

De asemenea, proiectantului trebuie să i se precizeze (sau să i se ofere posibilitatea de a alege) următoarele:

- Curentul maxim admisibil în schema electrică în care va funcționa electromagnetul,  $I_a$ ;

- Tensiunea de alimentare  $U$ ;
- Materialul feromagnetic din care va fi construit electromagnetul (curba de magnetizare  $B = f(H)$ );
- Tipul constructiv de electromagnet (în formă de U, de E, în manta, plonjor etc.).

Proiectarea se bazează pe soluționarea ecuațiilor (3.11), (3.12), (3.13) ale regimului dinamic al electromagnetelelor de curent continuu, prezентate la paragraful 3.4.

Din acest sistem de ecuații rezultă că pentru a fi îndeplinită condiția ca timpul de deplasare a armăturii mobile de la întrefierul maxim la cel minim să fie egal cu un timp prestabilit  $t_d$ , există atâtea grade de libertate (variante) în proiectarea electromagnetului cîte mărimi constructive intervin distinct ca necunoscute în acest sistem. Analiza sistemului de ecuații evidențiază că principalele mărimi constructive necunoscute ce intervin distinct în ecuațiile regimului dinamic sunt  $m, r, k_R, N$  și  $S$ . Prin luarea în considerare a unor criterii de optim constructiv și funcțional, numărul real al gradelor de libertate în proiectare se poate reduce considerabil.

Astfel;

- constanta  $k_R$  a resortului antagonist se determină, de regulă din condiția ca acesta să asigure deplasarea armăturii mobile de la întrefierul minim la cel maxim într-un timp prestabilit  $t_d$ . Pentru deplasarea armăturii sub acțiunea resortului se pot scrie următoarele relații:

a/ pentru forțe:

$$F_R = k_R \cdot x = -m \frac{d^2 x}{dt^2} \quad (4.2)$$

unde  $m$  este masa armăturii mobile.

b/ pentru lucrul mecanic:

$$W_R = \frac{k_R}{2} x_{\max}^2 \quad (4.3)$$

Din (4.2) și (4.3) rezultă variația în timp, a întrefierului  $x_d$ , viteza  $v_d$  și acceleratiei  $a_d$ :

$$x_d = x_{\max} \cos(\sqrt{\frac{k_R}{m}} t) \quad (4.4)$$

$$v_d = -\sqrt{\frac{k_R}{m}} x_{\max} \sin(\sqrt{\frac{k_R}{m}} \cdot t) \quad (4.5)$$

$$x_d = - \frac{k_R}{m} x_{max} \cos(\sqrt{\frac{k_R}{m}} \cdot t) \quad (4.6)$$

Punind condiția ca deplasarea de la întrefierul minim la cel maxim să se efectueze în intervalul de timp  $t_d$  obținem:

$$\sqrt{\frac{k_R}{m}} \cdot t_d = \frac{\pi}{2} \quad (4.7)$$

și deci:

$$k_R = \frac{\pi^2}{4} \cdot \frac{m}{t_d^2} \quad (4.8)$$

Așadar, constanta resortului nu depinde de întrefier, ci doar de masa armăturii mobile și de timpul de declanșare, resortul fiind cu atât mai puternic cu cît masa armăturii mobile este mai mare, iar timpul de declanșare este mai mic.

- constanta  $r$  de amortizare de regulă se neglijeează:

$$r = 0 \quad (4.9)$$

- principalele dimensiuni constructive ale miezului magnetic ( $\mu_{Fe}$ , S, s.a.) și în consecință și permeanțele miezului se pot determina din condițiile initiale, prin care se asigură ca la întrefierul  $\delta_{max}$  și curentul  $i_1 \leq I_a$ , electromagnetul să dezvolte forța  $F_r(\delta_{max})$ .

Prin condiția  $i_1 \leq I_a$  se asigură ca în regimul dinamic să nu se depășească valoarea maximă admisibilă a curentului prin circuit.

Rămîn, așa cum era de așteptat, drept variabile constructive principale pentru a asigura atragerea armăturii mobile a electromagnetului de la întrefierul maxim la cel minim în timpul prestabilit  $t_a$  masa  $m$  a sistemului mobil și numărul  $N$  de spire al înfășurării electromagnetului.

Deseori, masa antrenată în mișcare în etapa a II-a a regimului dinamic este  $m = m' + m''$ , unde  $m'$  este masa propriu-zisă a armăturii mobile, iar  $m''$  este masa elementelor actionării redusă la armătura mobilă, fiind numeroase cazurile în care  $m'' \gg m'$ , ceea ce revine la a considera  $m = m''$  deci, masa antrenată este impusă, sau se consideră cunoscută.

În proiectare trebuie de asemenea să se aibă în vedere ca valoarea maximă a inducției să nu depășească inducția de saturatie.

Proiectarea preliminară se realizează astfel:

Se consideră că pe parcursul procesului dinamic acceleratia armăturii mobile are o variație liniară de forma:

$$a = f(t) \quad (4.10)$$

Deoarece se impune ca deplasarea arțiturii mobile să aibă loc în timpul peșterabilității  $t_a$ , rezultă că în încheierea regimului dinamic ( $\delta = \delta_{\min}$ ) acelerația  $a_2$ , viteza  $v_2$ , și respectiv spațialul parcurs  $x_2$  au valorile:

$$a_2 = f \cdot t_a \quad (4.11)$$

$$v_2 = f \frac{t_a^2}{2} \quad (4.12)$$

$$x_2 = \frac{t_a^3}{6} \quad (4.13)$$

Deoarece:

$$x_2 = \delta_{\max} - \delta_{\min} \quad (4.14)$$

rezultă pentru  $f$  valoarea:

$$f = \frac{6(\delta_{\max} - \delta_{\min})}{t_a^3} \quad (4.15)$$

și astfel mărimele  $a_2$ ,  $v_2$ ,  $x_2$  se pot calcula prin înlocuirea lui (4.15) în (4.11), (4.12), (4.13).

Deoarece fluxul magnetic are valoarea maximă la încheierea regimului dinamic, se pune condiția ca la acel moment inducția magnetică să fie apropiată ca valoare de inducția de saturatie  $B_s$ , cunoscută din curba de magnetizare a materialului din care se construiește electromagnetul:

$$B_2 \approx B_s \quad (4.16)$$

Cu acestea, pentru momentul încheierii deplasării armăturii mobile, ecuația (3.13) se poate scrie:

$$\frac{B_s^2 \cdot S}{\mu_0} = m \cdot a_2 + r \cdot v_2 + k_R \cdot x_2 + F_{r2} \quad (4.17)$$

În ecuația (4.17) necunoscutele constructive sunt  $S$ ,  $m$ ,  $r$ ,  $k_R$ . Având în vedere considerențele constructive și funcționale exprimate prin ecuațiile (4.8) și (4.9), ecuația (4.17) devine:

$$\frac{B_s^2 \cdot S}{\mu_0} = m \cdot a_2 + \frac{\pi^2}{4t_d^2} \cdot m \cdot x_2 + F_{r2} \quad (4.18)$$

ecuația avind necunoscutele  $S$  și  $m$ .

Dacă nu avem criterii pentru alegerea uneia sau altăia dintre aceste necunoscute, atunci proiectarea continuă prin căutarea unei exprimări a masei  $m$  funcție de suprafața polară  $S$ .

Spre exemplu, pentru modelul electromagnetic "în mantă" din fig.3.26 se obțin următoarele relații geometrice:

$$d_2 = \sqrt{\frac{4}{\pi} S + d_1^2} \quad (4.19)$$

$$d_3 = d_2 + 2 l \quad (4.20)$$

$$d_4 = \sqrt{\frac{4}{\pi} S + d_3^2} \quad (4.21)$$

$$d_5 = \frac{2 A_2}{\pi(d_3+d_4)} + \frac{d_3 + d_4}{2} \quad (4.22)$$

Din condiția de egalitate a inducției magnetice în secțiuniile minime din armătura mobilă și cea fixă rezultă:

$$\bar{\mu} \cdot d_2 \cdot g = S \quad (4.22)$$

$$\bar{\mu} \cdot d_2 (h-h_b) = S$$

iar masa se poate exprima:

$$m = \rho_v \cdot \frac{\pi}{4} (d_5^2 - d_1^2) g \quad (4.24)$$

In aceste relații  $A_2$  este conform ecuației (4.24), iar  $\rho_v$  este densitatea volumică a materialului feromagnetic din care este confectionată armătura mobilă.

Dacă mărimea  $l$  a ferestrei electromagnetului poate fi aleasă, atunci relațiile (4.19) ... (4.24) înlocuite în (4.18) conduc la o ecuație în  $S$ , de forma:

$$\frac{B_s^2 \cdot S}{\mu_0} = P_{r2} + \left[ \frac{6(d_{\max}^2 - d_{\min}^2)}{t_a^2} + \frac{\pi^2}{4} \cdot \frac{(d_{\max}^2 - d_{\min}^2)}{t_d^2} \right] \quad (4.25)$$

$$\left\{ \begin{array}{l} \left[ 2S + \delta^2 + 2\delta(\sqrt{\frac{4}{\pi} S + d_1^2} + 2l) + \sqrt{\frac{4}{\pi} S - (\sqrt{\frac{4}{\pi} S + d_1^2} + 2l)^2} \right] + \\ \frac{\pi^2 \left[ \sqrt{\frac{4}{\pi} S - (\sqrt{\frac{4}{\pi} S + d_1^2} + 2l)^2} + \sqrt{\frac{4}{\pi} S + d_1^2 + 2l} \right]^2 \cdot \sqrt{\frac{4}{\pi} S + d_1^2}}{\pi \left[ \sqrt{\frac{4}{\pi} S - (\sqrt{\frac{4}{\pi} S + d_1^2} + 2l)^2} + \sqrt{\frac{4}{\pi} S + d_1^2 + 2l} \right]^2} - \frac{d_1^2}{\sqrt{\frac{4}{\pi} S + d_1^2}} \end{array} \right\}$$

Soluționând ecuația, găsim valoarea  $S$  a ariei unui pol și de aici, cu ajutorul relațiilor (4.19) ... (4.24) se pot determina principalele mărimi constructive ale miezului magnetic.

Pentru definitivarea dimensiunilor înfășurării, se are în vedere că fluxurile  $\phi_1$  și  $\phi_2$ , care reprezintă fluxurile principale la începutul și respectiv încheierea deplasării armăturii mobile, se calculează din relațiile:

$$\Phi_1 = \frac{1}{2} \delta_1^2 \frac{1}{\mu_0} \left( \frac{1}{d_1} + \frac{1}{d_2} \right) = \frac{1}{2} \delta_1^2 \alpha_1 \quad (4.26)$$

$$\delta_2 = B_s \cdot S$$

unde  $\alpha_1$  este dat de relația (3.213).

Conform relației (3.235) se poate scrie:

$$\delta_1 = \lambda \delta_{\max} \cdot N \cdot i_1 \quad (4.27)$$

relație din care, având în vedere (3.231), (3.237) și (4.26), (4.27) se obține numărul N de spire al înfășurării, dat de o relație de formă:

$$N = \frac{i_1}{\lambda \delta_{\max} \cdot i_1} = \sqrt{\frac{2F_{rl}}{\lambda s}} \cdot s_h (\sqrt{\alpha_1 \cdot \lambda_s} \cdot \delta_{\max}) \cdot \frac{1}{i_{\max}} \quad (4.28)$$

Având în vedere că secțiunea q a spirei este dată de relația:

$$q = \frac{i_1}{j_a} \quad (4.29)$$

unde  $j_a$  este densitatea admisibilă de curent prin înfășurare, rezultă dimensiunea Q a secțiunii bobinajului:

$$Q = h_b \cdot l = N \cdot q \cdot l / k_u \quad (4.30)$$

unde  $k_u$  este factorul de umplere.

Din (4.30) se calculează înălțimea  $h_b$  a ferestrei electromagnetului:

$$h_b = \frac{Q}{l} \quad (4.31)$$

Având în vedere că fluxul  $\delta_2$  se poate exprima sub forma:

$$\delta_2 = \lambda \delta_{\min} \cdot N \cdot i_2 \quad (4.32)$$

din (4.26) și (4.32) rezultă valoarea  $i_2$  a curentului la încheierea deplasării mobile:

$$i_2 = \frac{B_s \cdot S}{\lambda \delta_{\min} \cdot N} \quad (4.33)$$

Dacă mărimea constructivă l nu se poate alege, atunci se alege un raport optim între l și  $h_b$ :

$$\frac{l}{h_b} = c \quad (4.34)$$

și se observă că din relațiile (4.18)...(4.24), (4.30) și (4.34) se obține un sistem de 11 ecuații cu 11 necunoscute:  $S, m, l, h_b, h, N, d_2, d_3, d_4, d_5$  și  $g$ .

Soluționând sistemul se determină mărimele constructive ale miezului și înfășurării electromagnetului.

În acest fel se încheie etapa de calcul preliminar a electro-magnetului pentru funcționarea în regim dinamic care, după cum s-a arătat, ia în considerare valurile maxime admisibile pentru inducție și densitatea de curent, precum și, cu o anumită aproximatie, timpul  $t_a$  necesar anclansării armăturii.

Pentru definitivarea dimensiunilor constructive ale electro-magnetului se simulează, pe calculator, cu ajutorul sistemului de ecuații (3.11), (3.12), (3.13), prin metoda numerică descrisă la capitolul 3.5. caracteristica de timp a electromagnetului. Dacă această caracteristică nu corespunde celei impuse, se corectează proiectarea preliminară, prin considerarea unei alte valori  $a_2$  a accelerării la încheierea mișcării armăturii mobile. Corectarea se face funcție de abaterea caracteristicii de timp calculate față de cea cerută. Se observă că este suficient să realizăm doar corectarea valorii  $a_2$  a accelerării, întrucât aceasta este singura mărime care se approximează în calculul preliminar care pornește de la ecuația (4.18).

Exemplificarea amănunțită a metodei de proiectare prezentată se realizează la Capitolul VI, unde se proiectează variante de electromagneti "în manta" pentru acționarea DPP.

## C a p i t o l u l . V

### SCHMEE ELECTRONICE PENTRU ALIMENTAREA SI COMANDA DISPOZITIVELOR ELECTROMAGNETICE PENTRU ACTIUNI LINIARE PAS CU PAS.

#### 5.1. Introducere.

Performanțele unui DPP sunt strâns legate de tipul schemei de comandă și alimentare. Astfel performanțe ca: amortizarea, frecvența maximă a pagilor, forța maximă dezvoltată precum și randamentul și puterea dissipată ale DPP depind în mare măsură de schema sa de alimentare și comandă.

Există numeroase posibilități de alimentare a electromagnetelor de acționare, funcție de tipul, grosierul și destinația lor. Electromagnetii de curent alternativ se pot alimenta direct de la rețea. Forța de atracție dezvoltată este pulsatorie, frecvența pulsărilor fiind dublul frecvenței tensiunii de alimentare. În practică s-a constatat că frecvența obținută prin alimentarea directă de la rețea (100 Hz) este prea mare pentru astfel de acționări, datorită inertiei sistemului mecanic, căre nu poate urmări aceste pulsări. Un dezavantaj al electromagnetelor de curent alternativ îl constituie și necesitatea executării armăturilor din tole, pentru evitarea pierderilor prin histereză magnetică și curenți turbionari, fapt care determină complicarea lor constructivă. Din acest motiv pentru acționarea DPP se preferă electromagnetii de curent continuu, la care oscilațiile armăturii mobile se obțin prin alimentarea infășurărilor cu trenuri de impulsuri, de frecvență reglabilă, obținute prin intermediul unor scheme cu comutație mecanică sau statică.

In proiectarea alimentării și comenzi unui DPP se iau în considerare o serie de factori, o atenție deosebită trebuind să fie acordată componentelor celor mai solicitate ale schemelor electrice, adică elementelor de comutație și componentelor electronice asociate. De asemenea, trebuie să se țină seama de faptul că parametrii schemelor, precum și ai DPP pot varia datorită toleranțelor de fabricație și condițiilor de funcționare.

In mod normal sunt necesare circuite de curenți mari, fapt care dictează folosirea unor elemente de comutație capabile să suportă vîrfurile de putere ce apar în funcționare, precum și supratensiunile de comutație.

O altă problemă de bază în ceea ce privește alimentarea cu energie electrică și comanda DPP constă în asigurarea la conectarea și deconectarea circuitului electric (la fiecare pas al acționării) a unei variații suficiente de rapide a curentului de sarcină, astfel încât acționarea să poată fi realizată conform caracteristicilor de timp cerute.

In practică, prin intermediul unor scheme electrice cu comutare mecanică, sau de preferință statică, cu reglaj în buclă închisă sau deschisă se asigură alimentarea circuitelor electrice de sarcină cu tensiune sub formă de impulsuri de o anumită amplitudine și durată, la care se asociază, după caz, scheme de forțare, respectiv supresare /50/.

### 5.2. Scheme electrice cu reglaj în buclă închisă pentru alimentarea DPP.

Schemele electrice cu reglaj în buclă închisă pentru alimentarea DPP pot fi cu comutare mecanică sau statică, comandate prin mișcarea armăturii mobile a DPP.

Cea mai simplă soluție pentru o astfel de alimentare este prezentată în figura 5.1, în care armătura mobilă 1, la sfîrșitul cursei active acționează întreruptorul k, deschizind circuitul de alimentare a bobinei electromagneticului. Sub acțiunea resoartelor antagoniste 3 armătura execuță mișcarea de revenire la poziția de repaus.

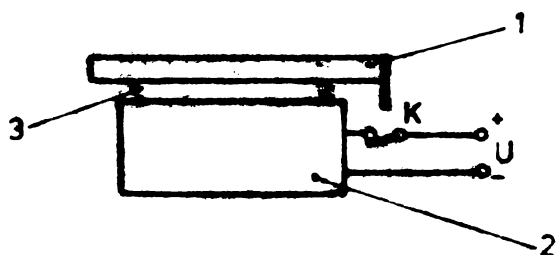


Fig.5.1. Alimentarea unui DPP printr-o schemă electrică cu comutare mecanică cu reglaj în buclă închisă.

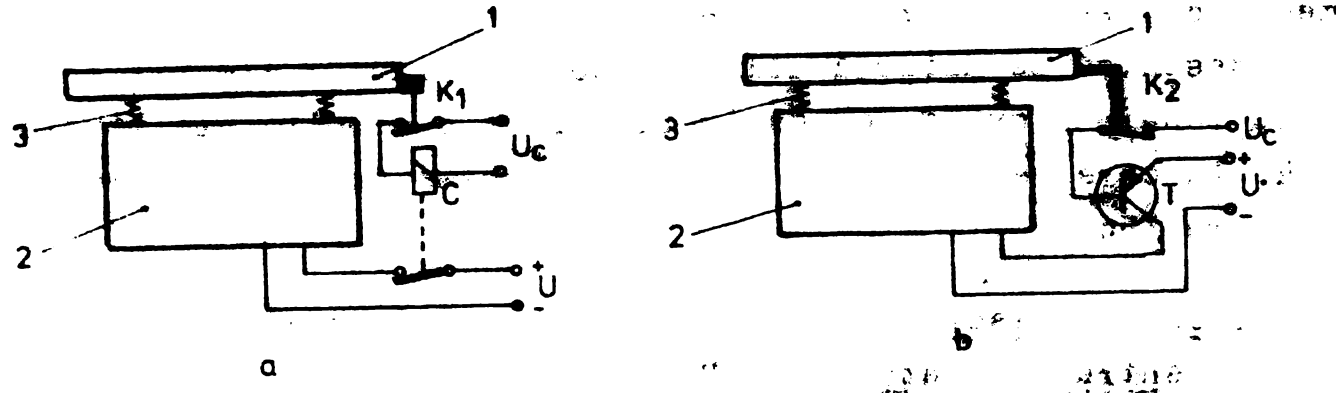
1. Armătură mobilă; 2. Armătură fixă. Resoarte antagoniste; k - întrerupător normal închis; U - tensiunea de alimentare.

O astfel de alimentare impune însă dimensionarea electromagneticului numai pentru curenti capabili să fie întrerupti de întrerupătorul k.

Pentru valori mai ridicate ale curentului de sarcină, se poate folosi pentru comutare un contactor electromagnetic sau un tranzistor de putere, conform schematicelor prezentate în fig.5.2.

Alimentarea DPP prin intermediul schematicelor electrice cu re-

glaj în buclă închisă, realizat prin mișcarea armăturii mobile este deosebit de avantajoasă, realizându-se la zilele astăzi optimație, în conformitate cu calea expusă la paragraful 3.3.2. De asemenea, în acestă dințiune de alimentare, reglarea amplitudinii angulației se poate realiza simplu, printr-reglarea amplitudinii transmisiei de alimentare.



**Fig. 5.2.** Alimentarea unui DPP prin scheme electrice cu comutare mecanică, respectiv statică, cu reglaj în buclă închisă.

- a) Schemă electrică cu comutare mecanică;
  - b) Schemă electrică cu comutare statică.
1. Armătură mobilă; 2. Armătură fixă; 3. Rezistențe antagoniste;  $k_1$ ,  $k_2$  - microîntreruptoare; C. Contactor electromagnetic; T - tranzistor;  $U_c$  - tensiune de comandă;  $U$  - tensiune de alimentare.

Elementele de comutare mecanică (microîntreruptoare), care realizează reglajul alimentării prin acționarea mecanică a acestora de către armătura în mișcare, pot fi înlocuite cu elemente de comandă sensibile la poziția armăturii (traductoare de poziție, trductoare inductive etc.) care realizează de acemenea comanda alimentării funcție de poziția armăturii.

### 5.3. Schema electrică cu reglaj în buclă deschisă pentru alimentarea DPP P.

Alimentarea DPP prin intermediul unor scheme electrice cu reglaj în buclă deschisă se realizează de obicei prin utilizarea unor elemente de comutare mecanică sau statică, fiind avantajoasă aplicarea lor la acționările în care sarcina se păstrează relativ constantă de la un pas la altul al acționării.

In figura 5.3 se prezintă schema de principiu pentru alimentarea unui DPP bidirectional (cu două bobine de sarcină) în care impulsurile de comandă sunt furnizate de un comutator mecanic acionat cu un micromotor, durata impulsurilor de alimentare fiind

reglată prin modificarea turării micromotorului cu ajutorul unui reostat.

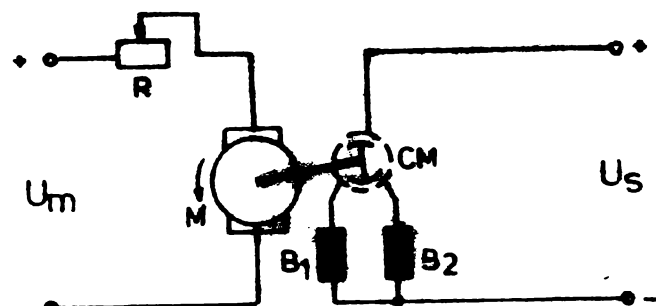


Fig.5.3. Schema electrică cu reglaj în buclă deschisă pentru alimentarea unui DPP bidirecțional, cu realizarea mecanică a comutației.

$U_m$  - tensiunea de alimentare a micromotorului;  
 $U_s$  - tensiunea de alimentare a DPP;  $M$  - micromotor;  $CM$  - comutator mecanic cu perii ;  
 $B_1, B_2$  - bobinile DPP bidirecțional ;  $R$  - reostat pentru reglarea turării micromotorului.

Schela electrică din fig.5.3 poate realiza frecvențe mari de comutare, prezintind însă dezavantajul formării arcului electric între perii și contacte.

In figura 5.4 este prezentată o altă soluție pentru alimentarea unui DPP bidirecțional cu reglaj în buclă deschisă, în care comutația bobinelor de sarcină  $B_1, B_2$  se realizează cu un contactor de c.c., comandat prin intermediul unui circuit electronic formator de impulsuri.

Dezavantajul unei astfel de scheme constă în fiabilitatea scăzută a contactorului la conectările și deconectările repetitive de funcționare ale DPP.

Practica de pînă acum a arătat că în general soluțiile de alimentare prin intermediul comutației mecanice a unor dispozitive electomagnetiche oscilante nu sunt fiabile /82/, putînd fi folosite cu succes în acest domeniu schemele electrice cu comutație statică.

Schitele de principiu ale unor scheme electrice pentru alimentare a unui DPP unidirecțional, utilizîndu-se elemente de comutație statică sunt prezentate în figurile 5.5 și 5.6.

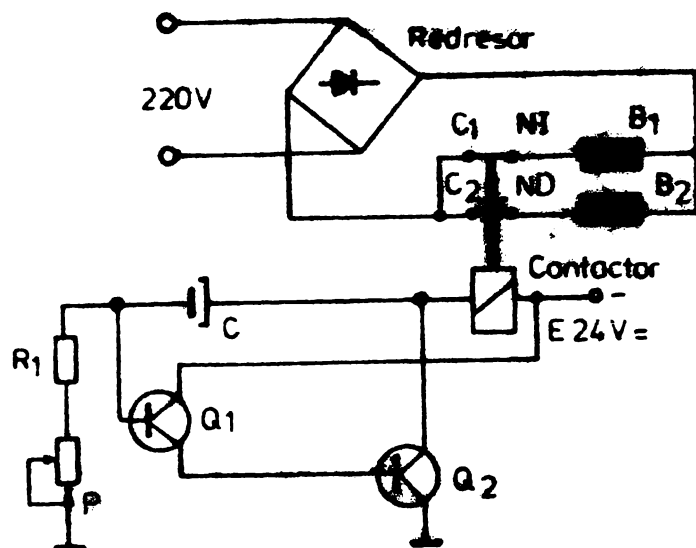


Fig.5.4. Schemă electrică cu reglaj în buclă deschisă pentru alimentarea unui DPP bidirectional.

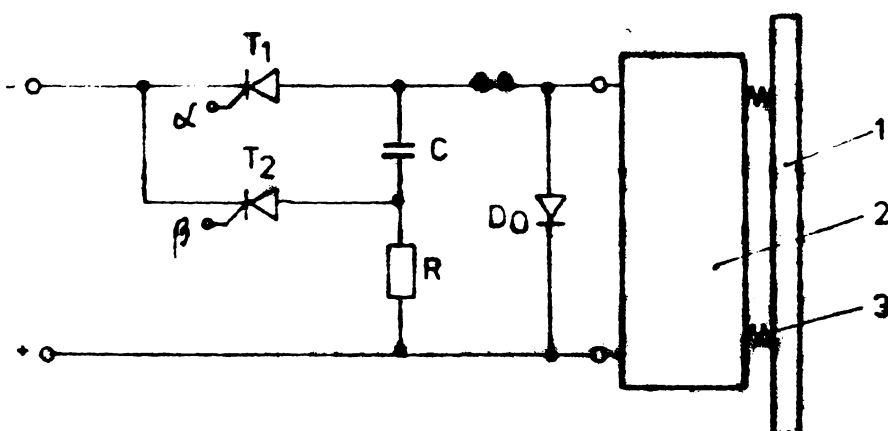


Fig.5.5. Schemă electrică de alimentare a unui DPP, cu reglaj în buclă deschisă, utilizând elemente de comutare stătice (thyristoare):

1. Armătură mobilă; 2. Armătură fixă; 3. Rezistor antagoniste; D<sub>0</sub> - Diodă de limitare a supratensiunilor de comutare; C - Condensator; R - rezistor; T<sub>1</sub>, T<sub>2</sub> - thyristoare; α, β - racorduri electrice la circuitul de comandă a thyristoarelor.

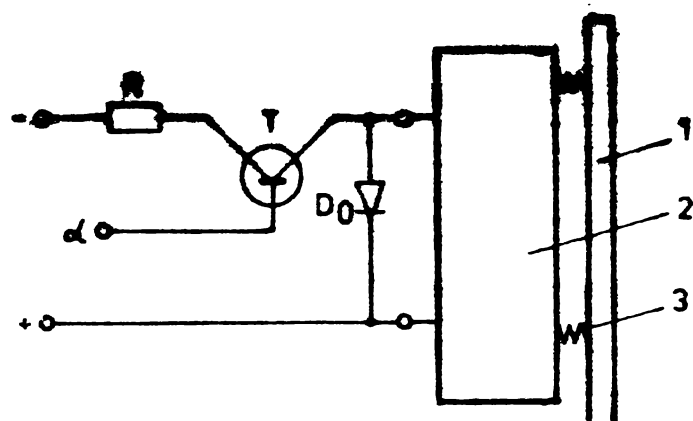


Fig.5.6. Schemă electrică de alimentare a unui DPP, cu reglaj în buclă deschisă, utilizând elemente de comutare statică (tranzistor).

1. Armătură mobilă; 2. Armătură fixă; 3. Resoarte antagoniste;  $D_0$  - Diodă de limitare a supratensiunilor de comutare; T - Tranzistor; R - rezistor de limitare a curentului;  $\alpha$  - raccord electric la circuitul de comandă al tranzistorului.

In figura 5.5 tiristoarele  $T_1$ ,  $T_2$  sunt comandate succesiv de la o schemă de comandă prin racordurile  $\alpha$  și  $\beta$ . În intervalul de timp în care este comandat tiristorul  $T_1$  dispozitivul electromagnetic este alimentat, armătura fiind atrasă. Totodată se încarcă condensatorul C. În succesiunea următoare, tiristorul  $T_2$  este comandat, fapt care face ca tensiunea de pe condensator să se aplique în sens invers pe tiristorul  $T_1$ , blocîndu-l și oprind alimentarea bobinei electromagneticului pentru un anumit interval de timp, în care armătura mobilă, sub acțiunea resoartelor antagoniste revine în poziția de repaus. Fenomenul se repetă cu o frecvență dată de circuitul de comandă a tiristoarelor. Schema se comportă ca un circuit bistabil, puterile comandate putind fi însă mult mai mari decât cele corespunzătoare circuitelor basculante bistabile realizate cu elemente clasice (tuburi electronice, transistoare, ferite, etc.).

In figura 5.6 DPP este alimentat în intervalurile de timp în care tranzistorul T este comandat prin racordul  $\alpha$  de la circuitul de comandă. Frecvența oscilațiilor armăturii mobile 1 depinde de frecvența impulsurilor de comandă pe care le primește tranzistorul T. Puterea comandată este limitată de tranzistorul T.

In figura 5.7 este prezentată o schemă electrică de principiu cuprinzînd elemente de comutare statică (tiristoare) pentru alimentarea unui DPP bidirectional.

Pentru realizarea unei astfel de alimentări pot fi realizate și scheme electrice cu transistoare, una dintre acestea fiind reprezentată în fig.5.8.

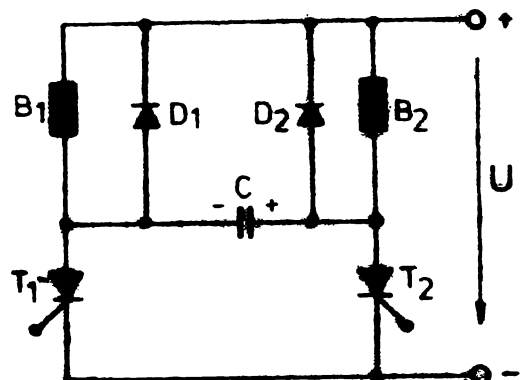


Fig.5.7. Schema electrică cu comutare statică (circuit bistabil de putere) pentru alimentarea unui DPP bidirecțional:

B<sub>1</sub>, B<sub>2</sub> - bobinele electromagnetelor DPP;  
D<sub>1</sub>, D<sub>2</sub> - diode; T<sub>1</sub>, T<sub>2</sub> - tranzistoare de putere;  
C - condensator; U - tensiunea de alimentare a DDP.

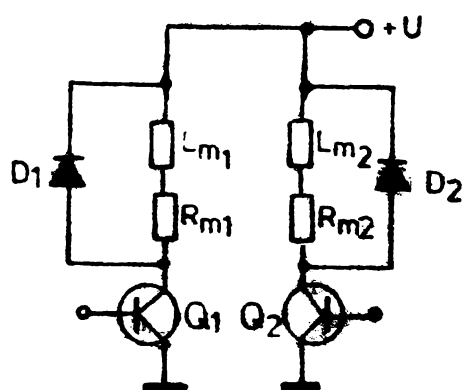


Fig.5.8. Schema electrică cu tranzistoare pentru alimentarea unui DPP bidirecțional:

Q<sub>1</sub>, Q<sub>2</sub> - tranzistoare; L<sub>m1</sub>, R<sub>m1</sub>, L<sub>m2</sub>, R<sub>m2</sub> - parametri electrici ai bobinelor DPP; D<sub>1</sub>, D<sub>2</sub> - diode; U - tensiunea de alimentare a DPP.

Comandind cele două tranzistoare cu semnale date de un circuit astabil, obținem un circuit basculant de putere. Tranzistoarele  $Q_1$  și  $Q_2$  funcționează în fapt ca amplificatoare de curent, alimentând consecutiv cele două bobine ale DPP, reprezentate prin inductivitățile  $L_m$  și rezistențele  $R_m$  ale înfășurărilor.

#### 5.4. Scheme electronice de comandă și alimentări cu energie electrică a DPP.

Deoarece alimentarea DPP este avantajos să fie realizată cu ajutorul unor scheme electrice cu comutație statică, sunt necesare scheme electronice care să furnizeze semnale pentru comanda elementelor de comutație statică (tiristoare, tranzistoare).

În figura 5.9 este prezentată schema unui circuit de comandă cu impulsuri de tensiune de frecvență reglabilă a schemelor de comutație cu tiristoare și tranzistoare prezentate în figurile 5.4 ... ... 5.8.

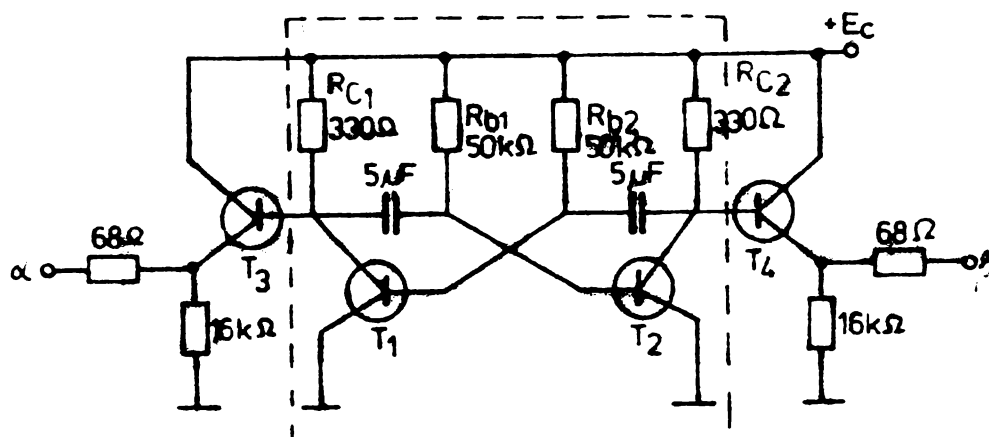


Fig.5.9. Schemă electrică de comandă formatoare de impulsuri de tensiune de frecvență reglabilă.

Schma de comandă își bazează funcționarea pe circuitul basculant astabil (CBA) delimitat în figură prin cenușarul cu linie înterruptă. Elementele schemei sunt dimensionate pentru obținerea la ieșirile  $\alpha$  și  $\beta$  a unor impulsuri successive cu frecvențe de 3 - 15 Hz. Reglarea frecvenței impulsurilor se realizează prin reglarea rezistorilor  $R_1$ ,  $R_2$ . Tranzistoarele  $T_3$  și  $T_4$  constituie etaje de separare (repetor pe emitor) între CBA și elementele comandate. Această schma face parte din categoria oscilatoarelor de relaxare, reprezentând un circuit basculant cu două stări instabile, trecerea dintr-o stare la alta făcându-se automat și cu o frecvență determinată de valorile constructive ale elementelor.

Intr-o asemenea schma se impune ca cele două tranzistoare să fie identice, iar rezistențele și coniensiatoarele să se afle în

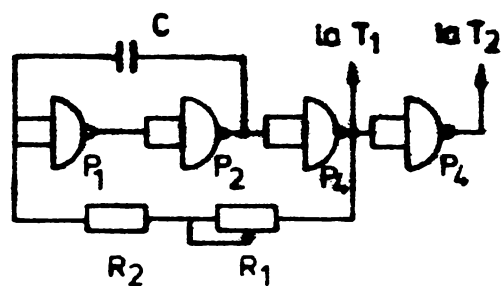
următoarele reperturi:

$$C_1 = C_{e1} + R_{b1} \cdot R_{c1} \quad (5.3)$$

Circuitul funcționează în felul următor: În consecință sarcinii de alimentare  $E_c$ , cele două condensatoare  $C_1$  și  $C_2$  vor începe simultan să se încarce prin  $R_{c1}$ ,  $R_{c2}$ ; mai precis, condensatorul  $C_1$  se va încărca de la  $+ E_c$  prin  $R_{c1}$ , rezistența bază-emitor a tranzistorului  $T_2$ , la  $- E_c$ , iar  $C_2$  de la  $+ E_c$  prin  $R_{c2}$ , rezistență bază-emitor a tranzistorului  $T_1$ , la  $- E_c$ . Datorită faptă nesimetriei elementelor constructive, curentul de colector al unuia dintre tranzistori va deveni mult mai mare decât al celuilalt, producindu-se o intrare în saturatie a unui tranzistor, în timp ce celălalt se blochează. Dacă considerăm pentru început că tranzistorul  $T_1$  conduce (este în saturatie), iar  $T_2$  este blocat, având în vedere că tensiunea între colectorul și emitorul tranzistorului  $T_1$  este aproximativ zero, rezultă din această situație că se va realiza o „comutare” a încărcării condensatorului  $C_1$ , care va ajunge cu armătura din stînga la potențialul masei. Condensatorul  $C_1$  începe să se descarcă prin  $R_{b1}$  aplicînd în același timp la baza lui  $T_2$  un potențial negativ, fapt ce va permite menținerea în stare de blocare a lui  $T_2$ . În tot acest interval de timp  $C_2$  se menține încărcat la potențialul lui  $E_c$ , încărcarea realizîndu-se prin  $+ E_c$ ,  $R_{e2}$ ,  $C_2$ , rezistență bază-emitor a tranzistorului  $T_1$ , la  $- E_c$ . După descărcarea completă a lui  $C_1$ , acesta începe să se încarce cu o polaritate diferită față de cea inițială. Pe parcursul încărcării, la un anumit moment valoarea tensiunii pe  $C_1$  devine egală cu valoarea de deschidere a joncțiunii bază-emitor a tranzistorului  $T_2$ . În această situație  $T_2$  se deschide, iar variația de tensiune negativă de pe colectorul  $T_2$  se transmite prin  $C_2$  la baza lui  $T_1$  care se blochează. La rîndul său  $C_2$  se descarcă prin  $R_{b2}$ , aplicînd în același timp la baza lui  $T_1$  un potențial negativ, menținîndu-l blocat. În continuare, după descărcarea completă,  $C_2$  începe să se încarce la polaritatea inițială, procesul reluîndu-se ca mai înainte. Acest mecanism de blocare-deblocare a tranzistoarelor se face cu o frecvență determinată de valoarea elementelor  $C_1$ ,  $C_2$ ,  $R_{b1}$ ,  $R_{b2}$ , precum și de valoarea tensiunii de alimentare.

Forma semnalului ce se poate culege între colectorul urmăruînd tranzistor și masă este dreptunghiulară, duocare curentul variat brusc prin tranzistor.

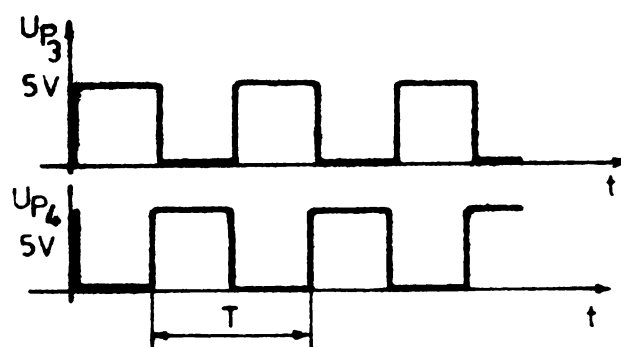
Blocul de comandă al schemei de alimentare cu tiristoare poate fi realizat și cu componente integrate logice. Schema următoare astfel de circuit de comandă a tiristoarelor este prezentată în fig.5.10.



**Fig.5.10. Generator de impulsuri drept-unghiulare (din poărți SI-HU).**

Impulsurile de tact ce determină frecvența comutărilor sunt date de poărțile „SI-HU”  $P_1$ ,  $P_2$ ,  $P_3$ . Semnalul la ieșire va fi drept-unghiular, reprezentat în fig.5.11, perioada impulsurilor determinându-se cu relația:

$$T = \frac{1}{3RC} \quad (5.2)$$



**Fig.5.11. Semnale obținute la ieșirea circuitului de comandă format cu componente integrate logice.**

Semnalul de pe poarta  $P_3$  este folosit pentru comanda unui tiristor, iar prin negativarea lui pe poarta  $P_4$  este folosit și pentru comanda celuilalt tiristor.

## Capitolul 6.

### REALIZARI SI INCERCARI EXPERIMENTALE.

#### 6.1. Proiectarea, construcția și incercarea unui DPP unidirecțional.

A fost proiectat și executat un model experimental de DPP unidirecțional pentru verificarea principiilor de funcționare expuse la capitolul 2 și a considerațiilor teoretice de analiză și de proiectare prezentate în capitolele 3 și 4.

##### 6.1.1. Proiectarea și construcția electromagnetului de acționare a DPP.

Datele initiale pentru proiectarea electromagnetului de acționare a DPP au fost următoarele:

- Cursa electromagnetului:  $x = 2 \cdot 10^{-3}$  m;
- Sarcina la armătura mobilă:  $F_r = 20$  N;
- Timpul de anclansare:  $t_a = 17 \cdot 10^{-3}$  s;
- Currentul maxim admisibil:  $I_a = 2,5$  A;

S-a ales tipul constructiv de electromagnet "în manta", circuitul magnetic fiind confectionat din OL 37, având permeabilitatea magnetică relativă (nesaturat)  $\mu_r = 1500$ .

In tabela 6.1 se dă curba de magnetizare  $B = f(H)$  a materialului folosit pentru construcția miezului electromagnetului.

Tabel 6.1.

$H / A/m$	0,1	0,2	0,3	0,4	0,5	0,6	0,7	0,8	0,9
$B / T$	1	1,4	1,8	2,1	2,5	2,45	3,45	4,05	4,6
$H / A/m$	1	1,1	1,2	1,3	1,4	1,5	1,6	1,7	1,8
$B / T$	0,7	0,9	1,45	10,8	14,9	22,7	40	70,5	119
$H / A/m$	1,9	2	2,1	2,2	2,3	2,4			
$B / T$	108	210	460	-	-	-			

Calculul preliminar al electromagnetului se realizează conform metodei de proiectare prezentată la paragraful 4.3.

Astfel, prin considerarea unei variații liniare a accelerării pe parcursul regimului dinamic:

$$a = \gamma \cdot t \quad (6.1)$$

avind în vedere datele de proiectare, conform ecuațiilor (4.12), (4.13), și (4.14) se obțin pentru acceleratie, viteză și spațiu, la sfîrșitul cursei de anclansare, valorile:

$$a_2 = 41,6 \text{ m/s}^2 ; \quad v_2 = 0,354 \text{ m/s} ; \quad x_2 = 2 \cdot 10^{-3} \text{ m} \quad (6.2)$$

Din considerente legate de încercarea electromagnetului se alege pentru întrefierul minim valoarea  $\delta_{\min} = 2 \cdot 10^{-3} \text{ m}$ , astfel încât și la încheierea cursei de anclansare să existe posibilitatea menținerii în întrefier a unei sonde Hall. Rezultă pentru întrefierul maxim valoarea:

$$\delta_{\max} = \delta_{\min} + x = 4 \cdot 10^{-3} \text{ m} \quad (6.3)$$

Se alege valoarea inducției la suprafața polilor la încheierea cursei de anclansare:

$$B_0 \delta_{\min} = 0,26 \text{ T} \quad (6.4)$$

S-a ales o valoare relativ mică pentru inducție din consideren-  
tul ca miezul electromagnetului să rămînă nesaturat și la valori ale  
întrefierului sub  $2 \cdot 10^{-3} \text{ m}$ .

Alegînd pentru fereastra electromagnetului dimensiunea  $l = 50 \cdot 10^{-3} \text{ m}$ , l fiind conform figurii 3.26, din ecuația (4.25) se ob-  
ține aria unui pol al electromagnetului:

$$S = 18,1 \cdot 10^{-4} \text{ m}^2 \quad (6.5)$$

Din cerințe constructive, privind amplasarea dispozitivului de  
însunare a oscilațiilor armăturii mobile, se alege:

$$d_1 = 30 \cdot 10^{-3} \text{ m} \quad (6.6)$$

Din ecuațiile (4.18)...(4.22) se obține:

$$\begin{aligned} d_2 &= \sqrt{\frac{4}{\pi} S + d_1^2} = 57 \cdot 10^{-3} \text{ m} \\ d_3 &= d_2 + 2 \cdot l = 157 \cdot 10^{-3} \text{ m} \\ d_4 &= \sqrt{\frac{4}{\pi} S + d_3^2} = 164 \cdot 10^{-3} \text{ m} \end{aligned} \quad (6.7)$$

Conform ecuației (3.212) se calculează "umflarea" fluxului prin-  
cipial în întrefier:

- a) pentru întrefierul minim ( $\delta_{\min} = 2 \cdot 10^{-3} \text{ m}$ ) ;  
- pentru polul interior:

$$\Delta \delta_{\min} = 3 + 2 \cdot \delta_{\min} \cdot \frac{d_1 + d_2}{d_1} + \frac{\delta_{\max}^2}{\delta_{\min}} = 19,52 \cdot 10^{-4} \text{ m}^2 \quad (6.8)$$

- pentru polul exterior:

$$A_2 \delta_{\min} = S + 2 \cdot \delta_{\min} \cdot \frac{d_3 + d_4}{2} + \frac{\delta_{\min}^2}{2} = 24,58 \cdot 10^{-4} \text{ m}^2 \quad (6.9)$$

b) pentru întrefierul maxim ( $\delta_{\max} = 4 \cdot 10^{-3} \text{ m}$ ):

- pentru polul interior:

$$A_1 \delta_{\max} = S + 2 \cdot \delta_{\max} \cdot \frac{d_1 + d_2}{2} + \frac{\delta_{\max}^2}{2} = 21,74 \cdot 10^{-4} \text{ m}^2 \quad (6.10)$$

- pentru polul exterior:

$$A_2 \delta_{\max} = S + 2 \cdot \delta_{\max} \cdot \frac{d_3 + d_4}{2} + \frac{\delta_{\max}^2}{2} = 31,1 \cdot 10^{-4} \text{ m}^2 \quad (6.11)$$

Rezultă conform ecuației (4.22) diametrul  $d_5$  al armăturii mobile:

$$d_5 = \frac{2 A_2 \delta_{\max}}{\pi (d_3 + d_4)} + \frac{d_3 + d_4}{2} = 167 \cdot 10^{-3} \text{ m} \quad (6.12)$$

Se alege, acoperitor:

$$d_5 = 180 \cdot 10^{-3} \text{ m} \quad (6.13)$$

Conform relației (4.23) se calculează grosimea  $g$  a armăturii mobile:

$$g = \frac{S}{\pi d_2^2} = 1 \cdot 10^{-2} \text{ m} \quad (6.14)$$

Considerând densitatea materialului armăturii mobile:

$$\rho_v = 7,8 \cdot 10^3 \text{ kg/m}^3 \quad (6.15)$$

rezultă conform relației (4.24) masa armăturii mobile:

$$m = \rho_v \cdot \frac{\pi}{4} (d_5^2 - d_1^2) \cdot g = 1,94 \text{ kg} \quad (6.16)$$

Se calculează cu ajutorul relației (4.26) valoarea  $\phi_{lp}$  a fluxului principal din întrefier în momentul începerii deplasării armăturii mobile (pentru întrefierul  $\delta_{\max} = 4 \cdot 10^{-3} \text{ m}$ ):

$$\phi_{lp} = \sqrt{\frac{\frac{2 \mu_0 F_{ro}}{1}}{\frac{A_1 \delta_{\max}}{1} + \frac{A_2 \delta_{\max}}{1}}} = 2,54 \cdot 10^{-4} \text{ Wb} \quad (6.17)$$

Pentru calculul numărului de spire ale infășurării electromagnetului se determină în prealabil:

a) permovația de disperzie între polii electromagnetului,  $\lambda_s$ ,

care conform ecuației (3.215) este:

$$\lambda_s = 2\pi \frac{\mu_0}{\ln \frac{d_2 + 2\ell}{d_2}} = 7,8 \cdot 10^{-6} \text{ H/m} \quad (6.18)$$

b) mărimile:  $\alpha_{\delta_{\max}}$  și  $\alpha_{\delta_{\min}}$  care conform ecuației (3.213) sunt:

$$\alpha_{\delta_{\max}} = \frac{1}{\mu_0} \left( \frac{1}{A_{1\delta_{\max}}} + \frac{1}{A_{2\delta_{\max}}} \right) = 6,22 \cdot 10^8 / \text{H.m}^{-1} \quad (6.19)$$

$$\alpha_{\delta_{\min}} = \frac{1}{\mu_0} \left( \frac{1}{A_{1\delta_{\min}}} + \frac{1}{A_{2\delta_{\min}}} \right) = 7,26 \cdot 10^8 / \text{H.m}^{-1}$$

și  $p_{\delta_{\max}}$ , respectiv  $p_{\delta_{\min}}$ , care conform ecuației (3.221) sunt:

$$p_{\delta_{\max}} = \sqrt{\alpha_{\delta_{\max}} \cdot \lambda_s} = 69,6 / \text{H.m}^{-1} \quad (6.20)$$

$$p_{\delta_{\min}} = \sqrt{\alpha_{\delta_{\min}} \cdot \lambda_s} = 75,2 / \text{H.m}^{-1}$$

c) permeanța  $\lambda_{\delta_{\max}}$  a intrefierului la începutul cursei ( $\delta = \delta_{\max}$ ) care conform ecuației (3.237) este:

$$\lambda_{\delta_{\max}} = \frac{\lambda_s}{p_{\delta_{\max}}} \cdot \frac{1}{\sin(p_{\delta_{\max}} \cdot \delta_{\max})} = 0,402 \cdot 10^{-6} \text{ H} \quad (6.21)$$

Se calculează cu ajutorul relației (4.28) numărul  $N_c$  de spire ale înfășurării electromagnetului:

$$N_c = \frac{\phi_{1p}}{\lambda_{\delta_{\max}} \cdot i_1} = 287 \text{ spire} \quad (6.22)$$

unde s-a ales  $i_1 = 2,2 \text{ A} < I_c = 2,5 \text{ A}$  (6.23)

Datorită faptului că pe parcursul deplasării arăturii zobile a electromagnetului currentul are tendință să scadă, se poate considera că  $i_1$  este valoarea maximă a currentului în circuit, astfel încit dimensiunea circuitului electric să se facă funcție de această valoare.

Alegind cuprul pentru confectionarea bobinajului electromagnetului și densitatea admisibilă de curent:

$$j_a = 2,0 \cdot 10^6 \text{ A/m}^2 \quad (6.24)$$

rezultă secțiunea  $a_{sp}$  a spirei:

$$\frac{i_1}{j_a} = 0,11 \cdot 10^{-3} \text{ m}$$

Așadar înfășurarea se confectionează din firă de cupru de diametru:

$$d_{sp} = 1 \cdot 10^{-3} \text{ m} \quad (6.26)$$

Considerind pentru bobinaj un factor de umplere:

$$k_u = 0,455$$

rezultă conform relației (4.30) secțiunea bobinajului:

$$Q_{bob} = N \cdot q_{sp} \frac{1}{k_u} = 500 \cdot 10^{-6} \text{ m}^2 \quad (6.27)$$

Având în vedere relația:

$$Q_{bob} = h_b \cdot \ell / \text{m}^2, \quad (6.28)$$

precum și valoarea aleasă pentru  $\ell$ , se obține înălțimea ferestrei electomagnetului:

$$h_b = \frac{Q_{bob}}{\ell} = 1 \cdot 10^{-2} \text{ m} \quad (6.29)$$

Bobinajul se confectionează cu  $n = 42$  spire pe un strat și cu  $m = 7$  straturi, rezultând așadar numărul real de spire:

$$N = 294 \text{ spire} \quad (6.30)$$

Rezistența electrică a bobinajului electomagnetului  $R_{bob}$  este:

$$R_{bob} = \rho_{Cu} \frac{N \cdot \pi \cdot d_{bob}}{q_{sp}} \quad (6.31)$$

unde:

$$\rho_{Cu} = 1,78 \cdot 10^{-8} \Omega \cdot \text{m} \quad (6.32)$$

este rezistivitatea conductorului de cupru, în stare rece.

$$d_{bob} = \frac{d_2 + d_3}{2} = 107 \cdot 10^{-3} \text{ m} \quad (6.33)$$

Este diametrul mediu al bobinajului, rezultând:

$$R_{bob} = 2,22 \Omega. \quad (6.34)$$

Schită reprezentând principalele dimensiuni constructive ale electomagnetului proiectat, este prezentată în figura 6.1.

Electromagnetul de acționare a DPP unidirectional, construit conform schitei, este prezentat în figura 6.2.

Se calculează, conform metodicii prezentate la paragraful 3.5. cele principalele valori ale fluxului electomagnetului, la întrefier  $\omega = 1000 \text{ rad} \cdot \text{s}^{-1}$ . În momentul începerii cursui de anclanșare:

a) fluxul la intrarea în armătura mobilă:

$$\emptyset_{\text{fmax}} = \lambda_{\text{fmax}} \cdot N \cdot i_1 = 2,59 \cdot 10^{-4} \text{ wb} \quad (6.35)$$

Se observă că  $\emptyset_{\text{fmax}}$  diferă de valoarea  $\emptyset_{\text{lp}}$  a aceluiasi flux, folosită în proiectare, datorită ajustării numărului real de spire la 294 față de 290 cît rezultă din calcul.

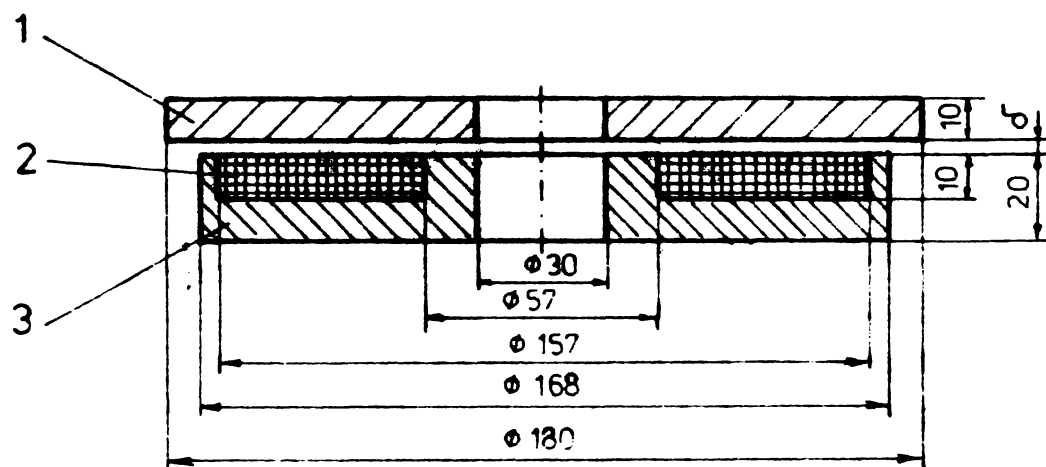
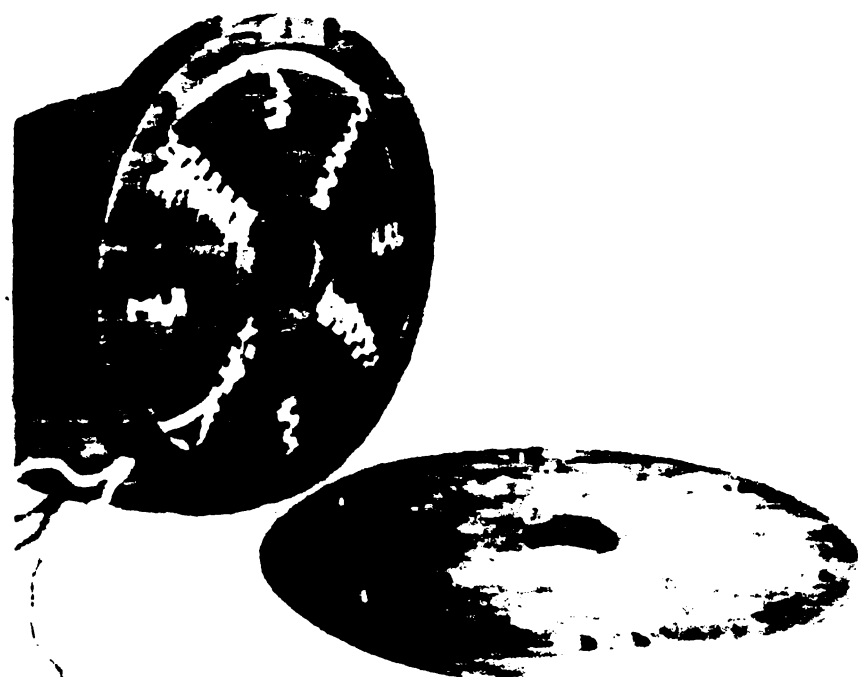


Fig.6.1. Dimensiunile constructive ale electromagnetului de acționare a DPP unidirecțional:

1 - Armătura mobilă; 2 - Bobinaj; 3 - Armătura fixă.



... este... cale de acționare a DPP unidirecționali.

b) Fluxul la ieșirea din polul electromagneticului:

$$\Phi_{\text{e} \max} = \lambda_0 \cdot \mathcal{S}_{\max} \cdot N \cdot i_1 = 2,73 \cdot 10^{-4} \text{ Wb} \quad (6.38)$$

unde permeanța de calcul  $\lambda_0 \cdot \mathcal{S}_{\max}$  este:

$$\lambda_0 \cdot \mathcal{S}_{\max} = \frac{p \cdot \mathcal{S}_{\max}}{\alpha \cdot \mathcal{S}_{\max}} \operatorname{cth}(p \cdot \mathcal{S}_{\max} \cdot \mathcal{S}_{\max}) = 4,25 \cdot 10^{-7} \text{ H} \quad (6.39)$$

c) Fluxul cîmpului care intră din jug în polul central:

$$\Phi_1 \cdot \mathcal{S}_{\max} = \lambda_y \cdot \mathcal{S}_{\max} \cdot N \cdot i_1 = 3 \cdot 10^{-4} \text{ Wb} \quad (6.40)$$

unde permeanța de calcul  $\lambda_y \cdot \mathcal{S}_{\max}$ , conform ecuației (3.244) este:

$$\lambda_y \cdot \mathcal{S}_{\max} = \lambda_0 \cdot \mathcal{S}_{\max} \cdot \frac{\lambda_s}{2} h_b = 4,64 \cdot 10^{-7} \text{ H} \quad (6.41)$$

Se pot calcula valorile inducției electomagneticice în diferite puncte ale circuitului magnetic:

a) la intrarea în armătura mobilă:

- în dreptul polului interior:

$$B_1 \cdot \mathcal{S}_{\max} = \frac{\Phi \cdot \mathcal{S}_{\max}}{A_1 \cdot \mathcal{S}_{\max}} = 0,118 \text{ T} \quad (6.42)$$

- în dreptul polului exterior:

$$B_2 \cdot \mathcal{S}_{\max} = \frac{\Phi \cdot \mathcal{S}_{\max}}{A_2 \cdot \mathcal{S}_{\max}} = 0,0826 \text{ T} \quad (6.43)$$

b) la ieșirea din polii electromagneticului:

$$B_0 \cdot \mathcal{S}_{\max} = \frac{\Phi \cdot \mathcal{S}_{\max}}{S} = 0,151 \text{ T} \quad (6.44)$$

c) la trecerea din jug în polul central:

$$B_y \cdot \mathcal{S}_{\max} = \frac{\Phi_1 \cdot \mathcal{S}_{\max}}{S} = 0,166 \text{ T} \quad (6.45)$$

Se estimează, prin calcul, valoarea  $i_2$  a curentului la încheierea cursei de anclansare, utilizîndu-se în acest scop relația (4.33):

$$i_2 = \frac{B_0 \cdot \mathcal{S}_{\min} \cdot S}{\lambda_0 \cdot \mathcal{S}_{\min} \cdot N} = 2,20 \text{ A} \quad (6.46)$$

unde permeanța de calcul  $\lambda_0 \cdot \mathcal{S}_{\min}$  rezultă din relația (3.231):

$$\lambda_{0, \delta_{\min}} = \frac{p_{\delta_{\min}}}{\alpha_{\delta_{\min}}} \operatorname{cth}(p_{\delta_{\min}} \cdot \delta_{\min}) = 7,50 \cdot 10^{-7} \text{ H} \quad (6.47)$$

**Impunem, din considerante funcționale, ca timpul  $t_1$  în care curentul crește de la valoarea zero la valoarea de acționare  $i_1 = 2,2 \text{ A}$  să fie:**

$$t_1 = 8 \cdot 10^{-3} \text{ s.} \quad (6.48)$$

Constanta de timp se calculează cu relația:

$$T = \frac{L}{R} \quad (6.49)$$

Rezistența R este alcătuită din rezistența înfășurării  $R_{\text{bob}}$  la care se adaugă rezistența de măsură  $R_m$ , inseriată cu bobina, a cărei valoare o alegem:

$$R_m = 2,50 \text{ } \Omega. \quad (6.50)$$

Obținem:

$$R = R_{\text{bob}} + R_m = 4,72 \text{ } \Omega. \quad (6.51)$$

Avind în vedere tipul constructiv și dimensiunile electromagneteului, inductivitatea se calculează cu relația (3.288), în care  $\delta = 4 \cdot 10^{-3} \text{ m}$ , obținind:

$$L = \left( \frac{p}{\alpha} \operatorname{cth} p \delta + \frac{\lambda_h \cdot \pi \cdot d_2}{12} + \frac{\lambda_s \cdot h_b}{3} \right) N^2 = 4,65 \cdot 10^{-2} \text{ H} \quad (6.52)$$

unde  $\lambda_h$ , conform (3.279) este:

$$\lambda_h = \frac{\mu_0 \cdot l}{h_b + \delta} = 44,8 \cdot 10^{-7} \text{ H} \cdot \text{m}^{-1} \quad (6.53)$$

Rezultă:

$$T = 9,85 \cdot 10^{-3} \text{ s.} \quad (6.54)$$

Se calculează tensiunea U necesară alimentării electromagnetului, astfel încât valoarea  $i_1 = 2,2 \text{ A}$  a curentului să se obțină după  $8 \cdot 10^{-3} \text{ s.}$

Din ecuația curentului pentru etapa I a regimului dinamic:

$$i = \frac{U}{R} \left( 1 - e^{-\frac{t}{T}} \right) \quad (6.55)$$

Obținem:

$$U = \frac{R_i}{1 - e^{-\frac{t}{T}}} = 19,4 \text{ V} \quad (6.56)$$

Valearea de referință permanentă a curentului la alimentarea cu tensiunea  $U = 19,4 \text{ V}$  este:

$$i_p = \frac{U}{R} = 4,1 A \quad (6.57)$$

Cu aceasta, toate elementele necesare construcției și funcționării electromagnetului în regim dinamic au fost determinate.

#### 6.1.2. Calculul parametrilor regimului dinamic de funcționare a electromagnetului.

Pentru a verifica valabilitatea metodei numerice de determinare a caracteristicilor regimului dinamic al unui electromagnet, prezentată la paragraful 3.5.9 se realizează o estimare prin calcul a comportării electromagnetului într-un anumit regim, care apoi se va verifica experimental. Se aleg două regimuri dinamice caracterizate prin următoarele date:

- întrefierul maxim:  $7 \cdot 10^{-3} m$
- întrefierul minim: 0
- forța rezistentă: 0
- constanta resortului:  $8000 N/m$
- tensiunea de alimentare:  $U_1 = 30 V$  și  $U_2 = 40 V$
- rezistență de măsură:  $3,75 \Omega$
- rezistență totală:  $R = 5,97 \Omega$
- masa armăturii mobile:  $1,94 kg$

care corespund unei funcționări în gol, în prezența unei forțe antagoniste creată de un resort, cele două regimuri diferind prin valoarea tensiunii de alimentare.

Se soluționează sistemul de ecuații 3.201, alegîndu-se pentru cele două regimuri dinamice considerate 5 respectiv 6 intervale de timp caracteristice.

Rezultatele calculului sunt prezentate în tabelele 6.2 și 6.3.

Tabela 6.2. Caracteristicile regimului dinamic pentru tensiunea de alimentare  $U_1 = 30 V$ .

$t / 10^{-3} s /$	$i / A /$	$\psi / Wb /$	$L / 10^{-2} H /$	$F / N /$	$a / m/s^2 /$	$v / m/s /$	$x / 10^{-3} m /$
5	3	0,105	3,5	56	29	0,072	0,18
10	4,2	0,148	3,53	112	52	0,274	1,04
15	4,22	0,172	4	151	65	0,566	3,14
20	2,68	0,218	8,13	243	95	0,966	6,88
20,2	1,40	0,217	16	255	98	1,005	7,073

**Tabela 6.3. Caracteristicile regimului dinamic pentru tensiunea de alimentare  $U_2 = 40$  V.**

$t / 10^{-3} \text{ s} /$	$i / A /$	$\psi / \text{mB} /$	$L / 10^{-2} \text{ H} /$	$P / \text{W} /$	$a / \text{m/s}^2 /$	$v / \text{m/s} /$	$x / 10^{-3} \text{ m} /$
3	2,9	0,094	3,25	47,7	24	0,036	0,052
6	4,15	0,151	3,63	116	60	0,159	0,345
9	4,95	0,190	3,84	184	92	0,384	1,159
11	4,95	0,211	4,26	227	110	0,586	2,30
13	4	0,237	5,94	285	135	0,831	3,71
16	1,91	0,306	16	477	215	1,356	7

### 6.1.3. Încercarea electromagnetului de acționare a DPP unidirecțional.

Pentru încercarea electromagnetului de acționare a DPP unidirecțional s-au folosit numeroase instalații, aparate și instrumente, prezentate în Anexa 3.

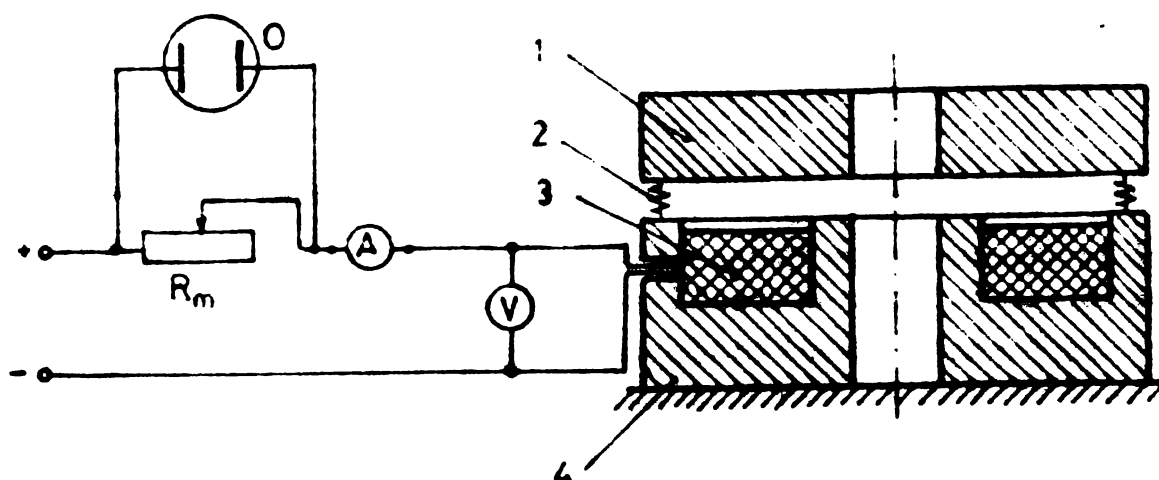
Încercările au fost efectuate de fiecare dată pentru un singur pas al acționării (atragerere a armăturii mobile).

#### 6.1.3.1. Încercări la mers în gol.

S-au efectuat încercări la mersul în gol al electromagnetului de acționare a DPP unidirecțional, măsurindu-se caracteristicile regimului dinamic al electromagnetului, în condițiile specificate la paragraful 6.1.2. Pentru tensiunea de alimentare  $U_1 = 30$  V curbele s-au notat cu "1", iar pentru tensiunea  $U_2 = 40$  V curbele s-au notat cu "2".

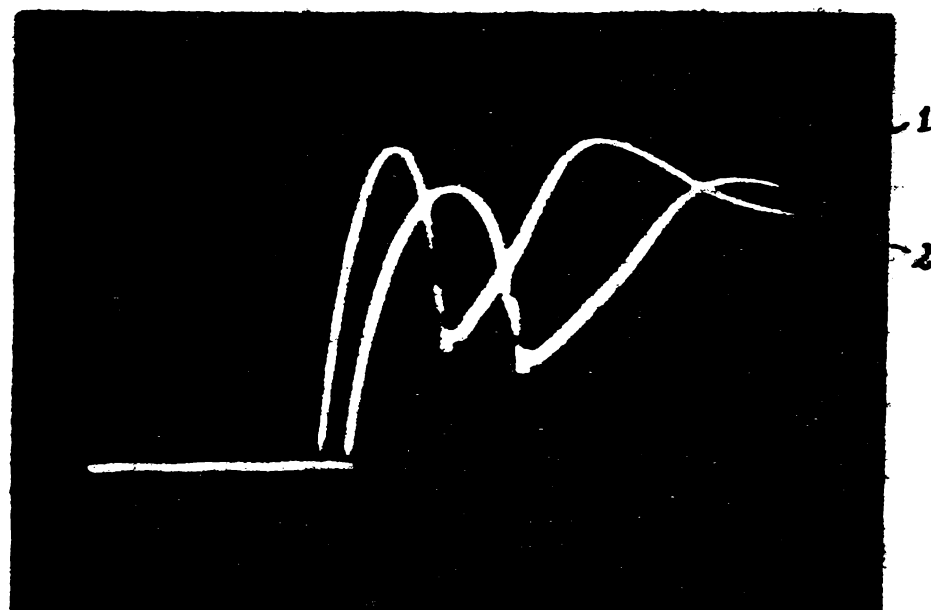
##### a) Caracteristica $i = f(t)$ .

Pentru înregistrarea caracteristicii  $i = f(t)$  s-a realizat montajul prezentat în fig.6.3:

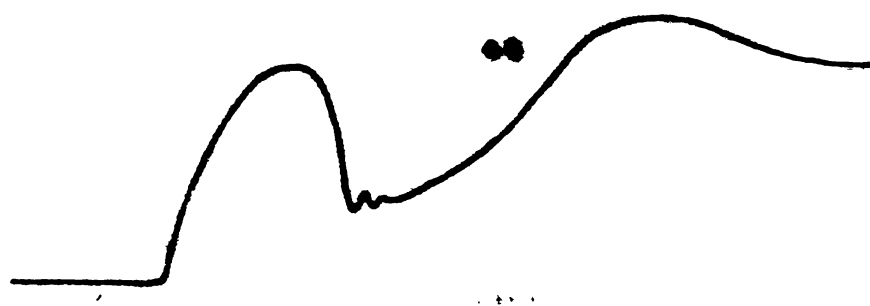


**Fig.6.3. Montajul pentru înregistrarea caracteristicii  $i=f(t)$ :**  
**1. Armătura mobilă; 2. Rezoarte; 3. Robinăj; 4. Armătura fixă;**  
**—— Istantanee epavilă; A—ampermetru; V—scilometru sau oscilograf.**

Inregistrări la osciloscop și oscilograf sunt prezentate în fig.6.4:



a.



b.

Fig.6.4. Oscilograme  $i = f(t)$ .

a) Fotografia înregistrării pe osciloscop;

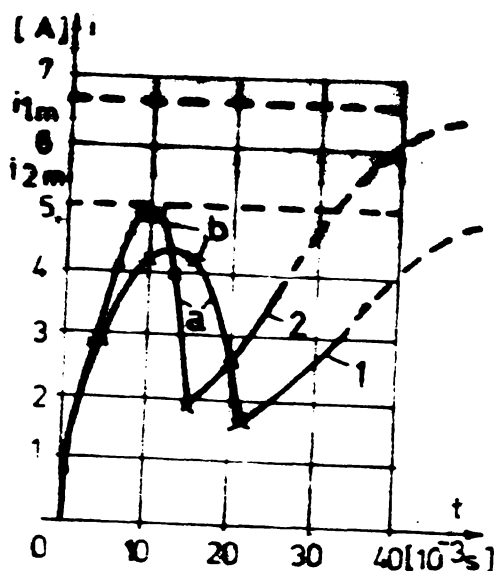
1.  $i=f(t)$  pentru  $U_1=30$  V; 2.  $i=f(t)$  pentru  $U_2=40$  V;

b) Înregistrare la oscilograf pentru  $U_1 = 30$  V.

Se constată că înregistrările  $i=f(t)$  sunt conforme cu curbele teoretice prezentate în figura 3.2.

Etalonarea curbelor s-a realizat avându-se în vedere scările de înregistrare pe ecranul osciloskopului: pentru curent  $C_I = 5$  V/cm și pentru timp  $C_T = 10$  ms/cm. Valoarea maximă a curentului a fost măsurată cu ajutorul ampermetrului A din figura 6.3.

În figura 6.5 sunt date comparativ curbele etalonate, precum și punctat, curbele care reprezintă variația curentului în regim dinamic, menționate în paragraful 3.1.2.



**Fig.6.5. Curbele  $i = f(t)$ .**

a) oscilografiate; b) puncte ale curbei anticipate prin calcul.

Se constată o bună corespondență a valorilor curentului anticipate prin calcul cu cele înregistrate.

Cunoscindu-se experimental variația în timp a curentului, conform metodicii grafoanalitice expuse la paragraful 3.5.8.7 se poate calcula variația în timp a celorlalte mărimi ce caracterizează regimul dinamic. Rezultatele calculului pentru unii parametri sunt prezentate în tabelele 6.4. și 6.5.

**Tabela 6.4. Parametri ai regimului dinamic pentru tensiunea de alimentare  $U_1 = 30$  V.**

$t / 10^3 \cdot s /$	$i / A /$	$R_t \cdot i / V /$	$\frac{d\psi}{dt} / V /$	$\psi / Wb /$
5	3	17,8	12,2	0,105
10	4,2	25	5	0,148
15	4,28	25,4	4,6	0,172
20	2,68	17,9	14,1	0,218
26,2	14	8,75	21,45	0,223

**Tabela 6.5. Parametri ai regimului dinamic pentru tensiunea de alimentare  $U_2 = 40$  V.**

$t / 10^3 \cdot s /$	$i / A /$	$R_t \cdot i / V /$	$\frac{d\psi}{dt} / V /$	$\psi / Wb /$
3	2,8	17,25	22,75	0,034
6	4,15	24,7	13,3	0,151
9	4,95	29,4	10,6	0,190
11	4,95	22,4	10,6	0,211
13	4	23,5	16,4	0,237
16	1,8	10,7	29,3	0,29

Conform tabelelor 6.4 și 6.5 se constată că metoda experimentală grafoanalitică conduce la valori ale parametrilor regimului dinamic identice cu cele anticipate prin calcul numeric.

b) Caracteristice  $\frac{d\psi}{dt} = f(t)$ .

Pentru înregistrarea caracteristicilor  $\frac{d\psi}{dt} = f(t)$  s-a folosit schema prezentată în figura 6.6:

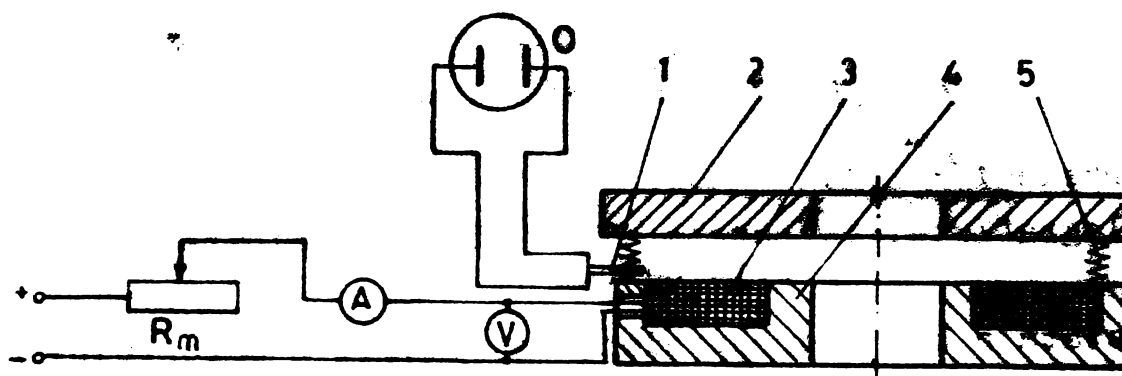


Fig.6.6. Schema pentru înregistrarea caracteristicilor  $\frac{d\psi}{dt} = f(t)$ .

1 - Bobină sondă; 2 - Armătura mobilă; 3 - Bobinaj; 4 - Armătura fixă; 5 - Resort; O - osciloscop cu memorie;  $R_m$  - rezistență adițională; A - ampermtru; V - voltmetru.

Fotografia înregistrării la osciloscop a caracteristicilor  $\frac{d\psi}{dt}$  este prezentată în figura 6.7:

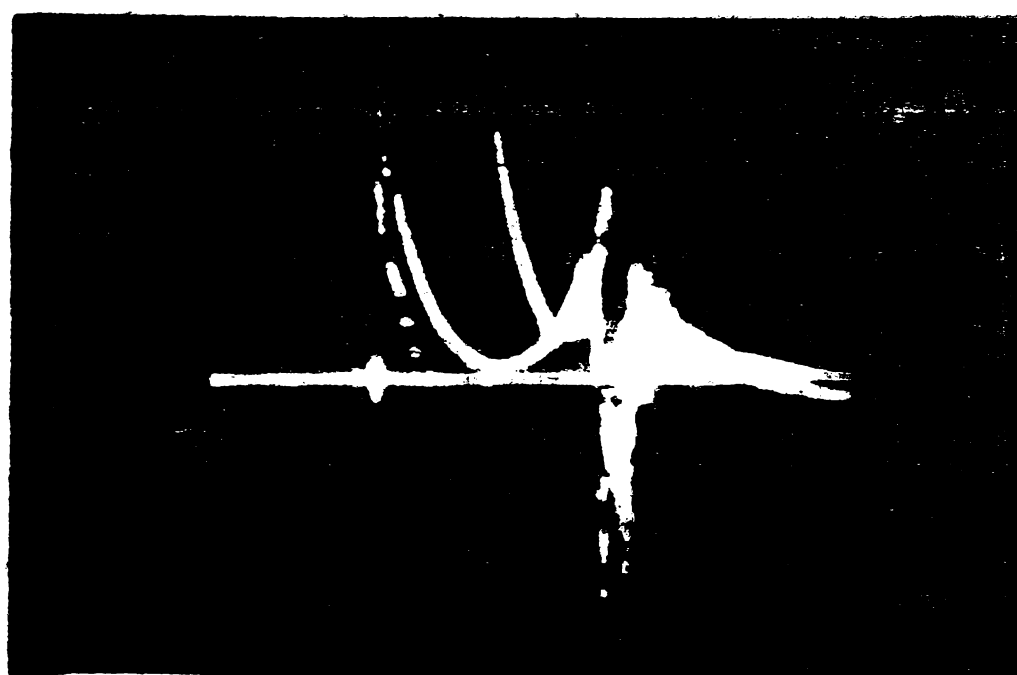


Fig. 6.7. oscilogrammele  $\frac{d\psi}{dt} = f(t)$  pentru  $U_1 = 30$  V și  $U_2 = 40$  V.

In figura 6.7 este reprezentată etalonarea curbelor înregistrate; totodată este prezentată prin puncte și curba  $\frac{d\psi}{dt} = f(t)$  rezultată din calculul efectuat pe baza cunoașterii variației în timp a curentului, conform metodei de la paragraful 3.5.8.7.

Etalonarea s-a făcut considerindu-se că în momentul conectării ( $t=0$ ), tensiunea induată  $\frac{d\psi}{dt}$  este egală cu tensiunea la borne.

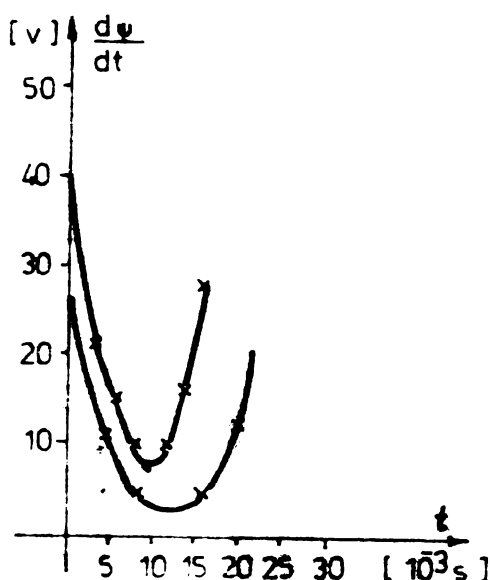


Fig.6.7' Etalonarea oscilogramelor.

Se constată o concordanță bună a curbelor înregistrate cu cele calculate, rezultând astăzi că pe baza cunoașterii variației în timp a curentului se poate determina și curba  $\frac{d\Phi}{dt} = f(t)$ , fără să mai fie strict necesară determinarea ei experimentală. Se verifică astfel utilitatea metodei de determinare a caracteristicilor regimului dinamic de funcționare a unui elektromagnet prezentată în paragraful 3.5.8.7.

c) Caracteristicile  $B_1 = f(t)$  și  $\psi = f(t)$ .

Pentru înregistrarea caracteristicii  $B_6 = f(t)$  s-a realizat schema prezentată în figura 6.8.

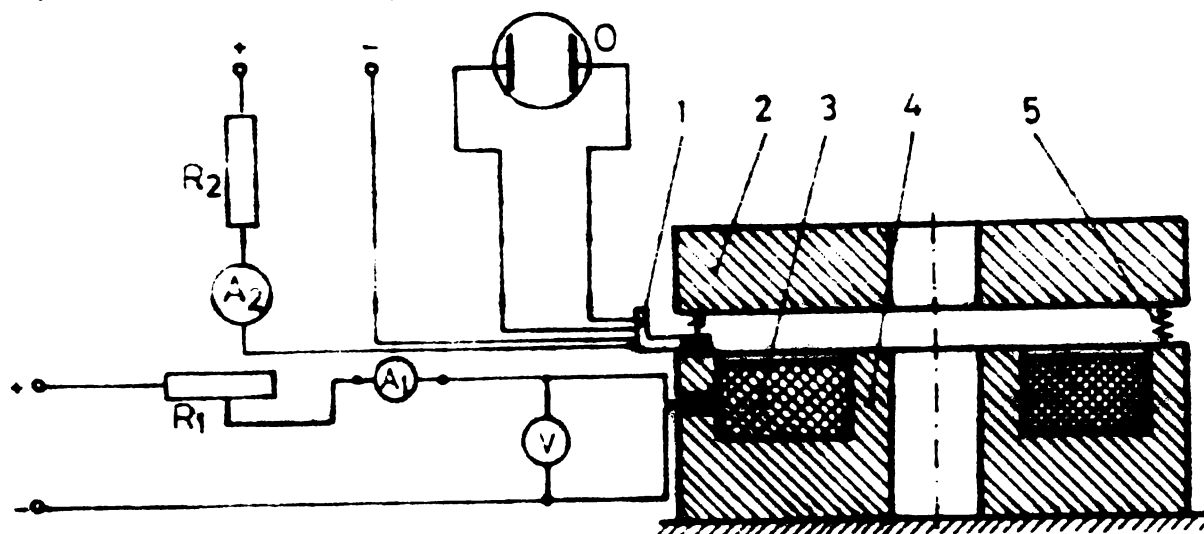
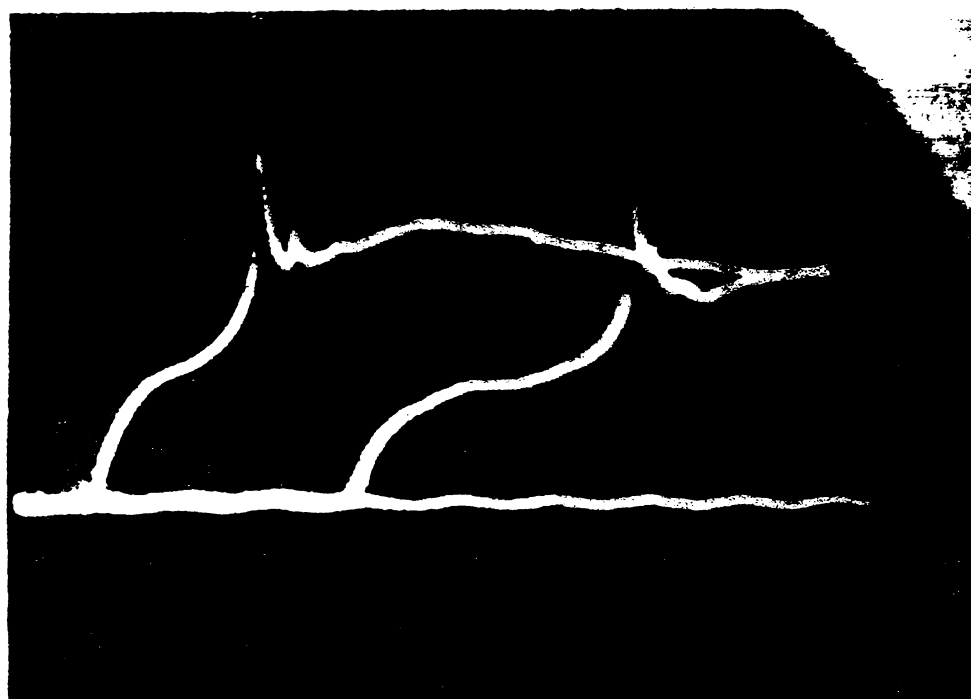


Fig. 1.1. Schema pentru înregistrarea caracteristicii  $\exists f = f(t)$ :

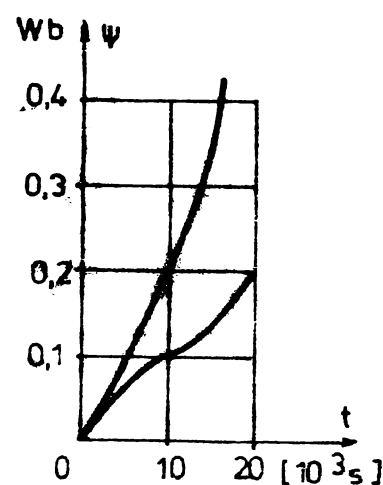
**R**-resistivitate; **C**-capacitate; **L**-inductivitate; **A**-amplificator; **V**-voltmetru.

Conform schemei, inducția măsurată  $B_J$  este inducție din întrefier. La altă scară, dependentă de dimensiunile circuitului magnetic, curba determinată reprezintă variația în timp a fluxului alternativului,  $\psi(t)$ .

În figura 6.9.a, se prezintă fotografiea înregistrării la osciloscop, iar în fig. 6.9.b sunt figurate pentru comparare curbele  $\psi = f(t)$  rezultate din calculul efectuat în paragraful 6.1.2.



a.



b.

Fig. 6.9. Oscilegramele  $B_J = f(t)$  (a);  
Curbele  $\psi = f(t)$  calculate (b).

Se constată o similaritate a formelor de variație în timp a inducției din întrefier și fluxului.

d) Caracteristicile  $a=f(t)$ ,  $v=f(t)$ ,  $x=f(t)$  și  
 $F = f(t)$ ,  $F = f(\_)$ .

Pentru măsurarea variației în timp a accelerării armăturii mobile a electromagnetului s-a folosit schema prezentată în figura 6.10.

Fotografia înregistrării pe osciloscop respectiv înregistrarea pe oscilograf sunt prezentate în figura 6.11.

În cazul considerat ecuația miscării armăturii se scrie sub forma:

$$F(t) = m \cdot a(t) + k_R x(t) \quad (6.58)$$

și deoarece se cunoaște  $a(t)$ , prin integrări succesive se pot determina viteza  $v(t)$  și spațiul  $x(t)$  și respectiv  $F(t)$ .

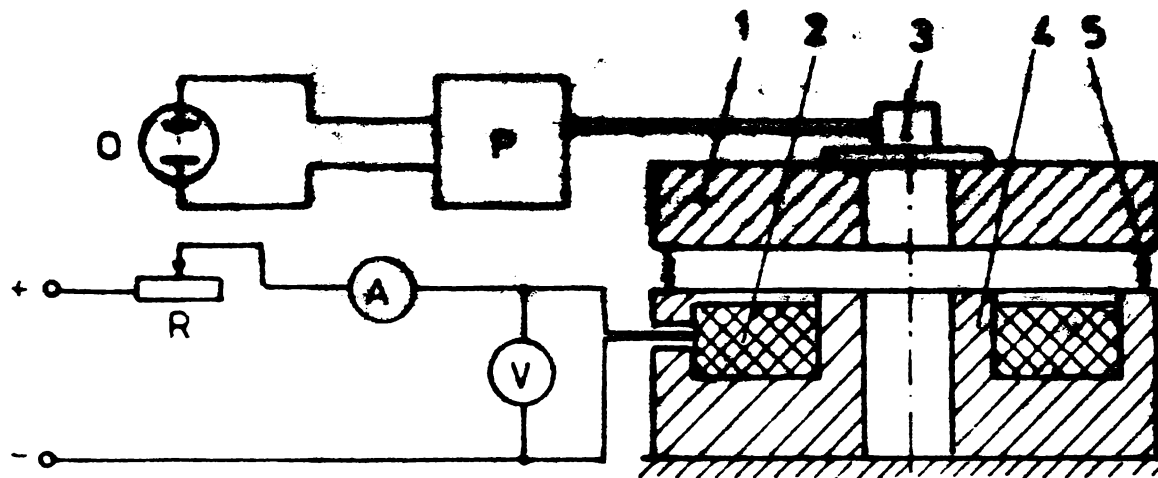


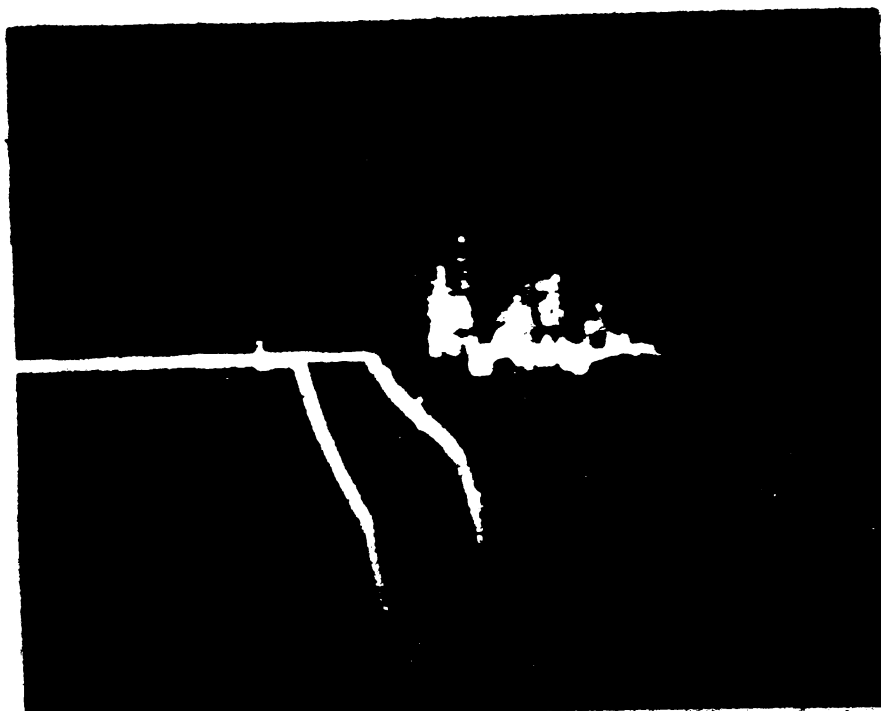
Fig.6.10. Schema pentru înregistrarea caracteristicii  $a = f(t)$ :

1 - Armătura mobilă; 2 - Bobinaj; 3 - Traductor de acceleratie; 4 - Armătură fixă; 5 - Resort; p - puncte amplificatoare; O - osciloscop; R - Rezistor reglabil.

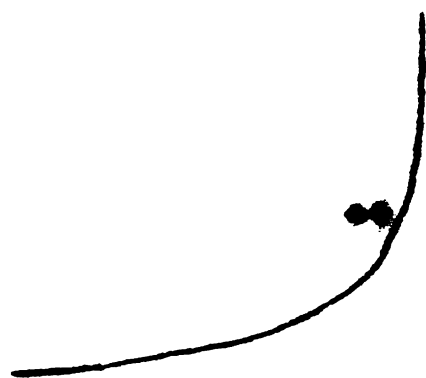
In figura 6.12 este prezentată etalonarea curbelor  $a = f(t)$  măsurate experimental, iar în figura 6.13 sînt reprezentate caracteristicile  $v = f(t)$  și  $x = f(t)$  obținute prin integrarea în raport cu timpul a curbei experimentale  $a(t)$ . In figura 6.14 este reprezentată variația forței în raport cu timpul  $F = f(t)$ , precum și caracteristica  $F = F(\delta)$ .

Pe aceleași grafice sînt figurate prin puncte și caracteristicile  $a=f(t)$ ;  $v=f(t)$ ;  $x=f(t)$ , respectiv  $F=f(t)$  și  $F=f(\delta)$  rezultate din calculul estimativ efectuat la paragraful 6.1.2. Se constată o concordanță bună între rezultatele experimentale și cele de calcul, fapt care confirmă corectitudinea și utilitatea metodelor de determinare a caracteristicilor regimului dinamic oarecare al unui electro-magnet de curent continuu, prezentată în paragrafele 3.5.8.7 și 3.5.9.

Pe graficul din figura 6.14 sînt figurate și caracteristicile statice  $F = f(\delta)$ , pentru cele două valori ale tensiunii de alimentare în regim permanent, măsurate experimental cu ajutorul dinamometrului. Se pot aprecia astfel diferențele substanțiale dintre valoările forțelor din regimul static și regimul dinamic de funcționare la aceleași valori ale tensiunii de alimentare.



a)



b)

Fig.6.11. Oscilogrammele  $a = f(t)$ :

a) Pe osciloscop;

b) Pe oscilograf, pentru  $U = 30$  V,  $\delta_{\max} = 25 \cdot 10^{-3}$  m,

$$k_R = 0$$

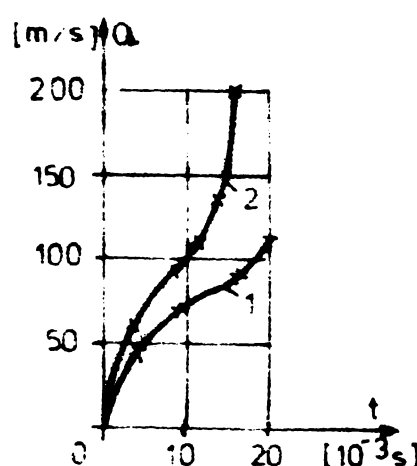


Fig.6.11. Caracteristicile  $a = f(t)$

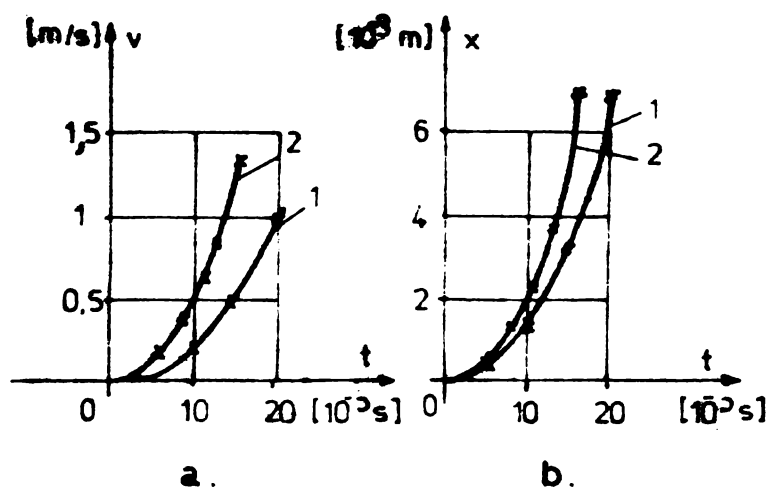


Fig.6.13. Caracteristicile: a)  $v=f(t)$ ;  
b)  $x=f(t)$ .

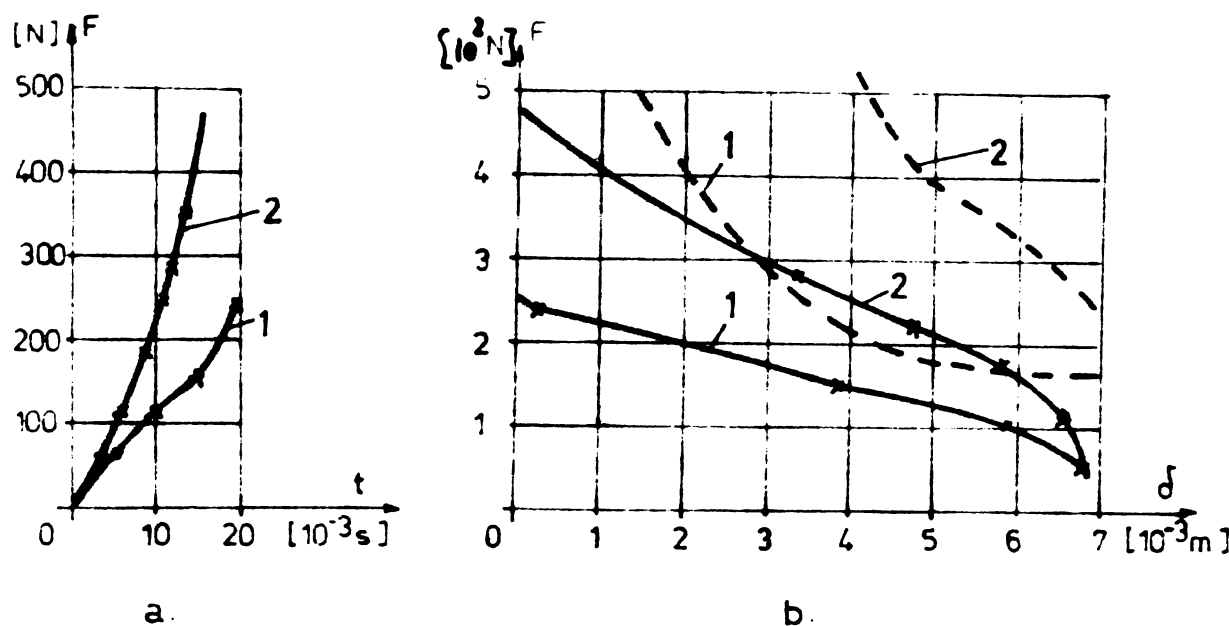


Fig.6.14. Caracteristicile: a)  $F=f(t)$  ;  
b)  $F=f(\delta)$  .

### 6.1.3.2. Încercări la mers în sarcină.

Pentru încercarea la mersul în sarcină s-a utilizat standul de încercări prezentat în figura 6.15, cu ajutorul căruia s-au realizat măsurători în care sarcina electromagneticului a fost reprezentată de greutatea armăturii mobile ( $F_r=20 \text{ N}$ ), resoartele fiind suprimate.

Cu un montaj asemănător celui din figura 6.3 s-a înregistrat caracteristica  $i=f(t)$  pentru regimul dinamic prevăzut în calculul de proiectare, caracterizat prin parametrii:

$$\begin{aligned} F_r &= 20 \text{ N} & U &= 10,4 \text{ V} \\ \delta_{\text{m}} &= 4 \cdot 10^{-3} \text{ m} & R_m &= 2,5 \text{ } \Omega \end{aligned} \quad (6.59)$$

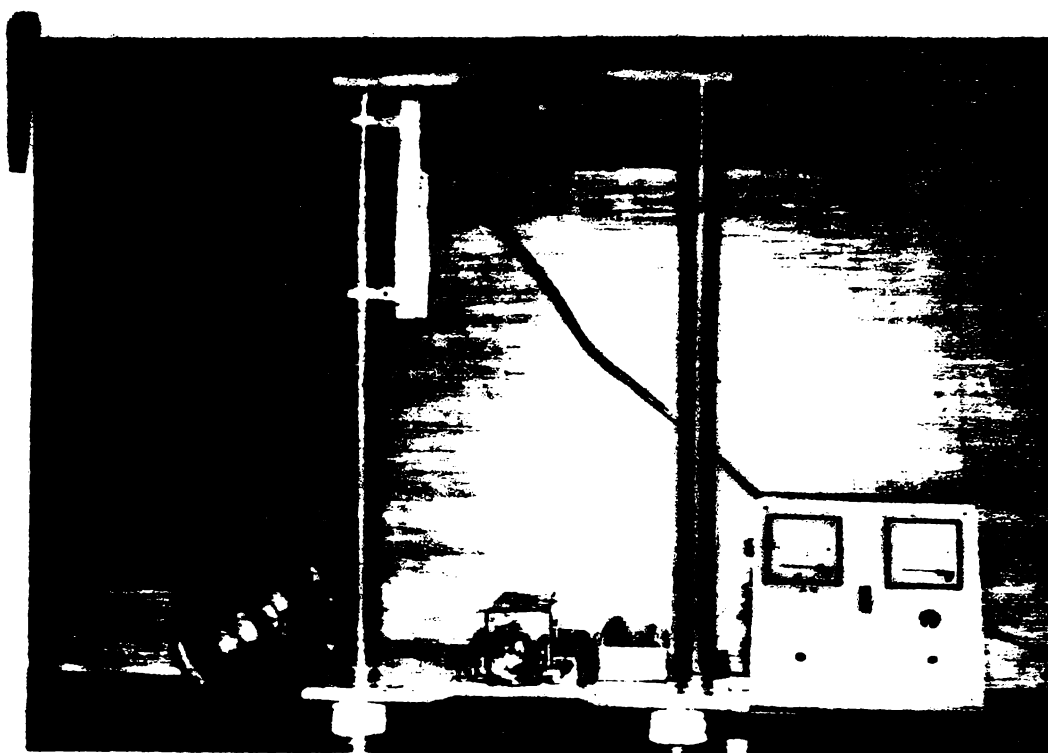


Fig. 6.15. Stand pentru încercarea la mers în sarcină a electro-magnetului de acționare a D P P unidirecțional.

Estanarea curbei s-a realizat prin măsurarea valoarei maxime a curentului cu ajutorul ampermetrului din schema.

Curba  $i=f(t)$  etalonată este prezentată în figura 6.16.

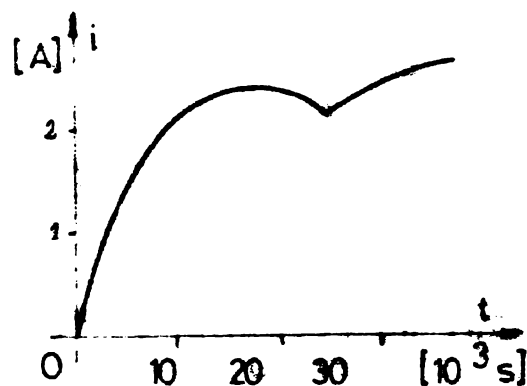


Fig. 6.16. Caracteristica  $i=f(t)$ , pentru regimul dinamic de la  $\delta_{\max} = 4 \cdot 10^{-3}$  m la  $\delta_{\min} = 2 \cdot 10^{-3}$  m.

Analiza acestei caracteristici evidențiază următoarele:

- a) intervalul de timp  $t_1$ , în care armătura rămâne imobilă la intreierul  $\delta_{\max} = 4 \cdot 10^{-3}$  m și în care curentul crește de la valoarea zero la valoarea de acționare este  $t_1 = 8$  sec. fiind egal cu cel stabilit prin calecul de proiectare;
- b) valoarea curentului pentru care începe deplasarea armăturii este  $i_1 = 2.2$ , fiind de asemenea identică cu cea calculată de proiectare;

c) Intervalul de timp în care are loc anclansarea este  $t_2-t_1=$   
 $= t_a = 5 \cdot 10^{-3}$  fiind egal cu cel impus prin calculul de proiectare;

d) Valoarea minimă la care seade curentul pe parcursul regimului dinamic, datorită creșterii inductivității ca urmare a deplasării armăturii mobile și scăderii intreierului este:  $i_2 = 2,27$  A, fiind cu 3,75% mai mare decât valoarea estimată prin calculul de proiectare.

Rezultă că electromagnetul îndeplinește în bune condiții cerințele impuse prin calculul de proiectare, ceea ce confirmă posibilitatea utilizării în astfel de calcule a metodei propusă în paragraful 4.3.

#### 6.1.3.3. Incercări statice. Metode de determinare a forței dezvoltate de electromagneti în regim static de funcționare.

Cu ajutorul instalației experimentale prezentată în fig.6.17, prevăzută cu dinamometru și șurub de tractiune, au fost efectuate măsurători privind forța dezvoltată de diferite tipuri de electromagneti în regim static de funcționare.

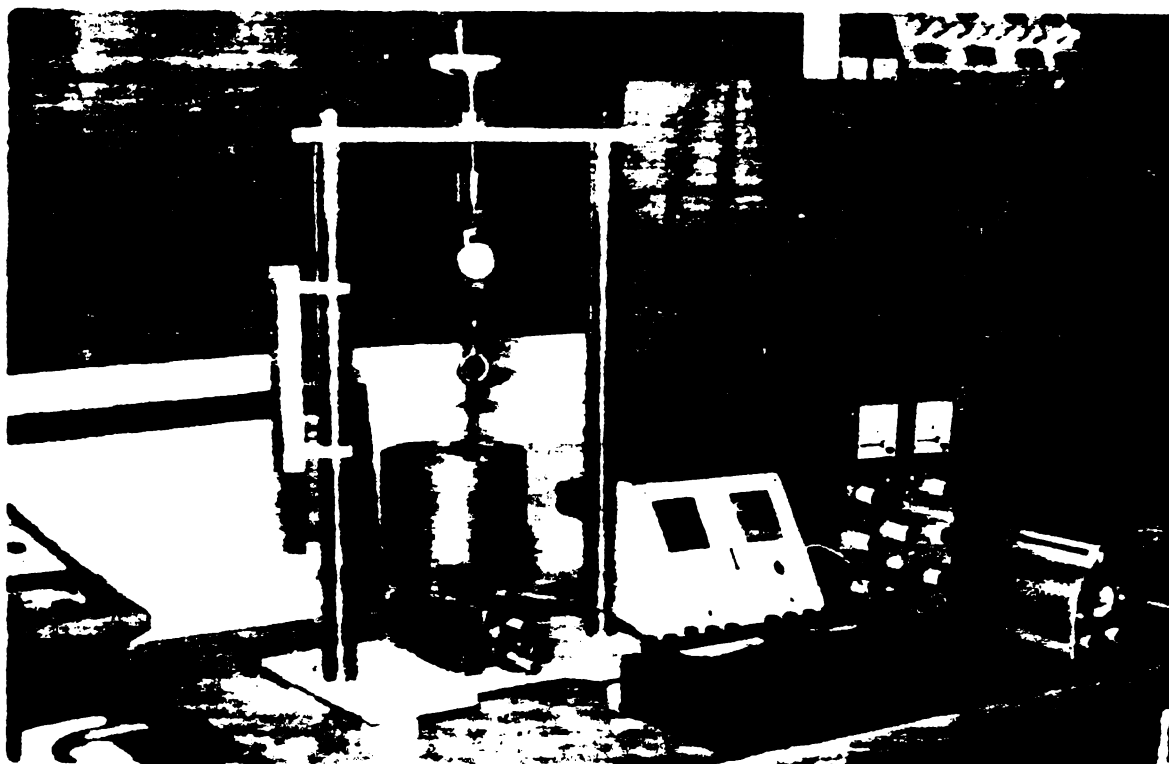


Fig.6.17. Instalație experimentală pentru determinarea forței dezvoltate de electromagneti în regim static de funcționare.

Pentru electromagnetul de acționare a D P P unidirecțional, măsurările de forță statică sunt prezentate în fig.6.14.

Deoarece la electromagnetei de curent continuu de putere, la valori mici ale întreierului, forțele de atracție au în mod obisnuit valori mari, determinarea lor prin metode directe este dificilă, necesitând instalații speciale de tractiune /le1/. Dificultățile de

măsurare directă a forțelor de atracție se datorăse și gabaritului mare al electromagnetilor, greutății lor ridicate, manipulării greoaie a acestora. Rezultă necesitatea punerii a unor metode experimentale indirecte de determinare operativă a forțelor de atracție, care să înlăture dificultățile amintite.

Se prezintă fundamentarea teoretică și verificarea experimentală efectuată în laborator pentru două astfel de metode indirecte /5/:

a) Metoda forțelor zonale:

Metoda se poate utiliza la determinarea forței de atracție  $F$  dezvoltată de un electromagnet de curent continuu în regim static de funcționare. Pornind de la relația:

$$F = \frac{B^2 \cdot S}{2 \mu_0} \quad (6.60)$$

în care:

$B$  = valoarea medie pătratică a inducției magnetice în întrefier;

$S$  = aria suprafeței polului;

$\mu_0$  = permeabilitatea magnetică a întrefierului, se poate scrie următoarea relație:

$$P = \frac{F(AS)}{4S} \cdot S \quad (6.61)$$

unde:

$AS$  = aria unei zone a suprafeței polului ~~electromagnetului~~, aleasă astfel încât valoarea medie pătratică a inducției magnetice din zonă,  $B(AS)$ , să fie egală cu inducția  $B$  definită anterior; fig.6.18 este explicativ pentru modul în care se alege o astfel de zonă pentru un electromagnet în manta;  $F(AS)$  = forță de atracție zonală.

In fig.6.19 se prezintă, conform relației (6.61), dreapta de variație a forțelor zonale funcție de aria acestor zone, dreaptă pe care se situează și punctul de coordonate  $(F, S)$ .

Rezultă că determinarea forței de atracție  $F$  se poate face prin măsurarea experimentală a unei forțe zonale  $F(AS)$ , aleasă astfel încât să se inscrie optim în domeniul dispozitivului de măsurare a forței de care dispunem, sau prin ridicarea dreptei  $F(AS)$  și extrapolarea ei pînă la punctul de coordonate  $(F, S)$ . Suprafața plăcilor feromagnetic de închiderea cîmpului magnetic utilizate pentru măsurarea forțelor zonale are forma și dimensiunile zonei respective.

Plăcile se ecranează față de influența cîmpului magnetic al zonelor învecinate.

Măsurările de forțe zonale au fost efectuate pentru mai multe tipuri de electromagneti în manta, utilizîndu-se pentru închidere cîmpului magnetic epruvete feromagnetic de diferite forme, arii

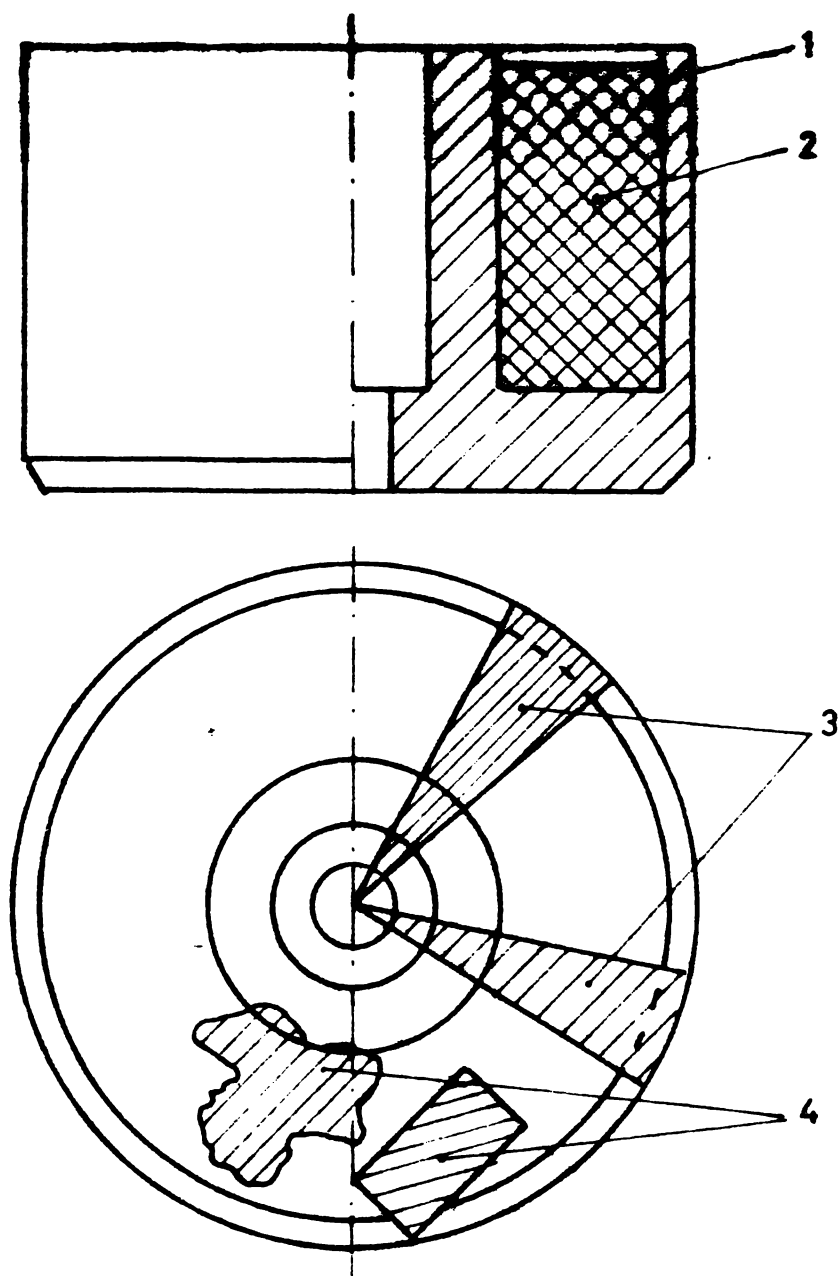


Fig.c.18. Alegerea zonelor electromagnetului :

- 1) Miez magnetic; 2) Bobinaj; 3) Zonă pentru care  $B(\Delta S) = B$ ; 4) Zonă pentru care  $B(\Delta S) \neq B$ .

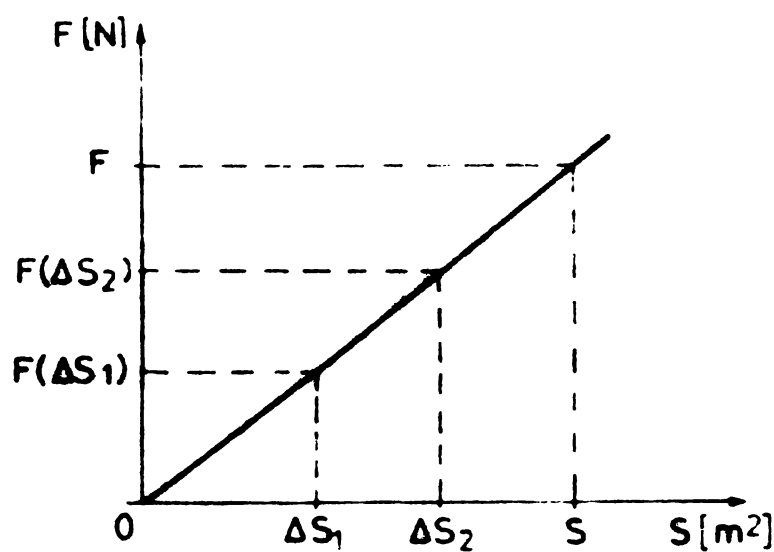


Fig.c.19. Dependenta forțelor zonale de aria zonelor.

și grosimi.

Resultatele măsurătorilor pentru un tip de electromagnet în  
manta sînt prezentate în fig.6.20.

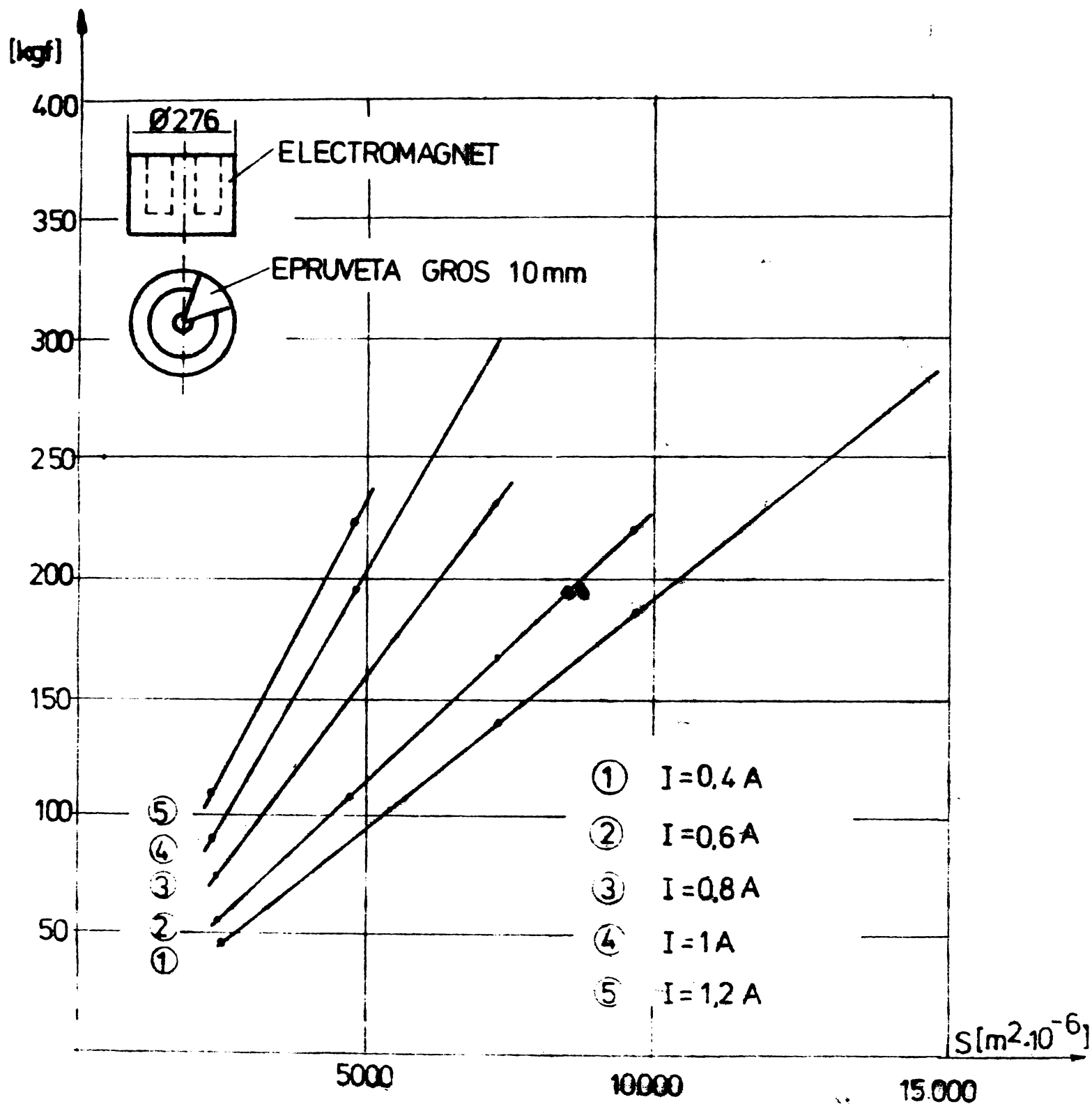


Fig.6.20. Dependența forțelor zonale de aria epruvetelor.

Măsurările efectuate confirmă experimental dependența liniară a forțelor zonale de aria acestor zone. Date fiind valorile relativ mici ale forțelor zonale, metoda permite utilizarea unor instalații de tractare mai simple constructiv și mai ușor de manevrat.

#### b) Introducerea elementelor elementare:

În determinarea p. în calcul a forțelor de

atractie  $P$  dezvoltata de electromagnetii de curent continuu in regim static de functionare, prin măsurarea valoarelor normale locale ale inducției  $B_{ni}$ . Scriind pentru forța statică relația:

$$F = \int_A \frac{B^2 n}{2 \mu_0} dA \quad (6.62)$$

în care:

$A$  = suprafața armăturii de închidere a cîmpului magnetic;

$B_n$  = componenta normală a inducției, măsurată pe suprafața armăturii de închidere.

Pentru un electromagnet în manta (fig.6.21), se poate scrie:

$$F = \frac{\pi \cdot A r_i}{\mu_0} \sum_{i=1}^n r_i B_{ni}^2 \quad (6.63)$$

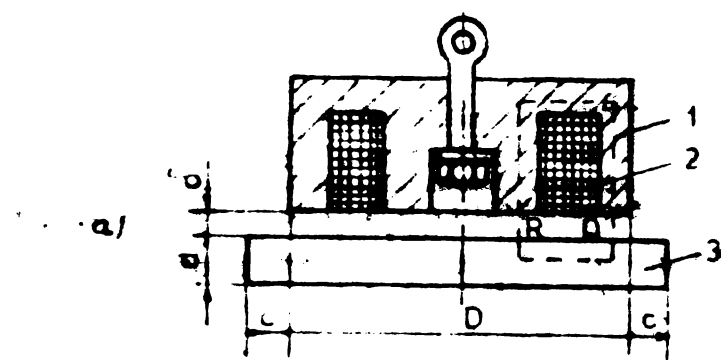
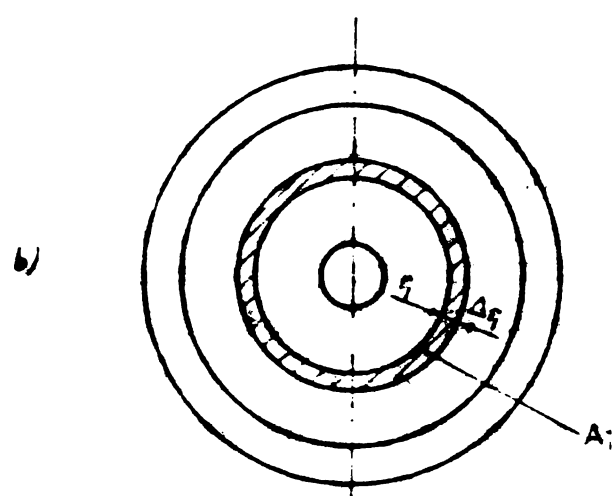
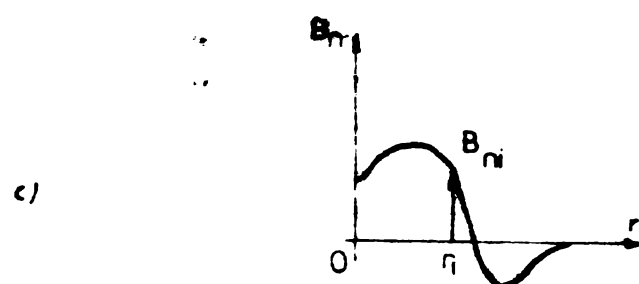


Fig. 6.21. Aplicativi pentru modul de considerare a suprafețelor elementare: a) electromagnet în manta; 1 - miez magnetic; 2 - bobinaj; 3 - locul de închidere a cîmpului magnetic; b) modul de considerare a suprafețelor elementare: A<sub>i</sub>-suprafață de ferită; A<sub>c</sub>-suprafață de aer.

tare; c) distribuția componentei normale a inducției magnetice  $B_n$  după paza  $r$  a plăcii de închidere.

în care:

$n$  - numărul suprafețelor elementare  $A_i$ , cu diametrul intersecției  $r_i$ , și lățimea constantă  $\Delta r_i$ , în care s-a descompus suprafața electromagnetului.

Dimensiunea  $\Delta r_i$  se ia suficient de îngustă ca inducția  $B_{ni}$  să poată fi considerată constantă.

Se introduc în memoria calculatorului perechile de valori ( $B_{ni}$ ,  $r_i$ ) măsurate experimental. Schema logică aplicabilă pentru programare este indicată în fig.6.22.

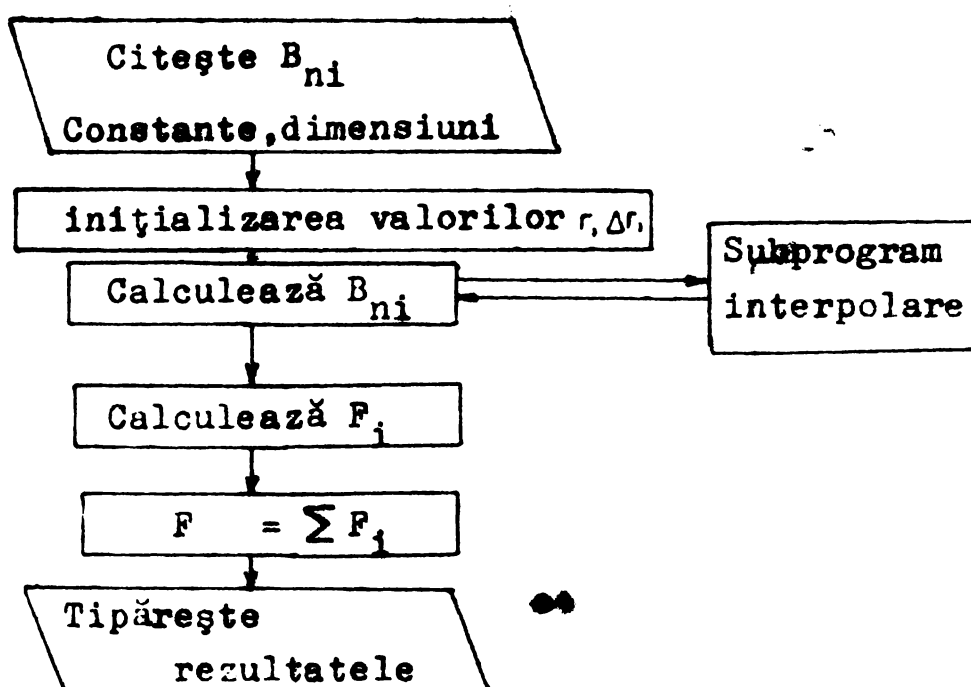


Fig.6.22. Schema logică pentru programul de calcul al forței de atracție.

Pentru măsurători de lot privind forță de atracție dezvoltată de un tip de electromagnet se poate utiliza o metodă calitativă care constă în compararea curbei  $B_n(r)$  ridicată experimental pentru electromagneti din lotul respectiv cu o curbă etalon stabilită pentru acest tip de electromagnet (fig.6.23).

Electromagnetii încercați corespund din punctul de vedere al forței de atracție dezvoltate dacă porțiunea de curbă măsurată se găsește deasupra curbei etalon. Determinările de forță de atracție prin metoda "suprafețelor elementare" au confirmat precizia ridicată a acestei metode, precum și utilitatea metodei calitative de apreciere a forțelor de atracție dezvoltate de electromagneti de curent continuu.

#### 6.1.3.4. Măsurarea inductivității.

S-au efectuat măsurări ale valoarei inductivității "statice" a electromagnetului de acționare a DPP unidirecțional, folosindu-se me-

todele voltampermetrică și a celor trei voltmetre /13/,/67/, pentru diferite valori ale întrefierului. Pentru aceleasi valori ale întrefierului s-au calculat valorile inductivității conform relației (3.288).

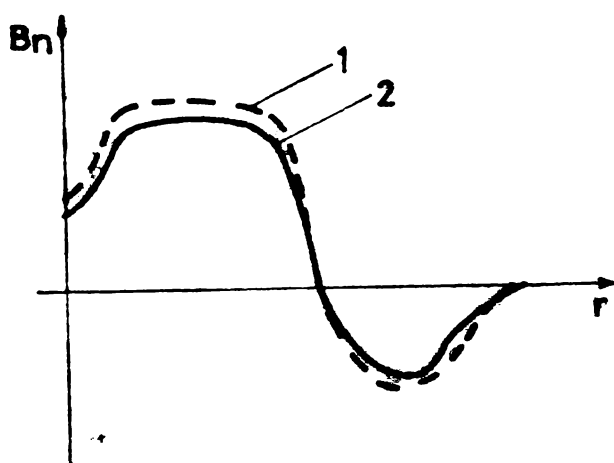


Fig.6.23. Explicativă pentru metoda calitativă de apreciere a forței de atracție:

1 - curbă determinată printr-o măsurătoare de lot; 2 - curbă etalon.

Rezultatele măsurătorilor și calculelor sunt trecute în tabela 6.6, notîndu-se cu  $L_c$  valorile calculate și cu  $L_a$  valorile măsurate.

Tabela 6.6

$\mathcal{J}$ / $10^{-3} \cdot m$ /	2	4	6
$L_c$ / $10^{-2} H$ /	6,66	4,52	3,43
$L_a$ / $10^{-2} H$ /	6,3	4,8	3,8

Se constată o bună concordanță a valorilor măsurate cu cele calculate. S-au efectuat de asemenea determinări ale inductivității "statice" a electromagnetului prin metoda experimentală prezentată în paragraful 3.5.8.8. Rezultatele sunt trecute în tabela 6.7, notîndu-se cu  $L_a$  valorile determine experimental și cu  $L_c$  cele calculate cu relația (3.288).

Tabela 6.7

$\mathcal{J}$ / $10^{-3} \cdot m$ /	0	4	7
$L_c$ / $10^{-2} H$ /	-	4,52	3,10
$L_a$ / $10^{-2} H$ /	16	4,65	3,25

Se constată că valorile calculate sunt apropiate de cele determinate experimental și sunt în concordanță cu valorile determine prin măsurătorile clasice (tabela 6.6), ceea ce confirmă precizia și utilitatea metodei expuse la paragraful 3.5.8.8.

prin măsurătorile clasice (tabela 6.6), ceea ce confirmă precizia și utilitatea metodei expuse la paragraful 3.5.8.8.

#### 6.1.4. Constructia, performantele si aplicatii ale unui D P P unidirectional.

Pe baza metodiciei presentate in paragraful 4.3 a fost prezentat si executat un model experimental de D P P unidirectional functional, conform modelului din fig.2.3, avand urmatoarele caracteristici:

- tensiunea de alimentare:  $U = 40 \text{ V}$ ;
- curentul maxim in regim dinamic:  $i_{\max} = 2 \text{ A}$ ;
- curentul de regim permanent :  $i_p = 3,8 \text{ A}$ ;
- pasul actionarii (intrefierul) :  $\delta = 0 - 15 \text{ mm}$ ;
- forta :  $F_r = 300 \text{ N}$ , la intrefierul de  $5 \cdot 10^{-3} \text{ m}$ ;
- frecventa pasilor:  $0 \div 10 \text{ Hz}$ ;
- masa armaturii mobile:  $1,8 \text{ kg}$ .

Dispozitivul a fost echipat cu un sumator de oscilatii pentru sarcini cu caracter antagonist, executat conform modelului din fig. 2.7.

Cursa de revenire a armaturii mobile se realizeaza printr-un sistem mecanic cu resoarte, a carui constanta elastică este  $k_R = 8000 \text{ N/m}$ .

Conform relatiei (4.8) timpul necesar currei de revenire este:

$$t_d = \frac{\pi}{2} \sqrt{\frac{m}{k_R}} = 24,2 \cdot 10^{-3} \text{ s} \quad (6.64)$$

Părțile componente ale D P P (electromagnetul de acționare, axul, carcasa, sumatorul de oscilatii, resoartele antagoniste, suruburile pentru reglarea intrefierului) sunt prezентate in fig.6.24.

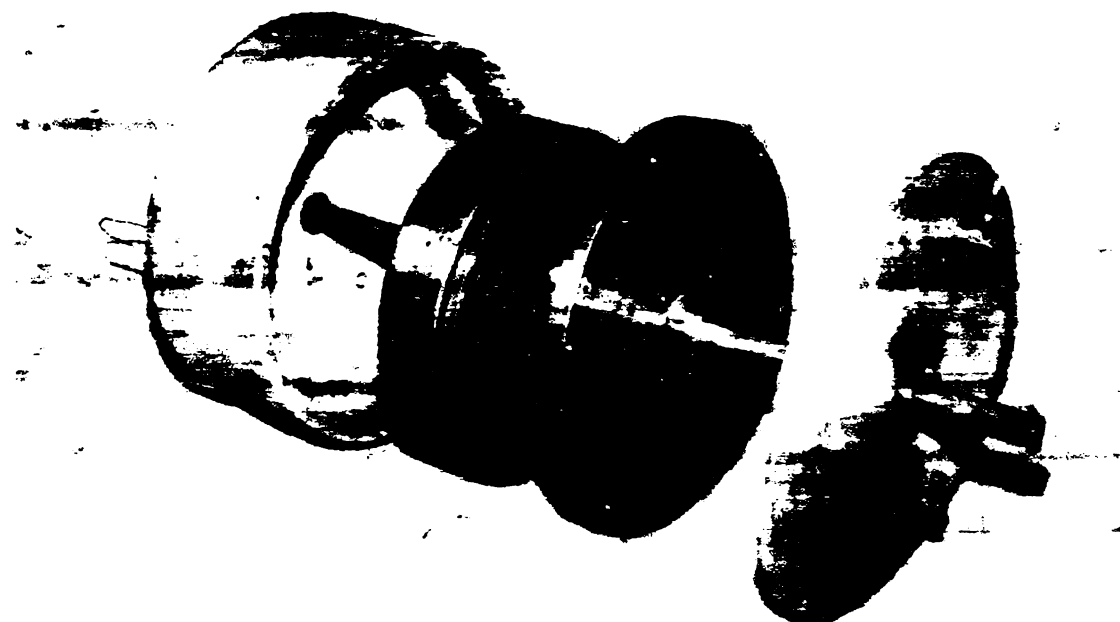


Fig.6.24. Elementele componente ale D P P unidirectional: 1 - electromagnet de acționare; 2 - axul acționării; 3 - carcăsa; 4 - șuruburi pentru reglarea intrefierului.

D P P unidirecțional asamblat este prezentat în fig.6.25.

Dispozitivul a fost încercat la mers în gol și sarcină.

La mersul în gol (deplasarea liberă a axului acționării) dispozitivul a funcționat corect, fără pierderi de pasi, dezvoltând o viteză medie de  $8,4 \cdot 10^{-2}$  m/s, pentru o frecvență a impulsurilor tensiunii de alimentare egală cu 10 Hz și o mărime a pasului egală cu  $10^{-2}$  m. Currentul maxim în regim dinamic de funcționare a fost  $i_{max} = 1,4$  A. Se observă că la fiecare pas se pierde  $0,16 \cdot 10^{-2}$  m din cursa armăturii mobile a electromagnetului de acționare, fapt datorat impreciziei execuției sumatorului de oscilație.

Măsurările s-au efectuat pentru o durată a acționării de 5 s, cursa efectuată măsurîndu-se direct pe axul acționării.

Încercarea în sarcină s-a realizat prin atașarea la axul acționării a unor greutăți ridicate pe verticală. Pentru pasul acționării reglat la  $5 \cdot 10^{-3}$  m ( $\delta_{max} = 5 \cdot 10^{-3}$  m;  $\delta_{min} = 0$ ) s-a reușit acționarea unei sarcini de 287 N cu o viteză maximă de  $3,2 \cdot 10^{-2}$  m/s, la o frecvență a impulsurilor tensiunii de alimentare de 10 Hz. Currentul maxim în acest regim dinamic este  $i_{max} = 2$  A.

Rezultă că, în sarcină, tipul de sumator de oscilații utilizat la acest D P P are "scăpări" de pînă la  $1,8 \cdot 10^{-3}$  m din cursa armăturii mobile.

Au fost efectuate peste 300 acționări cu modelul de D P P unidirecțional, acestea corespunzînd condițiilor funcționale cerute prin calculul de proiectare.

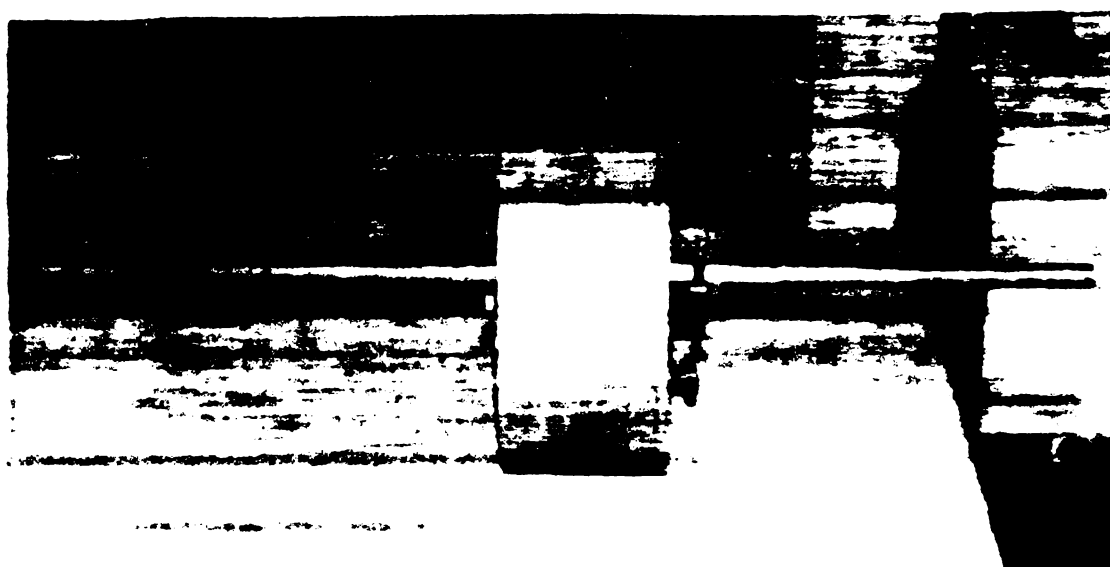


Fig.6.25. D P P unidirecțional.

Echipamentul 3- realizează cu acest model de D P P unidirecțional acțiuni sau la închidere, respectiv la deschidere a unui separațor electric de 110 kV, reușindu-se efectuarea unei curse de închidere,

respectiv de deschidere a unui pol al separatorului în 6 s, pentru un pas reglat al acționării de  $5 \cdot 10^{-3}$  m și o frecvență a pasilor de 10 Hz.

D P P unidirectionale pot fi utilizate într-o serie de acțiuni industriale. Un exemplu constituie posibilitatea de aplicare a acestor dispozitive la acționarea conveierelor electrice și a transportoarelor cu bandă. Soluția clasică în care se realizează acționarea unui conveier cu lanț /81/ este prezentată în fig.6.26.

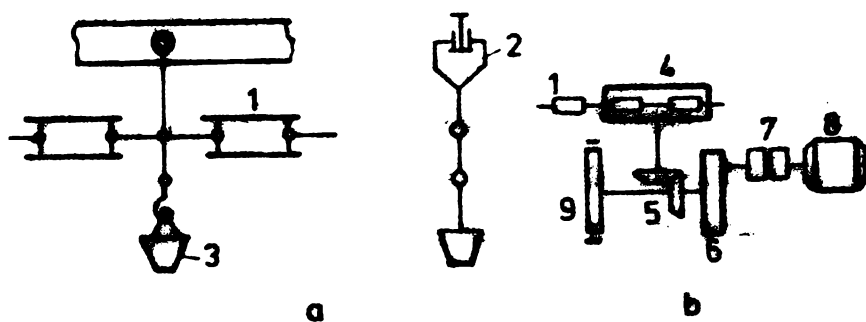


Fig.6.26. Acționarea clasică a unui conveier cu lanț:

- a) conveierul cu lanț; b) lanțul cinematic al acționării; 1 - lanțul fără sfîrșit; 2 - cărucioare; 3 - material de transportat; 4 - tobă de antrenare; 5 - cuplaj conic; 6 - reductor; 7 - cuplă; 8 - motor electric de antrenare; 9 - frână.

Un dispozitiv electromagnetic cu mișcare liniară (pas cu pas) proiectat și construit corespunzător poate acționa direct asupra lanțului fără sfîrșit 1, simplificând substanțial lanțul cinematic de acționare a conveierului.

In mod asemănător se pot utiliza D P P la acționarea benzilor transportăre, îndeosebi a acelora la care este necesară o viteză mică de deplasare (benzile de montaj), viteze care se obțin relativ ușor comparativ cu sistemele clasice de acționare.

## 6.2. Proiectarea, construcția și încercarea unui D P P bidirectional.

### 6.2.1. Proiectarea și construcția electromagnetilor de acționare a D P P bidirectional.

Datele inițiale pentru proiectarea electromagnetilor de acționare a D P P bidirectional (2 electromagnete identici) sunt:

- cursa armăturii mobile:  $3,5 \cdot 10^{-3}$  m;
- întrefierul maxim :  $\delta_{\max} = 5,5 \cdot 10^{-3}$  m ;
- întrefierul minim :  $\delta_{\min} = 2 \cdot 10^{-3}$  m ;
- sarcina la armătura mobilă :  $F_r = 40$  N ;
- timpul total de acționare (din momentul conectării):  $t_2 = 0,03$  s;

- timpul de acționare (din momentul începerii deplasării armăturii mobile):  $t_a = 0,02$  s;
- curentul maxim admisibil :  $I_a = 3$  A.

S-a ales tipul constructiv de electromagnet "în manta", circuitul magnetic fiind confectionat din OL 37, având permeabilitatea magnetică relativă (mesurat)  $\mu_r = 1500$ .

Printr-un calcul asemănător celui efectuat pentru proiectarea electromagnetului de acționare a DPP unidirecțional (vezi paragraful 6.1.1) se determină principalele dimensiuni constructive (miez magnetic și înfășurare) ale electromagnetilor de acționare a DPP bidirecțional, care sunt conform schiței din fig.6.27:

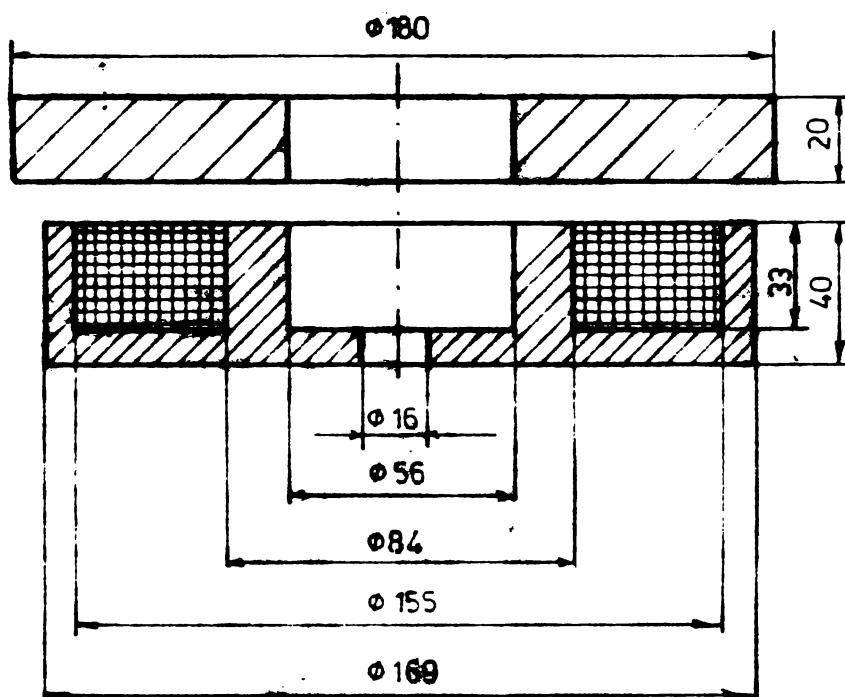


fig.6.27. Principalele dimensiuni constructive ale electromagnetelor de acționare a DPP bidirecțional.

Armatura mobilă are grosimea  $g = 20 \cdot 10^{-3}$  m, majorată față de grosimea de calcul  $g_c = 12 \cdot 10^{-3}$  m, datorită necesităților de amplasare a sumatorului de oscilații.

Caracteristicile înfășurării, executată din cupru electricen-nic, sunt:

- numărul de spire :  $N = 320$  spire;
- diametrul spirei :  $d_{sp} = 1,2 \cdot 10^{-3}$  m;
- secțiunea spirei :  $q_{sp} = 1,13 \cdot 10^{-6}$  m<sup>2</sup>;
- rezistența înfășurării:  $R_{bob} = 1,91 \Omega$ ;
- tensiunea de alimentare :  $U = 30$  V ;
- rezistența adițională (de masură):  $R_m = 4,75 \Omega$ ;
- curentul la regim permanent:  $I_p = 4,5$  A.

Efectuarea calculelor în conformitate cu metoda de preiescădere utilizată și la proiectarea electromagnetului de acționare a DPP unidirecțional conduce la următoarele valori ale mărimilor utilizate în calculul de proiectare:

$$A_{1J\max} = 38,63 \cdot 10^{-4} \text{ m}^2; A_{1J\min} = 33,83 \cdot 10^{-4} \text{ m}^2;$$

$$A_{2J\max} = 48,83 \cdot 10^{-4} \text{ m}^2; A_{2J\min} = 40,32 \cdot 10^{-4} \text{ m}^2;$$

$$\alpha_{J\max} = 3,7 \cdot 10^8 / \text{H.m}^{-1}; \alpha_{J\min} = 4,34 \cdot 10^8 / \text{H.m}^{-1};$$

$$p_{J\max} = 66,9 / \text{m}^{-1}; p_{J\min} = 72,2 / \text{m}^{-1}; \lambda_{J\max} = 0,493.$$

$$\cdot 10^{-3} \text{ H}; \lambda_{J\min} = 1,16 \cdot 10^{-6} \text{ H}; \phi_{lp} = 4,66 \cdot 10^{-4} \text{ Wb}; N = 316 \text{ spire}$$

$$B_0 J_{\min} = 0,304 \text{ T}; i_2 = 2,78 \text{ A}; \lambda_s = 12,1 \cdot 10^{-6} \text{ H.m}^{-1}.$$

Electromagnetii de acțiobare execuțiați conform calculului de proiectare sunt prezentati în fig.6.28:

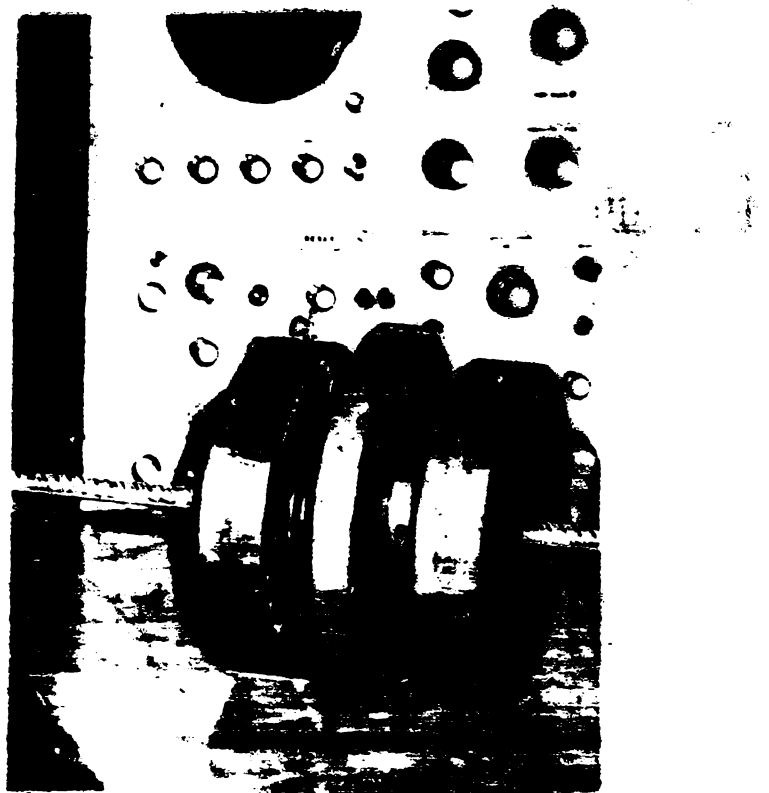


Fig.6.28. Electromagnetii de acționare a DPP bidirecțional.

#### C.2.2. Încercarea electromagnetului de acționare a DPP bidirecțional.

În cadrul încercării electromagnetului de acționare a DPP bidirecțional s-au folosit aceleși scheme electrice, instrumente și instalații experimentale ca și la încercarea electromagnetului de acționare a DPP unidirecțional.

Caracteristicile obținute confirmă funcționarea electromagnetelor conform cerințelor impuse prin calculul de proiectare.

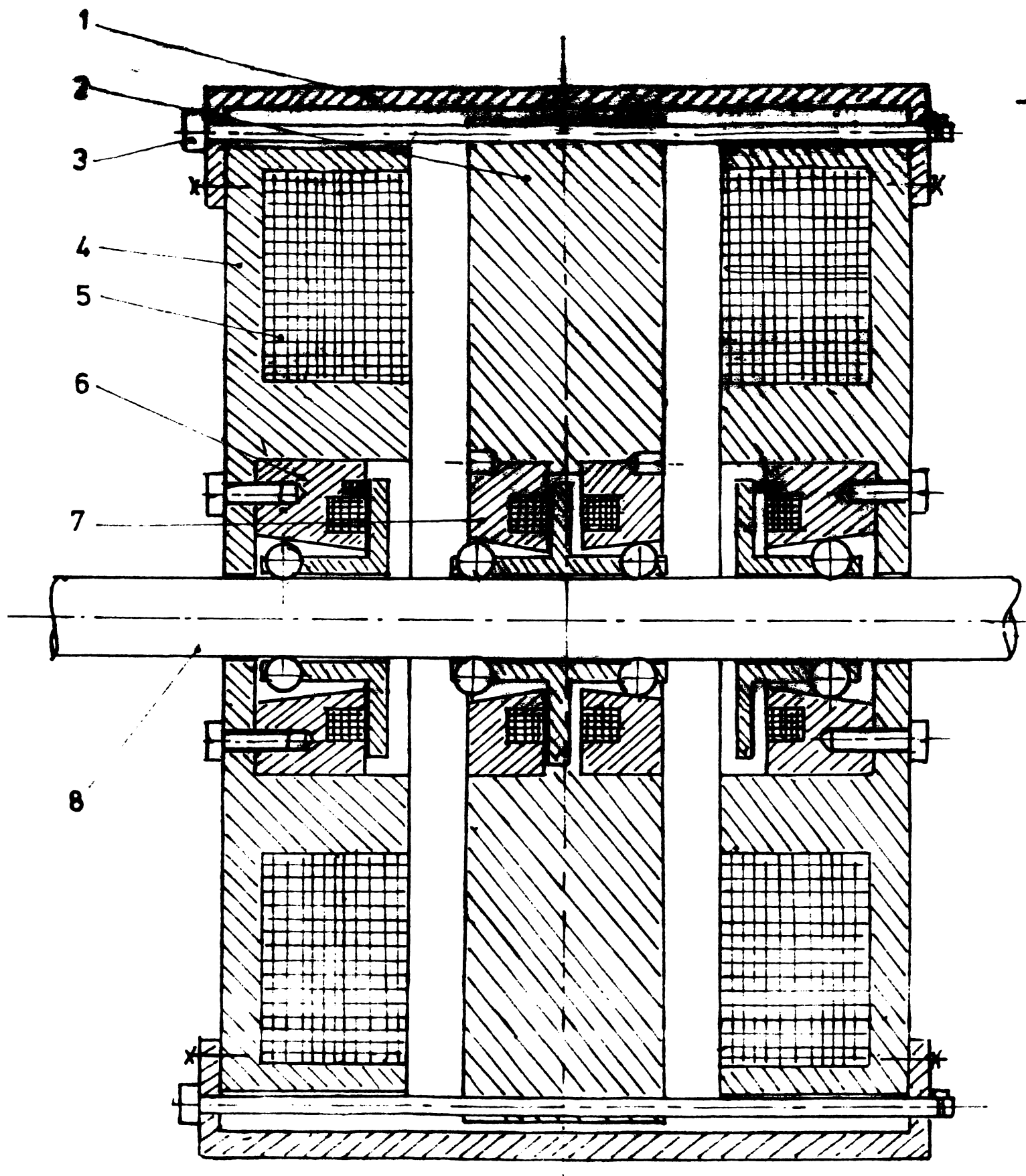


Fig. 6.29. Schiță de ansamblu a D P P bidirecțional:

1 - carcasa; 2 - armătura mobilă; 3 - ghidajul;  
4 - armătura fixă; 5 - bobinaj; 6 - sistem de blo-  
care a deplasării axului; 7 - sumatorul de oscilații;  
8 - axul acționării.

### 6.2.3. Construcția și performanțele unor D P P bidirectionale.

A fost executat un model experimental de D P P bidirectional, avind drept elemente motoare eletromagnetice proiectate și construite conform celor expuse în paragraful 6.2.1.

D P P bidirectional a fost echipat cu un sumator de oscilații tip "torpedo" conform schiței din fig.2.8.. Schița de ansamblu a DPP bidirectional executat este prezentată în fig.6.29, iar modelul de D P P, în fig.6.30.

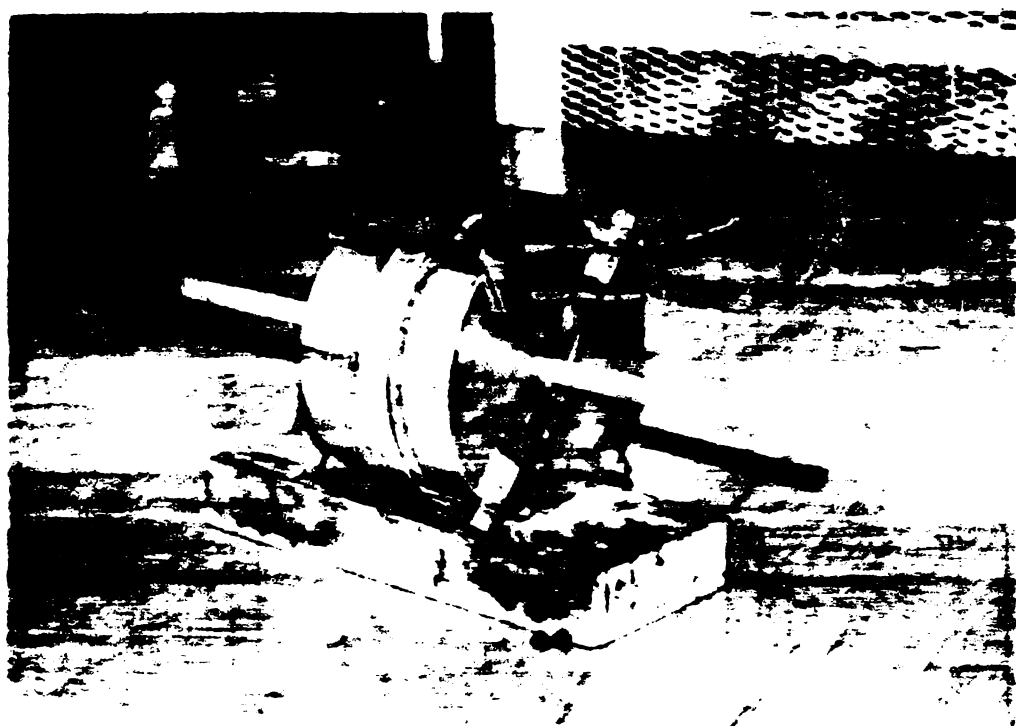


Fig.6.30. D P P bidirectional.

Referitor la construcția D P P se dau următoarele indicații tehnologice: tija de acționare s-a realizat din oțel 41MOC, tratată prin călire și rectificată. La realizarea pieselor care compun sumatorul de oscilații s-a impus o precizie ridicată de execuție, precum și prelucrări suplimentare față de celelalte subansamblu. Suprafețele conicităților au fost supuse unui tratament de cementare cu ferocianură de potasiu la  $850^{\circ}\text{C}$ , înaintea operației de rectificare.

Modelul executat a fost încercat atât la mers în gol cât și în sarcină.

La mersul în gol (deplasare liberă a axului acționării) dispozitivul a funcționat corect, în ambele sensuri ale acționării, fără pierderi de pagi. Sumatorul de oscilații tip "torpedo" a realizat acționări ferme într-un sens sau celălalt, concordant cu blocarea acționării în sensul opus. Viteza medie dezvoltată, pentru o valoare a pasului acționării de  $5 \cdot 10^{-3}$  m ( $\delta_{\max} = 5 \cdot 10^{-3}$  m și  $\delta_{\min} = \dots$ ) și o frecvență a impulsurilor tensiunii de alimentare de

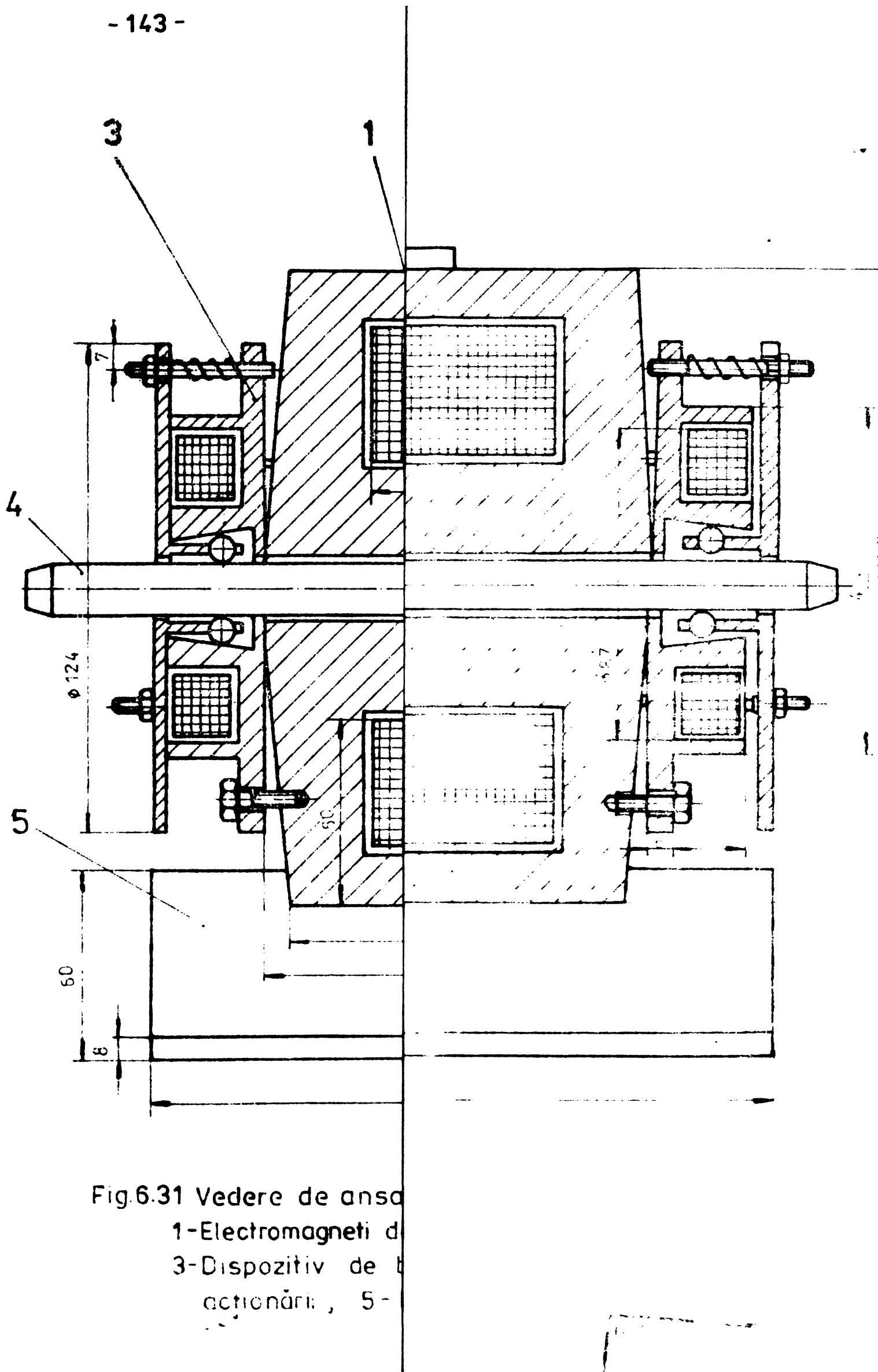


Fig.6.31 Vedere de ansa

1-Electromagneti d

3-Dispozitiv de  
actionare , 5 -

5 Hz și amplitudine de 20 V a fost de  $2,5 \cdot 10^{-2}$  m/s, ceea ce evidențiază faptul că este o valoare foarte scăzută.

de 5 - 10 s, cursule efectuate măsurindu-se direct pe axul acționării.

Măsurările în sarcină s-au efectuat prim atâtarea la axul acționării a unor greutăți ridicate pe verticală. Pentru pasul acționării reglat la valoarea  $5 \cdot 10^{-3}$  m ( $\delta_{\max} = 5 \cdot 10^{-3}$  m,  $\delta_{\min} \approx 0$ ) s-a realizat acționarea succesivă în ambele sensuri a unei sarcini de 50 N, cu o viteză medie a acționării de  $2,2 \cdot 10^{-2}$  m/s, impulsurile tensiunii de alimentare având amplitudinea de 20 V și frecvența 5 Hz.

Au fost efectuate cca. 1000 acționări în gol și sarcină cu modelul experimental de D P P bidirectional, care a corespuns condițiilor funcționale stabilite prin calculul de proiectare.

În mod asemănător a fost proiectat și executat un al doilea model de D P P bidirectional, utilizabil la acționări de putere, având următoarele caracteristici:

- sarcina:  $F_r = 5000$  N ;
- pasul acționării:  $x = 5 \cdot 10^{-3}$  m ;
- întrefierul maxim:  $\delta_{\max} = 5 \cdot 10^{-3}$  m ;
- întrefierul minim:  $\delta_{\min} \approx 0$  ;
- tensiunea de alimentare: impulsuri de tensiune, de amplitudine 220 V și frecvență 1 ÷ 10 Hz.;
- curentul maxim în regim dinamic:  $i_{\max} = 5$  A;
- curentul de regim permanent:  $i_p = 9$  A.

Schită acestui model de D P P bidirectional este prezentată în fig.6.11, iar modelul executat conform schitei este prezentat în fig.6.32.

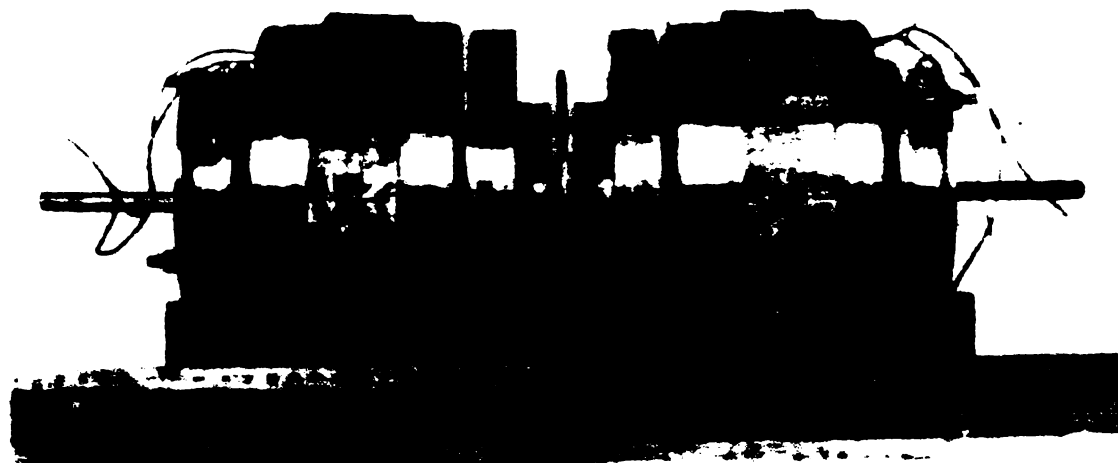


fig.6.32. D P P bidirectional II.

D P P bidirectional II are unele îmbunătățiri constructive

care îl disting de varianta I. Acestea sunt următoarele:  
fierul și fierul de suport.

fierul și fierul de suport.

Pentru acțiونări de mică putere a fost proiectată și executată varianta III de D P P bidirectional, având următoarele caracteristici:

- Sarcina:  $F = 25 \text{ N}$ .
- Pasul acțiونării:  $x = 15 \cdot 10^{-3} \text{ m}$ .
- Intrefierul maxim:  $J_{\max} = 15 \cdot 10^{-3} \text{ m}$ .
- Intrefierul minim:  $J_{\min} = 0$ .
- Tensiunea de alimentare: impulsuri de tensiune, de amplitudine 20 V și frecvență  $1 \div 10 \text{ Hz}$ .
- Curentul maxim în regim dinamic:  $i_{\max} = 1,2 \text{ A}$ .
- Curentul de regim permanent:  $i_p = 2,1 \text{ A}$ .

Modelul realizat este prezentat în fig.6.33:

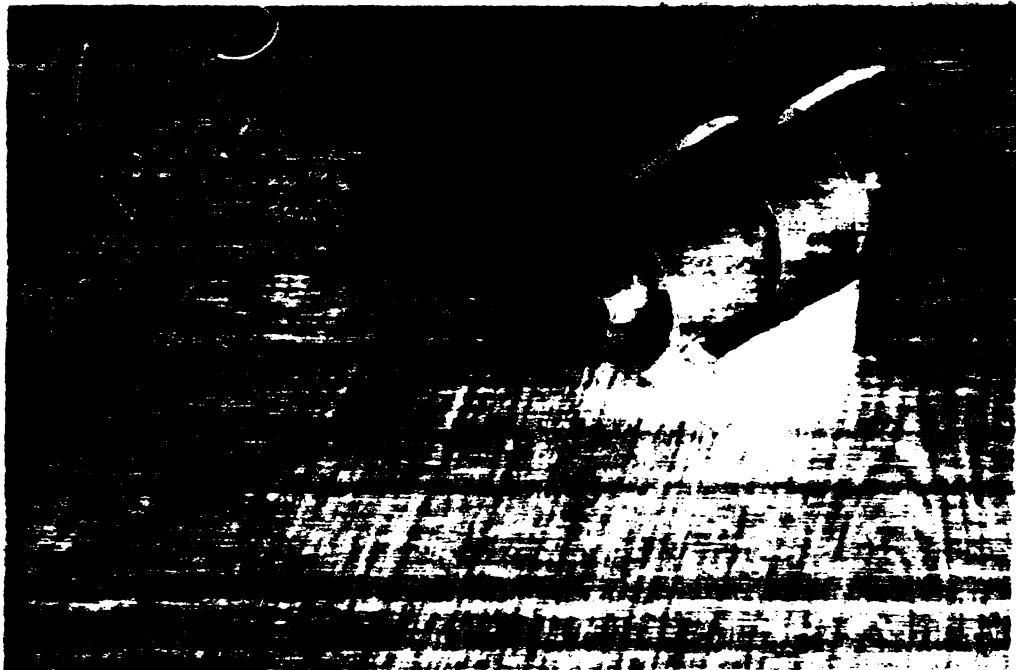


Fig.6.33. D P P bidirectional III.

Având în vedere valoarea mare a pasului acțiونării, la această variantă s-au utilizat ca organ motor electromagnet tip "plonjor", care realizează forțe de veloare aproximativ proporțională pentru variații largi ale intrefierului.

Atât D.P.P bidirectional II cât și varianta III au funcționat corect la încercările la măsură în ambele direcții, realizate similar încercărilor D.P.P bidirectional I.

In construcția mecanică de D.P.P. folosind mai multe tipuri de sumator de oscilații, executate conform schițelor cu principiu din figurile 2.4.. 2.7. și prezentate în figura 6.34.

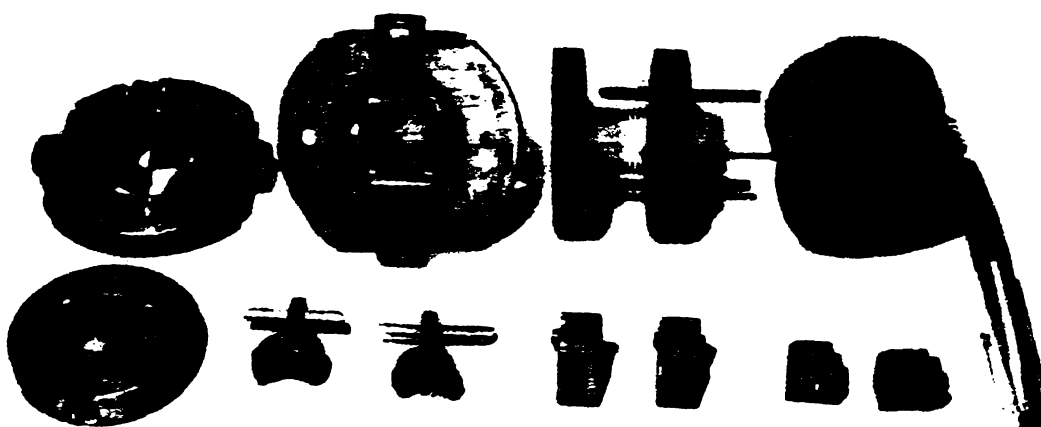


Fig. 6.34. Sumatoare de oscilații.

Incercările experimentale au evidențiat că dispozitivul tip "torpedo" corespunde cel mai bine scopului propus.

### 6.3. Dispozitive mecanice și electronice pentru alimentarea și comanda D P P.

#### 6.3.1. Dispozitive mecanice și electronice pentru alimentarea și comanda D P P unidirecțional.

S-a realizat, succesiv, alimentarea și comanda D P P unidirecțional prin următoarele scheme electrice:

a) printr-o schemă electrică cu comutare mecanică, cu reglaj în buclă închisă, conform schiței din fig.5.1. S-au utilizat microîntreruptoare de 2 A și 4 A, fabricate de Electroaparataj, care, la curent nominal nu au rezistat la acțiuni distructive a arcului electric. Frecvența pașilor obținute prin această alimentare a fost de 2 - 6 Hz, fiind limitată superior, atât de inertiea armaturii mobile, cât și de timpul relativ scurt necesar stingerii arcului electric de comutare.

b) printr-o schemă electrică cu comutare mecanică, cu reglaj în buclă închisă, conform schiței din fig.5.2.a. S-au utilizat microîntreruptoare de 2 A și contactoare de curent alternativ de 25 A. Au fost realizate în bune condiții 100 acțiuni cu durată 10 sec., obținându-se frecvențe ale pașilor acțiunii de 12 Hz, limitate superior de inertiea armaturii mobile. O astfel de alimentare este însă mult costată, lăsându-să succesele anclanșări-eclanșări ale contactelor să comande alimentarea.

c) printr-o schemă electrică cu comutare mecanică, cu reglaj în buclă deschisă, conform schiței din fig.5.5, fiind construit din dispozitivul cu perii prezentat în fig.6.35..



Fig.6.35. Dispozitiv de comutare mecanică cu perii.

Au fost realizate în condiții bune 100 acționări cu durata 30 sec.; obținându-se frecvențe ale pașilor acționării de pînă la 12 Hz.

d) printr-o schemă electrică, cu reglaj în buclă deschisă, fiind construit în acest scop dispozitivul prezentat în fig.6.36.

Dispozitivul electronic este în fapt un contactor static, avînd schema electrică de principiu conform schiței din fig.5.5, comanda schemei realizîndu-se de la un circuit basculant astabil (CBA), a cărui schemă electrică este prezentată în figura 5.9.

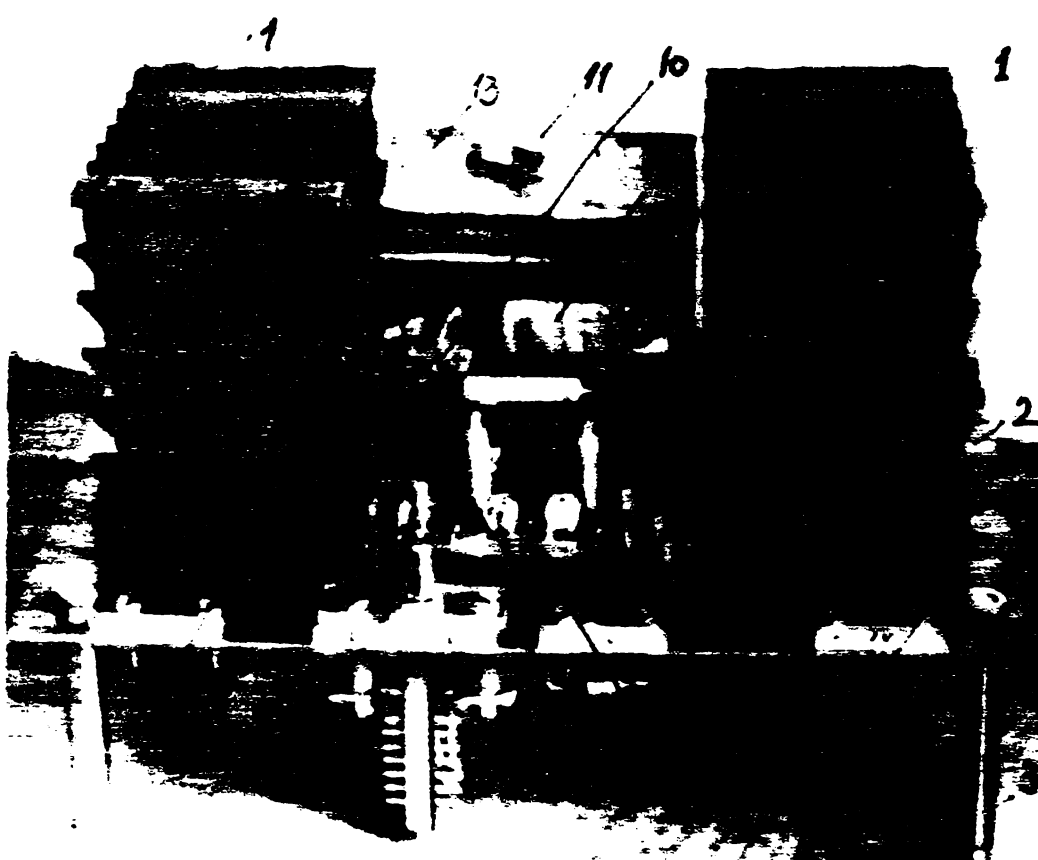


Fig.6.36.

Dispozitiv electronic pentru alimentarea și comanda unui UFP unidirecțional:

- 1-radiator tip A65 pentru tiristcare;
- 2-placi suport;
- 3-picioare susținere;
- 4-borne alimentare;
- 5-dispozitiv electronic de comandă a tiristoarelor;
- 6-rezistență semi-reglabilă pentru reglarea frecvenței de lucru a instalației;

7-borne alimentare dispozitiv electromagnetic; 8-comutator regim de lucru; 9-bornele circuitului de forță; 10-tranzistori cuplați în montaj Darlington cu transistorul de putere; 11-tranzistorul de putere; 12-resistență în emiter; 13-radiatorul transistorelor de putere.

### 6.3.2. Dispozitive electronice pentru alimentarea și comanda D P P bidirectionale.

Pentru alimentarea și comanda D P P bidirectionale au fost construite, conform schemelor electrice prezentate în fig.5.7 și 5.9 două dispozitive electronice capabile să furnizeze impulsuri de tensiune de amplitudine pînă la 220 V și frecvență pînă la 10 Hz.

In fig.6.37 este prezentată schema electrică a unui astfel de dispozitiv, în fig.6.38 modul de dispunere a componentelor electronice, iar în fig.6.39 este prezentată o vedere de ansamblu a acestui dispozitiv.

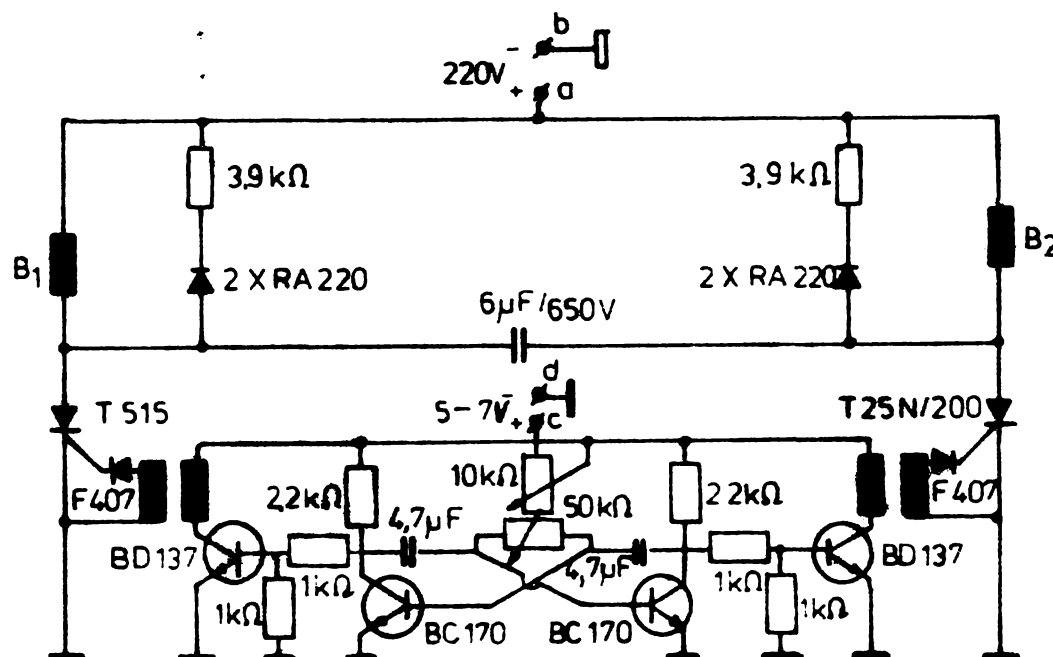


Fig.6.37. Schema electrică a dispozitivului de la figură 6.37. Formator de impulsuri.

In figura 6.40 este prezentată forma impulsurilor de tensiune obținute, fotografiate de pe ecranul osciloscopului.

Pentru buna funcționare a D P P bidirectionale este necesar să simultan cu alimentarea electromagnetilor de acționare a D P P să fie alimentați și electromagnetii auxiliari ai dispozitivului tip "torpedo" care asigură însumarea oscilațiilor și deblocarea unui sens al acțiunării.

In acest scop a fost construit dispozitivul electronic II, a cărui schema electrică este prezentată în fig.6.41.

Blocul de comandă CBA a tiristoarelor, alimentat de la bornele c și d, precum și circuitele de alimentare a bobinelor electromagneticelor de acționare, raccordate la bornele a și b și similar celor

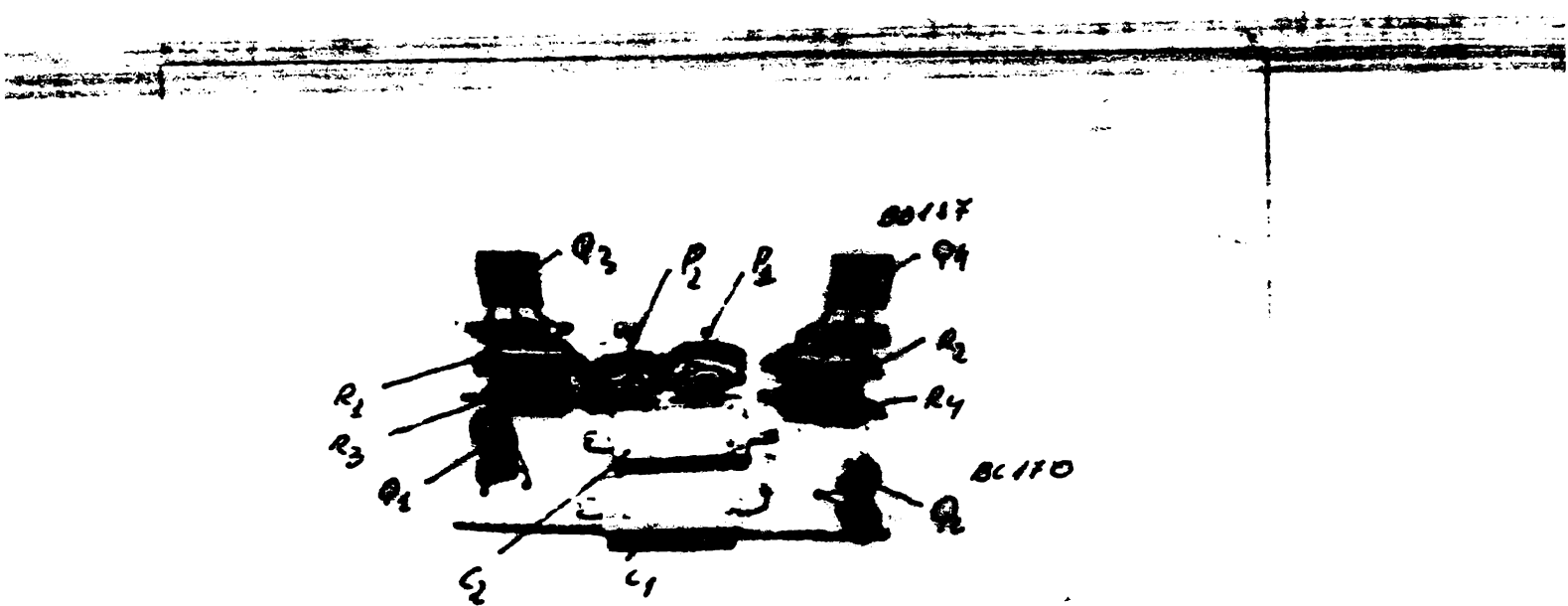


Fig. 6.38 . Dispunerea componentelor electronice.



Fig. 6.39 . Dispozitiv electronic I pentru alimentarea și comanda DPF bidirecționale.

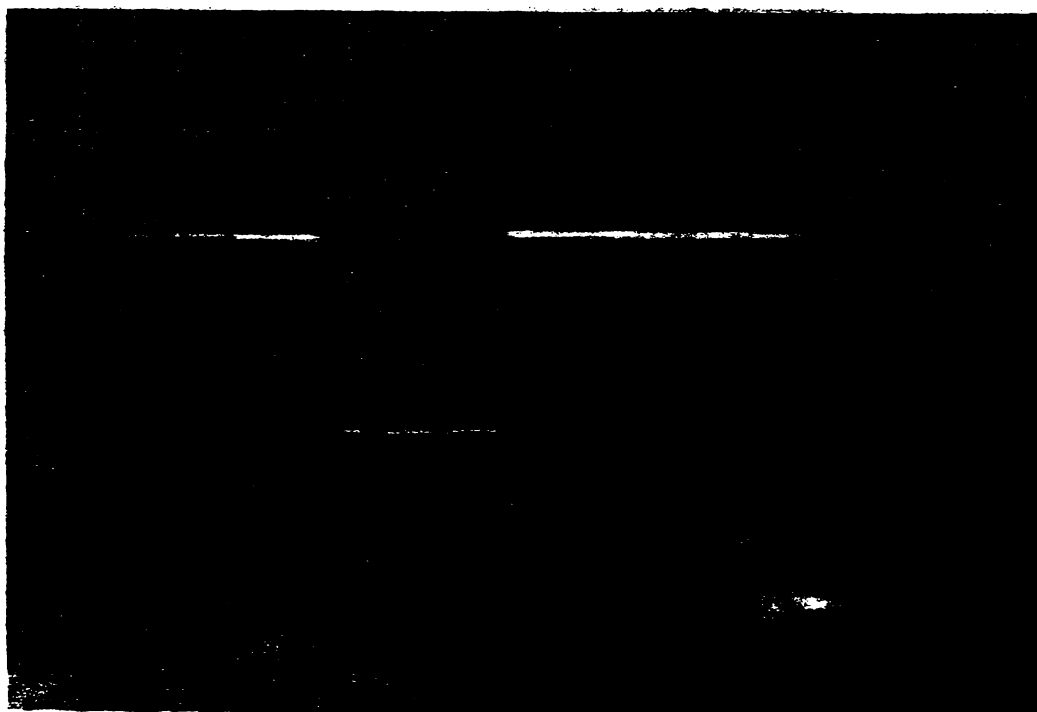


Fig. 6.40

Forma impulsurilor de tensiune utilizate la alimentarea DPF bidirectionale.

zentate în figura 6.37.

Funcționarea dispozitivului e comandă prin intermediul unei chei de comandă, care poate realiza comenziile "eprit", "acționare stînga" și "acționare dreapta".

Explicația funcționării schemei dispozitivului electronic II este prezentată în Anexa 4.

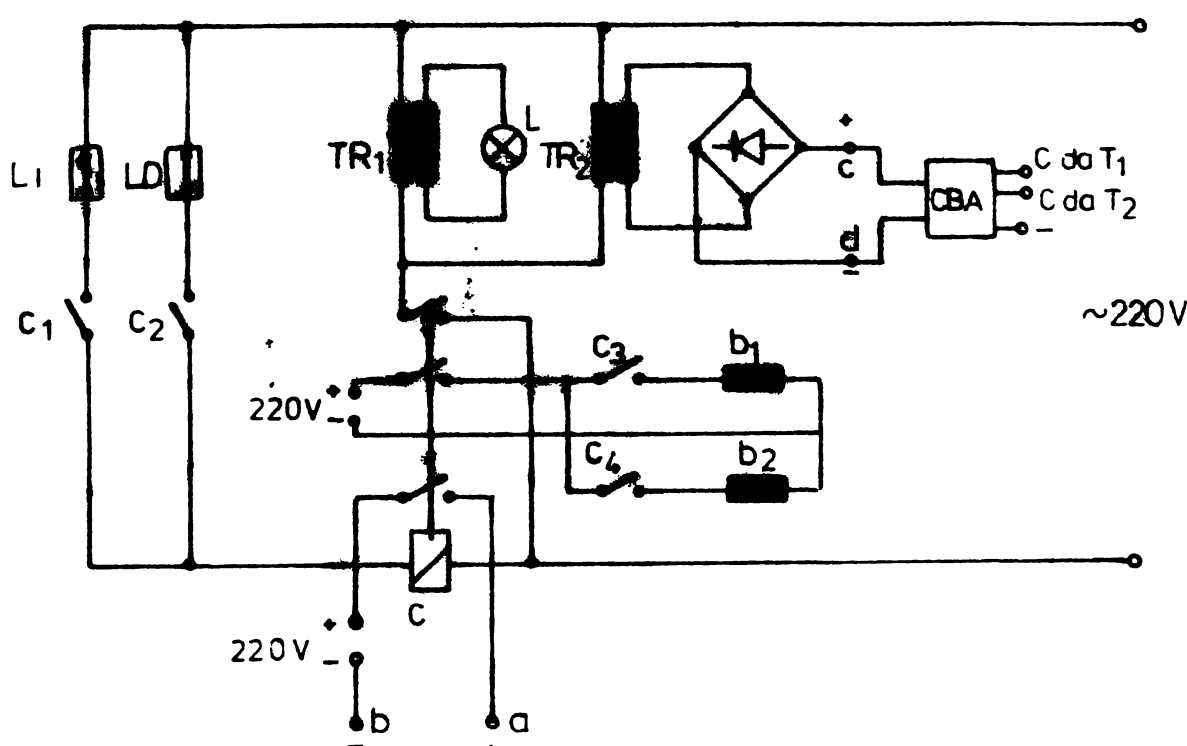


Fig.6.41 . Schema electrică a dispozitivului electronic II.

$b_1, b_2$  - bobinele electromagnetelor auxiliare ai dispozitivului tip "torpedo"; TR1 - transformator de semnalizare; CBA (220 V/24 V); L - lampă de semnalizare; CBA - circuit basculant astabil; TR2 - transformator pentru alimentarea CBA (220 V/12 V); C - contactor de curent alternativ; LI, LD - limitatoare de cursă; C1, C2, C3, C4 - contactele cheii de comandă.

Elementele schemelor de comandă și de alimentare au fost poziionate într-o cutie de comandă, a cărei vedere de ansamblu este prezentată în figura 6.42 .

Lateral dreapta, cutia de comandă este prevăzută cu două prize  $P_1$  și  $P_2$  (fig.6.43 ), a căror utilitate este de asemenea prezentată în Anexa 6.4.

Se precizează că tiristoarele și diodele utilizate în schema de comandă au fost prevăzute cu radiatoare corespunzătoare calculate, pentru a împiedica distrugerea lor prin efecte termice. Cutia de comandă este realizată din material izolator (plexiglas), pentru a proteja operatorul care execută manevrele impotriva electrocutului.

pozitia elementelor schemei de comanda si alimentare in interiorul

Dispozitivul electronic funcționează astfel, fără impulsuri de tensiune de alimentare a bobinelor electro-magneticilor D.P.P fiind cea prezentată în figura 6.40.

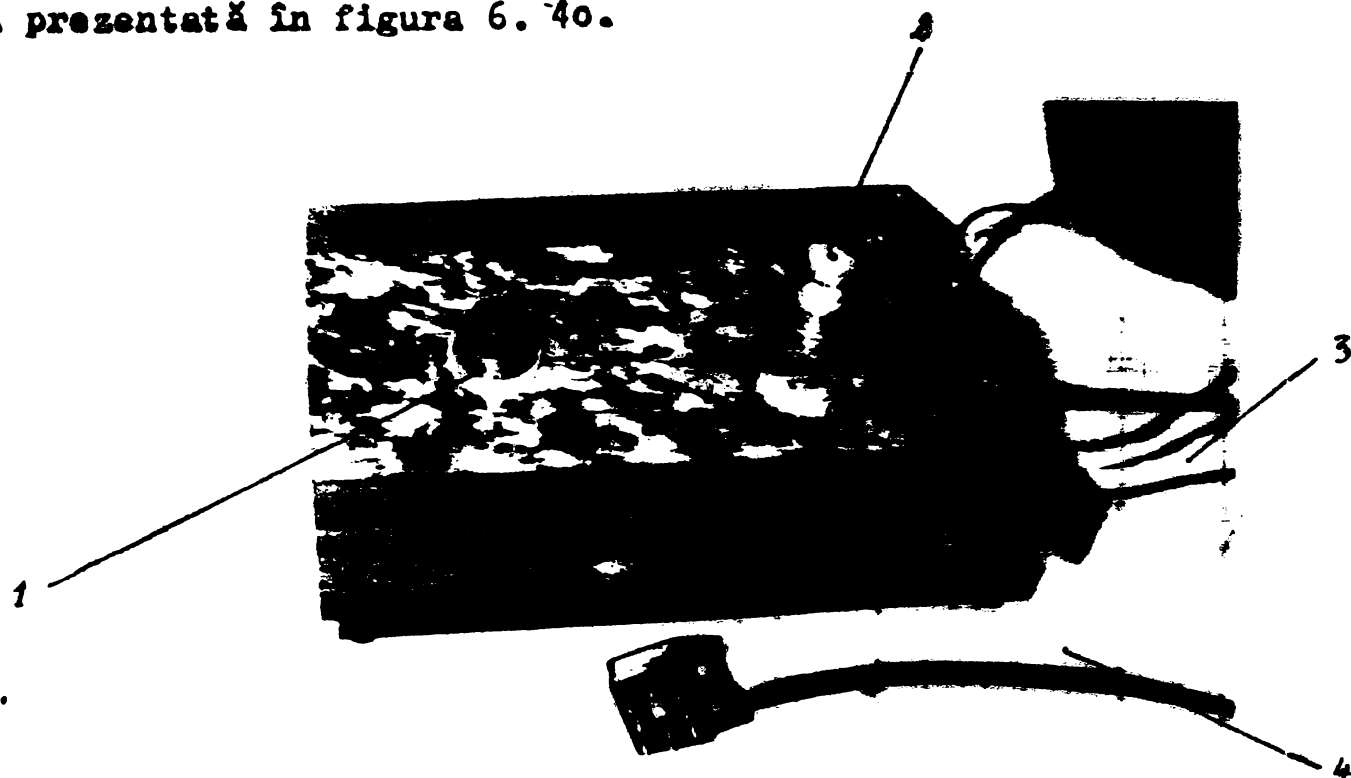


Fig.6. 42. Vedere de ansamblu a cutiei de comandă.

1 - lampă de semnalizare a acțiunării; 2 - cheie de comandă; 3 - cablul cu priza  $P_1$ ; 4 - cablul cu priza  $P_2$ .

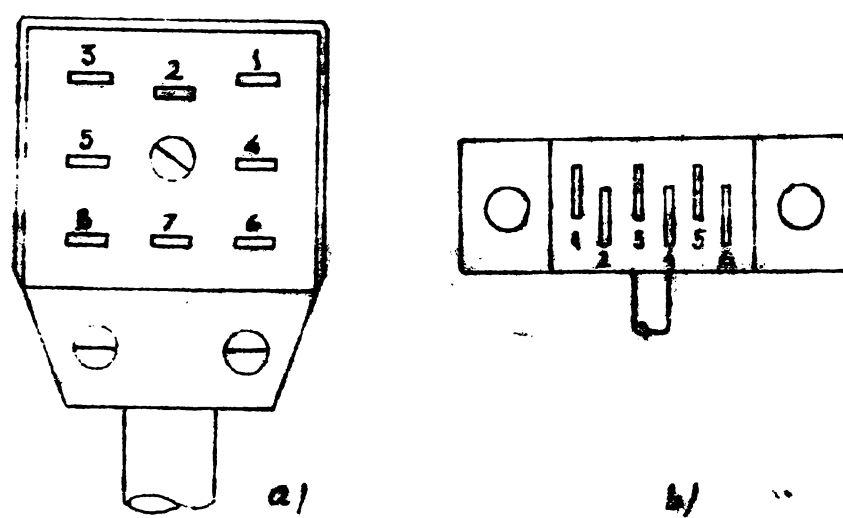


Fig.6.43.. Dispunerea contactelor pe prizele  
 $P_1$  si  $P_2$ :

a) Priza  $P_1$ ; b) Priza  $P_2$ .

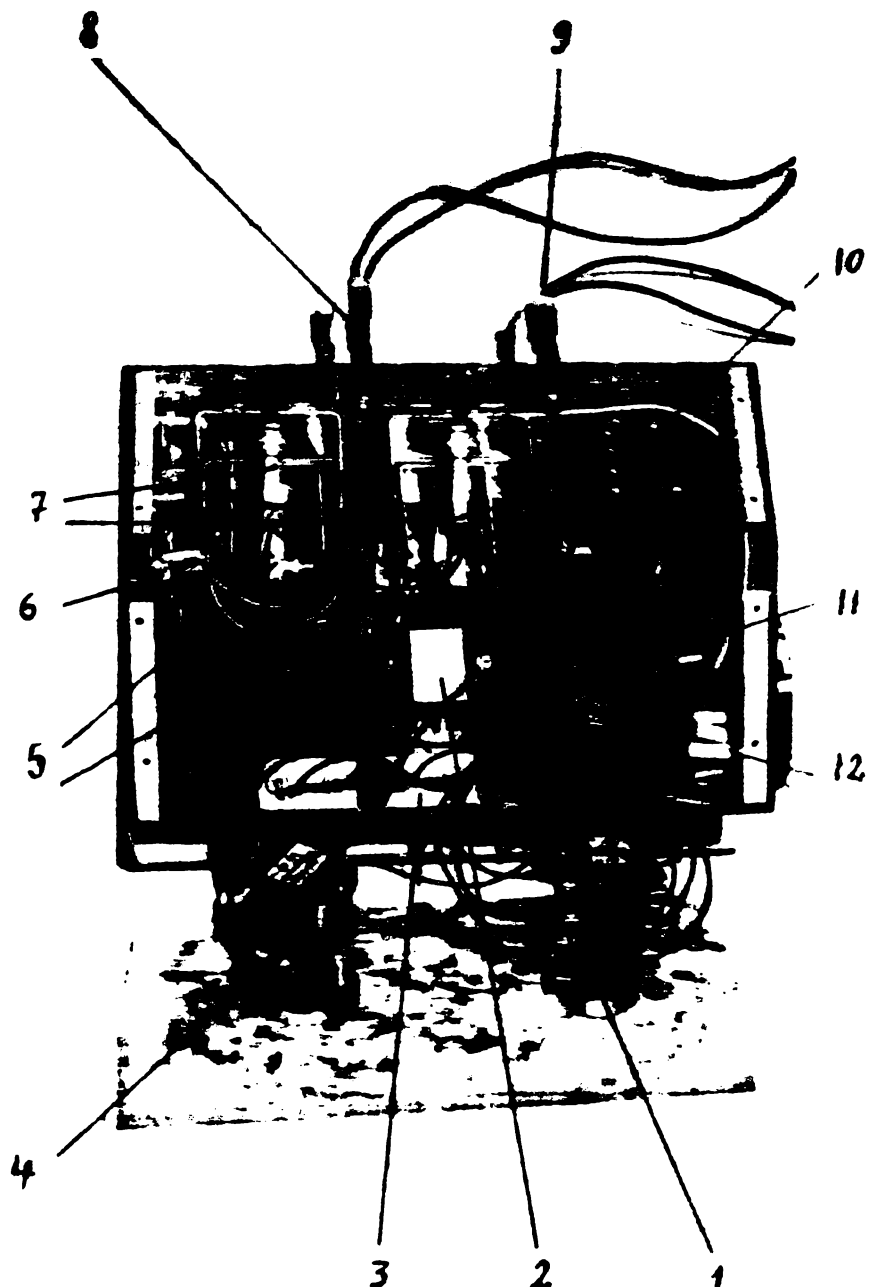


Fig. 6. 44.. Vedere de ansamblu a interiorului cutiei de comandă:

1 - cheie de comanda; 2 - transformatorul  $T_{A2}$  pentru alimentarea CBA; 3 - condensatoare de stingeră; 4 - transformatorul  $T_{R1}$  pentru semnalizare; 5 - tiristoare montate pe radiatoare; 6 - circuitul basculant astabil (CBA); 7 - diode montate pe radiatoare; 8,9 - borne de alimentare; 10 - contactorul C de curent alternativ ; 11,12 - contactele prizelor  $I_1$  și respectiv  $I_2$ .

#### **6.4. ACTIONAREA CU D.P.P. BI-DIRECȚIONAL A SEPARATORULUI ELECTRIC DE 110 kV**

##### **6.4.1. Solutiile actuale de actionare a sepoaratorilor electrice de înaltă tensiune**

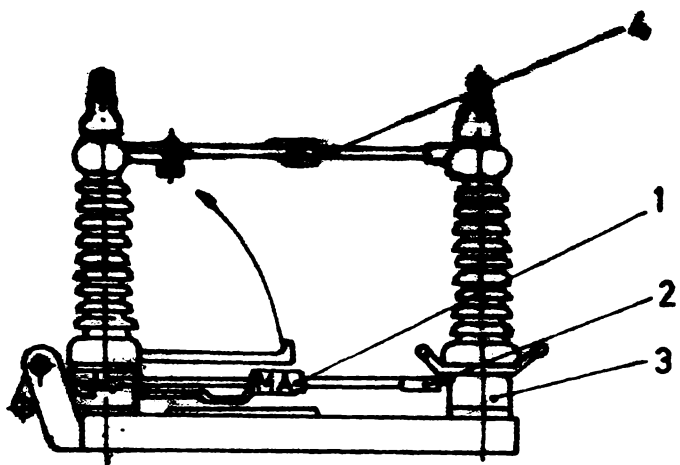
In cadrul instalațiilor de înaltă și foarte înaltă tensiune un rol important au separatoarele electrice, care sunt destinate pentru a închide sau deschide circuite electrice de interior și exterior, fără sarcină, la tensiunea nominală și la frecvența nominală și pentru a suporta timp multumită curentii de sarcină, sau un anumit timp și curentii de scuarie.

Actionarea operativă a separatoarelor electrice construite la noi în țară, se realizează cu următoarele tipuri de dispozitive de acționare: manual, folosind un dispozitiv de tip A.M.E. pentru acționarea cuștelor principale și un dispozitiv de același tip pentru acționarea cuștelor de legare la pămînt; pneumatic, folosind un mecanism de tip A.P. pentru cuștele principale și altul același tip pentru cele de legare la pămînt; electric, folosind dispozitive cu motor electric de tip A.S.E./33//84//93A.

##### **6.4.2 Actionarea separatoarelor electrice de IT cu motoare electrice liniare.**

Separatoarele electrice de medie și înaltă tensiune pot fi acționate prin utilizarea motoarelor electrice liniare. Soluția de principiu a unei asemenea acționări este prezentată în fig.

S-a realizat acționarea unui separotor electric de 110 kV cu un motor electric liniar tubular de inducție proiectat și executat în cadrul catedrei de Utilizările energiei electrice și mașini electrice al Institutului politehnic "Traian Vuia". În fig. 6.45 și 6.46 sunt prezentate motorul electric liniar și modul de acționare a separatorului. La o tensiune de alimentare de 110 V c.a. și un curent absorbit de 40 A s-au obținut acționări ferme (închis-deschis) ale separatorului într-un timp de 4-6'.



**Fig. 6.45. Acționarea unui separator electric utilizînd un motor electric liniar.**

1. Motor electric liniar; 2. Pirghie; 3. Coloană izolantă rotativă; 4. Contactele electrice.

**Acționarea separatoarelor electrice cu motoare electrice liniare prezintă avantaje în ceea ce privește simplitatea alimentării cu energie și întreținerea.**

Acest tip de acționare, în stadiul actual de dezvoltare a motoarelor electrice liniare în țara noastră, prezintă următoarele dezavantaje:

a/ Gabarit, greutate și preț de cost comparabile cu cele ale soluțiilor clasice de acționare, sau chiar mai mari la aceleasi performanțe funcționale. Spre exemplu, un mecanism de acționare cu aer comprimat (A.P.) dezvoltat la piston o forță de acționare de circa 2000 N. Un motor de inducție liniar tubular proiectat pentru a realiza o asemenea forță de tractiune la pornire are dimensiunile: diametrul = 150 mm; lungimea = 1100 mm, superioare dimensiunilor de gabarit ale mecanismului pneumatic. Asemenea dimensiuni mari de gabarit impun poziționarea motorului liniar sub șasiul separatorului electric, pentru păstrarea distanțelor de izolație, fapt care complică acționarea cu motor electric liniar.

b/ Rendament energetic scăzut al motoarelor electrice liniare, avind în vedere și vîtea mică de acționare necesară (aproximativ 0,05 m/s).

c/ La acționarea separatoarelor electrice cu motoare electrice liniare de inducție nu este posibilă realizarea acționării în situația căderii tensiunii alternative de alimentare și trecerea alimentării sistemelor de comandă, semnalizare etc.



din stațiiile electrice pe curent continuu, furnizat de baterii-le de acumulatori.

Totuște aceste dezavantaje fac ca în era actuală motoarele electrice liniare să nu constituie o soluție tehnico-economică avantajoasă în acționarea separatoarelor electrice.

#### 6.4.3. Acționarea separatoarelor electrice cu DPP bidirectionale

Deși în general, dispozitivele actuale de acționare a separatoarelor electrice corespund funcțional, ele prezintă totuși o serie de dezavantaje legate de întreținerea, exploatarea și siguranța lor în funcționare. Astfel, dispozitivele cu aer comprimat sunt relativ complicate constructiv și necesită o întreținere pretențioasă, în deosebi în condiții climaterice grele (frig, umiditate etc.). Semnalizările pozițiilor "închis" și "deschis" la acționările prin dispozitivele cu aer comprimat nu sunt sigure, necesitând de regulă acționari la fața locului și nu de la distanță. La dispozitivele de acționare cu servomotor, transmiterea mișcării de acționare necesită un mecanism de reducție a vitezei, ceea ce complică instalația și îi micșorează randamentul. În general, mecanismele de acționare sunt mai dificil de întreținut și exploatat decât separatoarele electrice pe care le acționează.

În aceste condiții, este justificată încercarea de găsire a unor noi soluții de acționare care să corespundă din punct de vedere funcțional, fără a prezenta dezavantajul actualelor soluții.

Dispozitivele electrice cu mișcare liniară "pas cu pas" bidirectionale îndeplinesc în bune condiții principalele cerințe ale acționării separatoarelor electrice:

- forță mare de acționare;
- viteză mică de acționare;
- funcționare atât în curent continuu cât și în curent alternativ;
- realizarea blocajului la capăt de cursă;
- semnalizarea acționării.

Dispozitivele electromagnetice acoperă cu ușurință virfurile de sarcină necesare deblocării acționării separatorului la începutul cursei și blocării acestuia la sfârșitul cursei. Fiind în construcție deschisă, permit adaptarea unor sisteme simple de semnalizare a acționării. Acționarea actualelor tipuri de

separatoare electrice cu dispozitive electromagnetice cu atingeri liniare "pas cu pas" bidirectionale poste fi realizată prin adăuga la înlocuire a dispozitivelor clasice de acționare, fără modificări constructive de esență.

Acționarea cu DPP bidirectional al separatorului electric de 110 kV de exterior, tip "STE" s-a realizat printr-un sistem de pîrghii potrivit dimensionat. O vedere de ansamblu a acționării este prezentată în fig. 6.47.

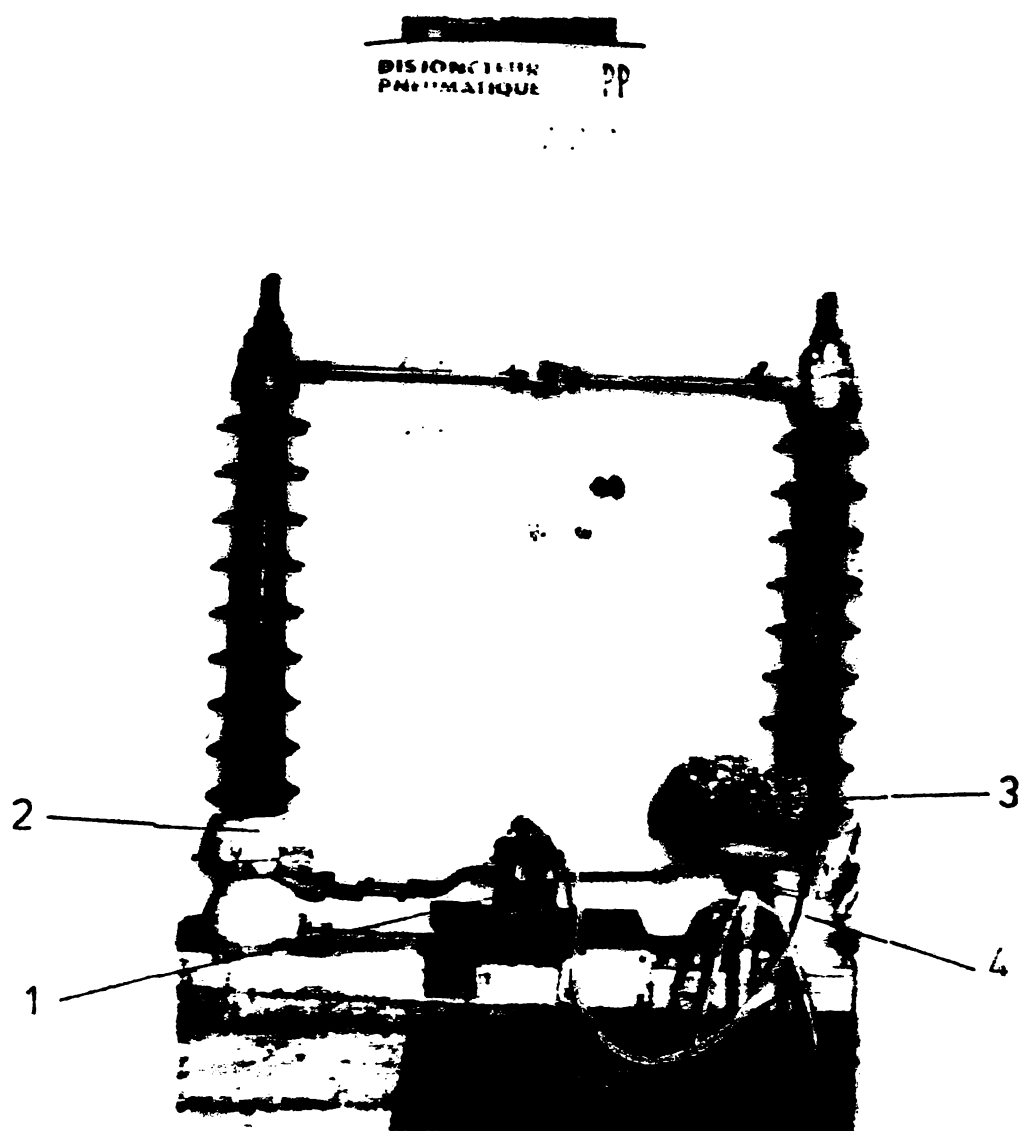


Fig. 6.47. Vedere de ansamblu a acționării unui separator electric de 110 kV cu DPP bidirectional. 1-DPP bidirectional; 2-separatorul electric; 3-cutia de comandă; 4-cordonul de alimentare a DPP.

In Fig. 6.48 este prezentat un detaliu al acestui acționări. Au fost realizate un număr de 100 acționări închidere-deschidere a separatoarelor electrice, obținându-se următoarele rezultate:

- timpul de închidere-deschidere: 4 - 6'

- puterea maximă absorbită în sarcină: 90 W

Au fost executate acționări pentru diferite frecvențe ale impulsurilor tensiunii de alimentare, frecvența maximă fiind de 5 Hz, limitată de inertiea masei elementelor în mișcare.

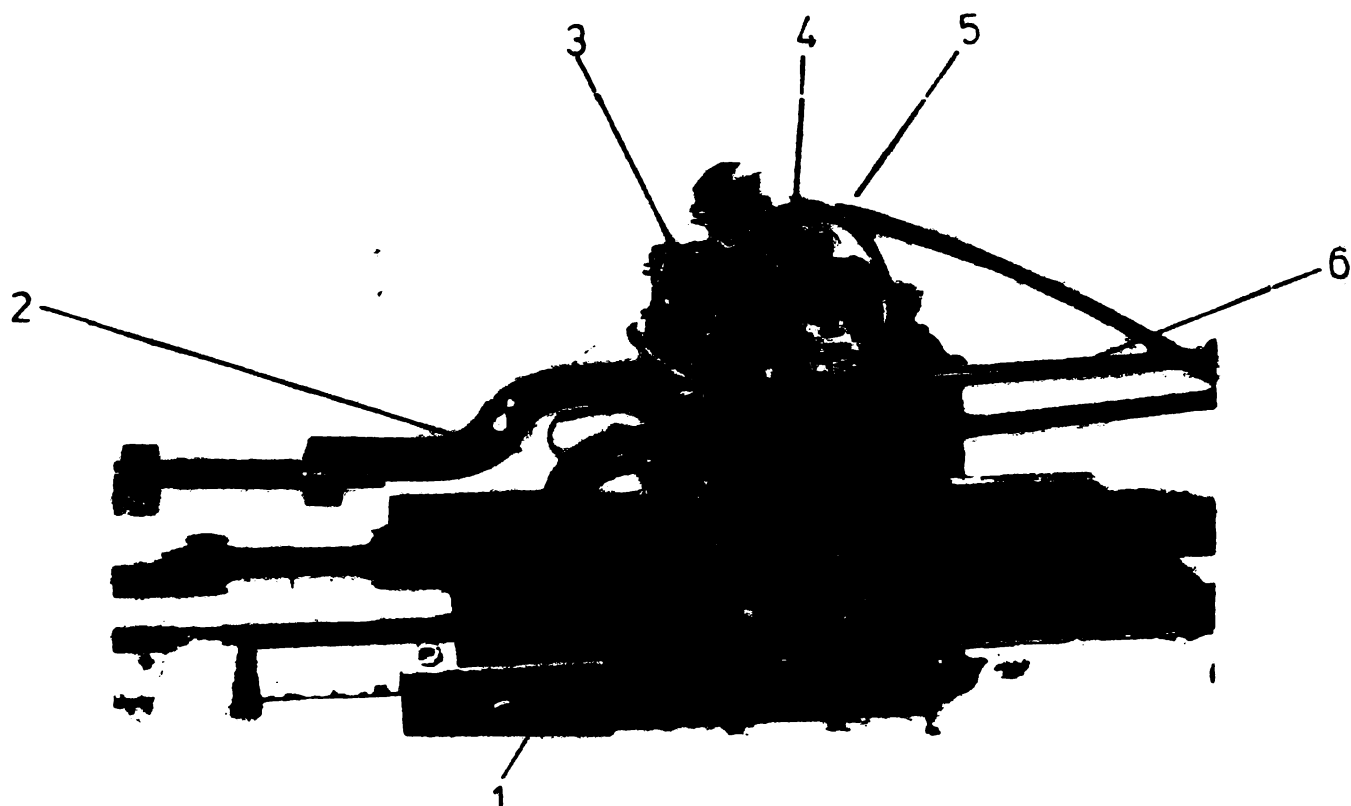


Fig.6.48 Detaliu al acționării separatorului electric de 110 kV. cu DPP bidirecțional. 1-șasiu; 2-sistem de pîrghii; 3-armătură fixă; 4-armătură mobilă; 5-fise cu cablu de alimentare; 6-axul acționării

#### 6.4.4. Studiu tehnico-economic privind utilizarea DPP în acționările electrice

Studiul performanțelor tehnico-economice ale dispozitivului electromagnetic cu mișcare liniară "pas cu pas" bidirecțional utilizabil la acționarea separatoarelor electrice, comparativ cu performanțele tehnico-economice ale mecanismelor clasice de acționare, evidențiază avantaje incontestabile ale dispozitivului electromagnetic.

In tabelul 6.8 sunt prezentate cîteva date semnificative în acest sens:

TABLEAU 5

Nr. ort.	Tipul dispo- zitivu- lui	Copul maxim (forță)	Tensiune- nem /V/	Pute- rea /W/	Faza- tia /vite- za/	Masa /kg/	Coeficient /mm <sup>2</sup> /	Pret unit /lei/
1.	A.M.E.	14,2 kgfm -5	-	-	-	29	146/669	530
2.	A.P.-5	35,2 kgfm	-	-	-	35	740/300	920
3.	A.S.E. 1-1	25 kgfm	220 cc	250	25000 rot/min	90	430/833	7600
4.	D.P.P.	100 kgf	30 cc	90	0,05 m/s	15	110/190	1250

Caleul economic privind construcția modelului de DPP bidirectional este prezentat în anexă 5.

### 6.5. ALTE APLICATII ALE OSCILOMOTORARELOR LINIARE

#### 6.5.1. Ciocane cu acțiunea electromagnetici

##### 6.5.1.1. Considerații tehnice și aplicații

Necesitatea înlocuirii ciocanului manual cu o mașină mecanică cu percuție s-a rezisțit la începutul secolului al XX-lea. S-a pus problema realizării unui dispozitiv care să producă lovitură mai dese și mai puternice, mașină care pe lângă creșterea considerabilă a eficacității lucrului să scutească lucrătorul de o muncă fizică istovitoare.

Deoarece energia produsă de aerul comprimat era mai accesibilă și relativ mai sigură, primele mașini care au înlocuit ciocanile manuale au fost construite având la bază principiul mișcării de date-vine al unui percurtor-piston actionat de energia aerului comprimat, în interiorul unui cilindru /82/. Aceste ciocane pneumatice și-au găsit o largă întrebuitare ca dălti, ciocane de năuit, în industria metalurgică prelucrătoare, în construcții și în exploatare miniere. O lungă perioadă de timp ciocanele pneumatice nu au fost concurate, fiind singurele mașini fizibile de percuție în aceste domenii. Dacă ciocanul pneumatic ca mașină este extrem de solid, simplu, ieftin și corespunde în producție din punct de vedere al simplicității întreținerii, întreaga gospodărire pe care o implică este complicată, voluminoasă și scumpă. Datorită pierderilor foarte mari la canalizarea aerului comprimat, randamentul redus al ciocanului însuși, complexității întregii

instalații necesare pentru transformarea energiei, se obține un randament foarte scăzut și ca urmare energia pneumatică devine extrem de scumpă. Aceste neajunsuri ale instalației de aer comprimat se fac resimțite îndeosebi în exploatarele miniere /16/. Tinind cont de numărul foarte mare de ciocane care funcționează la o mină modernă mecanizată, este necesară o instalatie de aer comprimat foarte întinsă, cu lungi conducte subterane, care nu numai că ocupă relativ mult loc în galeriile înguste ale minelor, ci sunt și surse de pierderi enorme de energie. Această nerentabilitate a gospodăriei de aer comprimat apare foarte pronunțată și prin aceea că introduce necesitatea a două feluri de energie (electrică și pneumatică) creând o serie de neajunsuri în exploatare și reducind randamentul general a gospodăriei energetice a unei mine.

Inlocuirea energiei pneumaticice cu energie electrică permite să fie înălțurate instalațiile complicate și scumpe de compresoare, ieftinind în același timp costul energiei și ușurind folosirea ei. Totodată electrificarea minei are o serie de avantaje și de alt ordin: să permită să se automatizeze producție, să fie introdus un sistem de dispeceri, să se furnizeze energie în orice punct al minei etc.

Aceste avantaje impun realizarea și utilizarea ciocanelor electrice, care să satisfacă următoarele condiții principale: să aibă formă comodă și o greutate mică (cca.12 kg); să dezvolte la picior o lovitură destul de puternică și să aibă o frecvență a loviturilor care să-i permită obținerea unor performanțe cel puțin egale cu ale ciocanului pneumatic; să nu se încălzească peste 50°C la o funcționare oricăt de lungă; piesele lui trebuie să fie solide, rezistente, iar numărul pieselor să fie minim; demontarea și asamblarea lui să se facă cu ușurință; ciocanul să fie rezistent și funcționarea lui sigură. În afară de acestea, ciocanul trebuie să îndeplinească în mod obligatoriu toate condițiile de protecția personalului și tehnica securității muncii.

#### 6.5.1.2. Variante constructive de ciocane electromagnetice experimentale

Au fost executate 3 variante constructive de ciocane electromagnetice, prin adaptarea la acționarea electromagnetică a unor ciocane pneumatici de abataj tip CAL4. Principiul acționării constă în utilizarea oscilațiilor a armăturii mobile a unui electromagnet la acționarea perceptorului ce lovește unealta de lucru.

obténese la electromagnetización. Los gases condensados sirven de estanque a electromagnéticos en forma de anillos que se convierten en el sistema hidráulico o hidrocarburante.

Funcție de aceste posibilități au fost construite următoarele 3 tipuri de eliocane electromagnetice:

a) Ciclam electromagnetic cu o bobină și un răscoară, a cărui schită de principiu este prezentată în fig. 6.49, variantele experimentale realizate fiind prezentate în fig. 6.50.

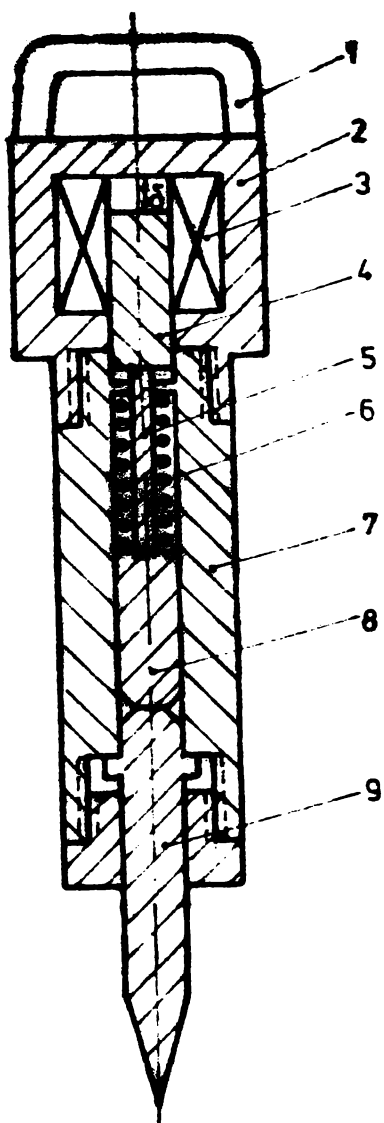
In fig. 6.5c se disting părțile componente ale eicocanului electromagnetic: mînerul, în care este amplasată bobina electromagnetică, plonjerul, resortul, perutorul, carcasa și ușoară de lucru. Se observă că au fost amintite mai multe tipuri de plongere și perutori, pentru a se experimenta forum optimă a acestora.

Bobina a fost confeționată din conductor de CuEn și o,35 mm,  
avînd numărul de spire  $N = 3170$  spire, rezistență electrică  $R_{\text{bobină}} =$   
 $= 109 \Omega$  și curentul admisibil  $i_a = 0,4 A$ . Corespondența cu  
de 4-10 cm, reglabilă prin poziționarea coresei în  
corpul ciocanului prin intermediul filetului cu  
tă. Deoarece bobina a fost construită ca să încapă în cavașa ar-  
ginală a ciocanului pneumatic, aspectul exterior al ciocanului  
electromagnetic este identic cu cel al ciocanului pneumatic.

b) Ciocan electromagnetic cu două bobine de acționare, a cărui schită de principiu este prezentată în fig.6.51, varianta experimentală realizată fiind prezentată în fig.6.52.

Conform figurii 6.52 rezultă că această variantă de ciocan electromagnetic, cu două bobine de acționare, se obține din varianta anterioară, cu o bobină și resort, prin eliminarea resortului și adăugarea la partea inferioară a ciocanului a unei a două bobine, ale cărei construcție și amplasare sunt vizibile în fig.6.52.

Bobiina inferioară este executată din conductor de CuBn  
 $\varnothing$  0,6 mm, având numărul de spire  $N = 2660$  spire, rezistența electrică  $R_{bob} = 42 \Omega$  și curentul admisibil  $i_a = 1$  A. Au fost executate mai multe tipuri de plonjoare și pereteșoare pentru a se stabili forma și masa optimă a acestora. Aspectul exterior al acestui ciocan electromagnetic este foarte asemănător cu cel al ciocanului pneumatic.



**Fig. 6.49. Ciocan electromagnetic I, cu o bobină și resort.**  
1-miner; 2-armătură fixă; 3-bobinaj; 4-armătură mobilă; 5-tijă; 6-resort antagonist; 7-corpul ciocanului; 8-percutor; 9-unealta de lucru; 0 - întrefier.

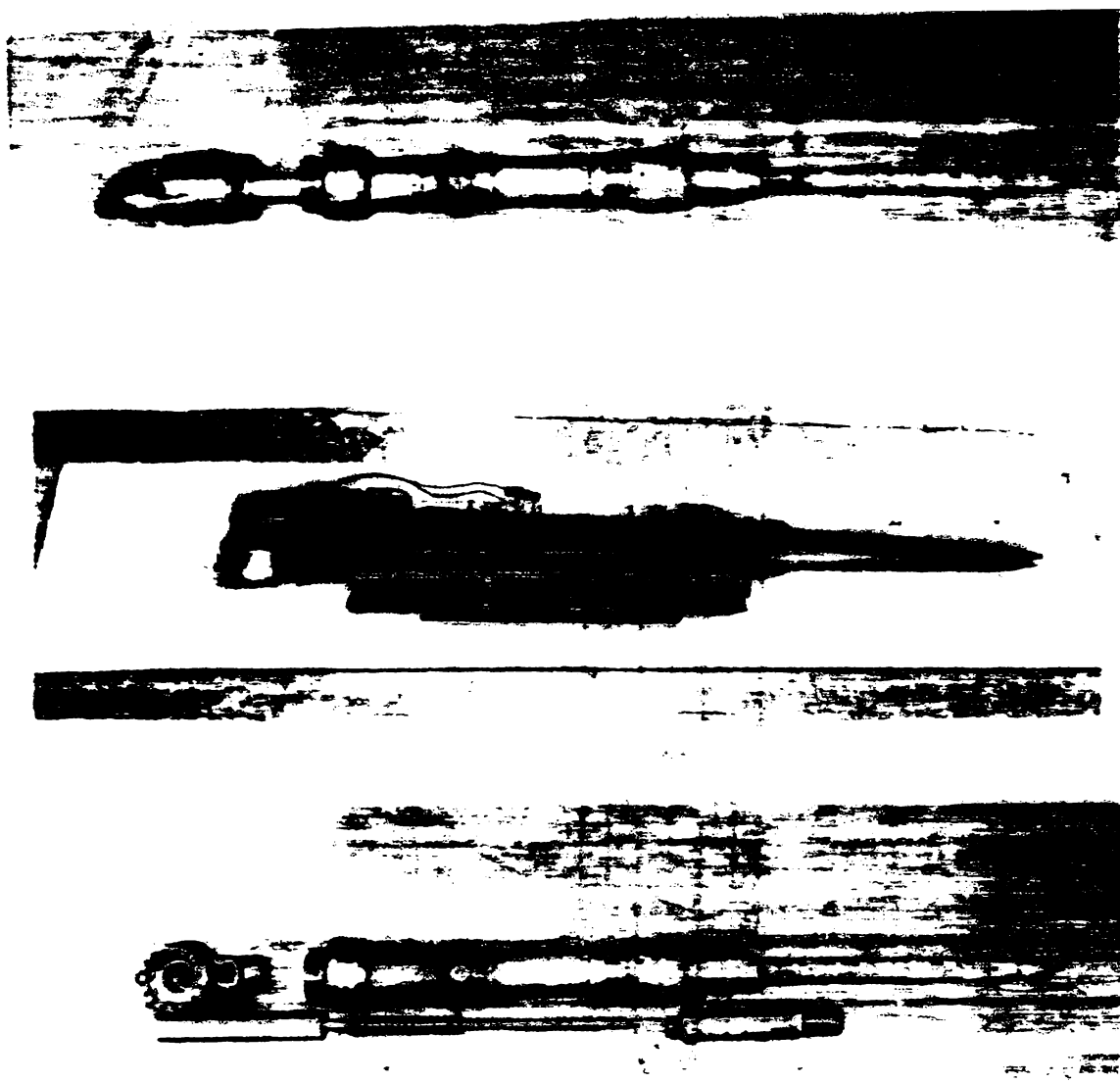


Fig.6.50. Ciocan electromagnetic I cu o bobină și resort

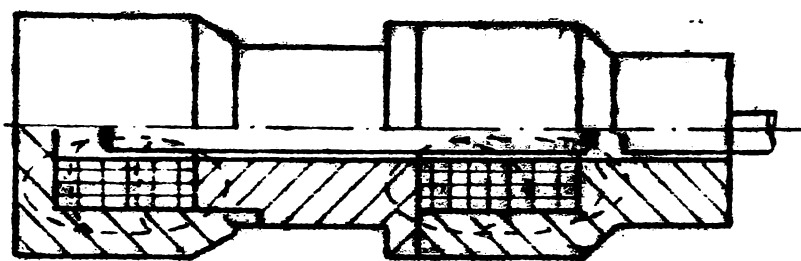


Fig.6.51.Ciocan electromagnetic II cu două bobine.

c) Ciocan electromagnetic cu două bobine de acționare și resort, care reprezintă o combinație a primelor două tipuri, varianțele experimentale realizate fiind prezentate în fig. 6.53.

Se observă că au fost utilizate numeroase tipuri de resorte, plonjoare și percutoare pentru a se verifica varianțele constructive optime.

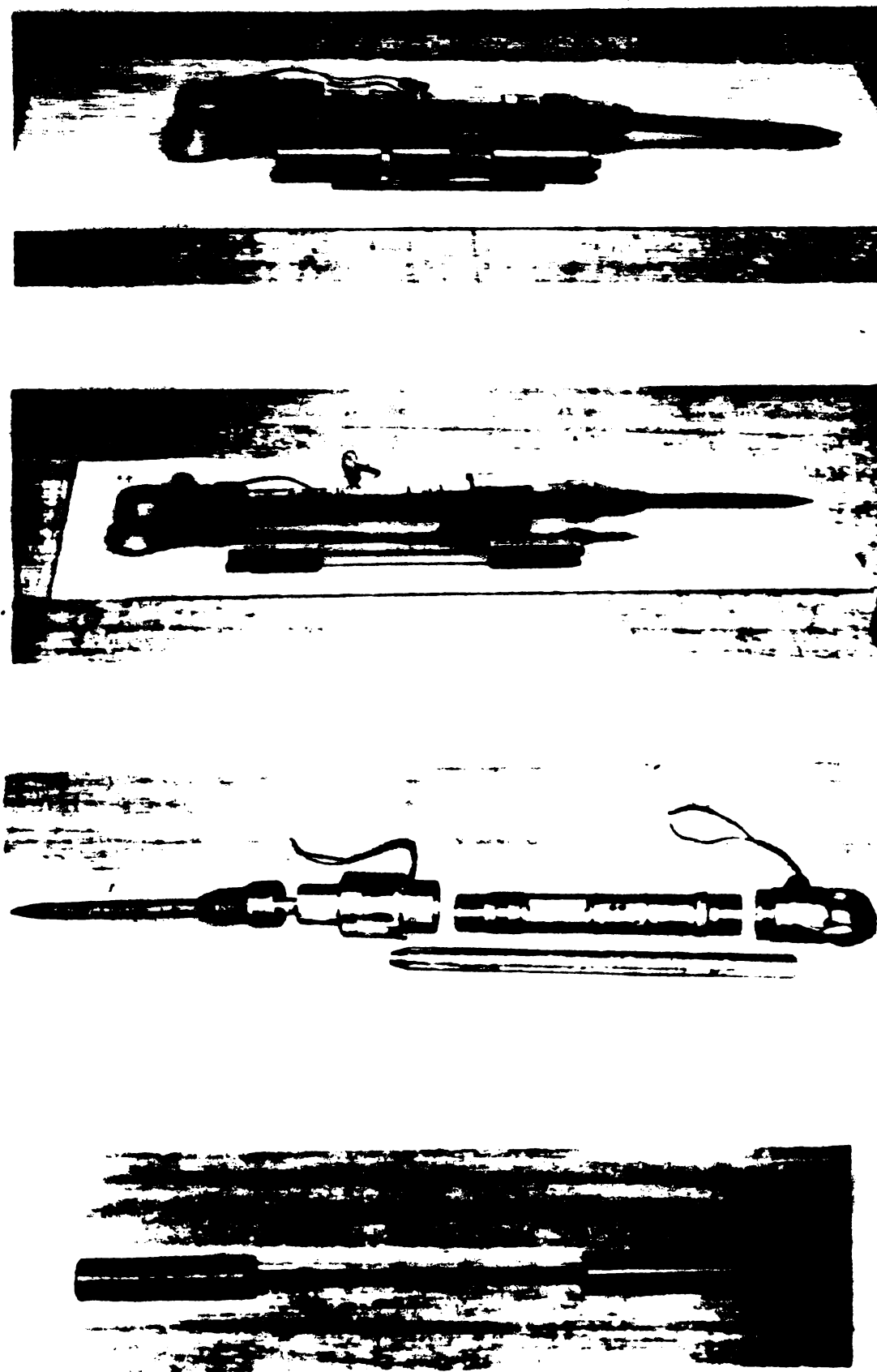


Fig. 6.52. Glocan electromagnetic II, cu două bobine.

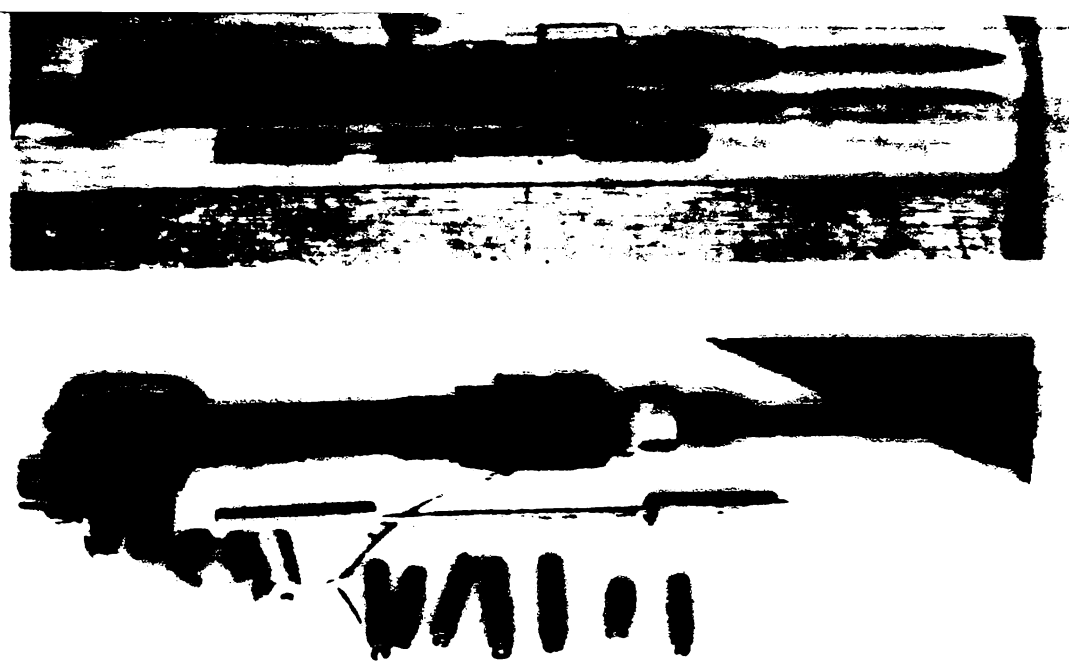


Fig 6.53. Ciocan electromagnetic III, cu două bobine și resort

#### 6.5.1.3. Performanțele modelelor experimentale de ciocane electomagneticice

Pentru încercarea modelelor de ciocane electromagneticice executate, s-a realizat alimentarea băncilor de la sursa de tensiune sub formă de impulsuri prezentată în fig. 6.40, ansamblul sursă ciocan electromagnetic fiind prezentat în fig. 6.54.

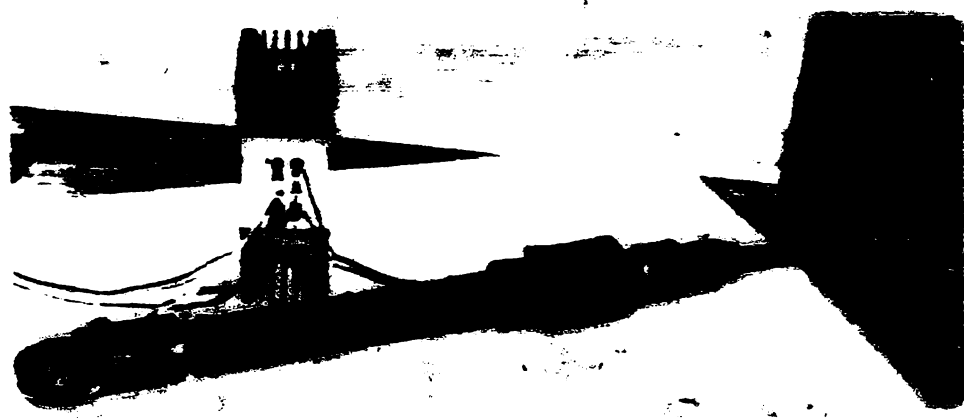


Fig.6.54. Ansambla sursă-ciocan electromagneticic.

S-au realizat încercări de spargere a unor materiale de construcție cu rezistențe mecanice diferite, obținindu-se următoarele rezultate:

- cărămida cu grosimea de 6,5 cm: spartă din 2-3 lovituri;
- placă din beton armat de 15 cm: spartă din 15-20 lovituri;
- placă din marmură cu grosimea de 4 cm: spartă din 9-le lovituri;
- placă de beton de 15 cm: spartă din 10-15 lovituri.

~~S-a realizat experimentară cu sisteme electromagnetice realizeate în cele 3 variante, constatăndu-se că varianta de ciocan cu două bobine (fără resort) lucrează cel mai bine. Varianta cu două bobine și resort nu a dat rezultate scontate, deoarece nu au putut fi sincronizate forța de atracție a bobinei active cu cea a resortului.~~

Frecvența maximă de lucru a fost de 50 Hz pentru un plonjor cu masa de 2,1 kg și de 2 Hz pentru plonjorul cu masa de 4,5 kg. La frecvențe mai mari, plonjoarele nu mai urmăresc impulsurile date de sursa de alimentare, datorită inertiei. La frecvența de lucru de 5 Hz folosind dispozitivul de alimentare cu tiristoare, spargerea materialelor de construcție se realizează rapid (20 loviturile ale percutorului durează 4 sec).

Prin intermediul unei scheme realizate conform schiței din fig. 6.55 s-au efectuat măsurători privind forță statică dezvoltată de electromagnetul inferior asupra plonjorului cu cap tronconic al ciocanului electromagnetic.

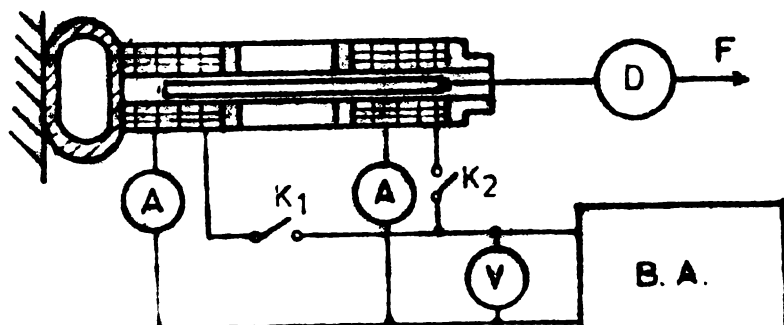


Fig.6.55. Montaj pentru determinarea forței electromagnetice excitată asupra plonjorului ciocanul electromagnetic.

D - Dinamometru; B.A. - Bloc de alimentare.

Rezultatele măsurătorilor sunt trecute în tabela 6.9.

Se constată din grafic că valoarea forței nu are variații pronunțate funcție de întregier, datorită formei constructive a electromagnetului de actionare tip "plongor" /52/, fapt care

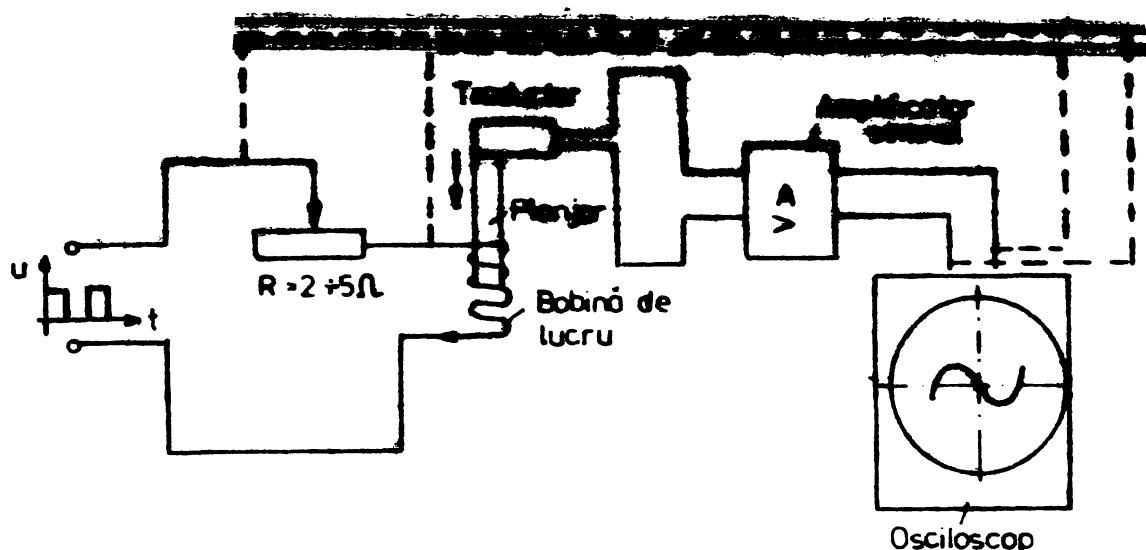
<b>U V</b>	<b>I A</b>	100	120	140	160	180	200	220	240	260	280
10	0,2	180	0	30	0	0	0	10	10	0	0
20	0,4	230	120	100	0	0	10	20	15	10	0
30	0,6	260	180	140	40	10	20	30	10	15	0
40	0,8	290	210	150	70	140	80	50	20	20	0
50	1,1	300	230	190	100	140	120	80	60	20	0
60	1,3	320	250	200	130	210	180	120	90	60	0
70	1,5	330	260	250	150	230	220	160	120	80	0
80	1,7	320	270	260	160	250	240	190	150	120	0
90	1,9	330	280	310	180	280	250	220	180	150	0
100	2,2	320	300	270	200	320	290	250	210	170	0
150	3,4	350	320	300	360	340	350	350	300	280	0
200	4	360	340	250	330	380	410	400	350	340	0

permite realizarea unei curse lungi a plonjorului și creșterea prin aceasta a energiei sale cinetice, pe care o cedăază prin ciocnire uneltei de lucru. Se constată că, din motive construcțive /52/ forța are un minim în jurul intrefierului de 15 mm. Pentru obținerea maximului forței de perereșie s-a realizat un studiu al formei plonjorului, ajungindu-se la concluzia că forma cea mai indicată este cea cu cap cilindric. Înlocuind plonjorul cu cap tronconic cu unul cu cap cilindric, forța a crescut cu circa 30 %.

Cu ajutorul unei scheme executate conform schiței din fig. 6.56. s-au înregistrat variațiile în timp ale curentului din infășurarea bobinei inferioare și acceleratiei plonjorului ciocanului electromagnetic în regimul dinamic de funcționare a acestuia, pentru diferite valori ale cursei plonjorului.

Inregistrările, copiate direct de pe ecranul osciloskopului cu memorie sunt prezentate în fig. 6.57.

Tensiunea de alimentare a fost sub formă de impulsuri cu amplitudinea de 220 V și frecvența de 10 Hz. Se constată că în



**Fig. 6.56** Montaj pentru înregistrarea caracteristicii  $i = f(t)$  și  $a = f(t)$  ale ciocanului electromagnetic.

timpul deplasării plonjorului atât accelerăția, cât și curentul sunt aproximativ constante. Variatiile de accelerare în lungul cursei se datorează frecările intermitente a plonjorului de peretei canalului de înaintare; sunt vizibile pe diagramele înregistrate oscilațiile plonjorului după ciocnirea cu unealta de lucru. Deoarece accelerarea plonjorului este direct proporțională cu forța electromagnetică ce acționează asupra sa, rezultă că pe parcursul cursei forța este aproximativ constantă, fapt verificat și prin măsurările statice prezentate în tabelul 6.9. Se verifică și prin măsurările dinamice faptul că forța are un minim pe parcursul efectuării cursei în jurul întrefierului de 15 mm.

Scăderea la zero a curentului prin înfășurare în timpul pauzei impulsului tensiunii de alimentare se realizează în cca. 50 ms.

#### 6.5.1.4. Studiu tehnico-economic privind utilizarea ciocanelor electromagnetice

Se calculează, comparativ, energia consumată în timpul unui an de funcționare de un ciocan pneumatic și unul electromagnetic:

a) energia consumată anual de ciocanul pneumatic /16/:

- consum de aer pentru un ciocan de abataj, de tip CA 14:

$$Q = 0,46 \text{ mc/min} \cdot 60 \text{ min} = 27,60 \text{ mc/oră}$$

- timpul de funcționare  $T = 1228 \text{ ore/an}$

- consumul specific mediu de energie electrică pentru seria de compresoare cu piston 1 V 15/7, 2 V 30/7, 3 V 45/7: 2 kW/mc de aer la 4 at:

- consum total energie electrică: 68667 kWh

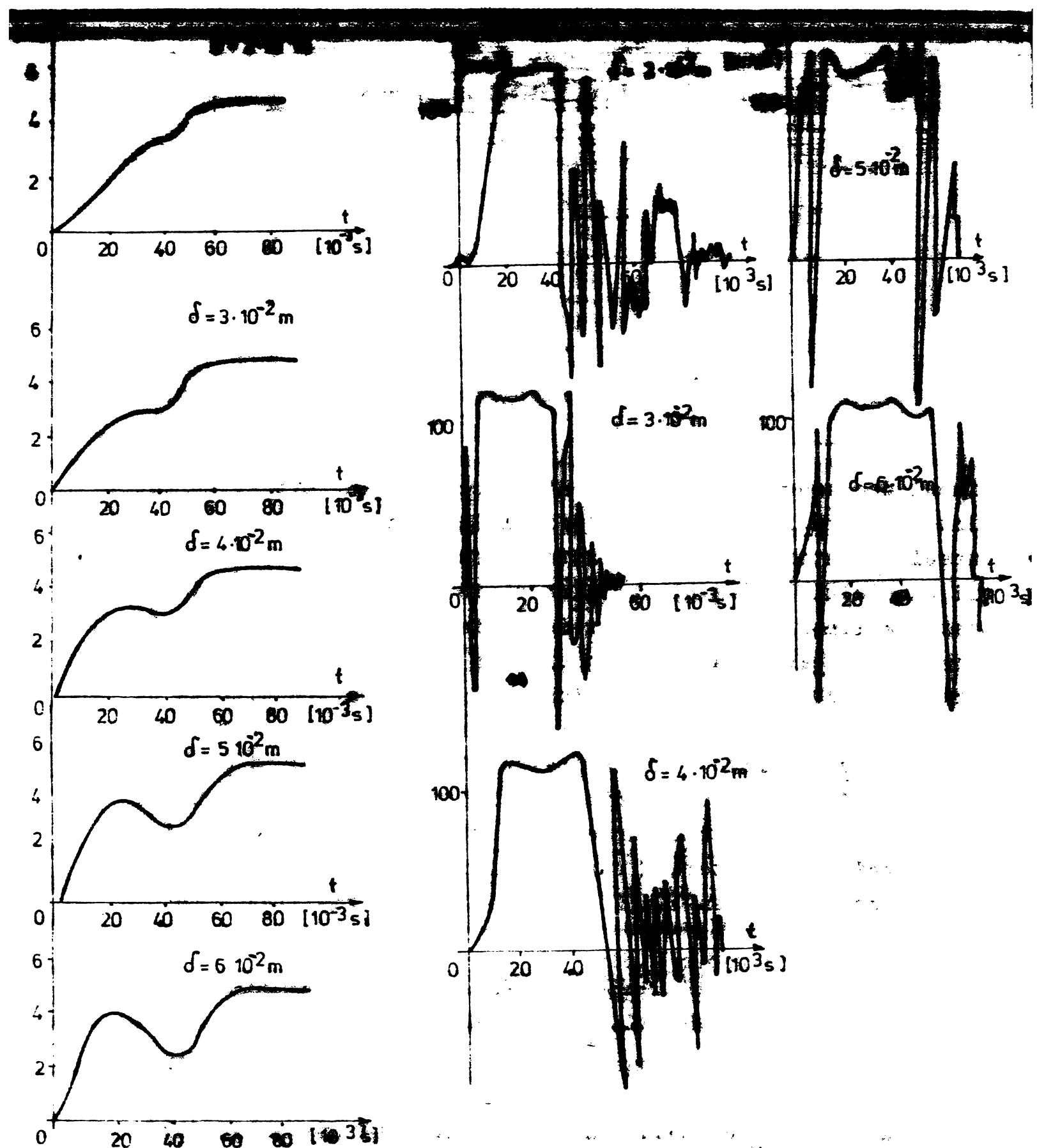


Fig.6.57. Oscilogrammele  $i = i(t)$  și  $a = a(t)$  pentru funcționarea în regim dinamic a ciocanului electromagnetic.

### b) analiza consumului annual de ciocanul electromagnetic

- consumul de energie pe ora: 1,25 kWh (ciocan cu 1 secundă)
- timpul de funcționare T = 1228 ore/an
- consum total de energie electrică: 1547,28 kWh/an

Rezultă aşadar că un ciocan electromagnetic, realizat apropiativ la același preț de cest ca și cel pneumatic, cu performanțe comparabile consumă de cca 40 ori mai puțină energie de cît cel din urmă.

Așadar, prin înlocuirea ciocanului pneumatic cu cel electromagnetic se înlătură instalațiile complicate și scumpe de compresoare, reducindu-se în același timp consumul de energie și ușurindu-se folosirea ei.

Pentru folosirea ciocanelor electomagnetic pledează și avantajele de natură igienică și fiziologică. În acest sens, nivelul poluării aerului cu praf este mai mic prin utilizarea ciocanului electromagnetic, totodată se reduce și nivelul poluării sonore, ceea ce conduce la condiții mai bune de lucru.

Tot de acestea recomandă utilizarea ciocanului electromagnetic în locul celui clasic, pneumatic.

#### 6.5.2. Minicompressor actionat electromagnetic

Mișcarea oscilantă a armăturii mobile a unui electromagnet poate fi folosită pentru acționarea pistonului unui compresor.

Actionarea este simplu de realizat constructiv și este avantajoasă în situațiile în care este nevoie de debite mici de aer. Minicompresoarele acționate electromagnetic pot fi folosite în domeniul automobilismului casnic etc.

În fig.6.58 se prezintă schița unei variante de minicompressor, utilizabil spre exemplu la umflarea roților unui automobil, prin alimentarea directă de la sistemul electric al automobilului, prin intermediu unui dispozitiv electronic format de impulsuri.

S-a realizat un minicompressor prin echiparea cu un set de supape și a unei conducte de aer a dispozitivului electromagnetic cu mișcare liniară pas cu pas unidirectional, prezentat în fig.6.59.

#### 6.5.3. Utilizarea oscilomotorilor la acționarea

##### întretreruptoarelor electrice

Pentru acționarea întretreruptoarelor de medie tensiune se folosesc mecanisme pneumatico sau cu resort, capabile să dezvolte viteze mari de acționare pe scena energiei acumulate într-un rezervor cu aer comprimat, respectiv într-un resort tensionat. Deoarece deplasarea armaturilor electromagnetului sub acțiunea forței de atracție

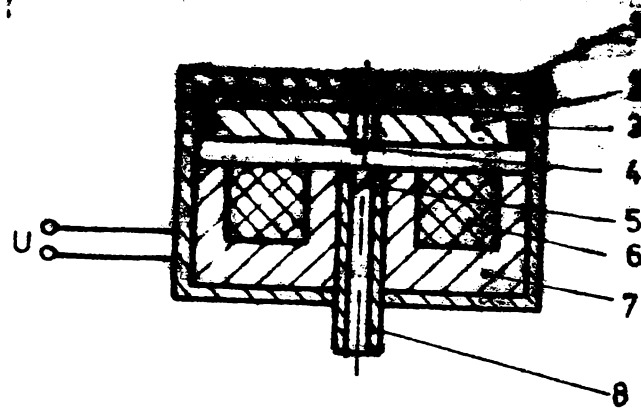


Fig. 6.58. Minicompressor acționat electromagnetic  
1-carcasa etanșă.2-armătura mobilă.3-inel de etanșare.4-supapa de admisie.5-supapă de evacuare.6-bobinaj.7-armătura fixă.8-conducător de aer.



Fig. 6.59. Model experimental de minicompressor  
a) Sistemul de supape; b) Minicompressor.

se realizează pe distanțe scurte, cu viteze relativ mici, electromagnetii nu pot fi folosiți la acționarea directă a intreruptoarelor electrice. Pot fi însă utilizati la armarea mecanismelor cu resort, folosite la acționarea intreruptoarelor de medie tensiune.

Schita lanțului cinematic de armare a resortului mecanismului de acționare tip MR a unui întreuptor de medie tensiune conform /53/, /54/, /100/ este prezentată în fig. 6.60. Mișcarea se transmite de la

sectorul 6, prin intermediul curelei 7, roata de curățe 8 și  
roata de curățe 9, care prin intermediul pîrghiei 3 actionează roata dințată 1 ce armează resortul 2.

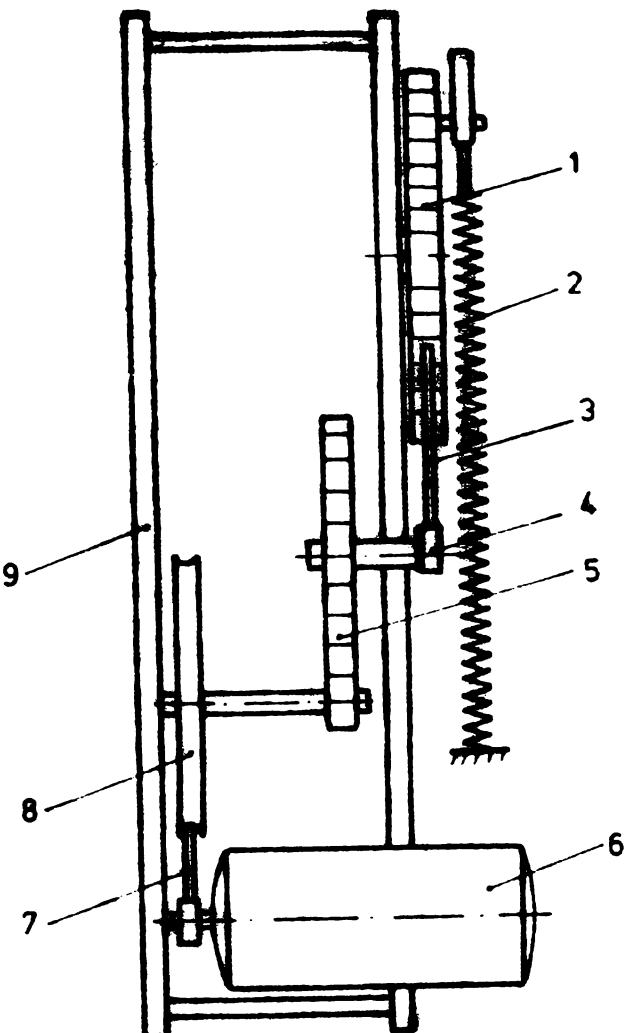


Fig. 6.60. Lanțul cinematic de armare a resortului unui mecanism de acționare tip MR.

1-roata dințată; 2-resort, 3-pîrghie, 4-ax cu casă,  
5-reductor de turatie, 6-servomotor, 7-curea de  
transmisie, 8-roată de curățe, 9-cadrul.

In fig. 6.61 se prezintă o variantă constructivă a unui mecanism de acționare cu resort tip MR în care armarea acestuia se realizează prin intermediul unui electromagnet a căruia armătură mobilă execută o mișcare oscilantă.

Mișcarea armăturii mobile a electromagnetului 2 se transmite prin sistemul de pîrghii 1 și roții dințate 3, care armează resortul 4.

Se constată că aceste soluții de armare prin intermediul oscilometoarelor reduc lanțul cinematic de transmitere a mișcării și oferă posibilitatea unei reduceri substanțiale a gabaritului mecanismului de acționare cu resort.

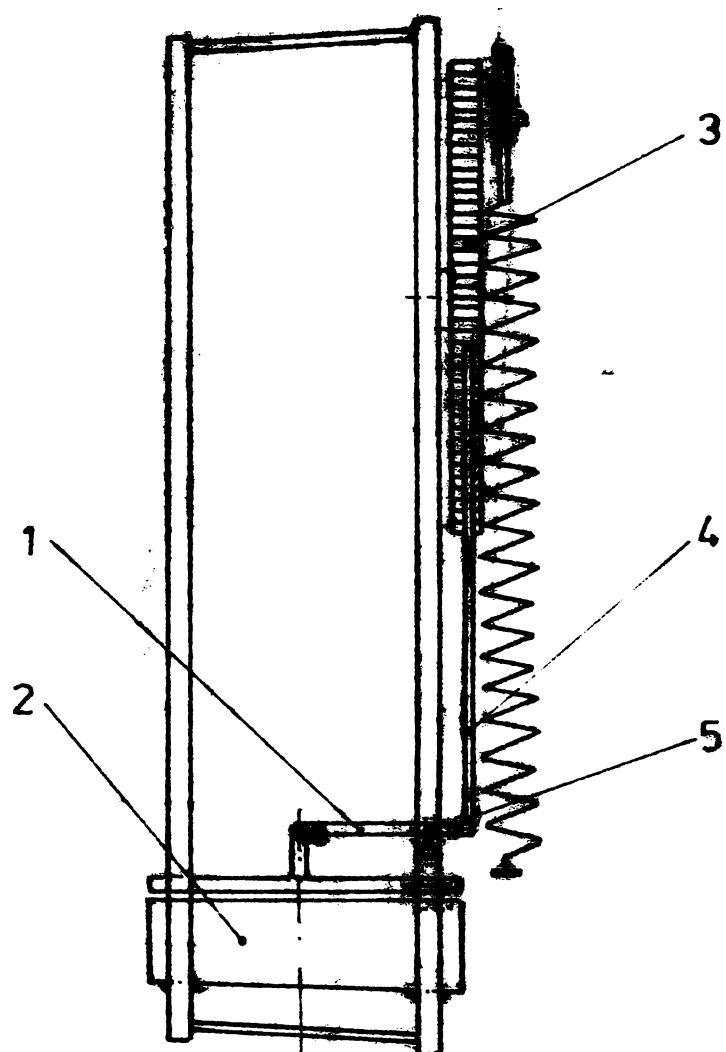


Fig.6.61. Schema lantului cinetic al mecanismului cu securitate armat cu electromagnetie.  
1-sistem de pirghii, 2-electromagnet, 3-roata dentata pentru armarea ressortului, 4-resort,  
5-articulatie.

## VII. REZULTATE

Principalele concluzii rezultate în urma cercetărilor teoretice și experimentale realizate în lucrare sunt următoarele:

- Dispozitivele electromagnetice cu mișcare liniară "pas cu pas" (D P P), care-și basează funcționarea pe însumarea într-un sens sau celălalt a mișcării de oscilație executată de armătura mobilă a unui electromagnet constituie o soluție tehnico-economică avantajoasă în realizarea unor acționări industriale.

- Sumatoarele de oscilații sunt dispozitive mecanice care necesită o execuție îngrijită și tratamente termice adecvate, prin care se asigură funcționalitatea și fiabilitatea. Se recomandă sumatorul de oscilații tip "torpedo" ce realizează cuplarea fermă a axului acționării la oscilometru, pentru oricare din sensurile acționării.

- Ca urmare a performanțelor funcționale, D P P pot fi utilizate la realizarea acelerării acționării în care sunt necesare forțe mari (mii de N) și viteză relativ mică de acționare (de ordinul  $10^{-2}$  m/s).

- Parametrii acționării cu D P P pot fi reglați în limite relativ largi pentru un dispozitiv dat, atât prin variația amplitudinii și frecvenței impulsurilor tensiunii de alimentare, cît și prin reglarea valorii maxime a intrefierului electromagnetului de acționare, toate realizabile într-o manieră simplă și precisă. În lucrare se indică variante de regimuri de alimentare ce asigură o funcționare optimă (rendament maxim).

- D P P sunt simple constructiv, robuste și fiabile, prețindu-se la utilizarea în regimuri grele de acționare.

- Regimul de funcționare a DPP este în fapt regimul dinamic al unui electromagnet, caracterizat prin variația simultană în timp a mărimilor electrice și magnetice, a accelerării și vitezei armăturii mobile. Studiul acestui regim se poate realiza prin metode aproximative analitice sau grafice, respectiv într-o manieră mai riguroasă prin metode numerice, pe calculator.

- În studiul regimului dinamic al electromagnetilor de acționare a D P P, teoremele forțelor generalizate pot fi folosite pentru determinarea valorilor momentane ale forțelor dezvoltate de electromagnet. Aceea teoremă a forțelor generalizate expusă în lucrare se alătură în chip firesc cele două teoreme clasice, calculurile realizate pe baza acestei teoreme spre exemplu privind forța dezvoltată de un electromagnet, conduc la rezultate similare celor obținute cu

#### REGIMURI DINAMICE.

- Inductivitatea "de mișcare" definită în cadrul reprezentării o experiență mai generală a noțiunii de inductivitate; inductivitățile de tip clasic se regăsesc din inductivitatea "de mișcare" pentru regimuri dinamice particolare.

Inductivitatea "de mișcare" intervine în ecuațiile regimului dinamic similar modului în care inductivitatea "statică" intervine în ecuațiile regimului transitoriu electric. Utilizarea inductivității "de mișcare" oferă o metodă analitică operativă pentru estimarea caracteristicilor unui regim dinamic.

Valorile negative ale inductivității "de mișcare" evidențiază analitică variația descreșătoare a curentului în regimul dinamic de funcționare a electromagnetelor.

- Deoarece forța dezvoltată de electromagnet depinde de variația inductivității totale cu întreierul, exprimată prin suma inductivităților principale și de dispersie și deoarece inductivitatea de dispersie variază cu întreierul, rezultă că forța dezvoltată de electromagnet depinde și de variația cu întreierul a inductivității de dispersie, respectiv a fluzului de dispersie.

- Regimurile dinamice caracterizate prin  $i = ct$ ,  $\Psi = ct$ , sau  $\Psi \cdot i = ct$  nu pot fi obținute în mod real la alimentarea electromagnetului cu tensiune constantă. Astfel de regimuri se pot obține doar forțat, asigurîndu-se o anumită variație în timp a tensiunii de alimentare, respectiv a sarcinii armăturii mobile. Regimul dinamic  $i = ct$  conduce la  $F = ct$  eferind o metodă grafică, respectiv analitică de determinare a forței dezvoltate de electromagnet.

Pentru toate cele trei regimuri particulare se pot scrie relații analitice care să descrie evoluția în timp a principalelor mărimi ce caracterizează regimul dinamic.

- Metoda grafică de soluționare a ecuațiilor regimului dinamic al unui electromagnet, propusă în lucrare, reprezintă o extindere a metodelor clasice, fiind mai precisă și posibilă în evidențierea unor importante echivalențe între reprezentările grafice și valoările parametrilor regimului dinamic, făcându-o posibilă și lucrului mecanic dezvoltat de electromagnet.

- Metoda numerică de soluționare a ecuațiilor regimului dinamic propusă în lucrare se bazează pe echivalențele energetice stabilită prin metoda grafică, fiind relativ simplă și aplicabilă fără utilizarea unor tehnici speciale de integrare.

- Determinarea unei caracteristici ale sarcinilor dinamice de funcționare a unui electromagnet în regim IV (s, V-V(t) și a), înslăbitiv a variației în timp a inductivității acestuia  $I = I(t)$ , pe baza cunoașterii caracteristicii  $i = f(t)$  constituie o metodă precisă și simplă, comparativ cu metodele clasice de determinare a acestor caracteristici. Metoda se poate aplica cu aceleași avantaje și în studierea regimurilor statice de funcționare a electromagneților.

- Relațiile de calcul stabilite pentru determinarea fluxurilor și inductivităților unui electromagnet "în manta", pentru diferite configurații ale circuitului magnetic, sunt deosebit de utile pentru calculul de proiectare al acestor electromagneți. Reține atenția faptul că în armătura mobilă, respectiv în jug fluxul nu este maxim în dreptul polului central, cum se consideră de obicei în calculele de proiectare ci la jumătatea distanței dintre cei doi poli, concluzie utilă pentru proiectarea optimă a circuitului magnetic al electromagneților. Trebuie avut în vedere faptul că aceste relații se aplică în forma în care au fost stabilite numai la acei electromagneți care respectă ipotezele simplificatoare considerate (cimpuri plan paralele); se pot aduce corectii, în funcție de forma geometrică concretă a electromagneților.

- Proiectarea electromagneților pentru regimul dinamic de funcționare diferă esențial de proiectarea acestora pentru regimul static. Metoda preliminară de proiectare a electromagneților pentru funcționarea în regim dinamic, prezentată în capitolul IV, oferă posibilitatea determinării rapide, directe și suficient de precise a principalelor dimensiuni constructive ale electromagnetului, a regimului de alimentare și comandă, scurtind calculul de definitivare a acestora, care se realizează prin lungi și complicate metode numerice. Proiectarea se realizează pe baza unor criterii de optim constructiv și funcțional.

- Electromagneții pot avea oricare din formele constructive uzuale, recomandindu-se însă tipul de electromagneți "în manta", al căror flux de dispersie este minim comparativ cu al celorlalte tipuri de electromagneți.

- Alimentarea și comanda D P P se pot realiza într-o manieră fiabilă numai prin utilizarea dispozitivelor electronice cu comutăție statică, care sunt simplu și relativ economice de executat, oferind posibilitatea varierii în limite largi a parametrilor de comandă și de alimentare. Funcție de cerințele acționării, se pot stabili regimuri optime din punct de vedere energetic pentru alimentarea D P P.

- Modelele experimentale de D P P uni și bidimensionale proiectate și executate conform principiilor constructive și funcționale propuse în teză au fost încercate la mers în gol și sarcină, în diferite regimuri de alimentare.

Caracteristicile regimului dinamic determinate prin măsurători, cu ajutorul unei aparaturi adecvate ( $i = i(t)$ ,  $\frac{d\psi}{dt} = f(t)$ ,  $\psi = \Psi(t)$ ,  $a = a(t)$ ), coincid cu suficientă precizie cu caracteristicile anticipate prin calculul de proiectare; acest fapt confirmă utilitatea metodei de proiectare prezentată în lucrare, precum și a metodelor grafică și numerică de soluționare a ecuațiilor regimului dinamic prezentate la capitolul III.

- Măsurările experimentale efectuate confirmă precizia ridicată a metodelor indirecte de determinare a forțelor de atracție dezvoltate de electromagnet în regim static de funcționare, metode care nevoie instalații mai simple pentru efectuarea măsurătorilor.

- Prototipurile de D P P uni și bidimensionale executate au funcționat corect, răspunzînd în bune condiții comenziilor date, realizând un mare număr de acționări în gol și în sarcină.

- Datorită calităților și performanțelor obținute se recomandă utilizarea D P P în unele acționări industriale, cum ar fi conveierele cu lanț, transportoarele cu bandă, separatoarele electrice și altele.

- Schemele electronice de alimentare și comandă a D P P proiectate și executate au corespuns cerințelor funcționale, asigurînd regimurile de alimentare prescrise și funcționarea corespunzătoare a D P P.

- A fost realizată experimental, în bune condiții, acționarea cu un D P P bidirectional a unui separator electric de 110 kV; conform studiului tehnic-economic efectuat, acționarea se realizează în condiții de gabarit, preț de cost și consum de energie inferioare acționărilor clasice utilizate în prezent.

Experimental s-a constatat că motoarele electrice liniare nu oferă o soluție tehnico-economică avantajoasă pentru acționarea separatoarelor electrice de înaltă tensiune.

- Modelele de ciocane electromagnetic proiectate și construite au dat rezultate pozitive la încercări; realizate prin modificări minime ale actualelor tipuri de ciocane pneumatic, păstrînd performanțele acestora, ciocanele electromagnetic au avantajul înălăturării instalațiilor scumpe și complicate de compresare, reducerii consumării de cibuluri de energie, reducării poluării mediului

- Oscilometranele, care sunt la baza funcționării A.P.P.,  
respectiv a oscilatorilor electro-pneumatice, pot fi aplicate avantajos  
și în alte acțiuni industriale, cum ar fi spre exemplu compreso-  
rele pneumatici, acționarea intreprinderilor electrice și altele.

## ANEXA I

### EQUAȚIILE DE TIP LAGRANGE REFERITOARE LA REGIMUL DINAMIC AL ELECTROMAGNETILOR

Ecuatiile (3.11) (3.12) și (3.13) (paragraful 3.4), referitoare la regimul dinamic al electromagnetilor se pot scrie sub forma unei ecuații de tip Lagrange, astfel:

$$\frac{d}{dt} \left( \frac{\partial T}{\partial \dot{x}} \right) - \frac{\partial T}{\partial x} = - \frac{\partial P}{\partial x} - \frac{\partial R}{\partial \dot{x}} + Q_x \quad (\text{A 1.1})$$

$$\frac{d}{dt} \left( \frac{\partial T}{\partial \dot{q}} \right) - \frac{\partial T}{\partial q} = - \frac{\partial P}{\partial q} - \frac{\partial R}{\partial \dot{q}} + Q_q \quad (\text{A 1.2})$$

în care:

$$T(x, \dot{q}) = \frac{1}{2} m \dot{x}^2(t) + \frac{1}{2} L(x) \dot{q}^2(t) \quad (\text{A 1.3})$$

reprezintă energia cinetică a sistemului electromecanic ce are două grade de libertate: unul mecanic, coordonate generalizate fiind  $x$  (poziția armăturii) și unul electric, coordonate generalizate fiind  $q$  (sarcina electrică),  $L(x)$  fiind inductivitatea bobinei electromagnetului;

$$P(x, q) = \frac{1}{2} k_R [x(t) - \delta_{\max}]^2 \quad (\text{A 1.4})$$

reprezintă energia potențială a sistemului,  $\delta_{\max}$  fiind poziția armăturii mobile (întrefierul) pentru care forța resortului este nulă;

$$R(x, \dot{q}) = \frac{1}{2} r \dot{x}^2(t) + \frac{1}{2} R \cdot \dot{q}^2(t) \quad (\text{A 1.5})$$

reprezintă funcția de tip Rayleigh, care exprimă energia disipată în sistem;

$$Q(x) = mg \quad (\text{A 1.6})$$

reprezintă greutatea părților în mișcare,  $g$  fiind acelerația gravitațională;

$$Q(q) = U \quad (\text{A 1.7})$$

reprezintă forța care în coordonate generalizată  $q(t)$  corespunde tensiunii la borne. În aceste relații s-a notat cu  $\dot{x}(t)$  și  $\dot{q}(t)$  derivatele în raport cu timpul ale coordonatelor generalizate  $x(t)$  (poziția armăturii mobile) și  $q(t)$  sarcina electrică).

Notatiile  $m, k_R, r$  sunt conforme cu cele de la paragraful 3.4.

## A n x e l

### TEOREMELLE CLASICE ALE FORTELOR GENERALIZATE (LAGRANGIENE)

In modurile de tratare obisnuită /9/, / 12/, / 56/ teoremele forțelor generalizate (lagrangiene) se enunță separat pentru cimpul electrostatic și respectiv pentru cimpul magnetic staționar sau cvasistaționar.

In electrostatică, teoremele se demonstrează pentru un sistem de "n" circuite filiforme, situate la distanțe finite unul în raport cu celălalt, într-un mediu liniar, isotrop, fără magnetizare permanentă, infinit extins. Se admite că acest sistem poate fi caracterizat geometric prin "m" coordonate generalizate (liniare, unghiulare etc.), notate cu  $x_1, x_2, \dots, x_m$ . In baza teoremei de unicitate, energia magnetică  $W_m$  a sistemului se poate exprima:

$$W_m = W_m (\delta_1, \delta_2, \dots, \delta_n, x_1, x_2, \dots, x_m) \quad (A 2.1)$$

sau:

$$W_m = W_m (i_1, i_2, \dots, i_n, x_1, x_2, \dots, x_m) \quad (A 2.2)$$

deoarece fluxurile, respectiv curentii determină univoc cimpul.

Considerăm că fiecare circuit filiform se caracterizează prin rezistență electrică  $r_k$ , avind un cimp electric imprimat de tensiune electromotoare  $e_{ik}$ .

Se poate scrie:

$$e_{ik} = r_k \cdot i_k + \frac{di_k}{dt} \quad (A 2.3)$$

Multind relația (A 2.3) cu  $i_k \cdot dt$  și însumind pentru cele n circuite rezultă:

$$\sum_{k=1}^n e_{ik} \cdot i_k \cdot dt = \sum_{k=1}^n r_k \cdot i_k^2 dt + \sum_{k=1}^n i_k d\delta_k \quad (A 2.4)$$

în membrul stîng avind energia dată de surse.

Conform principiului de conservare a energiei, în intervalul de timp elementar considerat, energia totală dată de surse este egală cu suma pierderilor prin efect Joule-Lantz, variației energiei magnetice ( $dW_m$ ) și a lucrului mecanic elementar efectuat de forțele de natură electromagnetică ( $\delta_A$ ):

$$\sum_{k=1}^n e_{ik} \cdot i_k \cdot dt = \sum_{k=1}^n r_k \cdot i_k^2 \cdot dt + dW_m + \delta_A \quad (A 2.5)$$

$$\sum_{k=1}^n i_k d\phi_k = dW_m + \delta A \quad (A.2.6)$$

Se consideră o deplasare elementară virtuală  $dx$  efectuată sub acțiunea forței generalizate  $X_j$ . Pentru fluxuri constante relația (A.2.6) devine:

$$\delta A = X_j \cdot dx_j = - (dW_m)_{\phi_K=ct}, \text{ pentru } x_{h \neq j} = ct \quad (A.2.7)$$

ceea ce înseamnă că lucrul mecanic se efectuează pe seama scăderii energiei magnetice, fără apărț de energie de la surse.

Utilizând expresia (A.2.1) pentru energia magnetică, rezultă primă diferențiere:

$$dW_m = \sum_{k=1}^n \frac{\partial W}{\partial \phi_k} d\phi_k + \sum_{h=1}^n \frac{\partial W}{\partial x_h} dx_h \quad (A.2.8)$$

$$(dW_m)_{\phi_K=ct} = \left( \frac{\partial W}{\partial x_j} \right)_{\phi_K=ct} dx_j, \text{ pentru } x_{h \neq j} = ct \quad (A.2.9)$$

Deplasarea  $dx$  fiind arbitrară, din relațiile (A.2.7) și (A.2.9) se obține pentru forță  $X_j$ :

$$X_j = - \left( \frac{\partial W}{\partial x_j} \right)_{\phi_K=ct} = ct \quad (A.2.10)$$

I/ Așadar, forța generalizată  $X_j$ , care se exercită în direcția coordonatelor generalizate  $x_j$ , este egală și de semn contrar cu derivata energiei magnetice în raport cu coordonata generalizată  $x_j$ , calculată la fluxuri constante.

Se consideră apoi deplasarea elementară  $dx_j$  efectuată la curenti constanti. Variatia energiei magnetice, utilizând relația /9/:

$$W_m = \frac{1}{2} \sum_{k=1}^n \phi_k \cdot i_k \quad (A.2.11)$$

se exprimă:

$$(dW_m)_{i_k=ct} = \frac{1}{2} \sum_{k=1}^n i_k d\phi_k \quad (A.2.12)$$

Inlocuind în (A.2.6) rezultă:

$$\sum_{k=1}^n i_k \cdot d\phi_k = \frac{1}{2} \sum_{k=1}^n i_k d\phi_k + \delta A \quad (A.2.13)$$

care se mai scrie:

$$\sum_{k=1}^n \frac{\partial W_m}{\partial i_k} di_k = \text{ct}, \quad (\Delta 2.14)$$

$$x_{h \neq j} = \text{ct}.$$

ceea ce înseamnă că lucrul mecanic efectuat de forțele generalizate este echivalent cu creșterea energiei magnetice, ambele necesitând deci aport de energie de la surse.

Utilizând expresia ( $\Delta 2.2.$ ) pentru energia electromagnetică, rezultă prin diferențiere:

$$dW_m = \sum_{K=1}^n \frac{\partial W_m}{\partial i_k} di_k + \sum_{h=1}^m \frac{\partial W_m}{\partial x_h} dx_h \quad (\Delta 2.15)$$

$$(dW_m)_{i_K=\text{ct}} = \left( \frac{\partial W_m}{\partial x_j} \right)_{i_K=\text{ct}} \cdot dx_j, \text{ pentru } x_{h \neq j} = \text{ct} \quad (\Delta 2.16)$$

Deplasarea  $dx$  fiind arbitrară, se obține:

$$x_j = \left( \frac{\partial W_m}{\partial x_j} \right)_{i_K=\text{ct}} = \text{ct} \quad (\Delta 2.17)$$

III/ Forța generalizată  $x_j$ , care se exercită în direcția coordonatei  $x_j$ , este egală cu derivata energiei magnetice în raport cu coordonata generalizată, calculată la curenti constanți.

Dacă forța generalizată este aceeași indiferent de metoda de calcul utilizată rezultă că:

$$x_j = - \left( \frac{\partial W_m}{\partial x_j} \right)_{i_K=\text{ct}} = \left( \frac{\partial W_m}{\partial x_j} \right)_{i_h=\text{ct}} \quad (\Delta 2.18)$$

ceea ce se poate demonstra.

In cîmpul magnetic staționar sau cvasistaționar, teoremele se demonstrează pentru un sistem de  $n$  circuite filiforme, independente ale căror curenti sunt  $i_k$ , fluxuri totale sunt  $\Phi_k$  ( $k=1, 2, \dots, n$ ) și a căror configurație geometrică (relativă și în raport cu corpurile magnetizate din cîmp) este univoc determinată de coordonatele generale  $x_j$  ( $j = 1, 2, \dots, m$ ).

Energia magnetică liberă  $W_m$  a cîmpului magnetic al sistemului de circuite (care constituie întregul cîmp, nici unul din circuitele filiforme care produc cîmpul nefiind omis) e univoc determinată fie de fluxurile circuitelor și de configurația geometrică a sistemului, fie de curentii din circuite și de configurația geometrică a sistemului. Această energie se exprimă într-o formă esențialătoare relațiilor ( $\Delta 2.1$ ) și ( $\Delta 2.2$ ).

~~Teoremele forțelor generalizate în cimp magnetic uniform și~~

$$I_j = -\left(\frac{\partial \Psi(i_K, x)}{\partial x_j}\right)_{i_K=ct}, \text{pentru } x_h \neq j = ct \quad (A.2.19)$$

$$I_j = \left(\frac{\partial \Psi(i_K, x_h)}{\partial x_j}\right)_{i_K=ct}, \text{pentru } x_h \neq j = ct \quad (A.2.20)$$

Formularea fenomenelor și demonstrația presupun o serie de restricții. Astfel circuitele - din xazul magnetic - sunt presupuse filiforme (pentru ca fluxul să fie univoc definit) și fără ramificații (pentru ca intensitatea curentului să fie univoc definită); se impune calculul energiei, sau al variației energiei întrегul cîmp al sistemului de conductoare, sau de circuite, la deplasarea considerată. Se consideră un număr finit de grade de libertate.

In /83/ se arată că în anumite aplicații, teoremele forțelor generalizate se aplică fără a ține seama de unele restricții menționate, obținindu-se totuși rezultate corecte, ceea ce subliniază insuficiența formulărilor obișnuite (se aplică, de exemplu teorema pentru pînze continue de cîrrent, deși demonstrația este dată pentru circuite filiforme neramificate).

Alexa II

**INSTRUMENTE SI APARATE POLOSITE PENTRU  
MASURATORI SI INREGISTRARI**

Pentru studierea funcționării în regim dinamic a electro-magnetului de acționare a DPP s-au folosit: Osciloscop cu memorie, pentru înregistrarea caracteristicilor regimului dinamic, prezentat în fig. A 3.1.

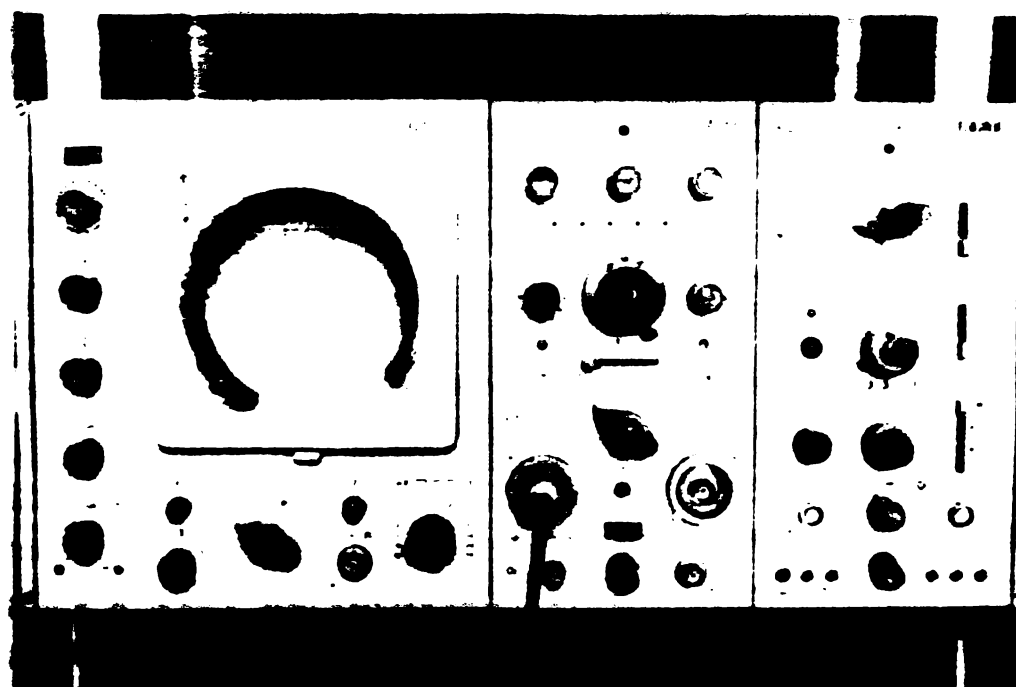


Fig. A 3.1. Osciloscop cu memorie pentru înregistrarea caracteristicilor regimului dinamic.

Oscilograf, care oferă posibilitatea înregistrării simultane de pînă la 12 mărimi variabile în timp, prezentat în fig. A 3.2.

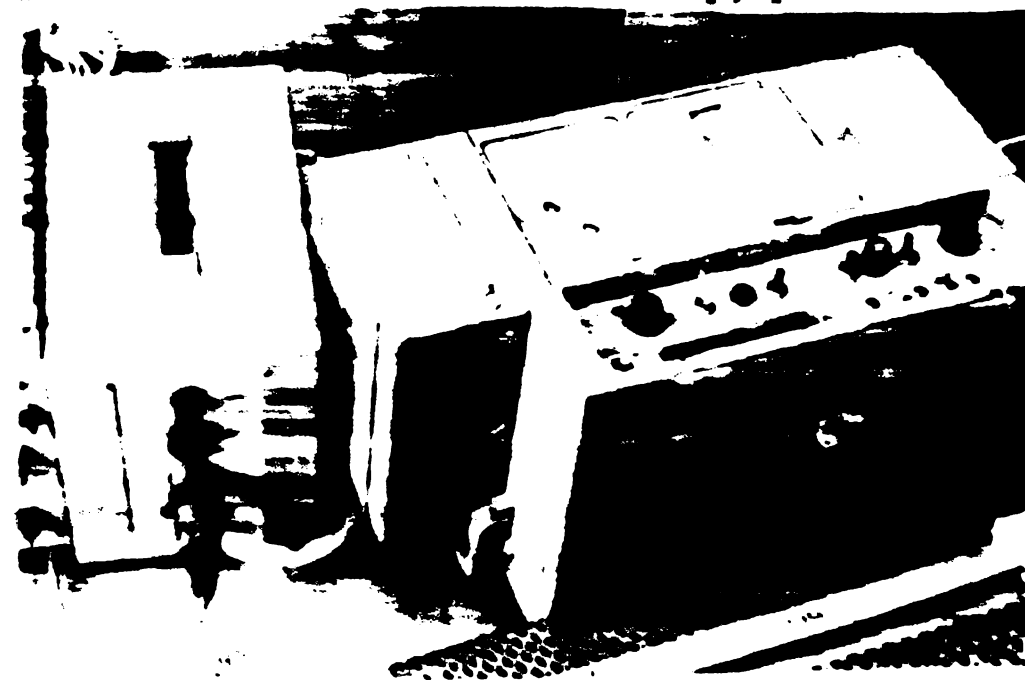


Fig. A 3.2. Oscilograf cu 12 canale de înregistrare.

- sondă Hall, prezentată în fig. A 3.3.

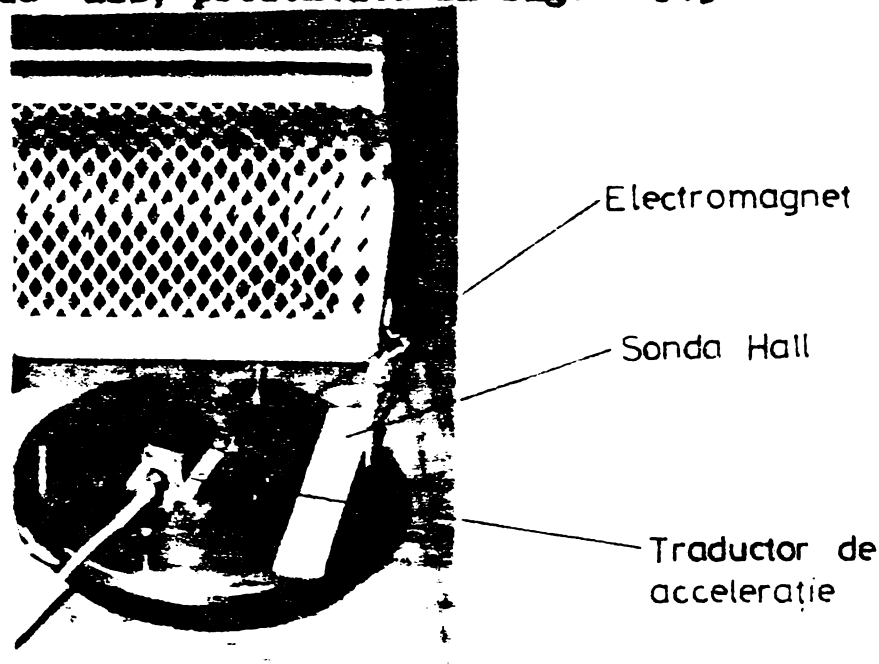


Fig. A 3.3. Electromagnet pentru acționarea DPP unidirectional, sondă Hall și traductor de acceleratie.

- bobine sondă, pentru măsurarea variației în timp a fluxului;
- traductor de acceleratie, funcționînd pe principiul modificării parametrilor electrici ai unei punți semiconductoare, sub acțiunea unei mese seismice prezentat în fig. A 3.3;
- puncte amplificatoare, pentru amplificarea semnalului traductorului de acceleratie, prezentat în fig. A 3.4;

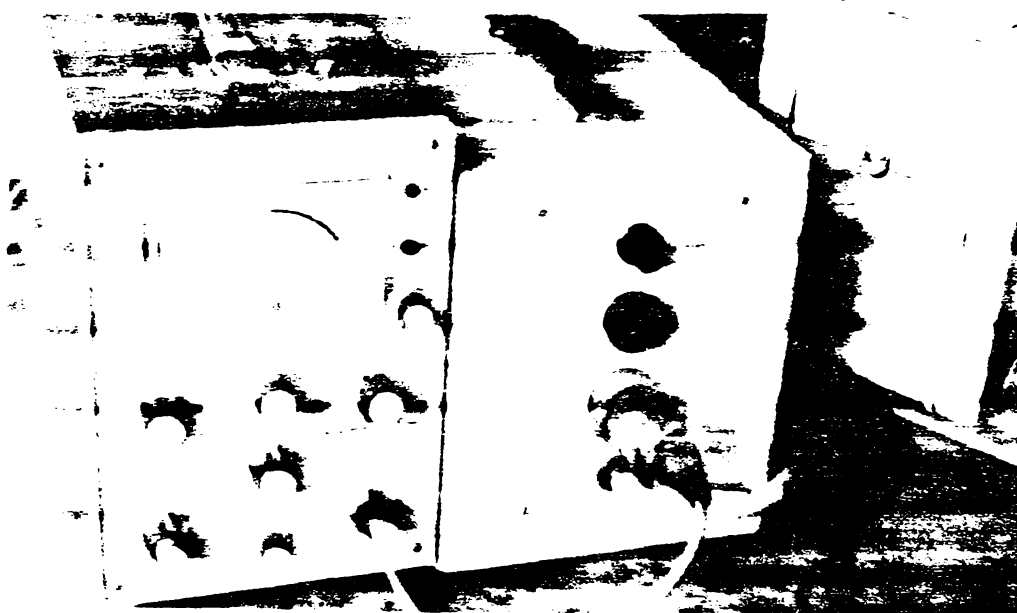


Fig. A 3.4. Punte amplificatoare.

- instrumente de măsură (ampermetre, voltmetre, teslametre etc.), precum și alte aparate de măsură.

Schemele electrice și metodele de măsurare și înregistrare sunt prezentate separat pentru fiecare caracteristică determinată.

O vedere de ansamblu a standului din laborator pe care s-au executat cele mai multe încercări este prezentată în fig. A 3.5.

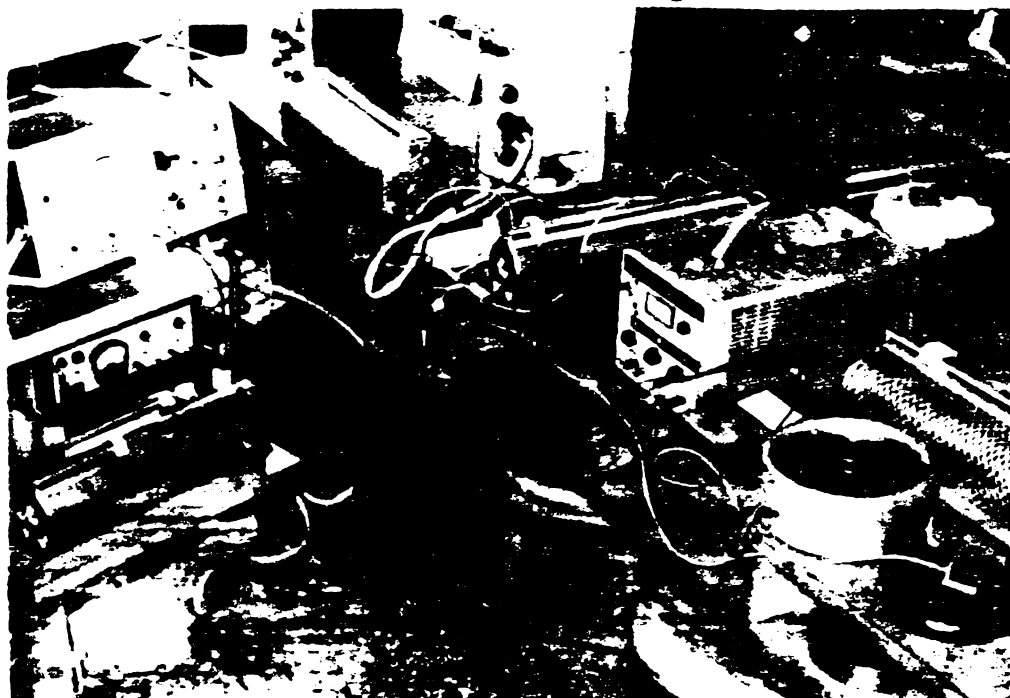


Fig. A 3.5. Standul pentru înregistrarea caracteristicilor regimului dinamic al electromagnetului de acționare a DPP.

~~ANEXA~~  
**FUNCTIONAREA SCHEMEI ELECTRICE A  
DISPOZITIVULUI ELECTRONIC II.**

In poziția "oprit" a cheii de comandă, contactele C<sub>1</sub>, C<sub>2</sub>, C<sub>3</sub>, C<sub>4</sub> ale acestuia (fig. 6.41) sunt deschise, contactul C nu este alimentat și ca urmare nu se obține tensiune la bornile a, b, c, d de ieșire ale schemei. In poziția acționare "stinga", se închid contactele C<sub>1</sub> și C<sub>3</sub> ale cheii de comandă, fapt care pună sub tensiune contactul C și realizează alimentarea bobinei bI a electromagnetului dispozitivului tip "torpedo". Contactul C<sub>1</sub>, prin închiderea contactelor sale pună sub tensiune bornale a, b, c, d, precum și circuitul lămpii de semnalizare, realizându-se astfel alimentarea și comanda electromagnetilor de acționare ai LD, precum și semnalizarea corespunzătoare. La închiderea curbei de acționare, limitatorul L<sub>1</sub> se deschide, oprește alimentarea contactorului C și prin aceasta alimentarea întregii scheme.

Funcționarea poziției acționare "dreapta" este similară poziției acționare "stinga".

La priza P<sub>1</sub>, fig. 6.43 a cutiei de comandă, contactele 1, 2, 3, realizează conectarea bobinelor electromagnetilor de acționare, iar contactele 6, 7, 8, realizează conectarea bobinelor electromagnetilor de blocare - deblocare. Priza P<sub>2</sub>, fig. 6.43, prin contactele 1, 2, realizează alimentarea bobinei C a contactorului de curent alternativ, iar prin contactele 3, 4, 5, 6, realizează legarea în circuitul de comandă a limitatoarelor L<sub>1</sub>, respectiv LD.

Pe panoul din spate al cutiei de comandă sunt dispuse bobinele de alimentare pentru electromagnetii de blocare-deblocare, respectiv pentru electromagnetii de acționare.

~~XXX~~

**CALCULUL ECONOMIC PRIN CECURAREA  
MODELULUI DE DPP BIRUDIONAL**

Unul dintre coeficienții cei mai importanți ai unui calcul tehnico-economic este costul, care reprezintă principalul indice de evaluare a gradului de economicitate al procesului tehnologic sau al operației.

Notind cu  $P$  costul, avem următoarea relație:

$$P = M + S + C \quad (\text{A 5.1})$$

unde:

$M$  - este costul materialului, în calculul căruia se ține seama și de valoarea deșeurilor recuperabile;

$S$  - este retribuția muncitorilor productivi care au contribuit la realizarea dispozitivului;

$C$  - suma cheltuielilor de regie.

In cazul prelucrării piesei din material laminat, costul semifabricatului este:

$$M = mq - m_1 k(q-q_1) / \text{lei} \quad (\text{A 5.2})$$

unde:

$m$  - costul unui kilogram de material ;

$m_1$  - costul unui kilogram de deșeuri;

$q$  - greutatea semifabricatului ;

$q_1$  - greutatea piesei finite.

In tabelul A 5.1. se dau valerile lui  $M$  pe repere și pentru întregul dispozitiv.

Retribuția muncitorilor productivi este:

$$S = \sum_{i=1}^n T_o \cdot L / \text{lei} \quad (\text{A 5.3})$$

unde:

$n$  - numărul operațiilor procesului tehnologic ;

$T_o$  - tipul, pe bucăți pentru fiecare operatie;

$L$  - retribuția tarifară orară.

Elementele de calcul sunt prezentate în tabela A 5.2., cu specificația că s-a ținut cont de fiecare operatie executată pe reperele dispozitivului.

Tabela A5 .1

Număr de reperuri	Buc.	Dimensiuni	Material	Masa kg/m	m lei/kg	$m_l$ lei/kg	q kg	$q_l$ kg	K	M lei	$M_{tot}$ lei
1. Tijă de prindere	4	130x50x20	OL 37		2,65	0,60	0,60	0,3	0,45	1,70	
2. Surub M 4	12	6 10x50	OLC 45	0,5	2,85	0,70	0,03	0,013	0,45	1,03	
3. Surub M 6	8	6 15x60	OLC 45	1,39	2,85	0,70	0,08	0,036	0,45	1,75	
4. Juc electromagnetic	2	6 200x40	OLC 45	247	2,85	0,70	9,8	3,9	0,4	53,03	
5. Armătura mobilă	1	6 200x35	OLC 45	247	2,85	0,70	8,64	3,8	0,45	23	
6. Inel de fixare	2	6 70 x 15	OLC 45	30,2	2,85	0,70	0,45	0,3	0,65	2,50	
7. Armătura de o-dă	1	6 60 x 5	OLC 45	22,2	2,85	0,70	0,11	0,08	0,75	0,30	
	1	6 30 x 50	Alamă	4,5	25	4	0,225	0,09	0,4	5,40	
	2	6 60 x 4	OLC 45	22,2	2,85	0,70	0,09	0,07	0,75	0,30	
8. Armătura de o-dă pentru jug	2	6 30 x 30	Alamă	4,5	25	4	0,225	0,09	0,4	5,40	
9. Stift	6	6 8 x 30	OLC 45	0,6	2,85	0,70	0,018	0,015	0,9	0,30	
10. Bobină electromagnetic	2	L=179.10 <sup>3</sup>	Cu	0,007	75	75	1,25	1,25	1	187,50	
11. Caseta ou bile pe flug	2	6 70 x 30	OLC 45	30,2	2,85	0,70	0,9	0,54	0,6	4,80	
12. Caseta ou bile pe fermăt.	2	6 70 x 20	OLC 45	30,2	2,85	0,70	0,6	0,36	0,6	3,25	

Tabelă 4.5.2

Mărime al re- perelor	Operația	Retribuția L/lei/	Timpul T/min/	Valearea manoperei	Total /lei/
	Prezare	10,65	100	0,3	
1.	Găurire	10,00	16	0,04	11,40
	Filetare	10,65	3	0,008	
	Strunjire	10,65	30	0,088	
2.	Filetare	10,65	1,3	0,0038	11,1
	Strunjire	10,65	35,00	11,75	
3.	Filetare	10,65	1,60	0,75	12,50
	Strunjire	10,65	276	134,50	
4.	Filetare	10,65	3	5,50	140,00
	Strunjire	10,65	270	66,25	
5.	Găurire	10,00	3	2,25	68,50
	Strunjire	10,65	55	14,25	
6.	Găurire	10,00	8	2,00	16,25
	Strunjire	10,65	34	15,50	
7.	Găurire	10,00	15	2,00	17,50
	Strunjire	10,65	30	14,65	
8.	Găurire	10,00	5	2,20	16,85
	Strunjire	10,65	20	8,75	
9.	Filetare	10,65	5	1,50	10,25
	Strunjire	10,65	175	115,25	
10.	Filetare	10,65	15	2,25	117,50
	Strunjire	10,65	175	78,25	
11.	Filetare	10,65	15	2,00	80,25
	Strunjire	10,65	40	10,75	
12.	Filetare	10,65	6	1,75	12,50

Tabelă A 5.3

Nr. de ordine al repe- relor	S <sub>p</sub> /lei/	C <sub>s</sub> /lei/	C /lei/
1.	11,40	10,08	21,48
2.	11,10	9,85	20,95
3.	12,50	11,00	23,50
4.	140,00	124,00	264,00
5.	68,50	60,60	129,10
6.	16,25	14,40	30,65
7.	17,50	16,50	34,00
8.	16,85	15,00	31,85
9.	10,25	9,10	19,35
10.	12,50	11,10	23,60
11.	117,50	104,00	221,50
12.	80,25	71,00	151,25
TOTAL:		457,60 lei	

In tabela A 5.3 se indicat costul regiei, pe separe și a întregului dispozitiv, care reprezintă 88,5 % din S:

$$C = 0,885 S \quad /lei/ \quad (A 5.4)$$

Rezultă:  $M = 290,50$  lei;  $S = 502,20$  lei;  $C = 457,60$  lei,  
valori cu care se determină costul dispozitivului electromagnetic  
 $P = 1250,30$  lei.

Adăugind la acest cost și valoarea estimativă a cutiei de comandă (cca.450 lei) obținem costul orientativ al acționării unui separator cu D P P de aproximativ 1700 lei, mult mai mic comparativ cu cel al dispozitivelor electrice clasice de acționare (cu servomotor), care este de cca. 7000 lei.

**BIBLIOGRAFIE**

1. ANDEA,P.,ș.a.- Asupra unei metode indirecte de determinare a forței portante în electromagneticii elenarice ale curent contnuu, Buletinul științific și tehnic al Institutului politehnic "Traian Vuia" Timișoara, tom 23(37), fasc.1, 1978.
2. ANDEA P.,VASILIEVICI AL., - Mecanisme electromagneticice pentru acționarea aparatelor electrice - Lucrările sesiunii naționale de comunicări științifice "Optimizarea echipamentelor electrice și electronice", Brașov, 1978.
3. ANDEA,P., - Noi soluții de acționări cu electromagneti, Sesiunea de comunicări științifice ICENENERG-București, 1979.
4. ANDEA,P., - Noi soluții de acționări cu electromagneti, Referat de doctorat, Institutul politehnic "Traian Vuia", 1979.
5. ANDEA,P.,ș.a. - Metode de determinare a forțelor dezvoltate de electromagneti; A 5-a sesiune de comunicări științifice a inginerilor și tehnicienilor, Cluj, 1979.
6. ANDEA,P., - Regimuri dinamice în acționări electromagneticice, Referat de doctorat, Institutul politehnic "Traian Vuia" Timișoara, 1980.
7. ANDEA,P., Babescu M., - Percussion systems electromagnetically driven, Proceedings, I.P.Cluj-Napoca, 1980.
8. ANDEA ,P., - Asupra unei noi teoreme a forțelor generalizate, Buletinul Conferinței Naționale de electrotehnică și electroenergetică, Timișoara, 1982.
9. ANDRONESCU, P., - Bazele electrotehnicii, vol.I, II, Editura did. și pedagogică, București, 1972.
10. ANTONIN,I.S.,- Calculul circuitelor electrice în regimuri normale și anormale de funcționare, Editura tehnică, București, 1975.
11. ARAGONIANT,I.K. - Dinamika, sintez i rasciot elektromagnetov, Ed. "Nauka", Moscova, 1967.
12. BOGOEVICI,N., - Elemente din teoria cîmpului electromagnetic, Litografia Institutului politehnic "Traian Vuia" Timișoara,1978.

13. BOGOVICI,N., - Electrotehnica și măsurări electrotehnice, Editura didactică și pedagogică, București, 1979.
14. BOLDEA,I., - Vehicule pe pernă magnetică. Ed.Acad.R.S.R., București, 1981.
15. BOPP,K., - Zur systematik der analytischen Behandlung nicht-lineärer Erscheinungen in eisengesättigten Stromreisen, Teză de doctorat, Berlin, 1970.
16. BRADEANU,N., - Instalații pneumatice miniere. Ed.tehnică, București, 1976.
17. BREW,W., - Berechnungen zum Betriebsverhalten von Elektromagneten für Luftschatze. Elektrotechnik 51, 1969, S.14-22.
18. BULI,B.K. - Grafoanaliticeskii metod rasciota elektromagnitnih provodimostei elektriceskikh aparatov, Electricestvo, nr.3, 1961, pag.28-35.
19. BULI,B.K., - Osnovi teorii i rasciota magnitnih tepei, Moscova, Ed."Energia", 1964.
20. BULI,B.K., - Rasciot magnitnih provodimostei i elektromagnitnih sil nesimetricinih magnitnih tepei, Elektricestvo, nr.9, 1977, pag. 82-85.
21. BUZDUGAN,GH., FETCU L., RADES,M. - Vibrării magnetice, Editura didactică și pedagogică București, 1979.
22. CONSTANTINESCU,I.,ș.a. - Prelucrarea datelor experimentale cu calculatoare numerice, Ed.tehnică, Bucuresti, 1980.
23. COSMIN Gh., - Determinarea dimensiunilor optime ale electromagnetului de curent alternativ monofazat. Electrotehnica, nr.11, 1960, pag. 379-385.
24. COSWIN,GH., - Calculul încălzirii bobinelor electromagnetilor de curent alternativ, Electrotehnica nr.1, 1965, pag. 13-22.
25. COSMIN,GH., - Contribuții la calculul electromagnetilor de curent alternativ monofazat, Electrotehnica, nr.3, 1975, pag.113-126.
26. DINULESCU,P., - Calculul inductivității electromagnetilor de tip E dublu, cu întrefier suplimentar pe coloana centrală, Electrotehnica, nr.9, 1970, pag. 355-362.
27. DINULESCU,P., - Studiu experimental al forței de atracție la electromagneti de curent alternativ monofazat, Electrotehnica nr.7, 1972, pag. 456-464.

28. DORDEA, I., - Masini electrice. Ed.didactică și pedagogică.  
București, 1977.
29. DORN, W.S., Mc CRAKEN D.D. - Metode numerice cu programare în FORTRAN, Editura tehnică, București, 1976.
30. FANTANA, H., L., - Metodă grafo-analitică de reprezentare a electromagnetilor, Buletinul științific și tehnic al Institutului politehnic "Traian Vuia" Timișoara, seria Electrotehnică, tom 24(38), fasc.2, pag.102-108, 1979.
31. FRANSUA, A., ş.a. - ACTIONĂRI ELECTRICE, Ed.didactică și pedagogică, București, 1975.
32. HANSEN, F., - Konstruktionswissenschaft, Grundlagen und Methoden, Technik, Berlin, 1979.
33. HERSCOVICI, B., - Aparate electrice de înaltă tensiune. Ed.tehnică, București, 1978.
34. HNATIUC, E., - L'Etude des possibilités d'obtenir la vibration de l'armature mobile des électro-aimants de courant continuu. Buletinul I.P.Iași, tom XXII, fasc.1-2, 1977.
35. HNATIUC E., P.LEONTE, BARABOI, A.- Unele aspecte privind funcționarea în regim dinamic a electromagnetilor de curent continuu, Sesiunea de comunicări științifice, I.P.Cluj, 1979.
36. HOFTOPAN GH., ş.a. - Aparate electrice de joasă tensiune, București, Ed.tehnică, 1969.
37. HOFTOPAN, GH., - Aparate electrice, Editura didactică și pedagogică, București, București, 1972.
38. HOFTOPAN, Gh., - Viciatia electromagneticului la contactoarele de curent alternativ, Electrotehnica nr.8, 1975, p.370.
39. HOFTOPAN, GH., - Aparate electrice, Editura didactică și pedagogică, București, 1980.
40. HUHULESCU, M., - Electromagneti pentru actionări, Electrotehnica nr.11, 1967, pag.417-426.
41. HYNK, R., - An analysis of the dynamics of an electromechanical system. Transaction of ASEE 79-2, 1960, pag.267-271.
42. KALLENBACH, E., SEITZ M., DENK L., SCHUMAN R. - Systematische Projektierung von elektromagnetischen Antriebselementen, TH Ilmenau, 1970.

43. KALLENBACH E., DEIK,L. - Bewertung des dynamischen Verhaltens von Gleichstrommagneten In Feingerätetechnik, nr.9, 1976, pag. 418-421.
44. KALLENBACH E., SEITZ H., - Zur Projektierung von Elektromagneten unter Beachtung dynamischer Eigenschaften, Feingerätetechnik nr.3, 1977.
45. KALLENBACH E., - Der Gleichstrommagnet, Akademische Verlagsge-sellschaft, Leipzig, 1969.
46. KELEMEN,A., - Actionări electrice, Ed.didactică și pedagogică, București, 1979.
47. KELEMEN,A.,ș.a. - Mutatoare; Aplicații, Ed.didactică și pedago-gică, Bucuresti, 1980.
48. KÖSNER,J.,J.,BHAGAT,K.,P.,- Design, simulation and optimization of direct current electromagnets for stroke time charakteris-tics, Elektric machines and elektromechanics, vol.5, nr.4,1980, Kentucky, S.U.A.
49. KOVACS,K.P., - Analiza regimurilor tranzitorii ale mașinilor electrice, Editura tehnică, București, 1980.
50. KUO B.C.,KELEMEN A.,ș.a. - Sisteme de comandă și reglare incre-mentală a poziției, Ed.tehnică, București, 1981.
51. LIUBCIC M.A.,- Electromagneți de curent continuu și curent al-ternativ - Calcul și proiectare, Ed.tehnică, București, 1963.
52. LIUBCIK M.A., - Optimální proiectirovanie silových electromagne-tih mehanisma, Energia, Moscova, 1974.
53. Maksymiuk,I., - Mecanismele aparatelor electrice de conectare, Ed.tehnică, București, 1970.
54. Madarász G., - Voltakozoáramú elektromágnesek dinamikus működ-e jellemzőinek szemlélete és mérése, Elektrotechnika, nr.12/1971, pag.395-400, Budapest.
55. MAHINESCU,C.,ș.a. - Elemente de noutate în concepția dispoziti-velor de acționare a separatoarelor de sarcină de curent conti-nuu, Electrotehnica nr.3/1980, pag.137-143.
56. MOCANU,C.I., - Teoria cîmpului electromagnetic, Editura didac-tică și pedagogică, București, 1981.
57. N.DELCU,V. - Teoria conversiei electromagnetice, Ed.tehnică, București, 1978.

58. OPRESCU,G. - Măsurări de lațime a bobinării, Editura Albatros, București, 1970.
59. ORLOV,A.L. - Analiticenii metod răsciotului magnetich ţepel elektromagnitorov poelezaneva tehn., Elektricestvo, nr.3, 1977, pag. 79-82.
60. ORLOV,A.L. - Răsciot magnetich ţepel elektromagnitorov pri malem rabocem zasore, Elektricestvo, nr.9, 1978, pag.85-87.
61. PANAIT,V. - Forța minimă de atracție la electromagnetii monofazați, Buletinul I.P.București, tom XXIV, fasc.2, aprilie-iunie 1962.
62. PEKKER,I.S. - Răsciot inductivnosti i obraznih electromagnitorov s pleškim iakerem, Electromechanica, nr.8, 1963, pag.923-931.
63. PEKKER,I.S. - Răsciot inductivnosti electromagnitorov s iarmom i iakerem obraznai fazei, Electromechanica, nr.10, 1964, pag. 1187-1194.
64. PEKKER I.S., NIKITENKA A.G., - Răsciot elektromagnitnih mehanismov na vîcislitelnih mašinah, Ed.Energia, Moscova 1967.
65. PEKKER I.S., - Fizicheskoe modelirovaniye elektromagnitnih mehanismov, Ed. Energia, 1969.
66. PONNEV I., - Electromech industrială, Ed.didactică și pedagogică, București, 1972.
67. POP,E., - Măsuri electrice și magnetice, vol.I și II, Litografia Institutului politehnic Timișoara, 1969.
68. POP,E., STOICA,V., CIISAN,S.. - Măsurări în enegetică, Editura Facla, Timișoara, 1981.
69. POPESCU,M., - Calculul forței la electromagnetii de curent alternativ în zona întrefierurilor mici, Electrotehnica nr.8, 1976, pag. 294-298.
70. POPOVICI,V., - Tehnica impulsurilor, Litografia Institutului politehnic "Traian Vuia" Timișoara, 1970.
71. ROGOZEWSKI,N., - Theoretische Untersuchungen zum Entwurf elektromagneto-mechanischer Energiewandler unter Berücksichtigung eines dynamischen Verhalten Dissertation, TH Ilmenau, 1969.
72. RUSCASU,S., MARCOVICI,J. - Mărimi și regimuri electrice nesimoidale, Ed.Scrisul românesc, Craiova, 1974.
73. ROSCAUET,M., - Anăliză matematică, Ed.didactică și pedagogică, București.

74. ROTERS,H., - Elektromagnitni mehanizmi. Moscova, Energoizdat, 1949.
75. ROTERS,H., - Electromagnetic Devices, John Wiley and Sons, London, 1963.
76. SAAL,C., - Teoria oscilomotorului bifazat sincron reactiv, Electrotehnica, nr.1, 1970.
77. SANDU,D.D. - Probleme moderne de tehnica impulsurilor, Ed.Academiei R.S.R., Bucuresti, 1980.
78. SAVIN, G., ROZMAN H., - Circuite electrice neliniare și parametrice, Ed.tehnică, București, 1973.
79. SCHUMANN,B., - Funktions-Struktur-Speicher von Hydraulikmagneten, unveröffentlichter Bericht, TH Ilmenau, Sektion GT, 1975.
80. SERACIN,E. - Utilajul electromecanic al întreprinderilor industriale, Ed.didactică și pedagogică, București, 1973.
81. SERACIN,E. - Acționări electrice, Litografia I.P.Timisoara, 1980.
82. SMARGUNOV,C., - Ciocane electrice, I.P.București, 1950.
83. STANCIULESCU,F., - Analiza și simularea sistemelor neliniare, Ed.Academiei R.S.R., 1974.
84. SUCIU,I., - Aparate electrice, Litografia Institutului politehnic "Traian Vuia" Timisoara, 1979.
85. TABARA,V.,ș.a. - Acționarea electrică a mașinilor-uselte, Ed.didactică și pedagogică, București, 1980.
86. TER-AKOPOV, - Dinamika bistrodeistvuiusciaia electromagnitov. Ed. Energia, Moscova, 1965.
87. TIMOTIN,A.. - Generalizarea teoremelor, forțelor lagrangiene, Electrotehnica nr.4, 1958, pag. 119-125.
88. TITZ,Gh. - Calculul inductivității electromagnetilor de tip E și U cu întrefier suplimentar, Electrotehnica nr.7-8, 1974, pag. 232-239.
89. TITZ,Gh. - Regimul dinamic al electromagnetilor de curent alternativ, Electrotehnica nr.7, 1979, pag.310-315.
90. TOMOIOAGA,R.,COSMIN G.,FELDMAN,E. - Calculul încălzirii bobinelor electromagnetilor de curent alternativ, Electrotehnica nr.1,1965, pag. 333-338.

91. VASILIEVICI, AL., ANDEA, P., - Calculul fărței de atracție la electromagneti de curenț continuu în regim dinamic. Lucrările științifice naționale de comunicări științifice cu tema: "Optimizarea echipamentelor electrice și electronice", Brașov, 1978.
92. WIENER, U. - Măsurări electrice, vol.II. Măsurarea mărimilor magnetice, Editura tehnică, București, 1969.
93. \* \* \*, Cartea tehnică pentru dispozitive de actionare cu servomotor tip ASE, Electropuțere-Craiova, 1980.
94. \* \* \*, Synthese von Hydraulikmagneten, unveröffentlichter Bericht, TH Ilmenau 1975.
95. \* \* \*, Memoratorul inginerului electrician, Ed.tehnică București, 1971.
96. \* \* \*, Indrumător matematic și tehnic, Ed.tehnică București, 1964.
97. \* \* \*, Manualul micului electronist, Ed.tehnică, București, 1980.
98. \* \* \*, Catalog IPRS. Circuite integrate, diode, tranzistoare, tiristoare, București, 1979.
99. \* \* \*, Instrucțiuni de montaj și exploatare pentru separatoare de interior și exterior.
100. \* \* \*, Instrucțiuni de montaj și exploatare pentru mecanismele de acționare cu resort tip MR-2, MR-3 și MR-4.
101. \* \* \*, Cercetări privind realizarea și încercarea electromagnetelor elevatorii din gama de puteri 0,15 - 10 kW și a instalațiilor aferente de comandă și protecție; Contract de cercetare științifică, Institutul politehnic "Traian Vuia" Timișoara, 1977.